

В. Д. САЛТОВСКАЯ

СТРАТИГРАФИЯ
КАМЕННОУГОЛЬНЫХ
ОТЛОЖЕНИЙ
**ЗЕРАВШАНО-ГИССАРСКОЙ
ГОРНОЙ ОБЛАСТИ**

ДУШАНБЕ · 1974

АКАДЕМИЯ НАУК ТАДЖИКСКОЙ ССР

ИНСТИТУТ ГЕОЛОГИИ

551.735

В.Д.Салтовская

СТРАТИГРАФИЯ КАМЕННОУГОЛЬНЫХ ОТЛОЖЕНИЙ
ЗЕРАВШАНО-ГИССАРСКОЙ ГОРНОЙ ОБЛАСТИ

Ответственный редактор М.Н.Кухтиков

Издательство "Дониш"

Душанбе - 1974



Большая часть палеонтологического материала, использованного при написании данной работы, собрана автором. Кроме того, изучены некоторые экземпляры из коллекций, переданных автору в различное время для определения геологами Управления геологии Совета Министров Тадж.ССР Д.А.Старининым, З.З.Муфтаговым, А.И.Лаврусевичем, а также сотрудниками Института геологии АН Тадж.ССР И.Н.Кухтиковым и И.Н.Черенковым.

Кроме хаменоугольных фораминифер и водорослей, определявшихся автором, обширная коллекция других групп ископаемых организмов определялась следующими специалистами: О.Л.Эйнером, А.П.Ротаем, П.С.Палатним, Г.Н.Некаковой (брахиоподы), А.И.Обутом, Д.В.Рыцком (граптолиты), Б.С.Соколовым, Г.С.Порфириевым, В.Л.Лелечусом, И.В.Пыхьяновым, А.И.Лаврусевичем (кораллы), Р.С.Елтышевой, Т.В.Шевченко (криноиды), З.Г.Бадаевым, Ф.А.Куравлевой (наутилоиды), Т.А.Сикстель (флора). Всем этим палеонтологам автор выражает искреннюю признательность.

Автор полон чувства глубокой благодарности покойному профессору кафедры исторической геологии Ленинградского госуниверситета им.Еланова - А.Д.Никлюх-Маклаю, под чьим руководством начинал исследование фораминифер и водорослей карбона.

В разное время был получен ряд ценных советов и замечаний от палеонтологов И.А.Антропова, Ф.Р.Бени, О.И.Богуш, Н.Е.Бражниковой, М.В.Вдовенко, И.А.Калмыковой, Е.Л.Кулик, В.П.Маслова, Б.В.Полякова, А.П.Ротая, М.Н.Соловьевой, О.Л.Эйнора, О.В.Дферева, а также от сотрудников Института геологии АН Таджикской ССР С.А.Захарова, В.И.Реймана. В оформлении работы оказали большую помощь А.А.Кондратьев, В.Г.Кризовичев, М.Н.Королева, А.К.Погребной.

Автор выражает свою благодарность всем названным товарищам, а также глубоко признателен научному редактору И.М.Кухтикову, помоему и советами которого постоянно пользовался в процессе работы.

Несколько позднее, в 1935 г., более детально отложения карбона Зиддинского района изучались В.Р.Мартышевым (Овчинников, 1959), которым впервые были установлены известняки среднего карбона, связанные постепенным переходом с нижнекаменноугольными. Следует отметить, что это было единственное местонахождение известняков среднего карбона и только в последние годы установлено их широкое развитие на территории Зеравшано-Гиссарской области (Кухтиков, Салтовская, Черенков, 1959; Салтовская, 1961, 1966).

В 1955 г. О.Л.Эйнером и В.Д.Салтовской нижняя часть известняков среднего карбона Зиддинской долины по содержащимся в ней остаткам фауны была отнесена к башкирскому ярусу, а верхняя — к московскому. Было установлено также два разновозрастных терригенных комплекса пород. Один из них на основании многочисленных сборов фораминифер и брахиопод отнесен к нижнему карбону, другой, по содержащимся фузулинидам и залеганию на известняках среднего карбона — к московскому ярусу среднего карбона.

Каменноугольные отложения, развитые на северном склоне Гиссарского хребта в Искандеркульском и Шинг-Магианском районах, изучались С.-И.Клунниковым (1931), А.П.Марковским (1934), А.В.Пейве и А.Д.Смирновым (1940).

Ими было высказано предположение о постепенном переходе известняков верхнего девона к известнякам нижнего карбона, а также о возможности нахождения в указанных районах в верхних частях известнякового разреза карбона среднекаменноугольных отложений. Для терригенных отложений верхнего палеозоя ими же отмечалось непостоянство литологического состава и невыдержанность этих пород по простиранию.

Существенные изменения в стратиграфии карбона Шинг-Магианского, а также Искандеркульского районов были внесены исследованиями В.Р.Мартышева (1956). Среди терригенных отложений силура и верхнего палеозоя им была выделена мощная, сложная по составу толща, названная пушневатской свитой. Время образования этой свиты, по его мнению, соответствует интервалу от середины живетского века среднего девона до начала турнейского века нижнего карбона включительно. Основанием для такого заключения послужили находки остатков фауны живетского яруса среднего девона в известняковых слоях нижней части пушневатской свиты ю фораминифер верхнего девона — самых низов турнейского яруса нижнего карбона в песчаниках верхних ее горизонтов и трансгрессивное залегание на различных горизонтах более древних отложений.

Как установлено исследованиями В.И.Лаврусевича, А.И.Лаврусевича, Д.Р.Мучайдзе, Д.А.Старшинина и др., пушневатская свита не является единым геологическим телом и не соответствует определенному этапу в развитии района. Она состоит из двух самостоятельных свит, из которых нижняя — агбасайская (-нижнепушневатская) является ранне- и, возможно, среднедевонской, а верхняя — маргозорская (-верхнепушневатская) соответствует турнейскому ярусу.

Примерно в то же время в Шинг-Магианском районе проводила свои исследования М.Н.Соловьева. Ею описан разрез верхнепалеозойских отложений в нижнем течении долины р.Дарахти-Сурх (правая составляющая р.Шинг) при впадении её в оз.Хазор-Чашма. Терригенная толща, состоящая из переслаивающихся песчаников, конгломератов и сланцев, совместно с подстилающими её известняками с *Pseudostaffella topilini*, *Profusulinella prisca*, *Aljutovella priscoidea* и др. объединяется ею в дарахтисурхскую свиту (Соловьева, 1963) мощностью около 400 м, трансгрессивно налегающую, по её мнению, на известняки визе и более древние отложения. На основании комплекса фораминифер, заключенных в известняках, дарахтисурхская свита коррелируется с каширским горизонтом карбона Русской платформы.

В результате последующих работ, проведенных автором на дарахтисурхском разрезе (Салтовская, 1963б, 1965а), выяснеено, что в нижней, карбонатной части разреза присутствуют также известняки намюра, башкирского и низов московского ярусов среднего карбона. Нижнемосковские известняки, отнесенные М.Н.Соловьевой к низам дарахтисурхской свиты, объединяются нами совместно с подстилающими их известняками верхнебашкирского подъяруса в бачаульдинскую свиту. Последняя с размывом налегает на нижнебашкирские известняки верхов снежинской свиты (Салтовская, 1965а, 1966).

Самые восточные выходы карбона северного склона Гиссарского хребта обнаруживаются в низовых Ягноба и представлены известняками нижнего и среднего карбона. Последние установлены исследованиями А.А.Кашина. Этот интересный разрез, развитый по саду Джихикрут, неоднократно описывался в литературе (Мартышев, 1956; Овчинников, 1959).

Отложения карбона северного склона Зеравшанского хребта, выделенные А.П.Марковским (1934), детально исследовались В.Р.Мартышевым (1956, 1958), а затем В.Д.Салтовской (1963, 1965, 1966, 1966а). Каменноугольные отложения гор Чумкартау — южный склон Туркестанского хребта — изучались в последние годы М.М.Кухтиковым, И.Н.Черенковым и В.Д.Салтовской (Кухтиков, Салтовская, Черенков, 1959).

К началу наших исследований по стратиграфии каменноугольных отложений Зеравшано-Гиссарской области был накоплен сравнительно большой фактический материал, который, однако, характеризовался разрозненностью, а во многих случаях и противоречивостью.

Отсутствие достаточных данных относительно карбона исследованной области привело к тому, что характеристика этих отложений по существу не нашла отражения ни в одной из опубликованных в последние годы крупных сводок по стратиграфии палеозоя Средней Азии (Решения совещания..., 1959; Миклухо-Маклай, 1963; Соловьева, 1963 и др.).

Настоящая работа является сводкой по стратиграфии каменноугольных отложений Зеравшано-Гиссарской горной области, в которой предлагается детальная схема расчленения карбона, основанная на изучении всех важнейших разрезов карбона Зеравшано-Гиссара. Кроме того, впервые описываются некоторые водоросли и фораминиферы названного района.

ГЛАВА II

ОПИСАНИЕ ОСНОВНЫХ РАЗРЕЗОВ КАМЕННОУГОЛЬНЫХ ОТЛОЖЕНИЙ ЗЕРАВШАНО-ГИССАРСКОЙ ГОРНОЙ ОБЛАСТИ

Разрезы каменноугольных отложений Зеравшано-Гиссарской области группируются в несколько типов, различающихся между собой составом фаций, миоценами, последовательностью напластований, характером комплексов тех или иных организмов. Различаются следующие типы разрезов (рис. 2):

1. Северо-Гиссарский
2. Магианский
3. Вашанский

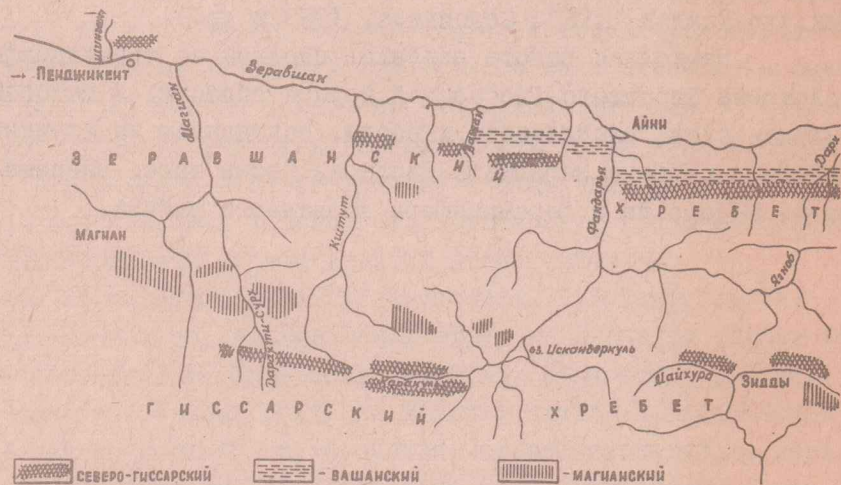


Рис. 2. Схема расположения разрезов Северо-Гиссарского, Магианского и Вашанского типов

СЕВЕРО-ГИССАРСКИЙ ТИП РАЗРЕЗОВ

Отложения этого типа на описываемой территории имеют самое широкое распространение. Наиболее полно представлены и хорошо изучены они на северном и южном склонах Гиссарского хребта по долинам рек Шинг, Кара-Куль, Майхура, Зидды; на северном склоне Зеравшанского хребта по долинам рек Чукалик, Шишкат, Дарх, Порут, Ривут и на южном склоне Туркестанского хребта в бассейнах рек Шингак и Ойбадам. По-видимому, к этому же типу разрезов относятся отложения карбона, развитые в бассейне р.Джизикрут (рис. 3).

Данные разрезы однотипны, начиная с визейского яруса. Подстилающие турнейские отложения в Гиссарском хребте представлены терригенной верхнепушненватской подсвитой. В Зеравшанском хребте отложения верхнего девона и нижнего карбона находятся в единых карбонатных массивах и связаны постепенным переходом. Имеются различия также и в характере контакта карбонатных отложений среднего карбона с покрывающими их терригennыми отложениями дарахти-сурхской свиты. В бассейнах рек Шинг и Кара-Куль этот контакт согласный, в бассейне р.Зеравшан он трансгрессивный. Сказанное, вполне вероятно, в дальнейшем может послужить основанием для выделения особого Зеравшанского типа разрезов (Салтовская, 1961). В Северо-Гиссарском типе разрезов выделяются турнейский, визейский и намюрский ярусы нижнего карбона, башкирский и московский – среднего.

Отложения верхнего карбона достоверно нигде не установлены и если выделяются в настоящее время, то чисто условно, без достаточного фаунистического обоснования. Фаунистически обоснованные турнейские отложения в едином непрерывном известняковом разрезе известны в левобережье р.Зеравшан против селения Урмитан, где они связаны постепенным переходом с отложениями верхнего девона и представлены серыми и темно-серыми отчетливо слоистыми известняками. Они выделяются нами в чукаликскую свиту, стратотипом которой является разрез, развитый по саяю Чукалик (левый приток р.Зеравшан, против селения Урмитан). Мощность отложений турнейского яруса около 50 м. В Гиссарском хребте отложения турнейского яруса представлены верхнепушненватской подсвитой.

Визейские отложения хорошо охарактеризованы фаунистически и представлены светло-серыми, белыми, розовато-белыми массивными известняками с обильными остатками микрофауны, брахиопод и кораллов. В ряде разрезов в нижней части визейского яруса отмечаются горизонты сланцев, конгломератов и песчаников с флорой, коричневато-серых известняков с многочисленными остатками ругоз и темно-серых, почти черных углисто-глинистых известняков, содержащих раковины брахиопод *Productus (Gigantopproductus) sarsimbai* Serg., Pr. (*Gigantopproductus*) *mirus* Frech. Эти отложения, принадлежащие к среднему визе, относятся нами к якарчинской свите, стратотипом которой является разрез по правому борту сая Як-Арча. Вышележащие массивные светлые сахаровидные известняки с многочисленными остатками брахиопод из группы *Productus (Striatifera) striatus* Fisch, Pr. (*Striatifera*) *striatus* var. *angusta* Jan., Pr. (*Gigantopproductus*) *giganteus* Mart., принадлежащие к верхнему визе, объединяются нами в сангальскую свиту (стратотипом последней является разрез по саяю Як-Арча, в верховье которого расположены

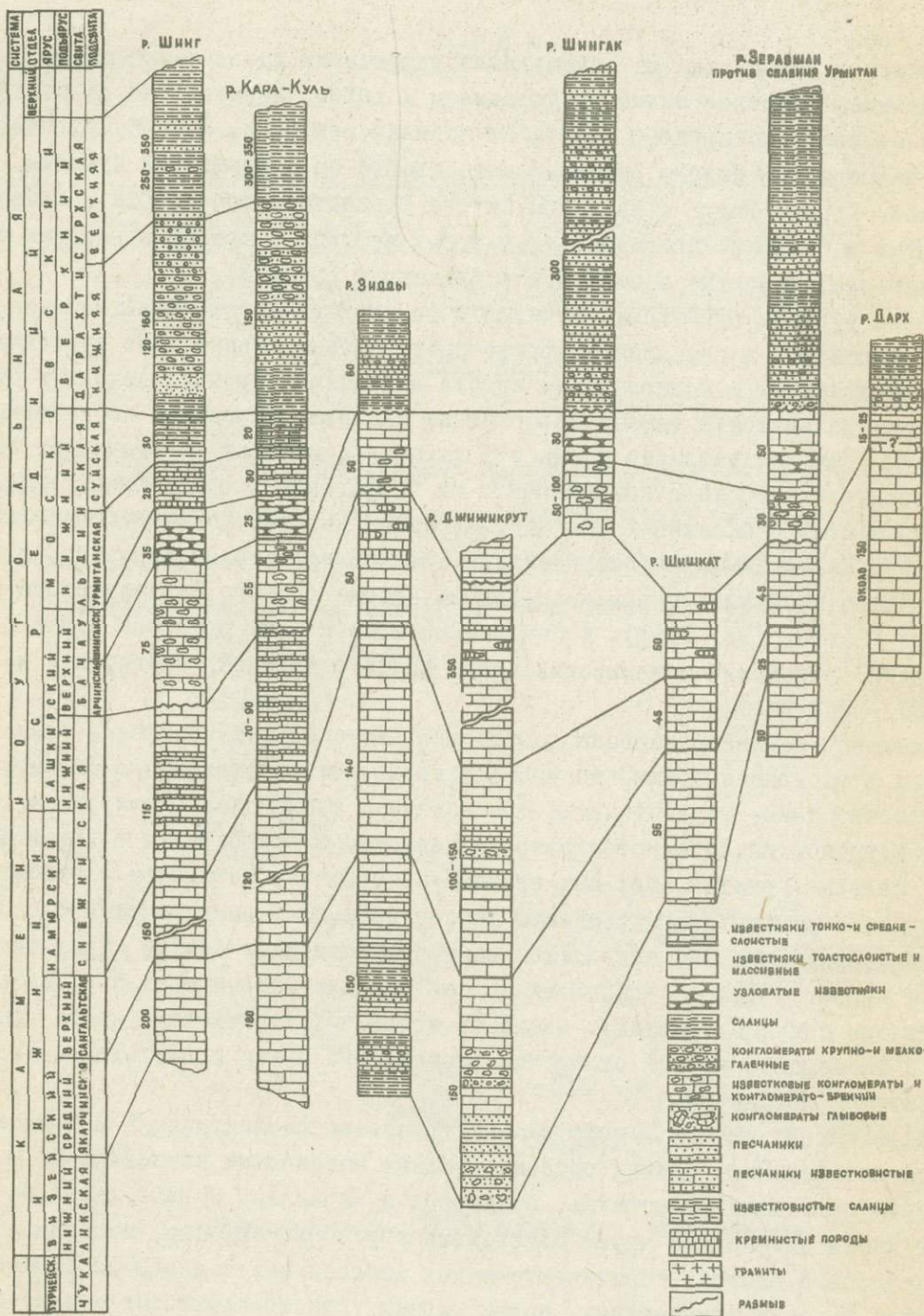


Рис. 3. Схема сопоставления разрезов карбона Северо-Гиссарского типа.

кишлак Кок-Тепе). Эта свита развита в бассейнах рек Зидды, Джихикрут, Кара-Куль и др. Нижневизейские известняки в Зеравшанском хребте фаунистически не обоснованы, в Гиссарском хребте раннему визе, очевидно, соответствует перерыв. Мощность визейских отложений от 80 до 500 м.

Наморские отложения в некоторых разрезах литологически не отделимы от визейских и поэтому обычно описывались совместно с ними. Наиболее полные разрезы развиты в бассейнах рек Джихикрут и Кара-Куль. В Джихикрутском разрезе они представлены пачкой сложного литологического состава: тонкослоистыми светло-коричневыми известняками, переслаивающимися с зеленовато-серыми мергелистными песчаниками, выше появляются пласти светло-коричневого конгломерата, а верхняя часть намора сложена массивными светло-серыми и белыми сахаровидными известняками с тонкими прослойками и желваками черных кремней. Мощность наморских отложений 150–250 м.

В долине р.Кара-Куль (сай Снежный) наморские и самые низы башкирских отложений представлены известняками темно-серыми, почти черными, плитчатыми с желваками и прослойками черных кремней. Эти отложения мы предлагаем выделить в снежинскую свиту, стратотипом которой является разрез по сай Снежному (бассейн р.Кара-Куль). Мощность этих отложений здесь около 50–70 м.

В большинстве разрезов Северо-Гиссарского типа верхние части карбонатных массивов относятся к среднему карбону (башкирский и нижняя часть московского ярусов). Среднекаменоугольные известняки серые и темно-серые, обломочные, водорослевые и детритусовые с обильной микрофауной. Мощность их до 200 м. Эти отложения выделены в бачаульдинскую свиту (Салтовская, 1965), стратотипический разрез которой расположен по сай Снежному (правый борт р.Кара-Куль).

Бачаульдинская свита распадается на ряд характерных литологических пачек, которые сравнительно легко выделяются в поле и поэтому мы предлагаем разделить её на 4 подсвиты снизу вверх:

1. Арчинская, представленная буровато-серыми пятнистыми конгломерато-видными известняками и конгломерато-брекчиями с пластами темно-серых детритусовых известняков, с комплексом окаменелостей, соответствующим верхней части башкирского яруса среднего карбона. Мощность её 50–70 м.

2. Шингакская, сложенная характерными желтовато-бурыми узловатыми, иногда тонкослоистыми известняками с комплексом окаменелостей, соответствующим, вероятнее всего, верхней части башкирского яруса. Мощность её 25–50 м.

3. Урмитанская, представленная чередующимися пластами массивных и тонкослоистых темно-серых грубодетритусовых известняков с тонкими прослойками или линзами буровато-серых и темно-серых кремней. Комплекс окаменелостей, встречающийся в отложениях урмитанской подсвиты, соответствует, вероятнее всего, нижней части нижнемосковского подъяруса. Мощность 25–50 м.

4. Суйская подсвита, представленная переслаиванием тонкослоистых глинистых буровато-серых известняков с многочисленными остатками мелких раковин брахиопод и буровато-сириевых известковистых сланцев. Комплекс окаменелостей, содержащийся в отложениях этой подсвиты, соответствует нижнемосковскому подъярусу среднего карбона. Мощность её от 10 до 25 м.

Верхняя часть каменоугольных отложений представлена терригенной толщей, которая постепенно сменяет карбонатную часть разреза. Это ритмично чередующиеся сланцы, песчаники, конгломераты с редкими линзами известняков. Возраст терригенной толщи по содержащимся в ней органическим остаткам определяется в настоящее время как верхнемосковский подъярус среднего карбона. Особенno характерно для терригенной толщи среднего карбона наличие пачек

крупногалечных конгломератов. Эти отложения выделены М.Н.Соловьевой (1963) в дарахтисурхскую свиту. Стратотипом свиты предложен разрез по р.Дарахти - Сурх (правая составляющая р.Шинг).

Возраст дарахтисурхской свиты М.Н.Соловьевой (1963) был определен как нижнемосковский. В дальнейшем выяснилось, что дарахтисурхская свита М.Н.Соловьевой понималась в более широком объеме, чем последующими исследователями (Мартышев, Салтовская, 1963). В состав свиты ею включались и тонкослоистые мергелистые фузулинидовые известняки, согласно подстилающие вышележащие терригенные отложения. Именно из этих известняков был собран комплекс фузулинид, на основании которого был сделан вывод о раннемосковском возрасте дарахтисурхской свиты.

В результате более поздних работ В.Д.Салтовской эти известняки были выделены в особую бачаульдинскую свиту (Салтовская, 1965). Однако указание М.Н.Соловьевой о происхождении обширного комплекса фораминифер из дарахтисурхской свиты служило основанием для того, чтобы считать терригенные отложения нижнемосковскими. Лишь дальнейшими исследованиями В.Д.Салтовской (1966, 1969) удалось доказать позднемосковский возраст терригенных отложений дарахтисурхской свиты, в цементе песчаников и конгломератов которой были обнаружены *Dvinelia comata* Chvor., *Ozawainella cf. pararhomboidea* Man., *Profusulinella librovitchi* Dutk.

Терригенные отложения среднего карбона заканчивают разрез отложений этого типа. Выше мы уже отмечали, что отложения верхнего карбона достоверно нигде не установлены, хотя вероятность их нахождения в дальнейшем отнюдь не исключается.

БАССЕЙН р. ШИНГ

Верховье р.Шинг сложено породами метаморфической толщи, представленной серыми мраморизованными известняками, белыми мраморами, переслаивающимися с темными кристаллическими сланцами, в верхней части развиты эфузивы. Условно отложения метаморфической толщи относят к среднему палеозою.

Севернее в тектонических взаимоотношениях с отложениями метаморфической толщи находятся отложения карбона, которые слагают средние и нижние части склонов рек Ак-Су, Хазор-Чашма, Дарахти-Сурх, Чап-Дара (составляющие р.Шинг).

В бассейнах рек Хароз-Чашма и Дарахти-Сурх имеются разрезы известняков нижнего и среднего карбона, в которых наблюдаются постепенные переходы от известняков нижнемосковского подъяруса среднего карбона бачаульдинской свиты к терригенным отложениям верхнемосковского подъяруса (дарахтисурхская свита). Разрезы прекрасно обнаружены и совершенно не нарушены разрывами. Они содержат многочисленные окаменелости сравнительно хорошей сохранности.

Разрез нижнего - среднего карбона
по водоразделу рек Дарахти - Сурх
и Хазор - Чашма

Этот разрез в нижней своей части, где развиты массивные светло-серые визейские известняки, образующие совершенно отвесные стены, является труднодоступным для изучения. Более высокие части разреза, как это видно из приведенной фотографии (рис. 4), образуют более мягкие формы рельефа, прекрасно обнажены и более доступны (рис. 5).

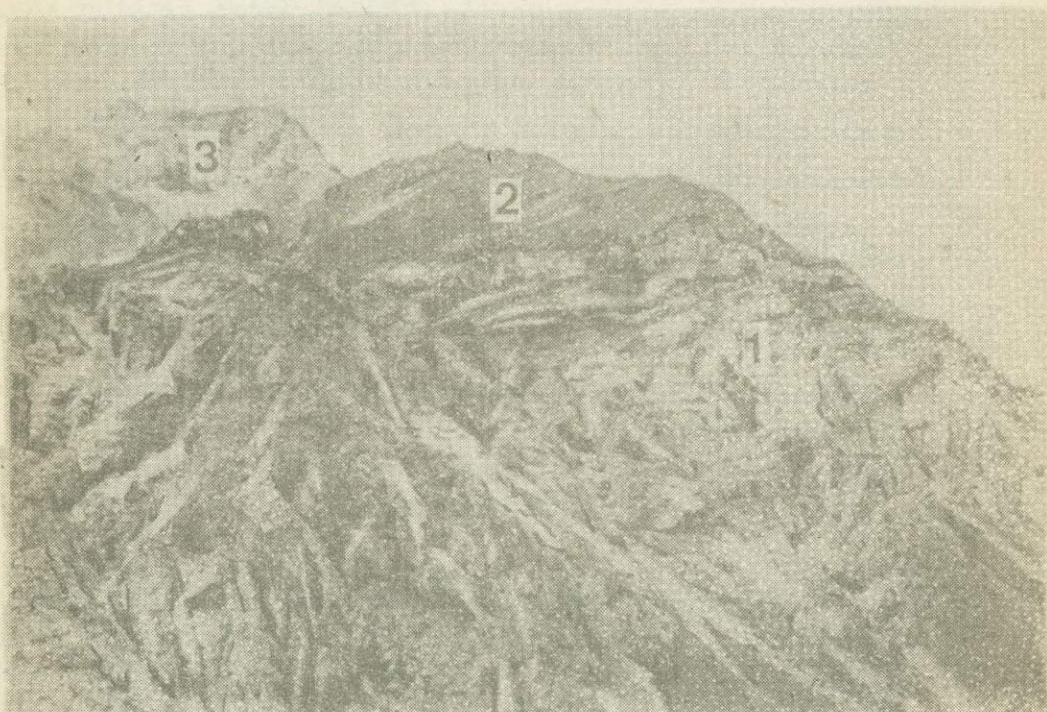


Рис. 4. Водораздельная часть рек Дарахти-Сурх и Хазор-Чашма: 1 - известняки бачаульдинской свиты; 2 - песчано-сланцевые отложения дарахтисурхской свиты; 3 - мраморы среднего палеозоя.

Якарчинская свита

I. Серые и темно-серые до черных, углистые, местами рыхлые известняки с обильными остатками водорослей, раковин фораминифер, брахиопод, многочисленных обломков члеников криноидей, ругоз. Отсюда определены *Koninckoroga* sp., *Kamaena delicata* Masl., *Neotuberitina maljavkini* (Mikh.), *Earlandia vulgaris* (Raus. et Reitl.), *Plectogyra brady* (Mikh.), *Pl. prisca* (Raus.).

et Reitl.), *Plex gr. omphalota* (Raus. et Reitl.), *Eostaffella prisca* Raus., *Eost. ex gr. ikensis* Viss., *Tetrataxis minima* Lee et Chen, *T. conica* Ehrenb., *Planoarchaediscus ex gr. spirillineoides* (Raus.), *Productus (Gigantopproductus) sarsimbaii* Serg., *Pr. (Gigantopproductus) mirus* Trech., *Lihostrotion irregulare* Phill. Мощность 200 м.

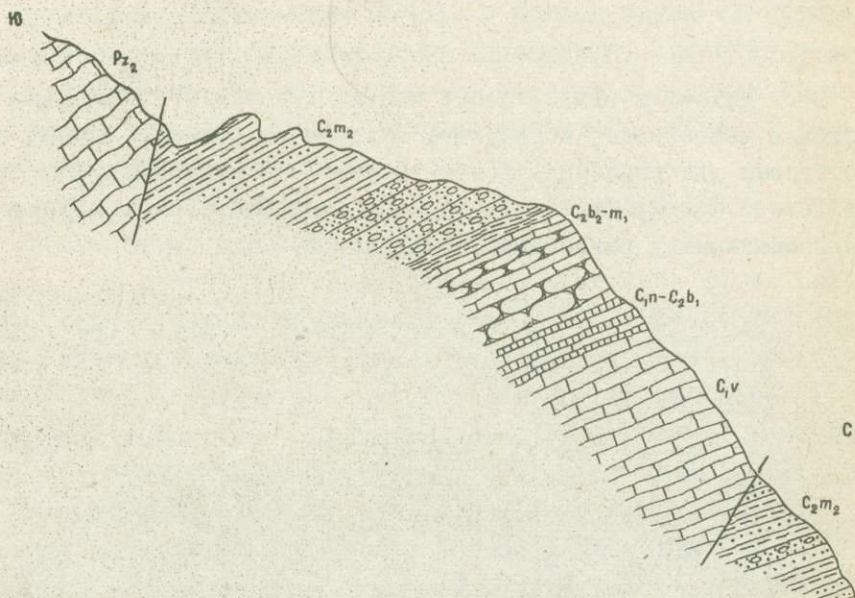


Рис. 5. Разрез по водораздельной части рек Дарахти-Сурх и Хазор-Чашма.

Сангальтская свита

2. Известняки светло-серые, серые, розовато-серые, белые, массивные, сахаровидные с обильными брахиоподами из группы *Productus (Striatifera) striatus* Fisch. Из этого слоя определены многочисленные остатки водорослей, фораминифер, брахиопод, ругоз, криноидей: *Calcifolium okenze* Schwez. et Bir., *Earlandia vulgaris* (Raus. et Reitl.), *Neotuberitina maljavkini* (Mikh.), *Eotuberitina reitlingerae* (M. Maclay), *Parethurammina miklukho-maclayi* Saltovskaja, *P. suleimanovi* Lip., *P. dagmarae* Sul., *Forschia mikhailovi* Dain., *F. subangulata* (Moell.), *Endothyranopsis crassus* (Brady), *Globoendothyra globula* (Eichw.), *Mediocris medicocris* (Viss.), *Eostaffella mosquensis*, *Eost. proikensis* Raus., *Howschinia gibba* (Moeli.), *Palaeotextularia diversa* Tchern., *Tetrataxis conica* Ehrenb., *Textularia* sp., *Archaediscus ex gr. moellieri* (Raus.), *Arch. ex gr. karreri* Brady, *Productus (Gigantopproductus) giganteus* Mart., *Pr. (Gigantopproductus) cf. maximus* M. Coy. Мощность 150 м.

Снежинская свита

3. Пачка, представленная тонким переслаиванием темно-серых и серых мелкозернистых известняков и черных и темно-серых кремнистых сланцев. Встречается брахиоподы *Productus (Striatifera) striatus* Fisch., *Pr. (Gigan-toproductus) latissimus* (Sow.), а также многочисленные обломки других брахиопод. В шлифах отмечается редкие обрывки водорослей *Donezella lutugini* Masl., *Neotuberitina maljavkini* (Mikh.), *Bradyina cribrostomata* Raus. et Reit., *Eostaffella paraprotvae* Raus., *Eost. postmosquensis* Kir., *Eost. pseudostruvei* Raus. et Bel., *Asteroarchaediscus ex gr. baschkiricus* (Ktest. et Theod.), *Nearchaediscus postrugosus* (Reitl.), *N. borealis* (Reitl.).

Мощность 45 м.

4. Тонкослоистые до плитчатых темно-серые органогенные известняки, иногда с желваками и прослойми кремней, содержащие остатки раковин фораминифер: *Earlandia vulgaris* (Raus. et Reitl.), *Neotuberitina maljavkini* (Mikh.), *Tuberitina bulbacea* Reitl., *Ammodiscus multivolutus* Reitl., *A. tadschikistanicus* sp. nov., *Bradyina cribrostomata* Raus. et Reitl., *Eostaffella cf. mosquensis* Viss., *Eost. protvae* Raus., *Pseudostaffella antiqua* (Dutk.), *Palaeotextularia consobrina* Lip., *P. laticuneata* sp. nov., *Asteroarchaediscus subbaschkiricus* (Reitl.), *Ast. ex gr. baschkiricus* (Krest. et Theod.), *Neoarchaediscus borealis* Reitl., *Archaediscus subcylindricus* Brazhn. et Pot., брахиоподы - *Spirifer bisulcatus* Sow., *Productus (Dictyoclostus) concinnus* Sow., *Pr. (Linopproductus) corrugatus* M^o Coy, *Marginifera shartimiensis* Jan.

Мощность 70 м.

Бачаульдинская свита

5. На известняки с кремнями с размывом ложится пачка, состоящая из нескольких слоев буровато-серой конгломерато-брекчии и известняковых конгломератов, чередующихся с пластами серого и темно-серого мелкозернистого известняка. В конгломерато-брекчии обломки преобладают над вмещающей массой. Размеры обломков колеблются в диапазоне от 1-2 до 15-20 см. Состав обломков разнообразный, однако преобладают обломки известняка. Имеются гальки кремня, песчаника. Как в гальках, так и в цементе конгломерато-брекчии встречаются кораллы, криноиды. Из этой пачки были определены многочисленные остатки водорослей и фораминифер, указывающие на принадлежность данных отложений башкирскому ярусу среднего карбона. Она относится к арчинской подсвите бачаульдинской свиты. Из этой пачки определены: *Donezella lutugini* Masl., *Tuberitina gigantea* sp. nov., *Eostaffella ex gr. compressa* Raus., *Profusulinella staffellaeformis* Kir., *Neoarchaediscus postrugosus* (Reitl.), *N. gregorii* (Dain), *Chaetetes ex gr. radians* Fisch., *Multithecopora aff. huanglungensis* Lee et Chen.

Мощность 50-70 м.

6. Узловатые желтовато-серые фузулиновые известняки тонкослоистые
Beresella erecta Masl. et Kul., Verella varsanofivae Dalm., V. spicata
Dalm., Bothrophyllo sp. Мощность 35 м.

7. Известняки темно-серые до черных, битуминозные, чередующиеся с известняками с линзочками черных и темно-серых кремней. Из этой пачки определены Dvinella comata Chvor., Haplophragmina sp., Ozawainella mosquensis Raus., Profusulinella elegans sp. nov., Pr. priscoidea Raus., Pr. prisca (Depr.), Eofusulina ex gr. triangula (Raus. et Bel.); Caninia sp., Chaetetes sp., Choristites sp. Мощность 25-35 м.

8. Пачка переслаивающихся серых и темно-серых криноидных известняков с черными известковистыми сланцами, в которой наблюдается следующая последовательность пород:

а) чередование рыжих известковистых сланцев со светло-серыми известняками, мощность 1,5 м;

б) черные тонкослоистые до листоватых известняки с мелкими брахиоподами, мощность 2 м;

в) чередование светло-серых известняков с темными известковистыми сланцами, мощность 1,5 м;

г) зеленовато-серые и темно-серые до черных глинистые сланцы с листоватой отдельностью с прослойками светло-серых известняков, мощность 5,0 м.

Данная пачка пород является переходной между чисто карбонатной частью и лежащей выше терригенной толщей.

В переходной пачке обнаружены водоросли и фораминиферы, которые характерны для первой половины московского яруса: Beresella uritanica sp. nov., Ungdarella uralica Masl., Bradyina pseudonutiliformis Reitl., Profusulinella polasnensis Saf., Eofusulina triangula (Raus. et Bel.), Eof. simplex sp. nov., Eof. crassa sp. nov., Eof. serrata sp. nov., Paraefusulina angusta sp. nov., P. subtilisima Putrja, P. arenata sp. nov., многочисленные Palaeonubecularis sp., Ammodiscus sp. Общая мощность переходной пачки варьирует в пределах 10-25 м.

Дарахтисурхская свита

Выше переходной пачки совершенно согласно лежат отложения дарахти-сурхской свиты.

9. Ритмичное очень тонкое чередование песчаников зеленовато-серых с зеленовато-бурыми сланцами. В песчаниках сильно перекристаллизованные фораминиферы Aljutovella sp., Profusulinella sp., Preudostaffelia., Textularia sp. Мощность 10-15 м.

10. Горизонт крупногалечных до валунных конгломератов с обильной галькой светло-серого хорошо окатанного известняка. Гальки известняка содержат, как правило, колонии ругоз нижнекаменноугольного возраста. Отмечается также гальки песчаников, сланцев, реже кремня и кварца. Цемент песчанисто-карбонатный буровато-серого цвета. Из галек известняка определены визейские Earlandia vulgaris Raus. et Reitl., Tuberitina collosa Reitl., Eostaffella prisca Raus., Plectogyra sp., Textularia sp., Archaeodiscus sp., Lithostrotion irregulare Phil., Palaeosmilia sp., из цемента конгломератов - среднекаменноугольные Dvinella comata Chvor., Ungdarella sp., Ozawainella pararhomboides Man., Profusulinella librovitchi Dutk. Мощность 100-150 м.

II. Песчаники массивные желтовато-серого цвета на выветрелой поверхности и темно-зеленые в изломе. Мощность 5 м.

I2. Конгломераты крупногалечные до валунных. В цементе конгломератов отмечаются многочисленные сильно перекристаллизованные неопределенные обломки раковин фузулинид и обрывки водорослей. Мощность 35 м.

I3. Пачка массивных средне- и крупнозернистых буровато-серых песчаников. Мощность 100 м.

I4. Сланцы глинистые и углисто-глинистые темно-зеленые с шестоватой отдельностью. Мощность 40 м.

I5. Буровато-серые мелкозернистые песчаники с гальками (до 5-10 см в диаметре) светло-серых хорошо окатанных известняков. В песчаниках обнаружены фораминиферы и водоросли посредственной сохранности *Ungdarella* sp., *Beresella* sp., *Profusulinella* sp., *Tuberitina* sp., *Climacammina* sp. Мощность 70 м.

I6. Сланцы глинистые и углисто-глинистые зеленовато-серые с прослойями крупногалечного конгломерата. В известняковых гальках конгломерата обнаружены визейские водоросли и фораминиферы *Koninckopora* sp., *Earlandia* sp., *Neotuberitina* sp., *Eostaffella* sp., *Howchinia* sp., *Textularia* sp., *Archaediscus* sp., а также ругозы *Lithostrotion* sp., *Dybunophyllum* sp. Мощность 40 м.

I7. Песчаники мелкозернистые массивные буровато-серые. Мощность 10 м.

I8. Заканчивают разрез сланцы глинистые, песчано-глинистые темного цвета, темно-зеленые, зеленовато-серые, с шестоватой отдельностью. Мощность 35 м.

Выше, контактируя с описанными отложениями тектонически, залегают мраморы и мраморизованные известняки среднего палеозоя.

Разрез по левому борту
р. Даракти-Сурх

Снизу вверх наблюдается следующая последовательность напластований.

I. Пачка переслаивающихся буровато-зеленых песчаников и сланцев дарактисурхской свиты, на которые надвинуты известняки нижнего карбона.

Сангальтская свита

2. В нижней своей части известняки белые, светло-серые и розовато-серые сахаровидные сильно перекристаллизованные, содержат остатки неопределенных фораминифер. Эти известняки являются, вероятно, визейскими. Условно, на основании положения в разрезе, эта пачка отнесена к отложениям сангальтской свиты. Мощность 70 м.



3. Выше известняки становятся более темными, хорошо слоистыми и вверх по разрезу переходят в тонкослоистые плитчатые разности, иногда окремненные, с линзами и прослойками черных и темно-серых кремней. Из этого слоя определены *Donezella lutugini* Masl., *Neotuberitina maljavkini* (Mikh.), *Tuberitina collosa* Reitl., *T. gigantea* sp. nov., *Bradyina cribrostomata* Raus. et Reitl., *Ammodiscus multivolutus* Reitl., *A. tadschikistanicus* sp. nov., *Plectogyra bradyi* (Mikh.), *Eostaffella mosquensis* Viss., *Eost. proikensis* Raus., *Eost. protvae* Raus., *Eost. aff. paraprotvae* Raus., *Eost. ex gr. pseudostruvei* Raus. et Bel., *Eost. postmosquensis* Kir., *Pseudostaffella antiqua* (Dutk.), *Palaeotextularia laticuneata* sp. nov., *P. consobrina* Lip., *Asteroarchaediscus ex gr. baschkiricus* (Krest. et Theod.), *Asteroarch. cyclopus* sp. nov., *Ast. karaculicus* sp. nov., *Neoarchaediscus cf. parvus* (Raus.). Мощность 70 м.

Бачаульдинская свита

4. С размывом на отложения снежинской свиты ложится пачка узловатых желтовато-серых и буровато-серых фузулиновых известняков с водорослями и фораминиферами *Ungdarella uralica* Masl., *Beresella erecta* Masl. et Kul., *Bradyina pseudonautiliformis* Reitl., *Verella varsanofievae* Dalm., *V. spicata* Dalm., *Profusulinella parva* (Lee et Chen.), *Pr. staffellaeformis* Kir., *Textularia* sp., *Cribrostomum* sp., *Ammodiscus* sp., *Clomospira* sp., многочисленными табулятами и ругозами *Chaetetes radians* Fisch., *Caninia ex gr. nosovi* Fom., *C. ex gr. borissiak* Fom., неопределенными остатками брахиопод, криноидей и гастропод. Мощность 35–40 м.

5. Пачка массивных темно-серых до черных полидетритовых битуминозных известняков урмитанской подсвиты. Отдельные слои переполнены остатками фузулинид, ругоз и табулят. Более редки с трудом выбивающиеся из породы раковины брахиопод. Из этой пачки определены *Ungdarella uralica* Masl., *Beresella erecta* Masl. et Kul., *Dvinella comata* Chvor., *Tuberitina collosa* Reitl., *Neotuberitina maljavkini* (Mikh.), *Bradyina pseudonautiliformis* Reitl., *Eostaffella* sp., *Pseudostaffella cf. subquadrata* Grozd. et Leb., *Profusulinella elegans* sp. nov., *Pr. priscoidea* Raus., *Pr. ovata* Raus., *Pr. prisca* (Depr.), *Climacammina cf. elegans* Moell., *Multithecopora cf. huanglungensis* Lee et Chen, *Caninia cf. borissiak* Fom., *Stuckenbergia ex gr. longiseptata* Pyzhjanov. Мощность 25 м.

6. Верхняя часть известнякового разреза представлена ритмично переслаивающейся пачкой темно-серых, черных до сиреневато-серых тонкозернистых известняков с многочисленными, но плохой сохранности остатками мелких плоских брахиопод и темно-серых известковистых сланцев. Из этой пачки определены *Ungdarella uralica* Masl., *Beresella* sp., *Pseudostaffella umbilicata* Putr. et Leont., *Paraeofusulina subtilissima* Putr., *P. an-*

gusta sp. nov., *P. arenata* sp. nov., *Profusulinella ovata* Raus., *Pr. prisca* (Depr.), *Pr. convoluta* Lee et Chen, *Climacammina* ap., *Ozawainella parahomboides* Mal., *Schubertella obscura* Lee et Chen., *Globivalvulina scapnoidea* Reitl., а также многочисленные остатки брахиопод *Canarinella* sp., *Camarotoechia* sp., *Spirifer* sp., *Dictyoclostus* sp. Мощность 10 м.

Верхняя часть известнякового разреза срезана разрывом, по которому на известняки надвинуты терригенные отложения дарахтисурской свиты, представленные чередующимися песчаниками, сланцами, гравелитами и конгломератами.

Разрез по правому притоку р. Хазор-Чашма

Разрез отложений нижнего – среднего карбона, очень близкий к описанному выше по водоразделу рек Хазор-Чашма и Дарахти-Сурх, составлен по первому притоку р.Хазор-Чашма. Нижняя часть разреза, представленная светло-серыми и серыми массивными известняками, образует скальные, совершенно недоступные для изучения и отбора образцов выходы. Выше обнажаются отложения сангальтской свиты (рис. 6).

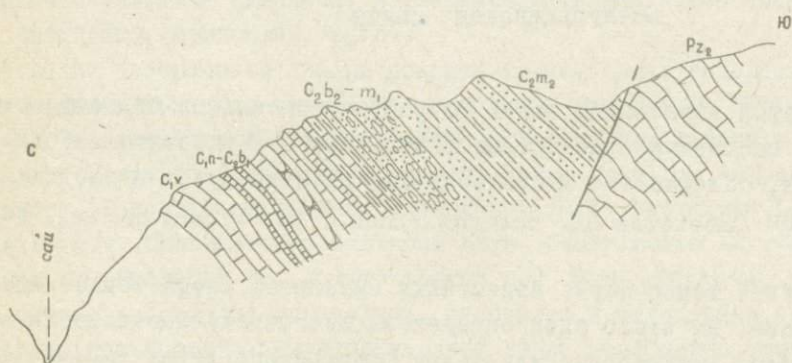


Рис. 6. Разрез по правому притоку р.Хазор-Чашма.

Сангальтская свита

I. Известняки светло-серые, розовато-серые и белые сахаровидные толстослоистые, местами обломочные, местами солитовые с многочисленными остатками раковин фораминифер, брахиопод и кораллов. Из этого слоя были определены *Parathurammina miklukho-maclayi* Saltovskaja, *P. dagmarae* Sul., *Neotuberitina maljavkini* (Mikh.), *Forschia mikhailovi* Dain, *Globoendothyra globulus* (Eichw.), *Endothyranopsis crassus* (Brady), *Plectogyra prisca* (Raus. et Reitl.), *Eostaffella prisca* Raus., *Eost. mosquensis* Viss., *Eost. proikensis* Raus., *Archaeodiscus ex gr. moelleri* (Raus.), *Arch. ex gr. karreri* Brady, *Cribrostomum recurrens* Lip.; многочисленные *Productus (Striatifera)* aff. *striatus* Fisch., (*Gigantopproductus*) aff. *latissimus* Sow., *Pr. (Gigantopproductus) giganteus* Mart., *Palaeosmilia murchisoni* E. et H., *Dibunophyllum ex gr. derbiense* Sibly.

2. Известняки серые и темно-серые толстослоистые, вверх по разрезу сменяются более темными разностями. Известник становится тонкослоистым до плитчатого, появляются желваки, небольшие линзочки, а затем и тонкие прослои темно-серого и черного кремня. Кремнистые прослои резко выделяются в рельефе по своей маслянисто-черной окраске. Прослои известняков на фоне кремней кажутся желтовато-бурыми. Местами известняки плотные иловатые. Шлифы, изготовленные из известняков этой пачки, изобилуют остатками фораминифер. Отмечается также обрывки водорослей *Donezella lutugini* Masl. Из этого слоя определены фораминиферы: *Tuberitina gigantea* sp. nov., *Ammodiscus multivolutus* Reitl., *Bradyina cribrostomata* Raus. et Reitl., *Eostaffella proikensis* Raus., *Eost. aff. exillis* Grozd. et Leb., *Eost. paraprotvae* Raus., *Eost. ex gr. protvae* Raus., *E. minutissima* Raus., *Pseudostaffella ex gr. antiqua* (Dutk.), *Palaeotextularia laticuneata* sp. nov., *P. consobrina* Lip., *Neoarchaediscus minimus* (Groz. et Leb.), *N. postrugosus* (Reitl.), *N. borealis* (Reitl.), *Asteroarchaediscus ex gr. baschkiricus* (Krest. et Theod.), *Ast. cf. cyclopus* sp. nov. Мощность 35-50 м.

Бачаульдинская свита

3. Плитчатые известняки вверх по разрезу сменяются более толстослоистыми и более массивными разностями темно-серого и розовато-серого обломочного известняка, содержащего многочисленные остатки ругоз и табулят, из которых определены *Chaetetes cf. radians* Fisch., *Ch. giganteus* Sok. Мощность 10 м.

4. Массивные темно-серые известняки сменяются снова тонкослоистыми серыми известняками. Из этого слоя определены многочисленные остатки водорослей и фораминифер, характерные для низов башкирского яруса *Donezella lutugini* Masl., *Beresella erecta* Masl. et Kul., *Goksuella maslovi* Güvenc., *Ungdarella uralica* Masl., *Tuberitina collosa* Reitl., *T. gigantea* sp. nov., *Ammodiscus tadschikistanicus* sp. nov., *Eostaffella cf. pseudostruvei* Raus. et Reitl., *Eost. ex gr. postmosquensis* Viss., *Pseudostaffella antiqua* (Dutk.), *Ps. ex gr. compressa* Raus., *Ps. cf. composita* Grozd. et Leb., *Profusulinella staffellaeformis* Kir., *Asteroarchaediscus ex gr. baschkiricus* (Krest. et Theod.), *Ast. karaculicus* sp. nov. Мощность 15 м.

5. Известняки массивные серые (мощностью 2 м) выше сменяются пачкой узловатых известняков рыжевато-бурых до ярко-желтых на выветрелой поверхности и коричневато-серых при изломе, битуминозных, фораминиферово-полидетритовых известняков, изобилующих остатками ругоз, табулят и брахиопод. Наиболее многочисленны здесь табуляты *Chaetetidae*. Некоторые слои переполнены фузулинидами, хорошо видимыми невооруженным глазом. Из этой пачки определены *Beresella erecta* Masl., et Kul., *Goksuella maslovi* Güvenc., *Ungdarella uralica* Masl., *Bradyina pseudonutiliformis* Reitl., *B. sphaeroidea* Patr., *B. eonutiliformis* Reitl., *Pseudostaffella cf. subquadrata* Grozd. et Leb.,

Verella varsanofievae Dalm., *V. spicata* Dalm., *Profusulinella parva* (Lee et Chen.), *Pr. staffelaformis* Kir., *Palaeotextularia eofragilis*

Reitl. Эта пачка относится к шингакской подсвите бачаульдинской свиты. Мощность 20-25 м.

6. Известняки массивные, темно-серые, битуминозные, вверх по разрезу сменяются тонкослоистыми, с многочисленными остатками водорослей, фораминифер, брахиопод, ругоз, табулят, *Beresella erecta* Masl. et Kul., *B. translucens* Kulik, *Dvinella comata* Chvor., *Haplophragmina kashirica* Reitl., *Pseudostaffella sphaeroidea* Ehrenb., *Profusulinella elegans* sp. nov., *Pr. prisca* (Depr.), *Pr. ovata* Raus., *Pr. priscoidea* Raus., *Ammodiscus* sp., *Palaeonubecularia* sp., *Glomospira* sp., *Choristites* sp., *Caninia* sp., *Campophyllum* (*Stuckenbergia*) cf. *stuckenbergi* Fom., *Lithostrotionella* sp., *Chaetetes radians* Fisch. Для этой пачки характерно присутствие прослоев и желваков темно-серых и черных кремней. Отмечаются здесь также пластовые дайки лампрофиров небольшой мощности (5-15 см). Мощность пачки 20-25 м.

7. Известняки темно-серые массивные с многочисленным детритом на выветрелых поверхностях. Пачки 6 и 7 относятся к отложениям урмитанской подсвите бачаульдинской свиты. Мощность 1,5 м.

8. Пачка ритмично переслаивающихся тонколистоватых черных сильно глинистых и песчанистых известняков, рыхих с выветрелой поверхности, с черными и серыми известковистыми сланцами. Известняки и сланцы переполнены остатками мелких брахиопод, криноидей, ругоз.

Выветрелые поверхности сплошь покрыты тонким слоем водорослей *Beresella*, хорошо видимых простым глазом. Из этого слоя определены *Beresella erecta* Masl. et Kul., *Ungdarella uralica* Masl., *Eofusulina ex gr. triangula* (Raus. et Bel.), *Eof. simplex* sp. nov., *Eof. crassa* sp. nov., *Paraeofusulina angusta* sp. nov., *arenata* sp. nov., *P. subtilissima* Putr., *Profusulinella convoluta* Lee et Chen., *Pr. elegans* sp. nov., *Chonetes carboniferus* Keys., *Ganrinella* sp., *Camarotoechia* sp., *Dielasma* sp., *Spirifer* sp., *Dictyoclostus* sp. Мощность 10 м.

Эта пачка, являющаяся переходной, относится к отложениям суйской подсвите бачаульдинской свиты. Выше переходной пачки совершенно согласно лежат отложения даражтисурхской свиты.

Даражтисурхская свита

9. Ритмичное, очень тонкое переслаивание песчаников зеленовато-серых с зеленовато-бурыми сланцами, в породах заключены сильно перекристаллизованные фораминиферы *Aljutovella* sp., *Profusulinella* sp., *Pseudostaffella* sp., *Textularia* sp. Мощность 10-15 м.

10. Конгломераты от крупногалечных до валунных с обильной галькой светло-серого хорошо окатанного известняка. Гальки известняка содержат колонии ругоз нижнекаменноугольного возраста. Отмечаются также гальки песчаников, сланцев, реже кремня и кварца. Цемент песчанисто-карбонатный буровато-серого цвета. Из галек известняка определены визейские фораминиферы и ругозы *Earlandia vulgaris* (Raus. et Reitl.), *Eostaffella prisca* Raus., *Plectogyra* sp., *Tuberitina collosa* Reitl., *Textularia* sp., *Archaediscus* sp., *Lithostrotion irregulare* Phill., *Palaeosmilia* sp. Из цемента конгломерата

та - среднекаменноугольные водоросли и фораминыфера *Dvinella comata Chvor.*, *Ungdarella sp.*, *Ozawainella Gpararhomboides Man.*, *Profusulinella librovitch Dutk.*, *Pseudostaffella sp.* Мощность 100-150 м.

II. Песчаники массивные желтовато-серого цвета на выветрелой поверхности и темно-зеленые в изломе. Мощность 5 м.

12. Конгломераты крупногалечные до валунных. В цементе конгломератов отмечается многочисленные сильно перекристаллизованные непределимые обломки раковин фузулинид и обрывки водорослей. Мощность 35 м.

13. Мощная пачка массивных средне- и крупнозернистых буровато-серых песчаников. Мощность 100 м.

14. Сланцы глинистые и углисто-глинистые темно-зеленые с шестоватой отдельностью. Мощность 40 м.

15. Мощная пачка буровато-серых мелкозернистых песчаников с гальками (до 5-10 см в диаметре) светло-серых хорошо окатанных известняков.

В песчаниках обнаружены фораминыфера и водоросли посредственной сохранности *Ungdarella sp.*, *Beresella sp.*, *Profusulinella sp.*, *Climacammina sp.*. Мощность 70 м.

16. Сланцы глинистые и углисто-глинистые зеленовато-серые с прослойми крупногалечного конгломерата.

В известняковых гальках конгломерата обнаружены визейские водоросли и фораминыфера *Koninckopora sp.*, *Earlandia sp.*, *Neotuberitina sp.*, *Monotaxis sp.*, *Textularia sp.*, *Archaediscus sp.*, а также ругозы *Lithostrotion sp.*, *Dibunophyllum sp.*, Мощность 40 м.

17. Песчаники мелкозернистые массивные буровато-серые. Мощность 10 м.

18. Заканчивают разрез сланцы глинистые, песчано-глинистые, темно-зеленые, зеленовато-серые, с шестоватой отдельностью. Мощность 35 м.

Выше тектонически контактируют с описанными отложениями мраморы и мраморизованные известняки среднего палеозоя.

БАССЕЙН р. КАРА-КУЛЬ

Река Кара-Куль впадает в оз.Искандер-Куль. Отложения карбона в её бассейне развиты довольно широко по обоим бортам. По правому борту на известняки нижнего-среднего карбона согласно ложатся отложения дарахтисурхской свиты. Местами контакт осложнен разрывами. Площадь распространения терригенных осадков в этом районе в основном совпадает с площадью развития карбонатных массивов каменноугольного возраста. Последние всюду представлены светло-серыми, розовато-серыми, белыми и темно-серыми, тонко- и толсто-слоистыми известняками, отдельные горизонты которых изобилуют окаменелостями нижнего и среднего карбона. Издавна считалось, что здесь имеют место непрерывные карбонатные разрезы девона и карбона. Это подтверждалось сообщением З.З.Муфтиева о находке по сай Аксай раковин *Productus deruptus*, характеризующих возраст, по заключению А.П.Ротая, как самые низы визе или верхнее турне. Однако в 1969 г. один из экземпляров брахиопод, собранных в свое время З.З.Муфтиевым, был вновь показан А.П.Ротая Д.А.Старшининым (устное сообщение). А.П.Ротай подтвердил сделанные ранее определения, но относительно возраста высказал мысль о возможности нахождения подобных форм вплоть до среднего визе. Таким образом, карбонатные отложения турне в бас-

сейне р.Кара-Куль, как и в бассейнах рек Шинг и Зиды прямо не подтверждают-
ся палеонтологическим материалом, а наличие терригенных образований верхне-
пушневатской подсвиты (- маргузорской свиты), возраст которой принимается
нами как турнейский, быстрее всего указывает на отсутствие карбонатного
турне в этих бассейнах.

Терригенная толща бассейна р.Кара-Куль долгое время относилась к
верхнему палеозою. Несколько позднее на геологических картах эта терригенная
толща стала обозначаться как средний-верхний карбон. По нашим данным, воз-
раст терригеннои толщи бассейна р.Кара-Куль определяется как московский ярус
среднего карбона (верхнемосковский подъярус). Ниже приводится детальное опи-
сание одного из наиболее хорошо изученных разрезов (разрезы в долине р.Кара-
Куль в 1964 г. были описаны совместно с профессором О.Л.Эйнером).

Разрез нижнего-среднего карбона по сая Снежному

В основании разреза залегают серые известняки среднего визе, тектони-
чески контактирующие с терригенными отложениями верхнепушневатской подсвиты.
Снизу вверх стратиграфически в разрезе наблюдается следующая последователь-
ность напластования (рис. 7,8).

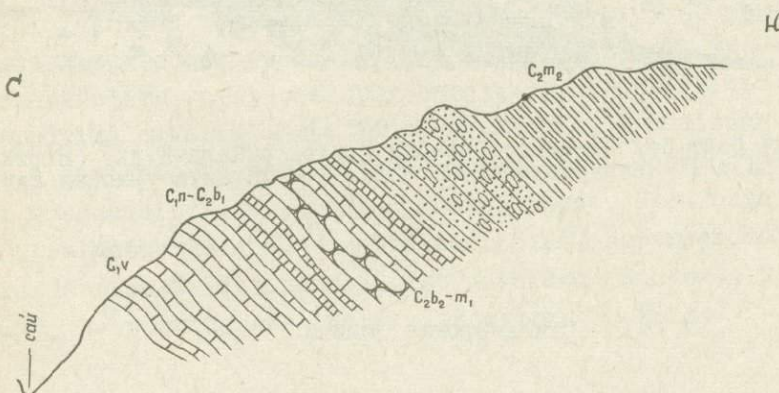


Рис. 7. Разрез по правому борту сая Снежного.

Якарчинская свита

I. Известняки серые и светло-серые массивные, отмечаются более тем-
ные разности с отчетливой слоистостью, они содержат многочисленные раковины
Productus (Gigantopproductus) mirus Frech, *Pr. (Gigantopproductus) sarsimbaii*
Serg., хорошо видимые на замытых и выветрелых поверхностях, но выбивающиеся
с трудом. Обильны в этих известняках и колонии мелких ругоз вида *Lithostro-
tion junceum Mart.* Из водорослей и фораминифер определены *Koninckopora in-*

flata (Kon.), *Kamaena delicata* Antrop., *Girwanella* sp., *Earlandia vulgaris* (Raus. et Reitl.), *Neotuberitina maljavkini* (Mikh.), *Eotuberitina reitlingerae* M. MacLay, *Forschia subangulata* (Moell.), *Plectogyra ex gr. omphalota* (Raus. et Reitl.), *Pl. bradyi* (Mikh.), *Pl. prisca* (Raus. et Reitl.), *Eostaffelia cf. ikensis* Viss., *Eost. prisca* Raus., *Palaeotextularia diversa* Tchern., *Tetrataxis minima* Lee et Chen, *T. cf. conica* Ehrenb., *Plano-archaediscus ex gr. spirillinooides* (Raus.), *Archaediscus cf. moelleri* Raus., *Arch. ex gr. karreri* Brady.



Рис. 8. Правый борт сая Снежного (правый приток р.Кара-Куль) (верхняя часть разреза): 1 - бачаульдинская свита; 2 - дарахтисурхская свита.

Сангальтская свита

2. Довольно мощная толща однообразных светло-серых, белых и розовато-серых сахаровидных массивных известняков, переполненных брахиоподами *Productus (Striatifera) striatus* Fisch., *Pr. (Striatifera) striatus var. angusta* Jan., (*Gigantoproductus*) *giganteus* Mart. Отсюда определены водоросли, фораминиферы, брахиоподы, ругозы: *Calcifolium okenze* Schw. et Bir., *Ungarella* sp., *Earlandia vulgaris* (Raus. et Reitl.), *Earl. minima* (Bir.), *Neotuberitina maljavkini* (Mikh.), *Parathurammina miklukho-maclayi* sp. nov., *P. suleimani* Lip., *Forchia mikailovi* Dain, *Endothyranopsis crassus* (Brady), *Globoendothyra globula* (Eichw.), *Mediocris cf. mediocris* (Viss.) *M. breviscula* (Ganelina), *Eostaffella cf. mosquensis* Viss., *Eost. ikensis* Viss., *Eost. proikensis* Raus., *Tetrataxis conica* Ehrenberg, *T. angusta* Viss., *Howchinia (Monotaxis) gibba* (Moell.), *Palaeotextularia longiseptata*

Lip., *Cribrostomum* ex gr. *eximium* Moell., *Cr. bradyi* Moell., *Climacammina* sp., *Archaeodiscus* ex gr. *moelleri* Raus., *Arch.* ex gr. *karreri* Brady, *Asteroarchaediscus* ex gr. *baschkiricus* (Krest. et Theod.), *Productus* (*Striatifera*) *striatus* Fisch., *Pr.* (*Striatifera*) *striatus* var. *angusta* Jan., *Pr.* (*Gigantopproductus*) *latissimus* Sow., *Productus* (*Dictyoclostus*) *concinnus* Sow., *Pr.* (*Linopproductus*) *corrugatus* M'Coy, *Palaeosmillia murchisoni* E. et H., *Dibunophyllum* ex gr. *derbiense* Sibly, *Carruthersella* ex gr. *robusta* Gorsk. а также многочисленные и хорошей сохранности мшанки, оставшиеся не определенными. Мощность 130 м.

Снежинская свита

3. Известняки темно-серые с отчетливой, местами довольно тонкой слоистостью, подчеркнутой многочисленными прослойками масляно-черного кремня и окремненного известняка. Мощность отдельных слоев от 1-2 до 5 см. Одни слои (тонкие) совершенно лишены желваков и линзочек кремня, другие содержат редкие отчетливые прослойки, а в общем получается пачка тонкого ажурного переслаивания известняков с кремнями (рис. 9). Очень часто встречаются, хотя из породы выбиваются плохо, брахиоподы из группы *Productus* (*Striatifera*) *striatus* Fisch. Встречено несколько экземпляров сравнительно плохой сохранности *Spirifer* cf. *bisulcatus* Sow., многочисленные *Productus* (*Gigantopproductus*) *edelburgensis* Phill., *Pr.* (*Dictyoclostus*) *concinnus* Sow., *Marginifera schartimiensis* Jan., а также *Dibunophyllum* cf. *arachnoformis* Vas.

На замытых участках хорошо видны обломки продуктусов, атирисов и спириферов. Отдельные прослои изобилуют дегритом криноидей. Многочисленны в этой пачке и фораминиферы, среди которых определены *Neotuberitina maljavkinii* (Mikh.), *Bradyina cribrostomata* Raus. et Reitl., *Ammodiscus* cf. *multivolutus* Reitl., *Eostaffella paraprotvae* Raus., *Eost.* *postmosquensis* Kir., *Eost.* cf. *mosquensis* Viss., *Eost.* *protvae* Raus., *Pseudostaffella antiqua* (Dutk.), *Palaeotextularia consibrina* Lipina, *Asteroarchaediscus* ex gr. *baschkiricus* (Krest. et Theod.), *Ast.* *ovoides* (Rauser), *Neoarchaediscus borealis* (Reitl.), *N.* *postrugosus* (Reitl.). Мощность 70-90 м.

Бачаульдинская свита

4. На подстилающих отложениях залегает с размывом и состоит в нижней части из пластов буровато-серых "пятнистых" известняковых конгломератов и конгломерато-брекчий (рис. 10), чередующихся с пластами серых и темно-серых фораминиферово-полидегритовых известняков. Как известняковые конгломераты, так и конгломерато-брекчии имеют органогенно-обломочную структуру, отмечается как хорошо окатанные, так и угловатые гальки известняка, реже песчаника и сланца. Органические остатки, правда, сравнительно плохой сохранности, обильны как в известняках, так и конгломератах. Здесь установлены *Donezella lutugini* Masl., *Beresella* sp., *Ungdarella* sp., *Neotuberitina*

maljavkini (Mikh.), *Ammodiscus tadschicistanicus* sp. nov., *Bradyina cribrostomata* Raus. et Reitl., *Eostaffella acuta* Grozd. et Leb., *Eost. postmosquensis* Kir., *Pseudostaffella antiqua* (Dutk.), *Ps. antiqua* var. *grandis* Schlyk., *Profusulinella staffellaeformis* Kir., *Pr. primitiva* Sosn., *Palaeotextularia crassa* sp. nov., *Asteroarchaediscus ex gr. baschkiricus* (Krest. et Theod.), *Ast. cyclopus* sp. nov., *Ast. karakulicus* sp. nov., *Neoarchaediscus minimus* (Groz. et Leb.). Мощность 50 м.

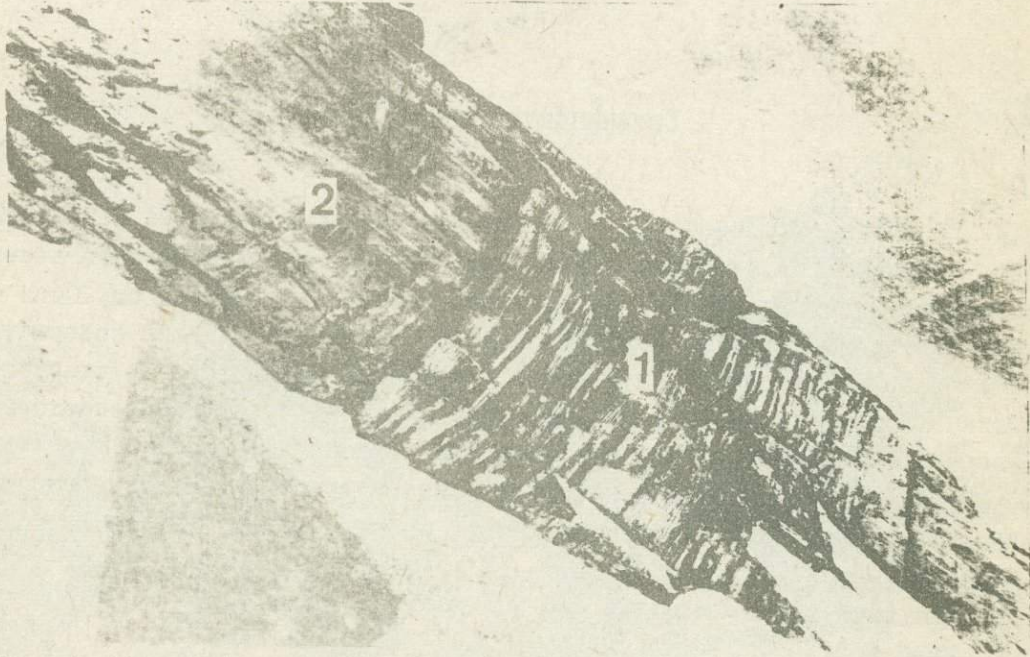


Рис. 9. Правый борт сая Снежного (нижняя часть разреза): I - снежинская свита (известники с кремнями); 2 - бачаульдинская свита.



Рис. 10. Правый борт сая Снежного. Выходы отложений бачаульдинской свиты (известняковые конгломераты и конгломерато-брекчии).

5. Пачка характерных узловатых фораминиферово-полидетритовых известняков (рис. II) с органогенной структурой, светло-серого цвета с желто-вато-бурыми пропластками алевритистых фузулиновых известняков с обильными водорослями, ругозами, табулятами и брахиоподами. Известняки переполнены фузулинидами, хорошо видимыми невооруженным глазом. Отсюда определены *Bere-sella erecta* Masl. et Kul., *Goksuella maslovi* Guvenc., *Ungdarella uralica*

Masi., многочисленные *Tuberitina collosa* Reitl., *T. gigantea* sp. nov., *Bradyina pseudonautili formis* Reitl., *Pseudostaffella mixta* Raus., *E. paraprotvae* Raus., *Novelia cf. sperta* Grozd. et Leb., *Pseudostaffella antiqua* var. *grandis* Schlyk., *Ps. ex gr. gorskyi* (Dutk.), *Verella varsanofievae* Dalm., *V. spicata* Dalm., *Profusulinella staffellaeformis* Kir., *Pr. parva* (Lee et Chen.). Отдельные слои содержат многочисленные и хорошей сохранности остатки ругоз *Stuckenbergia ex gr. longiseptata* Puzhjanov, *Caninia ex gr. borissiak* Fom., *C. ex gr. nosovi* Fom. Часто встречаются табуляты *Multithecopora aff. huanglungensis* Lee et Chen, и особенно многочисленны иногда переполняющие породу *Chaetetes radians* Fisch и *Ch. bosvelli* Heritsch. Встречены типичные *Choristites bisulcatus* Sem., а также *Spirifer bisulcatus* Sow., *Productus (Linopproductus) corrugatus* M'Coy, обломки раковин гастропод и криноидей. Мощность 30 м.



Рис. II. Левый борт р. Дарахти-Сурх. Бачаульдинская свита (узловатые известняки).

6. Пачка массивных темно-серых до черных битуминозных полосчатых известняков. Слои мощностью до 1-2 м. В этой пачке отмечаются тонкие прослойки и линзочки кремней. Здесь же отмечены пластовые дайки лампрофиров небольшой мощности (5-20 см). Часто встречаются однообразные ругозы и табуляты *Caninia ex gr. nosovi* Fom., *C. ex gr. borissiak* Fom. и *Chaetetes radians* Fisch., многочисленные остатки брахиопод плохой сохранности. Из

фораминифер содержатся *Haplophragmina longa* sp. nov., *H. potensa* Reitl., *Profusulinella elegans* sp. nov., *Pr. priscoidea* Raus., *Pr. rhomboides* Lee et Chen., *Pr. ovata* Raus., *Pr. prisca* (Depr.), *Pseudostaffella sphaeroidea* Ehrenb., *Pr. confusa* Lee et Chen, *Climacammina* sp., *Glomospira* sp., *Globivalulina scaphoidea* Reitl. Мощность 25 м.

7. Пачка ритмично переслаивающихся сиреневато-серых тонкослоистых до листоватых известняков с мелкими брахиоподами и черных известковистых сланцев с водорослями и фораминиферами: *Ungdarella uralica* Masl., *Eofusulina* ex gr. *triangula* (Raus. et Bel.), *Eof. simplex* sp. nov., *Eof. crassa* sp. nov., *Eof. serrata* sp. nov., *Paraeofusulina angusta* sp. nov., *P. subtilis-sima* Putr., *P. arenata* sp. nov., *Profusulinella convoluta* Lee et Chen.

В черных мергелистых известняках многочисленны раковины брахиопод плохой сохранности, среди которых определены *Chonetes carboniferus* Keys., *Cancrinella* sp., *Camarotoechia* sp., *Dielasma* sp., *Spirifer* sp., *Dictyoclostus* sp., *Chonetes* sp., *Marginifera* sp. Эта пачка является переходной между известняками и лежащими выше терригенными отложениями. В описываемом разрезе, как и во многих других разрезах этого типа, отмечается совершенно согласный постепенный переход через переходную пачку от известняков к терригенным отложениям. Мощность 10-15 м.

Дарахтисурхская свита

8. Сланцы глинистые густозеленые и зеленовато-серые известково-глинистые с алевропелитовой структурой. Мощность 25 м.

9. Песчаники буровато-серые мелкозернистые, чередующиеся с зеленово-серыми глинистыми сланцами. Мощность 25 м.

10. Конгломераты средне- и крупногалечные буровато-серые с обильной известняковой галькой, хорошо окатанной, светло-серого цвета. Цемент буровато-серый песчанисто-карбонатный. В известняковой гальке конгломерата обнаружены многочисленные визейские водоросли, фораминиферы и ругозы, а в цементе среднекарбоновые (верхнемосковский подъярус) водоросли и фораминиферы *Koninckopora inflata* (Kon.), *Girwanella* sp., *Ungdarella uralica* Masl., *Beresella* sp., *Neotuberitina maljavkini* (Mikh.), *Eotuberitina reitlingerae* M. Maclay, *Earlandia vulgaris* (Raus. et Reitl.), *Eostaffella cf. ikensis* Viss., *Eost. cf. kashirica* Raus., *Mediocris breviscula* (Gan.), *Profusulina librovitchi* Dutk., *Pr. pseudoromboides* Putr., *Ozawainella* sp., *Archaediscus gissaricus* Saltovskaje, *Lithostrotion irregularare* Phill., *Palaeosmilia* sp. Мощность 100-150 м.

II. Верхняя часть разреза образует мягкие сглаженные формы рельефа и представлена чередующимися разнозернистыми буровато-серыми и зеленовато-серыми песчаниками и зелеными глинистыми сланцами. Заканчивает разрез мощная пачка темно-серых и зеленовато-серых известково-глинистых сланцев с характерной шестоватой отдельностью. В этой части разреза в песчаниках обнаружены водоросли и фораминиферы сравнительно плохой сохранности *Ungdarella uralica* Masl., *Beresella* sp., *Palaeonubecularia* sp., *Bradyina* cf. *magna* Roth et Skin., *Eofusulina* ex gr. *triangula* (Raus. et Bel.), *Hemifusulina* cf. *consobrina* Raus., *Fusulinella* sp., *Fusulina* sp., *Climacammina* cf. *elegans* Moell. Мощность 300 м.

Выше терригенные отложения тектонически контактируют с мраморами метаморфической толщи среднего палеозоя.

Долина р.Зидды сложена в основном мезо-кайнозойскими образованиями. Лишь в прирусовой части долины, на участке от устья р.Куль-Дара до кишлака Оби-Хирф, обнажаются отложения палеозоя.

Средняя часть правого борта сложена известняками и известняковыми конгломератами нижнего и среднего карбона.

Весь левый борт и нижняя часть правого сложены также нижним и средним карбоном, но представленным комплексом пород сложного литологического состава - различными конгломератами, песчаниками, сланцами, кремнистыми породами и известняками, объединяемыми прежними исследователями в "зиддинскую" свиту, относимую ранее к верхнему палеозою.

В левом борту долины против сая Як-Арча обнажаются терригенно-карбонатные отложения нижнего-среднего девона.

Геологическое строение Зиддинской долины, несмотря на ее сравнительно небольшие размеры, довольно сложно. Чрезвычайное многообразие литологических разностей пород, резкая фацевальная изменчивость их, сравнительно частое отсутствие нормальных контактов между отдельными подразделениями, да к тому же тектонические нарушения сильно затрудняют изучение и выяснение геологии палеозойских отложений Зиддинской долины.

Наиболее древними породами, обнажающимися в Зиддинской долине, являются отложения нижнего и среднего девона (Салтовская, 1963).

Магианская свита

Отложения этой свиты развиты по левому борту р.Зидды против сая Як-Арча, образуя в прирусовой части долины р.Зидды 100-150-метровый обрыв.

Они представлены чередованием слоев серых, темно-серых тонко- и среднеслоистых криноидных и криноидно-детритусовых органогенно-обломочных известняков с черными и густозелеными тонкоплитчатыми кремнями. Иногда отмечаются не прослои кремней, а линзы или желваки.

Нижняя часть свиты содержит сравнительно богатый комплекс органических остатков (кораллов, криноидей), характерных для верхов нижнего - низов среднего девона (эйфеля): *Favosites ex gr. regularissimus Janet.*, *F. goldfussi* (d'Orb.), *Alvolites sp.*, *Heliolites sp.*, *Cupressocrinites pentaforus* Eichw., *C. crassus* Godf., *Cyclocyclicus rarimedianus* Eichw. и др. Мощность ее около 150-200 м.

Выше согласно залегают тонкоплитчатые кремнистые породы различного цвета. Цвет пород черный, густозеленый, бледно-зеленый, желтый, малиновый, светло- и темно-серый.

В верхней части свиты появляются тонкие прослои светло-серых известняков, в которых собраны остатки фораминифер плохой сохранности (сборы В.И.Лаврусевича, Д.А.Старшинина) *Tournayelidae*, *Endotuyrinae*. Мощность около 100 м.

Верхнепушнинская подсвита (маргозорская свита)

Отложения этой свиты развиты как в левобережье, так и в правобережье р.Зидды, где залегают на подстилающей известняково-кремнистой толще, вероятно, с несогласием. Они представлены в основном темной песчано-сланцевой толщей, образующей, по сравнению с нижележащими отложениями, более мягкие пологие формы рельефа. Отмечается также прослои и пачки гравелитов и конгломератов. Органические остатки в этой толще сравнительно редки и обычно очень плохой сохранности, обнаружены остатки фораминифер: *Parathurammina* sp., *Neotuberitina* sp., которые не определяют возраста точно. Мощность около 300-400 м.

Якарчинская свита

По литологическим особенностям эта свита отчетливо делится на две части. Нижняя - развита по левому и нижней части правого склона долины в среднем течении р.Зидды, ниже сая Як-Арча.

Представлена мелко- и крупногалечными полимиктовыми красно-бурыми конгломератами, зеленовато-серыми песчаниками, аргиллитами, алевролитами и сланцами. В средней части конгломератовой пачки расположено несколько горизонтов своеобразных водорослевых известняков, содержащих в изобилии остатки водорослей *Macella multiformis* sp. nov. В песчаниках отмечается большое количество, но плохой сохранности, растительного детрита, а также отпечатки растений. Описываемые отложения содержат многочисленные остатки водорослей и фораминифер, характерных для отложений среднего и низов верхнего визе: *Kamaena delicata* Antrop., *Koninckopora inflata* (Kon.), *Macella multiformis* sp. nov., *Globoendothyra ex gr. globulus* (Eichw.), *Endothyranopsis ex gr. crassus* (Brady), *Arehaediscus cf. convexus* Grozd et Leb. Мощность около 300 м.

Эти отложения без видимого несогласия налегают на песчано-сланцевые отложения маргозорской свиты и согласно покрывают отложениями верхней части якарчинской свиты. Ранее, эти отложения относились к зиддинской свите и выделялись А.П. Марковским и В.Р. Мартышевым (1937) в качестве нижнего конгломератового горизонта зиддинской свиты. Отложения верхней части якарчинской свиты распространены по правому борту р.Зидды ниже слияния ее с реками Бузлюк и Канджвара. Они узкой полосой протягиваются у основания массива каменноугольных известняков, а также занимают средние части склона р.Зидды. Представлены очень характерной пачкой пород: внизу - темно-зелеными, углисто-глинистыми сланцами, мелко- и грубозернистыми песчаниками с многочисленными отпечатками растений сравнительно плохой сохранности, среди которых определены *Calamites* sp., *Lepidodendron cf. kirgisicum* Zal., вверху - углисто-глинистыми черными и темно-серыми органогенно-детритусовыми тонко-, затем толстослоистыми известняками, изобилующими остатками фораминифер, водорослей, брахиопод, кораллов, криноидей, наутилоидей, гастропод: *Kamaena delicata* Antrop., *Koninckopora inflata* (Kon.), *Ungdarella* sp., *Mediocris mediocris* (Viss.), *Eostaffella ikensis* (Viss.), *Howchinia gibba*.

(Moell.), *Archaediscus ex gr. baschkiricus* (Krest. et Theod.), *Gigantoproductus mirus* Frech., *Striatifera cf. striata* (Fisch.), *Lithostrotion junceum* Flem., *L.irregulare* Phill. и др. Мощность около 100 м.

Сангальтская свита

Средняя часть известняковых массивов, протягивающихся грядой по правому борту р. Зидды, а также нижние части склонов левого борта в районе р. Сангальт и вблизи нее (отвесные стены известняков у бывшего поселка геологов) сложены породами сангальтской свиты.

Представлена она серыми, светло-серыми, розовато-серыми и белыми сахаровидными, иловатыми,oolитовыми и органогенными известняками с многочисленной, но встречающейся банками фауной. Комплекс органических остатков, содержащийся в отложениях сангальтской свиты сравнительно богатый: *Eostaffella ikensis* (Viss.), *E. mosquensis* Viss., *Asteroarchaediscus ex gr. baschkiricus* (Krest. et Theod.), *Striatifera striata* Fisch., *Gigantoproductus bisati* Paeck., *G. latissimus* Sow., *G. formosus* Eichw., *Productus aff. semireticulatus* Mart., *Schizopnoria resupinata* Mart., *Lithostrotion caespitosum* Mart. и др. Отложения сангальтской свиты согласно залегают на черных углисто-глинистых известняках якарчинской свиты. Мощность ее 100-150 м.

Снежинская свита

Отложения этой свиты развиты в средней части известняковых массивов по обоим бортам сая Як-Арча, а также протягиваются в виде узкой полосы на запад, подстилая образования бачаульдинской свиты.

Представлены породы серыми и темно-серыми тонкослоистыми до плитчатых мелкозернистыми известняками с прослойями, линзами и желваками масляно-черных и зеленовато-серых кремней. Отложения содержат комплекс фораминифер, характерных для чамурского и низов башкирского ярусов *Bradyina cribrostomata* (Raus. et Bel.), *Eostaffella postmosquensis* Kir., *E. pseudostruvei* Raus. et Bel., *Pseudostaffella ex gr. antiqua* (Dutk.), *Ps. ex gr. varsanofievas* Raus., *Ps. cf. proozawai* Kir. Породы снежинской свиты согласно лежат на известняках сангальтской свиты. Мощность 70-100 м.

Бачаульдинская свита

Эта свита слагает верхнюю часть гряды каменноугольных известняков по правому борту р.Зидды.

Образования бачаульдинской свиты представлены желтовато-серыми, розовато-серыми и темно-серыми тонко- и массивнослойистыми фузулиновыми, водорослевыми, обломочно-детритусовыми, солитовыми, пятнистыми известняками, известняковыми конгломератами и известковистыми песчаниками с прослоями, линзами и желваками черных и темно-серых кремней. Отложения содержат комплекс органических остатков - водорослей и фораминифер, характерных для верхов башкирского и низов московского ярусов: *Donezella lutugini* Masl., *Ungdarella urallca* Masl., *Eostaffella acuta* Grozd. et Leb., *E. kashirica* Raus., *Pseudostaffella antiqua* var. *grandis* Schlyk., *Profusulinella parva* (Lee et Chen.), *Pr. primitiva* Sosn., *Pr. prisca* (Depr.) и др. Кроме того, в них содержатся многочисленные остатки посредственной сохранности брахиопод, кораллов, гониатитов, гастропод и др.

Породы бачаульдинской свиты залегают с размывом на известняках с кремнями снежинской свиты. Мощность ее около 80-100 м.

Вероятно, к отложениям бачаульдинской свиты следует относить с некоторой долей условности и сравнительно мощную толщу пород, развитую у входа в ущелье р.Зидды на меридиане кишлака Оби-Хирф. К этой же свите, вероятно, следует относить и породы, развитые в бассейне р.Агба-Тахт и на противоположном берегу р.Зидды.

Последние отложения прежними исследователями относились к верхнему конгломератовому горизонту зиддинской свиты (Мартышев, 1937) или позднее к отложениям нижнего карбона (Салтовская, 1966).

Представлены эти отложения в нижней части (верхний конгломератовый горизонт, по В.Р.Мартышеву) однообразными, плотными массивно-слоистыми брекчиевидными известняковыми конгломератами с пластами тонкослоистых плотных известняковых песчаников. В обнажении породы не отличимы от известняков.

Многочисленные многолетние сборы органических остатков (в основном это фораминиферы) из этих отложений определялись как в гальках, так и в цементе как визейские или поздневизейские. К настоящему времени из цемента конгломератов из этой толщи определены башкирские *Eostaffella paragrotvae* Raus., *E. cf. acuta* Grozd. et Leb., *Pseudostaffella cf. subquadrata* Grozd. et Leb., *Ps. cf. pseudoquadrata* Man., *Ps. cf. gorskyi* (Dutk.).

В средней и верхней части долины р.Агба-Тахт литологический состав пород несколько меняется, в разрезе появляется примесь терригенных пород - сланцы, песчаники и полимиктовые конгломераты. Но несмотря на это, возраст этой части толщи, вероятно, тоже башкирский. Из этой пачки определены *Eostaffella* sp., *Pseudostaffella* sp., *Howchinia gibba* (Moell.). Мощность пачки около 400 м.

Отметим, что контакты данной толщи с подстилающими отложениями всюду тектонические, поэтому, к сожалению, стратиграфическое взаимоотношение и положение данной толщи точно не определяется. Условно она отнесена к отложениям бачаульдинской свиты, с которой имеет сходство по литологическому составу пород и по комплексу содержащейся фауны.

Дарахтисурхская свита

Эта свита имеет крайне ограниченное распространение в Зиддинской долине. Небольшими разобщенными выходами она обнажается выше кульдаринских ворот и в верховье сая Агба-Тахт. Представлена серыми, темно-серыми, сиреневато-серыми сланцами с маломощными прослоями алевритистых известняков, мелко- и среднезернистых песчаников и гравелитов.

В прослоях известняков и песчаников содержатся сравнительно многочисленные, но плохой сохранности остатки фораминифер и водорослей: *Dvinelia comata* Chvor., *Samarella* sp., *Profusulinella* sp., *Eofusulina* ex gr. *triangula* (Raus. et Bel.), *Ozawainella* sp. Мощность 50–100 м.

Левый борт долины р. Зеравшан, в районе селения Урмитан

Стратиграфия каменноугольных отложений левобережья р. Зеравшан у селения Урмитан (рис. I2), по данным предшествующих исследователей (Мартышев, 1958), представлялась в следующем виде: терригенная толща верхнего живета – нижнего турне согласно и постепенно сменяется визейскими известняками, известняки визе трансгрессивно покрывают терригенный толщей среднего карбона. Первые данные, полученные нами в результате изучения разреза в 1957–1958 гг., привели нас к ошибочному выводу о среднекаменноугольном возрасте

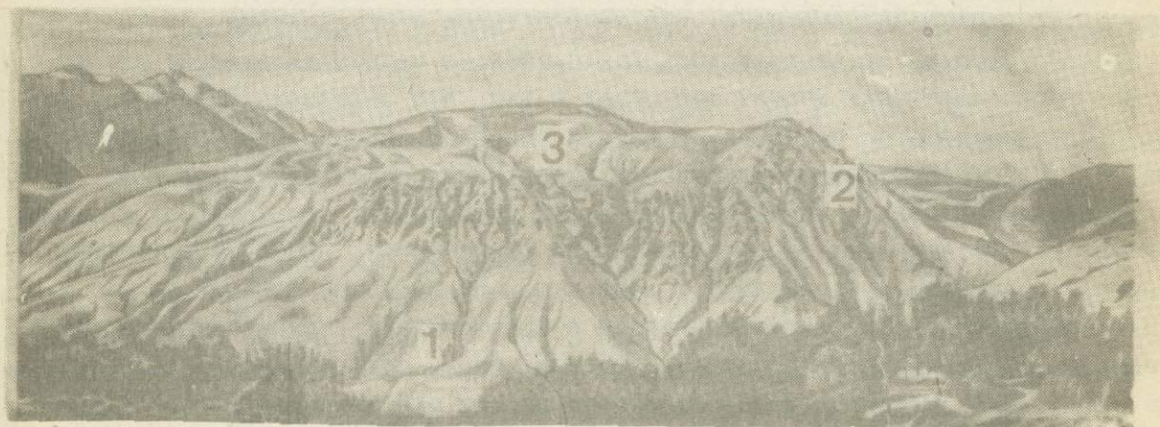


Рис. I2. Левый берег р. Зеравшан против селения Урмитан: 1 – песчано-сланцевые отложения силура и низов девона; 2 – известняки среднего девона – среднего карбона; 3 – отложения дарахтисурхской свиты.

известняков и подстилающих их терригенных отложений. Вкратце они сводились к следующему: в верхней части известняков была обнаружена среднекаменноугольная микрофауна (Салтовская, 1961). Из терригенной толщи, подстилающей известняки, из различных обнажений были собраны водоросли, фораминиферы, брахиоподы, ругозы, табуляты, наутилоиды, из которых определены *Girwanella* sp., *Beresella* sp., *Barlandia vulgaris* (Raus. et Reitl.), *Tuberitina* sp.,

Endothyra sp., *Eostaffella* sp., *Profusulinella parva* (Lee et Chen), *Archaeodiscus* sp., указывающие на нижний-средний карбон, а также *Schizophoria resupinata* Mart., *Pugnax pugnus* Mart., *Productus (Echinoconchus) punctatus* Mart., встречающиеся в карбоне; кроме того, *Orthoceratida?*, *Actinoceratida*, *Michelinoceras* sp., *Parawestonoceras* sp., распространенные главным образом в девоне (эйфеле); *Orthoceras cf. concomitatus* Koninck., относящийся к нижнему карбону; *Nothoceras?* sp., распространенный в девоне, главным образом в среднем, *Orthoceras cf. dicorepsus* Kon., типичный для турне Бельгии; *Squameofavosites* sp., *Heliolites* sp., характерные для верхнего лудлова - нижнего девона; *Pachyfavosites* sp. (ex gr. *P. exilis* Sol.), известный в нижнем и среднем девоне.

Приведенная фауна, таким образом, определяла возраст вмещающих пород в широком диапазоне от силура до среднего карбона и это послужило нам основанием считать эту терригенную толщу среднекарбоновой, а содержащиеся в ней органические остатки среднего палеозоя - переотложенными.

Как выяснилось позднее, геологическое строение этого небольшого участка оказалось необычайно сложным. Здесь имеют место надвиги, сбросы, оползневые явления. Это затушевало истинную последовательность напластований и привело различных исследователей к разноречивым выводам, иногда прямо противоположным.

В последние годы в результате работ коллектива геологов (П.Д.Виноградова, В.Т.Вашурова, Т.Е.Ефимовой, А.И.Лаврусевича, А.И.Менакова, Н.С.Торшина и др.) в Зеравшанской долине был установлен сокращенный разрез отложений от силура до среднего карбона. На наличие его в Зеравшанской долине впервые указал П.Д.Виноградов (Виноградов и др., 1961). Причем в урмитанском разрезе в нижней терригенной толще, относимой прежними исследователями (Мартышев, 1956, 1958) в верхнему живету - нижнему турне, а нами к среднему карбону, были обнаружены граптолиты верхнего силура. В настоящее время уже совершенно очевидно, что неправильное представление о стратиграфии этого участка обусловливалось как слабой изученностью стратиграфического распространения многих форм, так и тем, что некоторые обнажения ошибочно принимались за коренные. Одной из основных причин ошибочного отнесения В.Р.Мартышевым верхнесилурийских терригенных отложений к верхнему живету-нижнему турне явилось наличие в них примитивных однокамерных фораминифер. Как установлено в последнее время (Салтовская, 1966), терригенная толща, подстилающая известняки и содержащая примитивные фораминифера, включает прослои песчаников и сланцев с граптолитами верхнесилурийского возраста. Однокамерные примитивные фораминифера, содержащиеся в этой толще, являются в большинстве своем новыми видами уже известных родов (*Paramurammina*, *Archaeospaera*, *Vicinesphaera*) и как позднедевонско-турнейские определялись ошибочно.

Составленные разрезы показали наличие здесь в коренном залегании терригенных отложений венюка, верхнего силура и нижнего девона, карбонатных отложений турнейского, визейского и намюрского ярусов нижнего карбона, башкирского и нижней части московского яруса среднего карбона. Лежащие выше трансгрессивно терригенные отложения принадлежат московскому ярусу. В описание урмитанского разреза включена краткая характеристика силурийских и девонских отложений участка, поскольку возрастная принадлежность соответствующих образований и сейчас еще является предметом дискуссии. У урмитанского моста через Зеравшан (рис. I3) снизу вверх стратиграфически обнажаются:

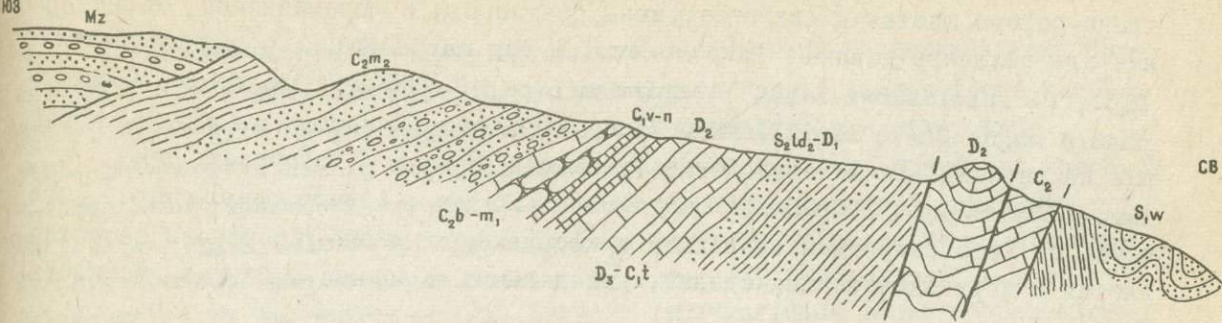


Рис. I3. Разрез по левобережью р.Зеравшан против селения Урмитан.

1. Мощная толща, принадлежащая венлоку. В низах её залегают черные глинистые и углисто-глинистые сланцы с грaptолитами, из которых А.М.Обутом определены *Monograptus* sp., *Cyrtograptus* sp.

В сланцах встречаются редкие и маломощные прослои желтовато-бурых алевролитовых известняков, в одном из которых обнаружены *Parathurammina* sp.

В середине пачки обнажаются песчаники сиреневато-бурые, чередующиеся с бурыми сланцами с грaptолитами плохой сохранности. Верхняя часть представлена горизонтом характерных черных гороховых известняков, которые наблюдаются также в бассейне р.Шишкат. Этот горизонт, очевидно, не выдержан по простиранию, так как в Урмитанском разрезе он наблюдается неповсеместно. Мощность пачки 150–200 м.

2. Пачка чередующихся черных глинистых, тонкослоистых известняков с обильными брахиоподами, ругозами, табулятами, темно-бурых глинистых сланцев, гравелитов и разнозернистых хорошо слоистых песчаников. В нижней её части в песчаниках обнаружены многочисленные грaptолиты, из которых определены верхнесилурийские: *Pristiograptus* sp., *Colonograptus* sp. А несколько выше собраны ругозы и брахиоподы *Rhizophyllum enoxite Ether.*, *Pseudoamplexus* sp., *Bilobites bilobus* (L.). Этот комплекс характерен для переходных отложений от силура к девону. В этих же известняках обнаружены многочисленные примитивные фораминиферы, представленные новыми видами родов *Parathurammina*, *Archaesphaera* и *Earlandia*. Верхняя часть представлена чередующимися песчаниками и сланцами с прослойями темно-коричневых листоватых песчаников с обильными тентакулитами, трилобитами, наутилоидиями, ругозами, табулятами, из которых определены мелкие ругозы типа *Syringaxon* а также табуляты *Favosites aberrans Regnell*, *Dictyofavosites chumychensis Tchern.*, характерные для нижнего девона. Мощность 25–50 м.

3. Пачка зеленовато-серых тонкослоистых и плитчатых легко узнаваемых в поле известняков, имеющих характерные бугристые поверхности напластования. Они содержат мелкие брахиоподы и криноидии девонского возраста. Обнаружены в них также однокамерные примитивные фораминиферы: *Parathurammina* sp., *Archaesphaera* sp., *Ivdelina* sp., *Cribrosphaeroides* sp. Эти известняки очень похожи на известняки среднего девона в разрезе долины р.Шишкат. Мощность 70 м.

4. Пачка чередующихся тонко- и толстослоистых известняков серого и темно-серого цвета. В них обнаружены брахиоподы и фораминиферы, характерные для позднего девона: *Parathurammina dagmarae* Sul., *P. paradagmarae* Lip., *P. soleimani* Lip., *P. spinosa* Lip., *P. tuberitina* Lip., *Archaeosphaera magna* Sul., *Arch. minima* Sul., а также многочисленные сферы, известные из верхнедевонских отложений Русской платформы *Calcisphaera* sp., *Radiosphaera* sp., *Polyderma* sp., *Sphaerella* sp., *Asterosphaera* sp. Эта пачка по литологическим признакам и комплексу фораминифер хорошо сопоставляется с верхнедевонскими слоями, выделенными в долине р. Шишкат. Мощность 50 м.

Чукаликская свита

5. Известняки серые и темно-серые, хорошо слоистые. В разрезе их трудно отличить от верхнедевонских, но в шлифах они резко отличаются по присутствию в них многокамерных фораминифер и многочисленных водорослей *Parachaetetes* sp. Известняки относятся, вероятно, уже к турнейскому ярусу. В них обнаружены *Quasiendothyra communis* (Reitl.), *Endothyra inflata* Lip., *En. beata* Mal., *Spiroplectammina* sp., *Archaeosphaera* sp., *Cribrosphaeroides* sp., *Parathurammina soleimani* Lip., *P. dagmarae* Sul., *Earlandia minima* (Bir.), *Earl. vulgaris* (Raus. et Reitl.), *Earl. parammina* (Pojark.), *Bisphaera malevkensis* Bir., *Tuberitina minima* Sul., *Eovolutina elementa* Antr. Эта пачка является стратотипом для отложений чукаликской свиты. Условно к отложениям чукаликской свиты нами относятся и известняки нижнего визе. Мощность 50 м.

Лакарчинская свита

6. Известняки серые и темно-серые, участками белые, толстослоистые, органогенные, в которых встречаются банками брахиоподы и ругозы. Отмечаются водоросли *Kamaena delicata* Antrop., *Beresella* sp. и фораминиферы среднего-позднего визе: *Sogdianina angulata* Saltov., *Endothyranopsis ex gr. crassus* (Brady), *Plectogyra brady* (Mikh.), *Mediocris mediocris* (Viss.), *Eostaffella ikensis* Raus., *Eost. mosquensis* Viss., *Asteroarchaediscus ex gr. baschkiricus* (Krest. et Theod.), *Archaediscus aff. karreri* Brady, *Arch. moelleri* Raus. Мощность 25 м.

Сангальтская и снежинская свиты

7. Массивные светло-серые известняки с обильными фораминиферами, брахиоподами, ругозами: *Bradyina cf. cribrostomata* Raus., *Archaeodiscus karreri* Brady, *Plectogyra ex gr. omphalota* (Raus.), *Eostaffella protvae* Raus., *Eost. paraprotvae* Raus., *Asteroarchaediscus baschkiricus* (Krest. et Theod.), *Archaeodiscus pseudomoelleri* Reitl., *Productus (Echinoconhus) punctatus* Mart., Pr. (*Diclyoclostus*) cf. *concinus* Sow., Pr. (*Striatifera*) *striatus* Fisch., *Chonetes papilionacea* Phill., *Spirifer cf. bisulcatus* Sow., *Palaeosimilia ex gr. murchisoni* E. et H. Перечисленные формы определяют визе-намюрский возраст пород. Мощность 45 м.

Бачаульдинская свита

8. Известняки брекчевидные светло- и темно-серые, пятнистые, местами олиговые, толстослоистые с многочисленными водорослями и фораминиферами: *Donezella* sp., *Ungdarella* sp., *Eostaffella postmosquensis* Kir., *Glebivalvulina* sp., *Pseudostaffella antiqua* (Dutk.), *Ps. antiqua* (Dutk.) var. *grandis* Schlyk., *Profusulinella bona* Grozd. et Leb., *Asteroarchaeodiscus ex gr. baschkiricus* (Krest. et Theod.), ругозами из группы *Caninia* sp. и табулями *Chaetetes* sp., указывающими, вероятнее всего, на башкирский ярус. Мощность 30 м.

9. Известняки серые, темно-серые толстослоистые обломочные, массивные с резким запахом битума, с водорослями и фораминиферами нижнемосковского подъяруса: *Ungdarella uralica* Masl., *Beresella erecta* Masl. et Kul., *B. urwitanica* sp. nov., *Goksuella maslovi* Güvenc., *Dvinella comata* Chvor., *Bradyina conautiliformis* Reitl., *Pseudostaffella antiqua* (Dutk.), *Profusulinella parva* (Lee et Chen), Pr. *ovata* Raus., *Schubertella obscura* Lee et Chen, *Eostaffella* sp., *Textularia* sp. Мощность 25-50 м.

Выше трансгрессивно лежит терригенная толща московского яруса, представленная чередующимися черными глинистыми и углисто-глинистыми сланцами и буровато-желтыми песчаниками и гравелитами, принадлежащая дарахтисурской свите.

Дарахтисурская свита

10. Пачка, сложенная глинистыми сланцами, чередующимися с черными глинистыми известняками и буровато-желтыми песчаниками и гравелитами. Из известняковых прослоев и гравелитов были определены: *Beresella erecta* Masl. et Kul., *Dvinella comata* Chvor., *Ungdarella uralica* Masl., *Eostaffella kashirica* Raus., *Pseudostaffella* sp., *Profusulinella parva* (Lee et Chen.), Pr. *ovata* Raus., *Bradyina* sp., *Textularia* sp. Мощность 50 м.

II. Сланцы глинистые темно-зеленые и черные с довольно мощными линзами известняков. Мощность 50 м.

12. Песчаники мелко- и среднезернистые коричневато-серые с прослойми и линзами известняков. В линзе известняков обнаружены многочисленные водоросли: *Donezella* sp., *Ungdarella* sp., а также фораминиферы: *Archaediscus* sp., *Bradyina pseudonaufragiformis* Reitl., *Ozawainella* sp., *Schubertella obscura* Lee et Chen., *Sch. pauciseptata* Raus., *Pseudostaffella* sp., *Profusulinella* sp., *Textularia* sp. Мощность 80 м.

13. Сланцы глинистые и песчанистые зеленовато-серые и темно-зеленые с прослойми известняков и песчаников с многочисленными водорослями и форами-ниферами, из которых были определены *Ungdarella* sp., *Beresella* sp., *Dvinella* sp., *Eofusulina ex gr. triangula* Raus. et Bel., *Aljutovella* sp., *Profusulinella* sp., *Pseudostaffella* sp., *Bradyina* sp., обломки *Textularia* sp. Мощность 50 м.

БАССЕЙН р. ШИНГАК

Река Шингак является правым притоком р. Зеравшан, впадающим в неё на меридиане г. Пенджикента. Верховье р.Шингак сложено песчано-сланцевой толщей лландовери-венлоха, а также терригенною толщею лудлова-нижнего девона. Ниже р.Шингак образует непроходимое ущелье, прорезая известняки девон-карбона. На размытой поверхности этих известняков трансгрессивно и несогласно залегают терригенные отложения среднего карбона. Непосредственно у кишлака и чуть выше по обоим бортам сая наблюдается толща, преимущественно терригенного состава с небольшим количеством карбонатных прослоев, относимая В.Д.Салтовской к силур-девону, другими (М.М.Кухтиковым и И.Н.Черенковым) - к верхнему палеозою. Нижняя часть долины сложена красноцветными отложениями мела.

Разрезы карбона, описанные по долине Шингака, сравнительно однотипны. Массив известняков девон-карбона (гора Учкыз) является труднодоступным и для изучения разрезов. В настоящее время хорошо изучена нижняя часть толщи известняков этого массива, принадлежащая нижнему и среднему девону, и верхняя, которая принадлежит среднему карбону. Ввиду однородности и монолитности массива вполне естественным является предположение о присутствии в нем отложений верхнего девона и нижнего карбона, которые до сих пор здесь не были никем отмечены. О возможности нахождения здесь отложений указанного возраста говорит повсеместное их развитие в Зеравшанской долине в совершенно однотипных разрезах Шишката, против селения Урмитан, саев Порут, Ривут и др. В настоящее время многими исследователями предполагается, что известняки среднего девона и среднего карбона соприкасаются в разрезах только по разрывам.

Верхние части известнякового разреза по саю Шингак и его притокам представлены несколькими литологическими разностями: брекчированными и конгломератовидными известняками, узловатыми, битуминозными массивными; они содержат богатый комплекс ископаемых водорослей, фораминифер, ругоз и табулят и относятся нами к отложениям бачаульдинской свиты. В разрезах по саю Шингак отсутствуют отложения суйской подсвиты, так как расположенные выше терригенные отложения ложатся на известняки с размывом.

Терригенные отложения по положению в разрезе (залеганию на бачаульдинской свите), литологическому составу пород и комплексу имеющейся фауны относятся к дарахтисурской свите.

Разрез, составленный по левому
берту р.Шилгак

Джнее известнякового девон-карбонового массива наблюдается следующий разрез (рис. I4).

1. Известняки светло-серые, серые, участками желтовато-серые обломочные, местами иловатые. В них отмечается прослой, переполненный остатками ругоз, строматопороидей, табулят, брахиопод: *Stringocephalus burtini* Defr., *Favistella rhenana* (Frech.), *Amphipora ramosa* Phil., *Chaetetes* sp., определяющими возраст вышеющих их известняков как средний девон (эйфель-живет), а возможно и самые низы верхнего девона. Мощность 5 м.

2. Доломиты темно-серые искристые. Мощность 10 м.

3. Известняки плотные, массивные, без фауны. Мощность 20 м.

Выше, по-видимому, по разрыву залегают известняки среднего карбона.

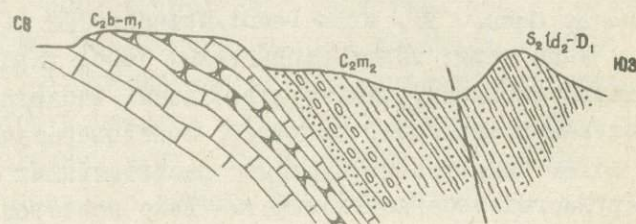


Рис. I4. Разрез по левому притоку р.Шингак.

Бачаульдинская свита

4. Известняки обломочные, пятнистые, серые и буровато-серые. В основании слоя отмечается известняковый конгломерат. В средней части пачки проходит горизонт с обильными, но плохой сохранности ругозами, табулятами. Известняки отдельными участками тонкослоистые до листоватых, местами рыхлые черные и темно-серого цвета. Из этой пачки определены *Donezella* sp., *Ungdarella* sp., *Tuberitina bulbacea* Gall. et Harlt., *Ammodiscus compactus* Brahn., et Pot., *Eostaffella postmosquensis* Kir., *Pseudostaffella antiqua* (Dutk.), *Profusulinella parva* (Lee et Chen), ругозы из группы *Caninia* sp., табуляты *Chaetetes* sp.

Приведенный комплекс органических остатков соответствует низам среднего карбона - башкирскому ярусу. Мощность 15 м.

5. Известняки серые и светло-серые с массой водорослей *Donezella* sp. и редкими *Ungdarella* sp. Мощность 10 м.

6. Известняки серые массивные без фауны. Мощность 20 м.

7. Известняки серые оолитовые с водорослями и фораминиферами: *Donezella* sp., *Goksuella maslovi* Güvenc, *Ungdarella* sp., *Beresella urmitanica* sp. nov., *Pseudostaffella antiqua* var. *grandis* Schlyk., *Parastaffella*

сп., *Profusulinella staffellaeformis* Kir., *Parastaffella pseudosphaeroides* (Dutk.), *Eostaffella pseudostruvei* Raus., *Ozawainella* sp.,

характерными для башкирского яруса. Мощность 8 м.

8. Известняки обломочные, брекчиевидные темно-серые с *Beresella erecta* Maal. et Kul., *Ungdarella uralica* Masl., *Profusulinella parva* Lee et Chen, *Pr. primitiva* Sosn., *Pr. prisca* (Depr.), *Pseudostaffella* sp., *Deckerella* sp. Мощность 5 м.

9. Известняки темно- и светло-серые массивные с *Parastaffella variabilis* Raus., *Pseudostaffella ex gr. sphaeroidea* (Ehrenb.), *Bradynia pseudonaufragiformis* Reitl., *Textularia* sp., *Profusulinella parva* Lee et Chen., *Pr. arta* Leont. Мощность 20 м.

Выше лежит толща терригенных пород дарахтисурской свиты. Поверхность контакта неровная, сильно изрезанная, наблюдаются карманообразные углубления, заполненные сланцами, брекчиеи, конгломератами. Базальными слоями терригенной толщи являются то сланцы с растительными остатками хорошей сохранности, то крупногалечные конгломераты. Реже непосредственно на контакте отмечаются песчаники.

Дарахтисурская свита

10. В основании терригенной пачки залегают гравийные, мелко- и крупногалечные конгломераты, а также грубозернистые песчаники сиреневатого и буроватого цвета, реже - темные сланцы. Мощность 12 м.

11. Песчаники мелко- и среднезернистые серые с сиреневатым оттенком. Мощность 3 м.

12. Чередование песчаников с конгломератами, переходы между ними резкие и постепенные. Мощность 5 м.

13. Пачка, представленная черными углисто-глинистыми сланцами с тонкими от 5 до 50 см прослойками буровато-серых мелко- и среднезернистых песчаников. Из прослоев песчаников определены *Profusulinella prisca* (Depr.), *Pr. ovata* Raus., *Schubertella obscura* Lee et Chen, *Pseudostaffella ex gr. sphaeroidea* (Ehrenb.), *Textularia* sp., характеризующие возраст вмещающих пород как московский ярус. Мощность 150 м.

14. Пачка, сложенная чередующимися мелко- и среднегалечными конгломератами, разнозернистыми буровато-серыми песчаниками, глинистыми сланцами и очень плотными темно-серыми известняками. Из прослоев известняков и песчаников определены водоросли *Ungdarella* sp. Мощность 50 м.

По разрыву с вышеописанной пачкой соприкасаются сланцы с граптолитами силура.

МАГИАНСКИЙ ТИП РАЗРЕЗОВ

Наиболее широко отложения этого типа развиты в Шинг-Магианском районе по саям Турк-Ларида, Иджам, Дараи-Хурд, в районе озер Нофин, Маргузор, в районе рек Кара-Куль, Майхура, Зиды и протягиваются далее на восток за пределы описываемого района. Каменноугольные отложения в этом типе разрезов пред-

ставлены турнейскими терригенными породами верхнепушневатской подсвиты (-маргозорская свита), которая с несогласием залегает на различных горизонтах более древних отложений. Отложения моложе турнейского возраста в данном типе разреза не обнаружены.

Пушневатская свита была установлена В.Р.Мартышевым, ранее эти отложения относились либо к силуру, либо к верхнему палеозою.

В.Р.Мартышев определил её возраст как среднедевонско-турнейский, указав, что по литологическим признакам эта свита может быть разделена на две подсвиты. Нижняя подсвита преимущественно кремнистая с подчиненными прослоями детритусово-обломочных и криноидных известняков. Реже отмечаются глинистые, алевритистые сланцы и песчаники. Верхняя подсвита преимущественно песчано-сланцевая с подчиненными прослоями конгломератов. Как показали исследования В.И.Лавусевича, Д.Р.Мучайдзе, Д.А.Старшина и др., нижнепушневатская подсвита заключает в себе окаменелости нижнего и среднего девона, а верхнепушневатская - турне. Подсвиты разделены между собой длительным перерывом, отвечающим, по крайней мере, всему позднему девону. На этом основании эти подсвиты рассматриваются в настоящее время как свиты и получили собственные географические названия: агбасайская и маргозорская.

Ниже приведем краткое описание разрезов магианского типа по саям Турк-Парида и Иджам.

РЕКА ТУРК-ПАРИДА

Сай Турк-Парида является левым притоком р.Магиан. Нижняя часть его виляй долины сложена карбонатными отложениями силура и нижнего девона. В верховых сая развиты терригенные отложения верхнепушневатской подсвиты.

Разрез, составленный по левому борту сая Турк-Парида, начиная от девонских известняков, снизу вверх по склону представляется в следующем виде:

1. Известняки серые детритусовые массивные. Мощность 75 м. Вверх по разрезу сменяющиеся тонкослоистыми разностями, в которых обнаружены *Atrypa ex gr. reticularis* L., *Atrypa sp. indet.*, *Favosites ex gr. goldfussi d'Orb.*, *Chaetetes sp.*, *Stromatopora sp.*. Мощность 150 м.

2. На размытой поверхности известняков пачки I залегают сланцы глинистые и алевролитовые с линзами и тонкими прослоями мелкозернистых полимиктовых песчаников, в которых обнаружены остатки фораминифер: *Parathurammina dagmarae* Sul., *Archaesphaera* sp., *Quasiendotyra cf. communis* (Raus.), *Endothyra tuberculata* Lip., *Spiroplectammina* sp., определяющие возраст вмещающих пород как самые низы карбона (турне). Мощность 200 м.

3. Конгломераты темные, мелкогалечные и полимиктовые, песчаники с прослоями алевролитовых сланцев. Мощность 50 м.

4. Сланцы алевролитовые сероцветные с прослоями полимиктовых средне- и крупнозернистых песчаников. Мощность 100 м.

5. Песчаники полимиктовые среднезернистые буровато-серые с прослоями глинистых сланцев. Мощность 50 м.

РЕКА ИДЖАМ

Река Иджам — левый приток р. Магиан, впадающий в нее ниже кишлака Магиан. Терригенные отложения верхнепушневатской подсвиты развиты в верховьях сая и по обоим его бортам и имеют тот же характер взаимоотношений с подстилающими известняками девона, что и по сая Турк-Парида.

Разрез верхнепушневатской подсвиты по сая Иджам представляют:

1. Сланцы черные кремнистые с прослоями серых и темно-серых грубозернистых известняков. Мощность 60 м.

2. Сланцы глинистые зеленовато-серые с прослоями полимиктовых буровато-серых песчаников, отмечается также линзовидные прослои светло-серых массивных известняков, в которых обнаружены плохой сохранности остатки примитивных фораминифер: *Archaesphaera* sp., *Vicinesphaera* sp., *Parathurammina* sp. Мощность 100 м.

3. Сланцы глинистые и алевролитовые с многочисленными линзами и прослоями серых и светло-серых, местами массивных, местами обломочных известняков и полимиктовых буровато-серых песчаников. Из прослоев песчаников обнаружены фораминифера *Archaesphaera* sp., *Parathurammina* sp., *Septatournayella?* sp., *Spiroplectammina* sp. Мощность 50-70 м.

4. Венчают разрез крупногалечные конгломераты буровато-серого цвета с галькой от угловатой до хорошо окатанной, состоящей из кремня, кварца, песчаника, сланца, гранита и светло-серого известняка. Отмечается гальки светло-серого криноидно-детритусового среднедевонского известняка с обломками табулят, ругоз и брахиопод. Цементом является крупнозернистый песчаник. В гальках светло-серого известняка и цементе конгломерата обнаружены примитивные фораминифера: *Archaesphaera magna* Sul., *Eovolutina aff. elementa* Antr., *Vicinesphaera* sp., *Parathurammina magna* Antr., *Neotuberitina maljavkini* (Mikh.). Мощность 30-50 м. Неполная мощность отложений пушневатской свиты в описанном разрезе равна 230 м.

ВАШАНСКИЙ ТИП РАЗРЕЗОВ

Отложения этого типа известны на северном склоне Зеравшанского хребта, где они протягиваются непрерывной полосой, занимая средние части бассейнов рек Вашан, Мади, Кум, Зарават, Новибед, Нови-Миона, Утикашк, Кумарг, Фаль-маут, Дарх и др. Представлены они почти исключительно терригенной фацией и относятся к намюрскому ярусу нижнего карбона и среднему и, условно, верхнему карбону. Разрез делится на две довольно сложных и разнообразных в литологическом отношении толщи. В первой из них, названной вашанской свитой, есть маркирующий горизонт своеобразных алевритистых рыхих тонкослоистых до листоватых известняков. Мощность его от 100 до 250 м. Не менее характерен также мощный горизонт тонкоплитчатых кремнистых сланцев различных цветов (серого, черного, голубого, зеленого, малинового) с прослоями светло-серых, иногда детритусовых известняков по 0,5-1-2 м мощности.

Вашанская свита содержит остатки фораминифер и гониатитов намюрского яруса нижнего карбона. Она трансгрессивно ложится на граптолитовые сланцы силура (венлок-лудлов). Мощность отложений от 200 до 1000 м, возможно, и бо-

лее. Свита прослежена более чем на 150 км. Почти по всем разрезам выделяется юго-западное падение отложений этой свиты с углами 30–70°. Стратотипом отложений вашанской свиты является разрез по саяу Вашан. Верхняя часть разреза в большинстве своем имеет тектоническое ограничение сверху. На северном склоне Туркестанского хребта отложения, подобные вашанской свите, выделены под названием шаланской свиты (Поршнякова, 1961). Они трансгрессивно покрываются терригенной толщей московского яруса среднего карбона.

Другая свита вашанского типа разрезов – обизардская представлена ритмичным чередованием песчаников, гравелитов и сланцев с горизонтами крупногалечных и валунных конгломератов. Наиболее детально и полно разрез её изучен в долине р. Мадм, по названию левой составляющей которой, речки Оби-Зард, и дано название свиты. Возраст свиты определяется как средний и условно низы верхнего карбона.

Лучшие разрезы вашанской и обизардской свит наблюдаются по долинам рек Вашан, Мадм, Кум, Утикашк, Нови-Мионда, Кумарг, Пакшиф, Дарх (рис. I5).

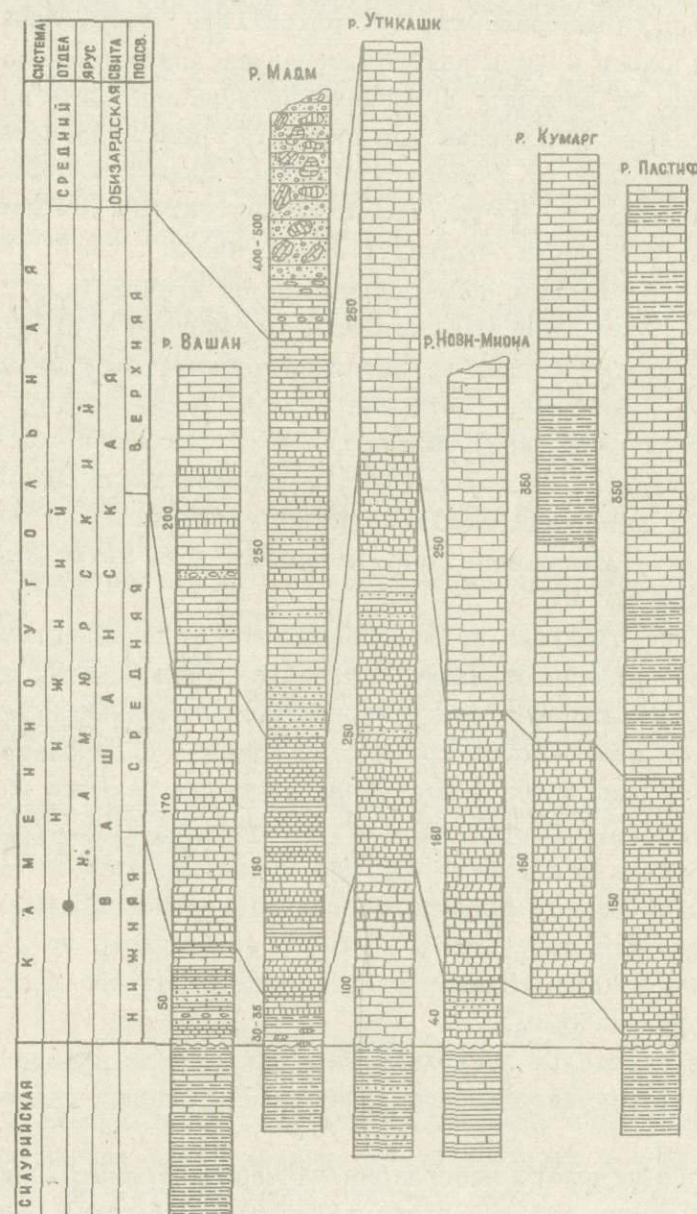


Рис. I5. Схема сопоставления разрезов карбона Вашанского типа.

ДОЛИНА р. ВАШАН

В нижней части долины р.Вашан развита бурая песчано-сланцевая толща нижнего силура, которая трансгрессивно покрывается красноцветными отложениями мела. Выше кишлака Вашан развиты углистые и углисто-глинистые черные сланцы лудлова. Несколько выше слияния двух составляющих р.Вашан обнажаются отложения вашанской свиты.

Описываемый разрез составлен по правому борту правой составляющей. Здесь трансгрессивно на сланцах, содержащих остатки граптолитов венлок - нижнего лудлова, залегают отложения вашанской свиты, среди которых по литологическому составу отчетливо выделяются три части:

1. Нижняя, представленная переслаивающимися полимиктовыми зеленовато-серыми песчаниками, алевритистыми желтовато-серыми и серыми известняками и зеленовато-серыми и темно-серыми кремнистыми сланцами с горизонтом органогенного известника с обильными гониатитами, из которых Л.С.Либровичем определены (сборы В.Р.Мартышева) *Cravenoceras cowlingense* Bisat., *C. cf. alaicum* Librovitch., *C. arcticum* Librovitch., *Dimorphoceras cf. plicatilis* Moore, *Antracoceras* sp. Возраст гониатитовых слоев - низы намюрского яруса нижнего карбона.

Непосредственно по контакту с гониатитовой пачкой выше по разрезу, в тонкослоистых известняках обнаружены фораминиферы: *Archaesphaera* sp., *Parathurammina* sp., *Eostaffella* sp., *Endothyra prisca* Raus. et Reitl., *Textularia* sp., *Asteroarchaediscus ex gr. baschkiricus* (Krest. et Theod.), характерные для нижнего карбона. Мощность пачки 50 м.

2. Средняя - представлена переслаивающимися кремнистыми сланцами различных цветов: серого, темно-серого, черного, зеленого и густозеленого с редкими прослойями алевритистых черных известняков желтовато-бурых на вывертых поверхностях. Прослои известняков содержат остатки фораминифер, характерные для нижнего карбона (не ниже визе), *Eostaffella cf. ikensis* Viss., *Mediocris aff. mediocris* (Viss.), *Archaeodiscus cf. krestovnikovi* (Raus.), *Arch. ex gr. moelleri* Raus., *Asteroarchaediscus ex gr. baschkiricus* (Krest. et Theod.), *Tuberitina* sp., *Ammodiscus* sp., *Howchinia* sp., *Textularia* sp. Мощность средней пачки 170 м.

3. Верхняя - представлена переслаивающимися тонкослоистыми, местами листоватыми алевритистыми известняками желтовато-бурого цвета, желтовато-серыми алевролитами, полимиктовыми среднезернистыми песчаниками зеленовато-серого цвета с прослойями темно-серых кремнистых сланцев и буровато-серых гравелитов (пачка "рыжих" известняков). Эта пачка содержит остатки многочисленных фораминифер: *Plectogyra* sp., *Eostaffella cf. mosquensis* Viss., *Eost. prisca* Raus., *Eost prisca* Raus. var. *ovoides* Raus., *Mediocris mediocris* (Viss.), *M. breviscula* (Gan.), *Asteroarchaediscus subbaschkiricus* (Reitl.), *Neoarchaediscus ex gr. minimus* (Grozd. et Leb.), *Howchinia* sp., *Textularia* sp. Мощность этой пачки 200 м. Суммарная мощность отложений вашанской свиты в описанном разрезе равна 500 м.

Второй разрез составлен несколько выше по течению правой составляющей р.Вашан. В нем наблюдается несогласное залегание отложений вашанской свиты на сланцах силура.

1. Без видимого углового несогласия на черных углисто-глинистых и углистых сланцах, содержащих остатки граптолитов силура, лежит пачка рыжевато-серых, черных и темно-серых в изломе тонкослоистых алевритистых известняков вашанской свиты. Мощность 15 м.

2. Кремнистые сланцы темно-серые, черные и зеленовато-серые тонкоплитчатые. Мощность 15-20 м.

3. Частое переслаивание "рыхих" алевритистых тонкослоистых до листовых известняков с зеленовато-серыми и буровато-серыми мелко- и среднеслоистыми песчаниками и гравелитами. Мощность 15-25 м.

4. Стратиграфически выше обнажается пачка "рыхих" алевритистых известняков, среди которых наблюдается небольшой прослой конгломератов. В последнем собраны остатки гониатитов как в гальках, так и в цементе. Среди гониатитов, содержащихся в гальках известняка из конгломерата, А.В.Яговкиным определены *Cravenoceras* sp. и *Homoceras* sp. Он считает, что род *Cravenoceras* является зональным родом для низов намюра, *Homoceras* — для средних горизонтов намюра. Здесь же в цементе конгломерата содержатся мелкие гониатиты, из которых им же определены *Cravenoceras* aff. *hesperium* M. et F. Мощность 10 м.

5. Вышеописанные известняки с гониатитами сменяются обломочными розово-серыми и светло-серыми тонкослоистыми до листоватых криноидными известняками с многочисленными членниками криноидей, оказавшимися неопределенными. Мощность 2 м.

6. Пачка известняков с остатками гониатитов, представленная частым переслаиванием слоев серого и темно-серого известняка по 10-20 см мощности с тонкослоистыми до листоватых (1-3 см) темно-серыми до черных известняками. Эти слои содержат в изобилии остатки гониатитов довольно плохой сохранности, с трудом выбивающиеся из породы, из которых А.В.Яговкиным определены *Homoceratooides* sp. (aff. *divaricatum* Hind), несколько обломков *Antracoceras* sp., а также обломки раковин гониатитов, родовую принадлежность которых определить трудно (возможно, это *Schartymites*). *Homoceratooides* — род, распространенный в верхней части намюра (зона *Reticuliceras* и, возможно, ниже) и в низах башкирского яруса (зоны *Banneroceras* и *Gastrioceras*). *Antracoceras* — широко распространенный род (визейский-башкирский ярусы). По мнению А.В.Яговкина, скорее намюрский (самые верхние горизонты), хотя не исключены и низы башкирского яруса. Мощность 3 м.

7. Пачка тонкослоистых до плитчатых серых и буровато-серых мелкозернистых известняков, несколько плойчатых, в которых обнаружены нижнекарбоновые фораминиферы *Eostaffella* sp., *Asteroarchaediscus* ex gr. *baschkiricus* (Krest. et Theod.), *Plectogyra* cf. *prisca* (Raus. et Reitl.), *Textularia* sp. Мощность 5 м.

8. Тонкослоистые серые и светло-серые алевритистые известняки. Мощность 5 м.

9. Чередование средне- и тонкослоистых алевритистых мелкозернистых известняков. Мощность 2,5-3 м.

РЕКА МАДМ

Река Мадм является левым притоком р.Зеравшан, впадающим в неё против кишлака Вишкент. Нижняя часть долины р.Мадм проходит в песчано-сланцевой толще нижнего силура, на которой трансгрессивно лежат отложения мезо-кайнозоя. В 0,5 км выше кишлака Мадм по обоим бортам долины развиты терригенные отложения вашанской свиты. Толща имеет юго-западное падение с углами 20-30, иногда до 50°.

Разрез по отложениям вашанской свиты составлен по небольшому сухому логу левого борта р.Мадм, несколько выше кишлака. Снизу вверх наблюдалась следующая последовательность в напластовании.

1. Сланцы черные глинистые и углисто-глинистые, среди которых собраны остатки граптолитов, определенные Ю.В.Рыцком, *Pristiograptus aff. vulgaris* (Wood), *Pr. bohemicus* (Barr), *Pr. cf. nilsoni* (Barr.), *Pr. (Colo-nograptus) sp. indet.*, *Plectograptus macilentus* (Tomquist), указывающие на нижний лудлов, вероятно, самые низы этого подъяруса.

Вашанская свита

2. На сланцах с граптолитами лежат зеленовато-бурые глинистые сланцы с желваками и стяжениями зеленых кремней. Мощность 15 м.

3. Сланцы светло-серые кремнистые, выше по разрезу появляются известняки и песчаники. Мощность 25 м.

4. Черные кремнистые сланцы с редкими прослойками темно-серых криноидных известняков. Из этой пачки определены нижнекаменноугольные фораминиферы *Neotuberitina* sp., *Eostaffella* sp., *Archaediscus cf. krestovnikovi* Raus. Мощность 150 м.

5. Известняки алевритистые серые и темно-серые, рыжие с выветрелой поверхности, тонкослоистые до плитчатых. В этой пачке обнаружены отпечатки гониатитов намюрского облика, по мнению А.В.Яговкина, очень плохой сохранности. Мощность 50 м.

6. Зеленые до черных углисто-глинистые и кремнистые сланцы с прослойками мелкозернистых буровато-серых песчаников и алевритистых известняков. Мощность 70 м.

7. Мощная пачка буровато-серых и черных в изломе алевритистых тонко-слоистых до листоватых известняков с нижнекаменноугольными фораминиферами плохой сохранности *Eostaffella* sp., *Archaesphaera* sp., *Archaediscus moelleri*. Отмечаются прослои зеленовато-серых мелкозернистых песчаников, а также зеленых и черных кремнистых сланцев. Мощность 150 м.

8. Пачка переслаивающихся зеленых, зеленовато-серых и темно-серых кремнистых сланцев с зелеными, зеленовато-бурыми и черными глинистыми сланцами. Мощность 35 м.

9. Пачка рыхлых алевритистых известняков с прослойками зеленовато-серых и черных глинистых сланцев. Выше по разрезу обнажаются известняки, от массивных до тонкослоистых и листоватых. Мощность 50 м.

Обизардская свита

10. Ритмичное переслаивание песчаников, гравелитов и сланцев. В средней части присутствует горизонт крупногалечных и глыбовых конгломератов. Мощность 400-500 м.

Хороший разрез отложений обизардской свиты, связанный постепенным переходом с отложениями вашанской свиты, расположен по левому борту р.Мади на 1,5 км выше одноименного кишлака.

Снизу вверх последовательность в напластовании следующая.

Вашанская свита

I. Пачка, представленная алевритистыми темно-серыми тонкослоистыми до плитчатых рыжевато-бурыми с выветрелой поверхности известняками с редкими прослойями кремнистых сланцев. В известняках обнаружены *Neotuberitina maljavkini* (Миж.), *Fostaffella cf. mosquensis* Viss., *Asteroarchaediscus ex gr. baschkiricus* (Krest. et Theod.). Мощность 100 м.

2. Переслаивание алевритистых "рыхих" известняков с черными и зелено-вато-серыми кремнистыми сланцами. Пачки I-2 относятся к отложениям вашанской свиты. Мощность 5 м.

Выше залегают отложения обизардской свиты.

Обизардская свита

3. Сланцы зеленые с прослойями, линзами и караваеобразными стяжениями песчаников. Мощность 5-10 м.

4. Кремнистые сланцы зеленые. Мощность 2 м.

5. Серые тонкослоистые известняки. Мощность 0,5 м.

6. Зеленые глинистые сланцы. Мощность 2 м.

7. Черные и темно-серые кремнистые сланцы. Мощность 5 м.

8. Известково-глинистые и глинистые черные и зеленые сланцы. Мощность 50 м.

9. Переслаивание зеленых глинистых сланцев и буровато-серых песчаников. Мощность 20 м.

10. Зеленовато-бурые глинистые и черные известковистые сланцы с караваеобразными, округлыми и неправильными телами буровато-зеленых песчаников. Мощность 50 м.

II. Песчаники зеленые и зеленовато-бурые мелкозернистые. Мощность 70 м.

12. Зеленовато-бурые и темно-серые глинистые сланцы с округлыми и караваеобразными стяжениями песчаников. Мощность 50 м.

13. Горизонт глыбовых конгломератов очень своеобразный, в нем наряду с глыбами, достигающими 1 км по простиранию и около 10-50 м мощности, наблюдаются прослои мелко- и среднегалечных конгломератов с хорошо окатанной галькой светло-серого известняка, зеленых и черных кремнистых сланцев, белого кварца. Отмечаются гальки зеленых и бурных лампрофиров. Здесь же, внутри горизонта, наблюдаются глыбы хорошо слоистых зеленовато-серых мелко- и среднезернистых песчаников, а также глыбы плитчатых кремнистых сланцев. Встречены прослои и пачки зеленовато-бурых глинистых сланцев. Наиболее крупные глыбы известняка облекаются то чисто сланцевым цементом, то песчанистым, то гравелитовым. Из галек известняка А.И.Лаврусевичем, В.Л.Лелешуком и Г.Н.Менаковой определены силурийские и девонские *Cladopora rectilineata* Simps., *Favorites ex gr. regularissimus* Yanc., *F. abberans* Regnelli, *Dictyofavosites chumyshensis* Tchern., *Meliolites* sp., *Pseudomicroplasma*

fongi (Jon.), *Neocolumnaria ex gr. vagranensis* (Soshk.), *Atrypa cf. desquamata* Sow. В цементе конгломерата встречены *Ungdarella* sp., *Eotuberitina reitlingerae* M. Maclay, *Eostaffella* sp., *Profusulinella* sp. Мощность 400 м.

14. Пачка чередующихся зеленовато-серых песчаников с зелеными и темно-серыми глинистыми сланцами. Мощность около 100 м.

РЕКА КУМАРГ

Река Кумарг является правым притоком р.Файдарья. Её долина в нижнем течении на протяжении около 6-7 км сложена отложениями вашанской свиты. Изученные разрезы находятся в 3 км выше кишлака Кумарг и расположены по обоим бортам долины.

Разрез, составленный по левому борту второго правого притока, р.Кумарг

1. Хорошо слойстые до плитчатых изумрудно-зеленые, дымчато-голубые, малиновые, черные и светло-серые кремнистые сланцы. Мощность 140 м.

2. Черные известковистые сланцы с шестоватой (карандашвидной) отдельностью. Мощность 110 м.

3. Алевритистые тонкослоистые до листоватых "рыхеватые" известняки, которые содержат прослои с остатками гониатитов посредственной сохранности: *Cravenoceras aff. hesperium* Mill. et Furr., указывающими на нижнюю часть намирского яруса. Мощность 50 м.

4. Пачка, представленная частым переслыванием черных и темно-серых известковистых сланцев с алевритистыми известняками до 15-20 см мощности. Среди известняков имеются прослои с остатками гониатитов намирского облика.

Вверх по разрезу количество известковистых сланцев резко убывает и пачка становится исключительно известняковой. Мощность 50 м.

5. Тонкослоистые до листоватых мергелистые известняки с характерным рыхевато-бурым цветом на выветреных поверхностях. Часто встречаются прослои с остатками мелких гониатитов хорошей сохранности, среди которых А.В.Яговкиным определены: *Cravenoceras aff. merriami* Journeyst., *Cravenoceras aff. hesperium* M. et H. ранненамирского возраста. В пачке отмечаются также прослои грубодетритусового известняка с остатками мелких члеников крионидей. Мощность 10-15 м.

6. Заканчивают разрез черные и темно-серые хорошо слойстые известняки без органических остатков.

Разрез, составленный по правому
борту р.Кумарг

1. Прямо у русла речки обнажается пачка зеленых, голубых, черных, малиновых и серых плитчатых кремнистых сланцев. Мощность 150 м.

2. Пачка тонкослоистых алевритистых известняков рыжевато-бурых с выветрелой поверхности, образующих при разрушении характерные для отложений вашанской толщи "рыжие" осыпи.

В пачке обнаружены прослой известняка с остатками гониатитов посредственной сохранности, среди которых определен *Cravenoceras* sp. (aff. *merriami* Joungquist), указывающий на нижнюю часть намюра. Мощность 120 м.

3. Мощная пачка очень своеобразных известковистых сланцев темно-серых, образующих характерные осыпи с щестоватой отдельностью. Мощность 80 м.

4. Совершенно согласно на сланцах снова лежит пачка алевритистых рыжих и рыжевато-серых тонкослоистых до листоватых известняков. Среди них отмечаются прослой детритусовых известняков с неопределимыми остатками криноидей, а также прослой с остатками ранненамюрских гониатитов *Cravenoceras* aff. *merriami* Joungquist. Мощность 150 м.

По мнению А.В.Яговкина, гониатиты, собранные по разрезам в бассейнах рек Вашан и Кумарг, "все происходят из одного стратиграфического горизонта, относящегося к зоне *Cravenoceras* нижнего намюра. Виды рода *Cravenoceras*, приведенные выше, отвечают формам, определяемым Л.С.Либровичем, как *alaicum* и *ferganensis* Librovich".

РЕКА ПАКШИФ

Верховье р.Пакшиф (левый приток р.Зеравшан) сложено известняками и сланцами силура и девона, в низовьях развита песчано-сланцевая толща лландовери-венлокса. Каменноугольные отложения в бассейне р.Пакшиф представлены лишь обизардской свитой, разрез которой составлен вдоль левого борта долины.

1. Конгломераты известняковые буровато-серые. Галька от хорошо окатанной до угловатой. Цемент глинисто-карбонатный. Многочисленные остатки ископаемых организмов (ругозы, табуляты и криноидей) из-за сильной перекристаллизации оказались неопределимыми. По той же причине не были определены и фораминиферы, встреченные в гальках известняков. Мощность 6 м.

2. Довольно мощная пачка зеленовато-серых и буровато-серых песчано-глинистых и хлорито-серцитовых сланцев с многочисленными прослойками, линзами и, видимо, просто валунами и гальками известняковых конгломератов, брекчиивидных известняков, серых мраморизованных известняков, а также песчаников.

В гальках конгломератов, а также гальках, рассеянных в сланцах, обнаружены водоросли, фораминиферы и брахиоподы визейского возраста *Girwanella* sp., *Koninckopora macropora* Masl., *Neotuberitina matjavkini* (Mikh.), *Earladia vulgaris* (Raus. et Reitl.), *Globoendothyra globulus* (Eichw.), *Eostaffella cf. proikensis* Raus., *Gribrostomum* sp., *Archaediscus*

karreri Brady, Arch. moelleri Raus., Productus (Gigantoprotus) ex gr. giganteus Mart., Productus (Striatifera) striatus Fisch. В других гальках известняков были обнаружены силурийские и девонские Amphipora гамоза Phill., Stromatopora sp., Tryplasma sp., Favosites sp. Мощность 100-120 м.

3. Конгломераты известниковые буровато-серого цвета. Гальки в основном известниковые очень плохо окатаны, в большинстве своем резко угловатые. Цемент карбонатный. В цементе конгломератов обнаружены сильно перекристаллизованные обрывки водорослей *Ungdarella* sp. и остатки раковин *Fusulinidae*, встречающиеся не ниже среднего карбона. Далее по тектоническому контакту с конгломератами обизардской свиты соприкасаются отложения нижнего - среднего девона, переполненные остатками ругоз, табулят, криноидей, гастропод, наутилоидей, трилобитов. Отсюда определены *Lytielasma* ex gr. *halliaformae* (Soshk.), *Favositidae* (верхнесилурийско-среднедевонского облика), *Cupressocrinites crassus* Goldf. Мощность 6 м.

РЕКА РОГ

Река Рог является левым притоком р. Зеравшан. По её левой составляющей, выше летовки, в тектонических взаимоотношениях с окружающими толщами силура обнаруживаются отложения сложного литологического состава, относимые нами к обизардской свите (рис. I6).

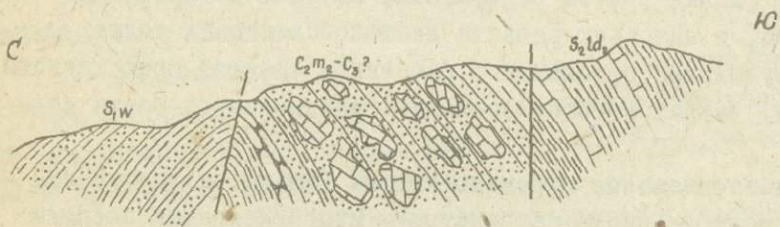


Рис. I6. Разрез по левому берегу р. Рог.

ных конгломератов. Гальки конгломерата состоят в основном из кварца, кремня, песчаника и сланца. Очень редко встречаются гальки темно-серых и марморизованных известняков. Встречено также несколько галек сильно измененного гранита. Цемент - известняково-песчанистый. Мощность 30 м.

3. Конгломераты буровато-серые, красновато-бурые медко- и среднегалечные. Состав галек конгломератов довольно разнообразный - известняковые нескольких цветов и разновидностей, песчаниковые, сланцевые, кварцевые. Лишь очень редко отмечается гальки сильно измененных изверженных и эфузивных пород (это в основном серые биотитовые граниты и порфиры). Гальки от хорошо окатанных до угловатых. В гальках известняков обнаружены оказавшиеся неопределыми остатки криноидей и брахиопод, из ругоз и табулят определены силурийские, девонские и нижнекарбоновые *Tryplasma asiaticum* (Nikol.), *Lithostrotion irregulare* Phill., *Favosites* cf. *alpina* Horn.

В гальках конгломератов обнаружены многочисленные водоросли и фораминиферы *Koninckopora inflata* (Kon.), *Girwanella* sp., *Neotuberitina maljavkini* (Mikh.), *Eotuberitina reitlingerae* M. Maclay, *Earlandia vulgaris* (Raus. et

I. Песчаники буровато-серые и зелено-вато-серые, средне- и грубозернистые, массивные, полимиктовые. Мощность 25 м.

2. Песчаники буровато-серые и зелено-вато-серые, грубозернистые, с линзовидными прослоями и линзами гравелитов и мелкогалеч-

Reitl.), *Plectogyra prisca* (Raus. et Reitl.), *Mediocris mediocris* (Viss.), *Eostaffella ikensis* Viss., *Eost. prisca* Raus., *Archaediscus karreri* Brady, Arch. moelleri Raus., *Asteroarchaediscus ex gr. baschkiricus* (Krest. et Theod.), характерные для визейского яруса. Встречена всего одна галька се-рого известняка с многочисленными девонскими *Ivdelina* sp., *Cribrosphaeroides* sp. Цемент конгломерата известняково-песчанистый с редкими обломками водорослей *Ungarella* sp. и *Eostaffella* sp., встречающихся в карбоне не ниже визейского яруса. Мощность 50 м.

4. Песчаники буровато-зеленые и зеленовато-серые грубозернистые с линзами и прослоями гравелитов и мелкогалечных конгломератов. Мощность 60-80 м.

5. Сланцы серые до темно-серых и даже черных, глинистые и песчано-глинистые с прослоями и линзами зеленовато-серых мелко- и крупно-зернистых полимиктовых песчаников и гравелитов.

В прослоях песчаников отмечаются лишь сильно перекристаллизованные раковины фораминифер каменноугольного облика. Мощность 50 м.

6. Верхнюю часть разреза примерно на протяжении 250-300 м слагает довольно мощный горизонт глыбовых конгломератов. Детальное изучение его показало, что он состоит из линзовидных прослоев, линз мелко-, средне- и крупногалечных до валунных и глыбовых конгломератов. Никакой закономерности в распределении галек, их крупности или степени окатанности установить не представляется возможным. Наблюдается самое беспорядочное расположение галек и глыб в разрезе. То же самое можно сказать и о цементе. Иногда глыба облекается сланцевым цементом, иногда песчаниковым. Иногда огромные глыбы (20x20 м) находятся в цементе типичного конгломерата рядом с очень хорошо окатанными мелкими 1-2 см галечками известняка.

Состав галек конгломерата самый разнообразный, однако преобладающими являются гальки и глыбы известняков, самых различных по цвету и составу. Встречаются гальки кварца, песчаника, сланца, кремня и измененных порфиритов и гранитов. Иногда гальки и глыбы известняков, разные по возрасту и составу, соприкасаются друг с другом, образуют горизонты в виде линз или связаны известняковым пленочным цементом. Из галек, валунов и глыб были собраны и определены довольно разнообразные остатки ископаемых организмов: водорослей, фораминифер, брахиопод, криноидей, ругоз, табулят, на основании которых возраст известняковых галек определяется от силура до нижнего карбона включительно *Ungarella* sp., *Koninckopora cf. inflata* (Kon.), много *Archaesphaera* sp., *Neotuberites maljavkini* (Mikh.), *Mediocris cf. mediocris* (Viss.), *Endothyranopsis crassus* (Brady), *Endothyra prisca* Raus. et Reitl., *Cribrostomum* sp., *Archaediscus karreri* Brady, Arch. ex gr. moelleri Raus., Arch. cf. krestovnikovi (Raus.), *Asteroarchaediscus ex gr. baschkiricus* (Krest. et Theod.), *Howchia gibba* (Moell.), *Amphipora ramosa* Phill., *Actinostroma* sp., *Thamnopora cf. crassa* (Schlut.), *Favosites basalticus* (Goldf.), *Alveolites ex gr. crassus* Lec., *Grypophyllum* sp., *Heliophyllum* sp., *Tryplasma* sp., несколько раковин брахиопод *Atrypa* sp., много оказавшихся неопределыми членников криноидей. Из цемента конгломератов определены *Ungarella* sp., *Eostaffella* sp., *Pseudostaffella* sp.

Мощность отложений карбона в бассейне р. Рог равна 450-500 м. В соседнем селе Полдара, где разрез не нарушен разрывами, мощность значительно больше и достигает 700-800 м.

ГЛАВА III

СТРАТИГРАФИЯ

Каменноугольные отложения на территории Зеравшано-Гиссарской горной области, как уже отмечалось выше, распространены весьма широко и представлены нижним и условно верхним отделами (см. схему).

Нижний карбон. В отложениях нижнего отдела каменноугольной системы в Зеравшано-Гиссарской горной области выделяются три яруса: турнейский, визейский и намюрский.

Отложения турнейского яруса представлены карбонатными и терригенными породами и связаны обычно постепенным переходом с литологически сходными отложениями девона, вторые обычно лежат на подстилающих отложениях с несогласием.

Нижняя граница яруса проводится по появлению многокамерных сложноорганизованных фораминифер *Quasiendothyra ex gr. communis* (Raus.), *Q. urbana* Mal., *Tourtayella septata* Dain. и др., а также водорослей *Parachaetetes palaeozoicus* Masl. Мощность в карбонатных фациях не превышает 50 м. В терригенных фациях она значительно больше — около 1000 м.

Отложения визейского яруса содержат богатый комплекс окаменелостей и представлены преимущественно карбонатными породами. В некоторых разрезах они связаны постепенным переходом с подстилающими отложениями турнейского яруса. Нижняя граница яруса недостаточно четкая. Значительно более отчетливо определяется подошва среднего визея, характеризующаяся появлением *Koninckopora inflata* Kon., *Plectogyra prisca* (Raus. et Reitl.), *Pl.*

bradyi (Mikh.), *Ammodiscus priscus* Raus., *Tetrataxis conica* Ehrenb., *Productus (Gigantoprotectus) mirus* Frech., *Pr. (Gigantoprotectus) sarsimbai* Serg. Мощность визейских отложений 250—400 м.

Отложения намюра представлены в двух фациях: карбонатной и терригенной. В карбонатных разрезах они связаны постепенным переходом с подстилающими отложениями визейского яруса. В разрезах, где намюрский ярус сложен терригенными породами, наблюдается трансгрессивное залегание их на отложениях силура. Намюрский ярус принимается в объеме намюра "A" и "B" по расчленениям Западной Европы. Намюр "C" отнесен к башкирскому ярусу среднего карбона. Нижняя граница намюрского яруса проводится по подошве слоев, содержащих округлые зонтаффеллы *Eostaffella ex gr. protvae* Raus., а также *Bradyina cribrostomata* Raus. et Reitl., *Neoarchaediscus minimus* Grozd. et Leb., *Spirifer bisulcatus* Sow., *Productus (Dictyoclostus) concinnus* Sow., *Pr. (Linoprotectus) corrugatus* M'Coy, *Marginifera schartimiensis* Jan и др. Мощность отложений намюра 70—250 м.

СХЕМА СТРАТИГРАФИИ КАМЕННОУГОЛЬНЫХ ОТЛОЖЕНИЙ ЗЕРВАНГО-
ГИССАРСКОЙ ГОРНОЙ ОБЛАСТИ

Средний карбон. В отложениях среднего отдела каменно-угольной системы в описываемой области выделяются два яруса: башкирский и московский.

Отложения башкирского яруса представлены преимущественно карбонатными породами и обычно тесно связаны с подстилающими отложениями намюра. Нижняя граница башкирского яруса проводится по первому появлению псевдоштаффелл группы *Pseudostaffella antiqua* (Dutk.), *Ps. pugnacosa* Raus., а также брахиопод *Productus (Linoprodustus) corrugatus* M'Coq, первыми *Choristites bisulcatus* Semich. Перерыв в осадконакоплении приурочивается главным образом к середине башкирского яруса и попадает, вероятнее всего, на границу между нижним и верхним подъярусами. Мощность около 100-200 м.

Отложения московского яруса представлены в карбонатной и терригенной фациях и согласно подстилаются нижележащими породами башкирского яруса. Нижняя граница яруса проводится по массовому появлению представителей родов *Profusulinella*, *Aljutovella* и *Eofusulina*: *Aljutovella aljutovica* Raus., *A. saratovica* (Putr. et Leont.), *Profusulinella prisca* (Deprat), *Pr. ovata* Raus., *Eofusulina ex gr. triangula* (Raus. et Bel.), а также тонкоребристых хористит московского типа. Мощность около 900 м.

Как видно из вышеописанного, каменноугольные отложения, развитые в Зеравшано-Гиссарской горной области, группируются в три фациально-стратиграфических типа. Для каждого типа разрезов характерна определенная площадь распространения. Типы разрезов имеют черты сходства и различия, выражющиеся в составе фаций, в стратиграфической последовательности.

СЕВЕРО-ГИССАРСКИЙ ТИП РАЗРЕЗОВ

Отложения Северо-Гиссарского типа развиты в виде трех изолированных полос. Една полоса прослеживается в пределах Гиссарского хребта в верховьях р. Шинг, в долинах рек Кара-Куль и Зидды. Вторая полоса этих отложений протягивается от гор Тозлак до р. Джихикрут. Отложения северной полосы развиты в Зеравшанской долине, где наблюдаются по долинам рек Шингак, Шишкат, Дарх, Порут, Ревут и у селения Урмитан.

Для разрезов Северо-Гиссарского типа характерна непрерывная последовательность карбонатных пород от визейского яруса нижнего карбона до нижнеомсковского подъяруса среднего карбона включительно. Вся серия карбонатных отложений на основании литологических особенностей делится на ряд свит и подсвит. Следует отметить, что наряду с большим сходством разрезов, принадлежащих различным полосам, между ними имеются и различия. Так в Зеравшанской долине отложения визе согласно подстилаются карбонатными породами турнейского яруса, а последние в свою очередь согласно подстилаются карбонатными отложениями девона. В более южных полосах турнейский ярус представлен терригенными накоплениями верхнепушнинской подсвиты, которая несогласно налагает на различные горизонты нижнего и среднего девона и также несогласно, очевидно, перекрывает карбонатными породами визе.

В связи с тем, что в настоящей работе перечисленные разрезы объединены в Северо-Гиссарский тип, вполне вероятно, что при более детальном районировании будет целесообразно вернуться к точке зрения, высказанной нами ранее (Салтовская, 1961), о целесообразности выделения Зеравшанской полосы в особый тип разрезов. Различен также и характер контакта между карбонатными ст-

ложениеми среднего карбона и покрывающими их терригениными отложениями дарахтисурхской свиты. В южной полосе разрез непрерывный, тогда как в северной — между ними отмечается несогласие.

В отложениях Северо-Гиссарского типа выделяются следующие свиты: чукалийская (карбонатные отложения турне и, возможно, низов визе), верхнепушневатская подсвита (=маргузерской свите) (терригенные отложения турне), якарчинская (среднее и низы верхнего визе), сангальтская (верхнее визе), синекинская (намор и низы башкирского яруса), бачаульдинская (верхнебашкирский и нижнемосковский подъярусы), дарахтисурхская (верхнемосковский подъярус).

Чукалийская свита

Отложения этой свиты установлены в настоящее время лишь на северном склоне Зеравшанского хребта по с. Чукалик (Салтовская, 1969). В большинстве разрезов они срезаны разрывами (по рекам Шипкат, Шингак, Дарх и др.).

Наиболее характерными признаками отложений чукалийской свиты являются их отчетливая слоистость, согласное налегание на хорошо слоистые светло-серые известняки верхнего девона, наличие раковин многокамерных фораминифер.

Стратотип свиты находится по с. Чукалик, левому притоку р. Зеравшан в районе селения Урмитан, где эта свита представлена серыми хорошо слоистыми известняками, содержащими, в отличие от нижележащих, наряду с многочисленными остатками однокамерных примитивных фораминифер, также многокамерные сложноорганизованные эндотиры и квазиэндотиры: *Quasiendothyra ex gr. communis* (Raus.), *Q. urbana* (Mal.), *Q. mirabilis* (Tchern.), *Cherryshinella cf. globoformis* Lip., *Endothyra robinsoni* Tchern., *End. latisprialis* Lip., *Tournayella discoidea* Dain var. *uralica* Grozd. et Leb., *T. septata* Dain, *T. moelleri* Mal., *Spiroplectammina* sp., а также водоросли *Parachaetetes palaeozoicus* Masl. Возраст свиты по комплексу содержащихся водорослей и фораминифер и положению в разрезе под слоями с *Productus* (*Gigantopproductus*) *strobularia* Serg., *Lithostrotion irregulare* Phill. и др. определяется как турнейский и, условно, низы визейского ярусов нижнего карбона. Мощность свиты небольшая — около 50 м.

Верхнепушневатская подсвита (=маргузерской свите)

Отложения этой подсвиты в пределах площади распространения Северо-Гиссарского типа разрезов хорошо представлены в долинах рек Кара-Куль, Джилик-крут и Зидды. Главную роль в составе этой свиты играют терригенные породы от алевролитов до валунных конгломератов. Наиболее широко развиты алевролиты, в меньшей степени — различные песчаники и еще меньше — грунтообъемочные породы. Верхнепушневатская подсвита с перерывом налагает на отложения нижнего и среднего девона и, в свою очередь, в ряде пунктов трансгрессивно перекрывает визейскими отложениями якарчинской свиты.

Отложения верхненункиеватской подсвиты содержат сравнительно богатый комплекс органических остатков: *Paradeactetes palaeozoicas* Masl.; *Quasicucceotnura ex gr. communis* (Raus.), *Q. kobeitusana* (Raus.), *Septaglomospiranella primaeva* (Raus.), *Chernyshinella glomiformis* Lip; *Amiglalophyllum sp.*, *Caninia cornicopiae* Michelin, *Syringopora ramulosa* Loldg., *Chaetetes (Boswellia) cf. beswelli* Heritch. и др. Мощность подсвиты около 1000 м.

Якарчинская свита

Отложения этой свиты установлены на южном склоне Гиссарского хребта (бассейн р. Зидын), на северном склоне Гиссарского хребта (бассейны рек Дхи - хикрут, Кара-Куль и др.), а также в Заравшанской долине (Салтовская, 1969). Свита имеет пестрый литологический состав. В наиболее хорошо изученном стратиграфическом разрезе по сан. Як-Арча она представлена внизу разнозернистыми песчаниками и гравелитами буровато-зеленого цвета с флорой, бурыми среднегалечными конгломератами, темно-серыми до черных углисто-глинистыми и углистыми сланцами и коричневато-серыми тонкослоистыми известняками, переполненными остатками ругоз *Lithostrotion junceum* Mart., *L.irregulare* Phil. Верхняя часть свиты сложена черными массивными участками, разлинованными углистыми известняками, переполненными остатками различных групп фауны. Особенно многочисленны раковины брахиопод: *Productus (Gigantopproductus) mirus* Frech., Pr. (*Gigantopproductus*) *sarsimbai* Serg., достигающие больших размеров (иногда 15-20 см в диаметре). Аналогичные разрезы имеют место в районе рек Дхи-хикрут и Кара-Куль. В Заравшанской долине в разрезах якарчинской свиты терригенный материал присутствует в незначительном количестве и свита представлена преимущественно серыми и темно-серыми известняками с многочисленными фаунистическими остатками.

Фаунистическая свита охарактеризована довольно хорошо и содержит богатый комплекс водорослей, фораминифер брахиопод, ругоз, табулят, криноидей: *Koninckopora inflata* (Kon), *K. macropora* Masl., *K. micropora* Masl., *Kamaena maslovi* sp. nov., *delicata* Antropov *Girwanella ducii* Masl., *Earlandia vulgaris* (Raus. et Reitl.) E. *minima* Bir., *Neotuberitina maljavkini* (Mikh.), *Eotuberitina reitlingerae* M. Maclay, *Flectogyra bradyi* (Mikh.), Pl. *prisca* (Raus. et Reitl.), Pl. ex gr. *omphalota* (Raus. et Reitl.), *Eostaffella ikensis* Viss., *Eostaffella prisca* Raus., *Mediocris cf. mediocris* (Viss.), *Planoarchaediscus spirillinooides* (Raus.), *Archaediscus ex gr. karreri* Brady, *Arch. krestovnikovi* Raus., *Tetrataxis cf. conica* Ehrenb., *Cribrostomum recurrens* Lipina, *Palaeotextularia diversa* Tchern., *Productus (Gigantopproductus) mirus* Frech., Pr. (*Gigantopproductus*) cf. *sarsimbai* Serg., Pr. (*Linopproductus*) cf. *continentalis* Tornq., Pr. (*Echinocochlus*) cf. *punctatus* Mart., *Eomarginifera nasutus* Paeck?, *Lithostrotion caespitosum* Mart., L. *irregulare* Phil., *Palaeosmilia stutchbury* E. et H. По комплексу приведенных органических остатков свита соответствует среднему и, возможно, низам верхнего вида нижнего карбона. Якарчинская свита - биостратиграфической зоне *Koninckopora inflata* - *Flectogyra omphalota* - *Archaediscus krestovnikovi*. Мощность свиты равна 120-150 м. По своеобразному литологическому составу, а также наличию колоний характерных мелких ругоз *Lithostrotion junceum* Mart., *L.irregulare* Phil. и гигантских брахиопод свита легко узнается в полевых условиях.

Сангальтская свита

Она развита на южном и северном склонах Гиссарского хребта и Зеравшанской долине (Салтовская, 1969). Сангальтская свита согласно лежит на известняках якарчинской свиты и в стратотипическом разрезе представлена светло-серыми, серыми и розовато-серыми массивнослоистыми известняками с многочисленными остатками фауны. В других разрезах известняки серого, розовато-серого и белого цвета массивно-слоистые и массивные сахаровидные с сильно перекристаллизованными окаменелостями, участками массивные, сильно перекристаллизованные, оолитовые, обломочные и криноидные. Они легко узнаются в поле по наличию многочисленных остатков брахиопод из группы *Productus (Striatifera) striatus* Fisch., Pr. (Striatifera) *striatus* var. *angusta* Jan., Pr. (Gigantopproductus) *giganteus* Mart.

Фаунистически свита охарактеризована хорошо и содержит довольно богатый комплекс водорослей, фораминифер, ругоз, брахиопод: *Calcifolium okenze* Schwez. et Bir., *Beresella* sp., *Ungdarella* Masl., *Girwanella* sp., *Earlandia vulgaris* (Raus. et Reitl.), *E. vulgaris* var. *minor* (Raus.), *Neotuberitina maljavkini* (Mikh.), *Parathurammina miklucho-maclayi* Saltovskaja, *P. dagmarae* Sul., *Forschia mikhailovi* Dain., *F. subangulata* (Moeller), *Endothyra-nopsis crassus* (Brady), *Plectogyra brady* (Mikh.), *Pl. prisca* (Raus. et Reitl.), *Eostaffella prisca* Raus., *E. ex gr. ikensis* Viss., *Howchinia gibba* (Moell.), *Tetrataxis conica* Ehrenb., *Archaediscus ex gr. karreri* Brady, *Productus (Dyctyoclostus) pinguis* Muir-Wood., Pr. aff. *semireticulatus* Mart., *Schizophoria resupinata* Mart., многочисленные *Productus (Striatifera) striatus* Fisch., Pr. (Striatifera) *striatus* var. *prima* Serg.

Возраст свиты определяется как верхнее визе. Сангальтская свита при надлежит зоне *Calcifolium okenze* – *Eostaffella pseudostruvei*. Мощность 200–250 м.

В отдельных местах (район Шишката, Урмитана) она уменьшается до 100 м.

Снежинская свита

Отложения снежинской свиты имеют широкое развитие на описываемой территории и установлены на южном и северном склонах Гиссарского хребта и в Зеравшанской долине (Салтовская, 1969). Наиболее полные и хорошо выраженные литологически разрезы имеют место в бассейнах рек Кара-Куль, Шинг, Джизикрут. Стратотипом свиты является разрез по саю Снежному – правому притоку р. Кара-Куль. Наиболее характерным признаком свиты, позволяющим её сравнительно легко узнавать в поле, является отчетливая тонкая "ажурная" слоистость, обусловленная чередованием тонких прослоев темно-серых известняков с маслянико-черными прослойками кремней, иногда отмечается линзы и желваки кремней.

Свита хорошо отличается от нижележащих отложений сангальтской свиты, представленной массивными розовато-серыми и белыми сахаровидными известняками. Она хорошо отличается и от трангрессивно лежащих на ней отложений арчинской подсвиты бачаульдинской свиты, представленной буровато-серыми из-

вестняковыми конгломератами, конгломерато-брекчиями и пластами известняков. В отдельных районах количество прослоев кремней уменьшается и мы не имеем такой отчетливой тонкой слоистости. Такие разрезы имеют место в районе Джикрута, где отложения намюра представлены светло-серыми и белыми массивно-слоистыми известняками с редкими прослойками и желваками кремней.

Отложения снежинской свиты хорошо охарактеризованы фаунистически и содержат богатый комплекс окаменелостей. В нижней части содержатся *Donezella lutugini* Masl., *Beresella* sp., *Ungdarella* sp., *Tuberitina collosa* Reitl., *Bradyina cribrostomata* Raus. et Reitl., *Eostaffella aff. mosquensis* Viss., *E. ex gr. protvae* Raus., *E. minutissima* Raus., *E. proikensis* Raus., *E. exilis* Grozd. et Leb., *Ammodiscus multivolutus* Reitl., *E. pseudodestruei* Raus. et Bel., *Palaeotextularia consobrina* Lip., *P. laticuneata* sp. nov., *Asteroarchaediscus ex gr. baschkiricus* (Krest. et Theod.), *Ast. ovrides* (Rauser), *Neoarchaediscus subbaschkiricus* (Raitl.), *N. borealis* (Reitl.), *N. parvus* (Raus.), *N. minimus* Grozd. et Leb., *Productus (Striatifera) striatus* Fisch., *Pr. (Linco productus) corrugatus* M. Coy Pr. (*Dictyoclostus*) *concinus* Sow., *Spirifer bisulcatus* Sow., *Marginifera schartimiensis* Jan., *Palaeosmilia ex gr. murchisoni* Edw. et H.; в верхней части появляются редкие *Pseudostaffella ex gr. antiqua* (Dutk.), *Ps. prae-gorskyi* Reus., *Choristites bisulciformis* Semich.

Возраст свиты по содержащемуся комплексу фауны соответствует намюровскому ярусу нижнего карбона и самым низам башкирского яруса среднего карбона. Мощность её варьирует от 70 до 100 м и более.

Снежинская свита принадлежит биостратиграфической зоне *Eostaffella protvae - Neoarchaediscus minimus*.

Бачаульдинская свита

Отложения бачаульдинской свиты установлены на юном склоне Гиссарского хребта (Зиддинский район), на северном склоне Гиссарского (Шингманианский район, Каракульская долина), на северном склоне Зеравшанского хребта (район Урмитана, Дарха, Порута, Ривута), на юном склоне Туркестанского хребта (район Пенджикента) (Салтовская, 1965). Наиболее характерным признаком свиты является её своеобразный литологический состав: конгломератовидные известняки, известняковые конгломераты и конгломерато-брекчии, узловатые и массивные фузулиновые известняки с прослойками, линзами и желваками черных кремней, отчетливая слоистость, а также обилие остатков ругоз, табулят, брахиопод, и, особенно, водорослей, фораминифер, переполняющих породу и хорошо видимых невооруженным глазом.

Стратотипом бачаульдинской свиты является разрез по сай Снежному — правому притоку р. Кара-Куль, не менее интересным и очень близким к стратотипическому является разрез бачаульдинской свиты, развитый по водоразделу рек Дарахти-Сурх и Хазор-Чашма (бассейн р. Шинг).

Фаунистическая свита охарактеризована довольно хорошо: *Donezella lutugini* Masl., *Beresella erecta* Masl. et Kul., *B. translucea* Kul., *Dvinella comata* Chvor., *Goksuella maslovi* Glivenc, *Samarella setosa* Masl. et Kul., *Ungdarella uralica* Masl., *Tuberitina collosa* Reitl., *T. bulbacea* G. et H., *T. gigantea* sp. nov., *Ammodiscus tadeschikistanicus* sp. nov.,

A. compactus Brazn. et Pot., *Haplophragmina kashirica* Reitl., *H. potens* Reitl., *Eostaffella ex gr. pseudostruvei* Raus., *E. acuta* Grozd. et Leb., *E. aff. postmosquensis* Kir., *Pseudostaffella antiqua* (Dutk.), *Ps. ex gr. gorskyi* (Dutk.), *Ps. sphaeroidea* Ehrenb., *Aljutovella saratovica* (Putr. et Leont.), *A. aljutovica* Raus., *A. priscoidea* (Raus.), *Profusulinella staffellaeformis* Kir., *Pr. primitiva* Sosn., *Pr. parva* (Lee et Chen.), *Pr. ovata* Raus., *Pr. prisca* (Deprat), *Pr. elegans* sp. nov., *Verella varsanofievae* Dalm., *V. spicata* Dalm., *V. grandicamerata* sp. nov., *Eofusulina ex gr. triangula* (Raus. et Bel.), *E. simplex* sp. nov., *E. crassa* sp. nov., *E. serrata* sp. nov., *Paraeofusulina subtilisima* Putr., *P. arenata* sp. nov., *P. angusta* sp. nov., *Bradyina eonutiliformis* Reitl., *Br. sphaeroidea* Putr., *Globivalvulina scaphoidea* Reitl., *Palaeotextularia crassa* sp. nov., *Choristites aff. priscus* Eichw., *Chonetes carboniferus* Keys., *Camarotoechia* sp., *Dielasma* sp., *Spirifer* sp., *Dictyoclostus* sp., *Marginifera* sp., *Chonetes* sp., *Caninia ex gr. schechunovi* Fom., *C. ex gr. nosevi* Fom., *C. ex gr. borissiak* Fom., *C. ex gr. pachyseptata* Pyzhjanov, *Jakovleviella ex gr. lissitzini* Fom., *Koninckocarinia ex gr. flexuosa* Dobrol., *Darwosophyllum* sp., *Caninophyllum* sp., *Sestrophyllum* sp., *Lophophyllum* sp., *Stuckenbergia ex gr. longiseptata* Pyzhjanov, *St. cf. stuckenbergi* Fom., *Chaetetes radians* Fisch., *Ch. aff. tompsoni* Reed., *Ch. lungtanensis* Lee et Chen.

Возраст свиты определяется в интервале верхнебашкирский - нижнемосковский подъярус среднего карбона по содержащимся в ней органическим остаткам. Отложения бачаульдинской свиты с размывом, с конгломератами и конгломерато-брекчиями в основании ложатся на известняки с кремнями снежинской свиты. Мощность свиты весьма непостоянна и колеблется от 100 до 150, редко 250 м. Максимальных мощностей она достигает в Каракульской долине и в бассейне р. Шинг.

По литологическому составу и комплексу органических остатков свита отчетливо делится на четыре подсвиты снизу вверх: арчинскую, шингакскую, урмитанскую и суйскую.

Арчинская подсвита

Стратотипом арчинской подсвиты является разрез, расположенный по правому берегу сая Снежного.

Отложения этой подсвиты легко узнаются в поле по ряду характерных литологических признаков: породы обычно пятнисты, брекчиивидны, содержат прослои конгломератов, конгломерато-брекчий и оолитовых известняков. Отложения арчинской подсвиты представлены повторяющими слоями массивных дентисовых известняков, известняковых конгломератов и конгломерато-брекчий. Слои конгломерато-брекчий повторяются около 7 раз. В обнажении брекчии очень похожи на известняки. Особенно хорошо брекчиивидная текстура видна на замытых водой участках в русле сая. Размеры обломков в брекчиях колеблются в пределах от нескольких до 15-25 см. Сортировка обломочного материала отсутствует, вместе с крупными обломками, как правило, встречаются и очень мелкие.

Сообщество фораминифер арчинской подсвиты по сравнению со снежинской заметно обновляется, особенно характерным является развитие верелла, а также уже многочисленных *Pseudostaffella ex gr. antiqua* (Dutk.), *Ps. antiqua* var. *grandis* Schlyk., *Ps. gorskii* (Dutk.), *Verella varsanofievae*

Dalm., *V. spicata* Dalm., *V. grandicamerata* sp. nov., *Profusulinella parva* (Lee et Chen.), *Pr. staffellaeformis* Kir., *Globivalvulina aff. pulchra* Reitl., *Climacammina procera* Reitl., *Palaeotextularia crassa* sp. nov., *P. consobrina* Lip., *Neoarchaediscus postugosus* Reitl., *N. timanicus* Reitl., *Asteroarchaediscus karaculicus* sp. nov., *Ast. cyclopus* sp. nov.

Возраст этой подсвиты по содержащимся в ней фораминиферам, а также трансгрессивному налеганию на тонкоплитчатые известняки с кремнями снежинской свиты определяется как верхнебашкирский подъярус среднего карбона. Арчинская подсвита соответствует биостратиграфической зоне *Beresella erecta - Verella varsanofievae*. Мощность подсвиты небольшая, 50-70 м.

Шингакская подсвита

Стратотипом подсвиты является разрез, расположенный по саю Снежному. Нижняя граница свиты резкая и легко отбивается по смене пород: буровато-серые "пятнистые" известняковые конгломераты и конгломерато-брекчии арчинской подсвиты сменяются узловатыми желтовато-бурыми и буровато-серыми фузулиновыми известняками шингакской подсвиты. Особенно хорошо разрезы этой подсвиты представлены в бассейнах рек Кара-Куль, Шинг и Шингак. Шингакская подсвита сложена фораминиферово-полидетритовыми известняками с органогенной структурой с обильными водорослями, фораминиферами, ругозами, табулятами, брахиоподами: *Beresella erecta* Masl. et Kul., *Goksuella maslovi* Guvenc, *Ungdarella uralica* Masl., *Tuberitina collosa* Reitl., *Neotuberitina maljavkini* (Mikh.), *Ammodiscus tadschikistanicus* sp. nov., *A. multivolutus* Reitl., *Bradyina concinna* Reitl., *Br. pseudonutiliformis* Reitl., *Eostaffella acuta* Grozd. et Leb., *E. prisca* var. *ovoidea* Raus., *E. exilis* Grozd. et Leb., *E. paraprotvae* Raus., *Pseudostaffella antiqua* var. *grandis* Schlyk., *Ps. composita* Grozd. et Leb., *Ps. gorskyi* (Dutk.), *Profusulinella stafellaeformis* Kir., *Verella varsanofievae* Dalm., *V. spicata* Dalm., *V. grandicamerata* sp. nov., *Palaeotextularia eofragilis* Reitl., *P. crassa* sp. nov., *Asteroarchaediscus ex gr. baschkiricus* (Krest. et Theod.), *Neoarchaediscus postrugosus* Reitl.

Возраст отложений шингакской подсвиты определяется как позднебашкирский. Она соответствует биостратиграфической зоне *Beresella erecta - Verella varsanofievae*.

Урмитанская подсвита

Стратотип урмитанской подсвиты находится в сае Снежном - правом притоке р.Кара-Куль. Узловатые желтовато-серые известняки шингакской подсвиты сменяются пачкой массивных темно-серых до черных известняков с резким запахом битума при изломе. Иногда отмечается чередование слоев массивных известняков с тонкослоистыми, до плитчатыми. Известняки, как правило, переполнены остатками фораминифер, ругоз и особенно табулят. Более редко отмечаются створки брахиопод, трудно выбивающиеся из породы. В верхней части

подсыты отмечаются пластовые дайки измененных лампрофиров небольшой мощности (10-25 см), а также прослои и линзы черных и масляно-черных кремней. Отложения урмитанской подсвиты развиты довольно широко и благодаря перечисленным выше признакам очень легко узнаются в полевых условиях. Фаунистически подсвита охарактеризована хорошо и содержит богатый комплекс водорослей, фораминифер, ругоз, табулят, брахиопод: *Dvinella comata* Chvor., *Beresella erecta* Masl. et Kul., *B. translucea* Kulik, *Samarella setosa* Masl. et Kul., *Tuberitina collosa* Reitl., *Eostaffella aff. exilis* Leb., *Semino-vella carbonica* Leb. et Grozd., *Ozawainella cf. pararhomboidalis* Man., *Ammodiscus multivolutus* Reitl., *Schubertella pauciseptata* Raus., *Pseudostaffella subquadrata* Grozd. et Leb., *Aljutovella priscoidea* (Raus.), *Al. postaljutovica* Saf., *Profusulinella simplex* Saf., *Pr. elegans* sp. nov., *Pr. priscoidea* Raus., *Pr. prisca* (Depr.), *Pr. ovata* Raus., *Eofusulina ex gr. triangula* (Raus. et Bel.), *Eof. crassa* sp. nov., *Eof. serrata* sp. nov., *Paraeofusulina subtilissima* Putr., *P. angusta* sp. nov., *P. rasdorica* Putr., многочисленные *Ammovertella* sp., *Glomospira* sp., *Tolipammmina* sp., *Globivalvulina* sp., *Linoprotuctus latiplanus* Iv., *Cancrinella* sp., *Krotovia* sp., *Marginifera* sp., *Jakovleviella ex gr. lissitzini* Fom., *Caninia ex gr. pachyseptata* Pyzhjanov, *Stuckenbergia ex gr. longiseptata* Pyzhjanov, *Caninia ex gr. borissiak* Fom., *Caninia ex gr. nosovi* Fom., *Chaetetes thompsoni* Reed, *Ch. lungtanensis* Lee et Chen. Возраст отложений урмитанской подсвиты определяется как нижняя часть нижнемосковского подъяруса (нижняя часть каширского горизонта). Урмитанская подсвита соотносится с биостратиграфической зоне *Dvinella comata* - *Aljutovella priscoidea*, *Eofusulina triangula*. Мощность подсвиты небольшая, 25-30 м.

Суйская подсвита

Стратотип её находится в селе Ак-Су. Полные разрезы этой подсвиты имеют место в бассейнах рек Дарахти-Сурх и Кара-Куль. В бассейне р. Зиды и в Зеравшанской долине отложения суйской подсвиты отсутствуют, они смыты и отмечается трансгрессивное налегание отложений дарахтисурхской свиты на различные горизонты бачаульдинской свиты. Отложения суйской подсвиты представлены ритмично переслаивающейся пачкой тонкослоистых до листоватых буровато-серых и сиреневато-серых известняков и темно-серых до черных известковистых сланцев ("ажурное переслаивание"). Слои известняков переполнены мелкими раковинами брахиопод, а на выветрелых поверхностях очень хорошо видны водоросли *Beresella* sp. и *Dvinella* sp. Содержит многочисленные остатки водорослей, фораминифер и брахиопод: *Beresella* sp., *Ungdarella* sp., *Eofusulina triangula* (Raus. et Bel.), *E. paratriangula* (Putr.), *E. crassa* sp. nov., *E. serrata* sp. nov., *Paraeofusulina subtilissima* Putr., *P. arenata* sp. nov., *P. rasdorica* Putr., *P. angusta* sp. nov., *Profusulinella convoluta* Lee et Chen, *Bradyina magna* Roth et Skin., многочисленных аммодискусов, палеонубекулярий, гломоспир. Суйская подсвита по приведенному выше комплексу фауны соответствует верхней части нижнемосковского подъяруса. Мощность колеблется от 10 до 25 м.

Дарахтисурхская свита

Она выделена М.Н.Соловьевой (1963). В стратотипическом разрезе по р.Дарахти-Сурх свита сложена разногалечными буровато-серыми конгломератами, песчаниками, сланцами и очень редко (как исключение) встречающимися горизонтами и пачками известняков и кремнистых сланцев. На большей части территории дарахтисурхская свита совершенно согласно с постепенным переходом залегает на отложениях суйской подсвиты бачаульдинской свиты. Фаунистически свита охарактеризована в основном фораминиферами. Возраст её определяется как московский ярус среднего карбона по содержащимся в ней водорослям и фораминиферам *Ungdarella uralica* Masl., *Beresella gissarica* sp. nov., *Pseudostaffella umbilicata* Putr., *Ps. ex gr. ozawai* Lee et Chen, *Profusulinella convoluta* Lee et Chen., *Fusulina* sp., *Fusulinella cf. communis* Raus., *Archaeodiscus gissaricus* Saltovskaja, и по положению в разрезе выше известняков бачаульдинской свиты. Из известняковых галек конгломератов свиты определены водоросли, фораминиферы и ругозы ранне- и среднекаменноугольного возраста *Koninckopora inflata* (Kon.), *Earlandia vulgaris* (Raus. et Reitl.), *Neotuberitina maljavkini* (Mikh.), *Eotuberitina reitlingerae* M.-Maclay, *Mediocris medicocris* (Viss.), *Eostaffella ikensis* Viss., *E. proikensis* Raus., *Pseudostaffella* sp., *Eofusulina ex gr. triangula* (Raus. et Bel.), *Archaeodiscus krestovnikovi* Raus., *Arch. ex gr. karreri* Raus., *Textularia* sp., *Cribrostomum* sp., *Lithostrotion irregulare* Phillips., *L. junceum* Mart., *Palaeosmilia ex gr. murchisoni* E. et H., *Dibumophyllum ex gr. derbiense* Sibly. Растительные остатки, часто встречающиеся в песчаниках и сланцах дарахтисурхской свиты, обычно сравнительно плохой сохранности. Т.А.Сикстель из них определены *Calamites ex gr. suckovi* Brong., *Samaropsis* sp., , возраст которых не ниже среднего-верхнего карбона. Редко и, как правило, плохой сохранности в прослоях встречаются ругозы, кринидии и брахиоподы. Из брахиопод определены среднекаменноугольные – *Spirifer (Choristites) ex gr. priscus* Eichw., *Productus* sp. indet. В наиболее полных разрезах (бассейны рек Шинг, Дарахти-Сурх, Хазор-Чашма и Кара-Куль) отложения дарахтисурхской свиты по литологическим признакам хорошо делятся на две части: нижнюю, представленную преимущественно конгломератами с подчиненными песчаниками и сланцами (мощностью до 200–250 м), и верхнюю – песчано-сланцевую (мощностью до 300–500 м).

Общая мощность отложений дарахтисурхской свиты 500–900 м.

МАГИАНСКИЙ ТИП РАЗРЕЗОВ

Каменноугольные отложения в этом типе разрезов представлены терригенно-толщей верхнепушневатской подсвиты (-маргузорской свиты).

Возраст её определяется как турнейский. Более молодые каменноугольные отложения в пределах распространения данного типа разрезов неизвестны. Верхнепушневатская подсвита с размывом, но часто без видимого углового несогласия, налегает на различные горизонты более древних отложений палеозоя, чаще всего на нижний-средний девон.

Основную роль в составе верхнепушневатской подсвиты играют различные терригенные породы, среди которых преобладают черные тонкослоистые алевролиты, в меньшей степени развиты серые, черные и бурые песчаники и конгломераты. Отложения подсвиты охарактеризованы следующим комплексом органических остатков: *Parachaetetes palaeozoicus* Masl., *Girwanella aff. ducii* Weth. *Cribrosphaeroides simplex* Reitl., *Tourmayella rauserae* (Lip.), *Quasiendothyra communis* (Raus.), *Q. kobeitusana* (Raus.), *Q. konensis* (Leb.), *Cherhyshinella glomiformis* Lip., *Caninia cornucopiae* Michelin, *Amigdalophyllum sp.*, *Syringopora ramulcsa* Goldf. Мощность подсвиты около 1000 м.

Чаще полные разрезы отложений верхнепушневатской подсвиты развиты в Шингмагианском районе по саям Турк-Парида, Иджам, Дараи-Хурд и др., в районе озер Нофин, Маргузор, а также в бассейнах рек Арг, Арча-Майдан и в Зиддинской долине.

ВАШАНСКИЙ ТИП РАЗРЕЗОВ

Отложения вашанского типа делятся на две свиты: нижнюю - терригенно-карбонатную и верхнюю - терригенную. В первой из них в настоящее время фаунистически установлены только отложения намюрского яруса нижнего карбона. Эти отложения относятся к вашанской свите. Верхняя свита, обизардская, связана постепенным переходом с нижней и представлена терригенной толщей с горизонтами крупногалечных и валунных конгломератов. Свита сравнительно слабо охарактеризована фаунистически и в настоящее время возраст её условно определен как средний - низы верхнего карбона.

Вашанская свита

Выделена В.Р. Мартышевым (1958) под названием вашанской толщи. Возраст толщи определен им как намюрский ярус нижнего карбона и средний карбон. В нашем понимании, вашанская свита (Салтовская, 1963) - нижнекаменноугольная, намюрская. В состав свиты входят скрытокристаллические обломочные, алевритистые серые и буровато-серые известняки, глинистые и алевритистые серые до черных сланцы, кварцевые и полимиктовые песчаники. Редко встречаются мелко- и среднегалечные конгломераты. Значительное распространением пользуются кремнистые породы различного цвета.

Как в стратотипическом разрезе (сай Вашан), так и в других разрезах нижняя часть свиты представлена чередованием известняков, глинистых и кремнистых сланцев, полимиктовых песчаников и гравелитов. Верхняя часть вашанской свиты представлена горизонтом тонкослоистых, местами листоватых алевритистых известняков, черных при изломе и желтовато-бурых на выветрелой поверхности.

При разрушении известняки образуют характерные "рыжие" плитчатые осипи. Среди них отмечаются тонкие прослои кремнистых сланцев, реже - песчаники и гравелиты.

Фаунистическая свита охарактеризована недостаточно хорошо. В ней встречаются, в основном в известняках, фораминиферы и гониатиты: *Neotuberitina maljavkini* (Mikh.), *Endothyra* sp., *Plectogyra ex gr. omphalota* (Raus. et Reitl.), *Pl. brady* (Mikh.), *Pl. samarica* (Raus.), *Eostaffella mosquensis* Viss., *E. cf. ikensis* Viss., *Mediocris aff. mediocris* (Viss.), *Glomospira* sp., *Howchinia* sp., *Textularia* sp., *Ammodiscus* sp., *Asteroarchaediscus ex gr. baschkiricus* (Krest. et Theod.), *Neoarchaediscus ovoides* (Raus.), *Archaediscus cf. krestovnikovi* Raus., *Cravenoceras cowlingenae* Bisat., *C. cf. alaicum* Libr., *C. arcticum* Libr. и др.

Возраст свиты определяется как нижнекаменноугольный, намюрский, по содержащимся в ней фораминиферам нижнего карбона и гониатитам намюра. Мощность свиты до 1000 м.

Обизардская свита

Стратотипом обизардской свиты служит разрез по левому борту р.Мадм, примерно на 1,5-2 км выше одноименного кишлака. Отложения этой свиты представлены в нижней части ритмично чередующимися гравелитами, песчаниками и сланцами (типичная флишевая толща), средняя часть сложена горизонтом разногалечных до глыбовых конгломератов, верхняя - представлена ритмичным чередованием гравелитов, песчаников и сланцев. Совершенно согласно с постепенным переходом ложится на отложения вашанской свиты. Многие исследователи эти отложения считают континентальными. По нашим представлениям, отложения обизардской свиты являются прибрежно-морскими. Доказательством служит наличие в них водорослей и фораминифер.

Фаунистическая свита охарактеризована сравнительно слабо. Нами в гальках, глыбах и валунах конгломератов обнаружены многочисленные остатки водорослей, фораминифер, кораллов и брахиопод, из которых определены *Girwanella* sp., *Koninckopora macropora* Masl., *Izhella* sp., *Parathurammina aff. apinosa* Lip., *P. dagmarae* Sul., *Earlandia vulgaris* (Raus. et Reitl.), *Globoendothyra globulus* (Eichw.), *Plectogyra prisca* (Raus. et Reitl.), *Eostaffella cf. proikensis* Raus., *E. ikensis* Viss., *Cribrostomata* sp., *Archaediscus karreri* Brady, *Arc. moellieri* Raus., *Asteroarchaediscus ex gr. baschkiricus* (Krest. et Theod.), *Howchinia gibba* (Moell.), *Phillipsia* sp., *Amphipora ramosa* Phill., *Stromatopora* sp., *Favosites ex gr. regularissimus* Janet. F. *abberans* Regnell, *Dictyofavosites chumshensis* Tchern., *Heliolites* sp., *Pseudomicroplasma longi* (Ioh.), *Colonaria* ex gr. *vagranensis* (Soshkina), *Pholidophyllum* sp., *Atrypa cf. quamata* Sow., *Septatrypa secreta* Kozl., *Plectatrypa imbricata* Sow., *Chonetes papilionacea* Phill., *Productus (Striatifera) striatus* Fisch.

Вышеприведенный комплекс органических остатков относится к силуру, девону и визейскому ярусу нижнего карбона. В цементе конгломератов и из прослоев песчаников определены *Ungdarella uralica* Masl., *Beresella* sp., *Eostaffellina reitlingerae* M.-Maclay, *Eostaffella* sp., *Profusulinella* sp.

Таким образом, отложения обизардской свиты согласны с постепенным переходом залегают на породах вашанской свиты, принадлежащей наморю: в гальках известняков из конгломератов определены многочисленные остатки водорослей, фораминифер, кораллов и других групп фауны, возраст которых определен от силура до визейского яруса нижнего карбона включительно, в цементе конгломератов и из прослоев песчаников определены среднекарбоновые фораминиферы. Не большое количество окаменелостей, встреченных в цементе конгломератов и в прослоях песчаников, относящихся к среднему карбону, а также согласное залегание на вашанской свите дают нам основание считать нижнюю границу свиты не выше среднего карбона. Сравнивая отложения обизардской свиты с близкими по составу и взаимоотношениям отложениями, развитыми в смежных районах, нам представляется, что они могут быть сопоставлены с флишидной толщой, развитой на междуречье Исфайрам-Сурметаш и залегающей согласно с постепенным переходом на известняках нижнемосковского подъяруса и согласно покрывающей отложениями сурметашской свиты. Возраст этой толщи, по данным М.Н.Соловьевой (1965), определен как верхнемосковский, а покрывающей её сурметашской свиты — как позднекаменноугольный. Нами возраст обизардской свиты на основании перечисленных выше данных принимается как верхнемосковский и условно низы верхнего карбона.

ГЛАВА IV

АНАЛИЗ РАСПРОСТРАНЕНИЯ ФОРАМИНИФЕР И МИКРОВОДОРОСЛЕЙ И КОРРЕЛЯЦИЯ С ОДНОВОЗРАСТНЫМИ ОТЛОЖЕНИЯМИ ДРУГИХ ОБЛАСТЕЙ

Проведенные исследования показали, что состав фораминифер и микроводорослей в отложениях карбона Зеравшано-Гиссарской горной области весьма разнообразен и четко изменяется по разрезу. Узкое вертикальное распространение многих видов даёт возможность использовать их для выделения более дробных, чем ярус стратиграфических единиц регионального значения - биостратиграфических зон. Выделяются семь фаунистических комплексов, последовательно сменяющих друг друга в разрезе, зоны: 1) *Parachaetetes palaeosoicus*, однокамерных фораминифер и *Quasiendothyra communis*, 2) *Koninckopora inflata*, *Plectogyra omphalota* и *Archaediscus krestovnikovi*, 3) *Calcifolium okenze* и *Eostaffella pseudostruvei*, 4) *Eostaffella protvae* и *Neoarchaediscus minimus* 5) *Donezella lutugini*, *Pseudostaffella antiqua* и *Neoarchaediscus postrugosus*, 6) *Beresella erecta*, *Verella varsanoffiae*, 7) *Dvinella comata*, *Aljutovella priscoidea* и *Eofusulina triangula*.

Зона *Parachaetetes palaeozoicus-Quasiendothyra communis*

Характеризуется присутствием *Parachaetetes palaeozoicus* Masl., *Archaeospaera magna* Sul., *Parathurammina cushmani* Sul., *P. suleimanovi* Lip., *Quasiendothyra communis* (Raus.), *Q. urbana* (Mal.), *Q. mirabilis* (N. Tchern.), *Endothyra latispiralis* Lip., *End. similis* Raus. et Reitl., *Septa tourneyella segmentata* (Dain.), *Tourneyella moelleri* Mal., *T. gigantea* Lip., *Spiroplectammina* sp., *Chernyshinella glomiformis* (Lip.). Отложения этого возраста в настоящее время изучены недостаточно хорошо, поэтому более дробное разделение их в настоящее время не представляется возможным. В Шингмагианском районе и в бассейне р.Кара-Куль они выражены терригенной толщей и выделены в верхнепушневатскую подсвиту. В Зеравшанской долине отложения турнейского яруса связаны постепенным переходом с верхнедевонскими, в силу чего граница между ними проводится исключительно по фауне.

В основании нижнего карбона в отличие от подстилающих отложений, где основное развитие имеют однокамерные примитивные фораминиферы, появляются многокамерные сложноорганизованные эндотиры и квазиэндотиры с

эволютным, симметричным или эндотироидным навиванием спирали, массивными хоматами и двуслойной стенкой, состоящей из тонкозернистого наружного и пористого стекловато-лучистого внутреннего слоя.

Здесь впервые появляются рода, неизвестные ранее, такие как *Tournayella*, *Spiroplectammina*. Впервые появляются палеотектулярии, встречающиеся очень редко.

Следует отметить, что, наряду с указанными выше видами, в турнейских отложениях продолжают существовать в довольно большом количестве и однокамерные примитивные фораминиферы, широко развитые в нижележащих девонских отложениях. К ним относится *Archaesphaera minima* Sul., *Arch. magna* Sul., *Parathurammina cushmani* Sul., *P. suleimani* Lip., *P. gekkeri* Antz., *Neotuberitina maljavkini* (Mikh.), *Earlandia minima* (Bir.) и др. Такие виды как *Parathurammina cushmani* Sul., *P. suleimani* Lip., *P. dagmarae* Sul. широко развиты и получают у нас и в визейском ярусе.

Однако несмотря на это, в целом комплекс фораминифер турнейского яруса довольно своеобразен и резко отличается от сообществ фораминифер как верхнего девона, так и визейского яруса нижнего карбона. Своевобразие комплекса окаменелостей турнейского яруса подтверждается также наличием водоросли *Parachaetetes palaeozoicus* Masl.

Отложения девона характеризуются присутствием водорослей (в довольно больших количествах) *Epiphyton*, *Izhella*, *Solenopora*. Для отложений визейского яруса в нашем регионе характерно присутствие водоросли *Konninkopora* не встречающейся ни в девоне, ни в отложениях турнейского яруса нижнего карбона.

Условно турнейские отложения Зеравшано-Гиссарской области можно сопоставить с лигвинским надгоризонтом Русской платформы, с известняками $C_1^t a_1 - C_1^t d_1$ Донбасса, с лытвенским и инновским горизонтами Урала на основе нии содержания общих форм: *Quassiendothyra communis* (Raus.), *Q. kobeitusana* (Raus.), *Chernyshiella glomiformis* (Lip.). В хребтах Кураминским и Каржантау данной зоне соответствуют, вероятно, отложения мирзорабадской и коксуйской свит, представленных известняками с кремнями с *Plicatiformis cassini* Nal., *Palaechoristites catkalicus* Dik. В Иго-Западном Дарвазе и хребтах Петра I и Заалайском описанные отложения сопоставляются с нижней частью хырдаринской свиты, представленной известняками с *Caninia cylindrica* Scoul.

Зона *Koninckopora inflata* – *Plectogyra omphalota*-*Archaediscus krestovnikovi*

Комплекс фораминифер этой зоны характеризуется богатством и разнообразием видов, из которых особенно выделяются *Earlandia vulgaris* (Raus. et Reitl.), *Earl. vulgaris* var. *minor* (Raus.), *Plectogyra ex gr. omphalota* (Raus. et Reitl.), много *Pl. prisca* (Raus. et Reitl.), *Pl. similis* (Raus. et Reitl.), *Mediocris mediocris* (Viss.), *M. minima* (Dukr.), *Eostaffella ikensis* Viss., *Eost. prisca* Raus., *Forschiella cf. prisca* Mikh. *Forschia mikhailovi* Dain., *Howchinia gibba* (Moell.), *Lituotubella* sp., *Mstinia* sp., *Tetrataxis conica* Ehrenb., *Palaeospiroplectammina diversa* (N. Tchern.) редкие *Planochaediscus spirillinooides* (Raus.), *Archaediscus kerreri* Brady, *Arch. krestovnikovi* Raus., *Arch. moelleri* Raus., *Arch. maximus* Grozd. et Leb.,

Astroarchaediscus baschkiricus (Krest. et Theod.). Для этой зоны весьма характерно появление первых лазиодисцид *Howchinia gibba* (Moell.), особенно разнообразны архедискусы (*Archaediscus krestovnikovi* Raus., *Arch. moelleri* Raus.) Представители родов *Eostaffella* и *Mediocria* являются уже многочисленными. Появляются первые *Forschia*, *Forschiella* и первые, еще очень редкие, *Astroarchaediscus*. Зона характеризуется почти полным исчезновением однокамерных фораминифер.

Из водорослей в отдельных слоях довольно часто встречаются *Konninkopora inflata* (Kon.), *K. macropora* Masl., *Girwanella* sp., *Kamaena delicata* Antrop.

К рассматриваемой зоне относится якарчинская свита, имеющая довольно широкое распространение на территории Зеравшано-Гиссарской горной области и представленная внизу песчаниками с флорой, гравелитами и разногалечными конгломератами, вверху — тонкослоистыми коричневато-серыми известняками, переполненными остатками ругоз: *Lithostrotion junceum* Mart., *L. irregularare* Phil. и черными углистыми известняками с обильными остатками брахиопод *Productus (Gigantoproductus) mirus* Frech., Pr. (*Gigantoproductus*) *sarsimbaei* Serg.

Комплекс фораминифер данной зоны позволяет сопоставить его с яснополянским надгоризонтом (тульским и бобриковским горизонтами) Русской платформы, с известняками C_1^V , c_1^V , C_1^V , d_1^V , C_1^V , e Донбасса, с верхней частью западноуральского, усть-илимским и нижней частью губашкинского горизонтов Урала. В пользу такого сопоставления свидетельствует наличие следующих общих форм: *Forschiella prisca* Mich., *Eostaffella ikensis* Viss., *Archaediscus krestovnikovi* Raus. Средневизейские отложения смежных районов Южной Ферганы, Юного Гиссара и Дарваза изучены недостаточно хорошо и сопоставлять с ними изученные нами отложения в настоящее время возможно лишь условно. На Юном Гиссаре отложения турнейского и визейского ярусов представлены песчаниками, еланцами, конгломератами и эфузивами зойской свиты с остатками флоры. В Бю-Западном Дарвазе и Заалайском хребте к средневизейским отложениям может быть отнесена средняя часть хырдаринской свиты, представленной туфогенными конгломератами и известняками с остатками *Lithostrotion irregularare* Phil., *Palaeosmilia murschisoni* E. et H.

Зона *Calcifolium okenze* — *Eostaffella pseudostruvei*

Комплекс фораминифер этой зоны характеризуется несколько более обедненным, сравнительно с предыдущим, видовым составом, хотя родовой состав фораминифер в них почти одинаков.

Зона характеризуется *Calcifolium okenze* Schw. et Bir., *Parathurammina miklukho-maclayi* Saltovskaja, *F.suleimanovi* Lip., *Endothyranopsis crassus* (Brady), *Endothyra compressa* Raus. et Reitl., *Plectogyra bradyi* (Mikh.), *Globoendothyra globulis* (Eichw.), *Mediocris mediocris* (Viss.), *M. breviscula* (Gan.), *M. minima* (Durk.), *Eostaffella prisca* Raus., *Eost. pseudostruvei* Raus. et Bel., *Eost. prisca* var. *ovoides* Raus., *Eost. ikensis* Viss., *Eost. proikensis* Raus., *Howchinia gibba* (Moeller), *Cribrospira panderi* Moell., *Archaediscus karreri* Brady, *Arch. moelleri* Raus., *Arch. maximus* Grozd. et Leb., *Astroarchaediscus ex gr. baschkiricus* (Krest. et Theod.) *Productus (Striatifera) striatus* Fisch., Pr. (*Striatifera*) *striatus* var. *angusta* Jan., Pr. (*Gigantoproductus*) *giganteus* Mart., *Productus concinnus*

Sow., *Pr. edelburgensis* Phill., *Pr. schartimiensis* Jan. *Palaeosmilia murchisoni* E. et H., *Dibunophyllum ex gr. derbiense* Sibly. Часто встречаются *Endothyra compressa* Raus. et Reitl., *End. crassus* var. *sphaerica* Raus. et Reitl., расцвета в этой зоне достигает группа *Globoendothyra globulus* (Eichw.). Весьма характерно присутствие многочисленных банок стриатифер, распространенных неравномерно по всей толще. Для рассматриваемой зоны характерно также первое появление сифониковых водорослей *Calcifolium okenze* Schw. et Bir., не встречающихся в нашем районе ни в нижележащих, ни в выше лежащих отложениях.

Зона *Calcifolium okenze* – *Eostaffella pseudostruvei* соответствует сангальтская свита. Описанные отложения, содержащие вышеуказанный комплекс фораминифер, можно сопоставить с окским и серпуховским подгоризонтами Русской платформы, известняками: $C_1^V f_1$; $C_1^V f_2$; $C_1^V g_1$; $C_1^V g_2$ Донбасса, верхней частью губашкинского, ладейинского и нижнегубашинским горизонтами Урала. Основанием для сопоставления с вышенназванными подразделениями служат такие общие формы как *Endothyranopsis crassus* (Brady), *Productus (Gigantoprotuctus) giganteus* Mart. С некоторой долей условности сопоставляются описанные отложения с одновозрастными породами смежных областей. В северном Тянь-Шане (р. Текес) к отложениям этого возраста относится, вероятно, кальторская свита, представленная чередованием песчаников, сланцев и известняков с *Eostaffella ikensis* Viss., *Archaediscus krestovnikovi* Raus.; в Южной Фергане (бассейны рек Кшемыш и Каравшин) с ними могут сопоставляться известняки, содержащие *Productus (Striatifera) striatus* Fisch. В Южном Гиссаре им соответствуют известняки с *Productus (Gigantoprotuctus) giganteus* Mart., и, возможно, самые низы каратагской свиты, а в Юго-Западном Дарвазе и Залайском хребте к ним относится, вероятно, самая верхняя часть хырдаринской свиты.

Зона *Eostaffella protvae* – *Neoarchaediscus minimus*

Характеризуется развитием *Bradyina ex gr. cribrostomata* Raus. et Reitl., группы округлых эомтаффелл: *Eostaffella sphaerica* Gen. и *Eostaffella protvae* Raus., *Eost. cf. paraprovtiae* Raus., а также *Eost. postmosquensis* Kir., *Eost. ex gr. pseudostruvei* Raus. et Bel., *Ammodiscus multivolutus* Reitl., *Palaeotextularia consobrina* Lip., *P. laticuneata* sp. nov., *Asteroarchaediscus ex gr. baschkiricus* (Krest. et Theod.), *Ast. ovoides* (Raus.), *Neoarchaediscus subbaschkiricus* (Reitl.), *N. parvus* (Raus.), *N. minimus* (Groz. et Leb.), *Spirifer bisulcatus* Sow., *Productus (Gigantoprotuctus) latissimus* Sow.

Зона *Eostaffella protvae* – *Neoarchaediscus minimus* отличается от предыдущей появлением *Bradyina ex gr. cribrostomata* Raus. et Reitl., группы округлых эомтаффелл – Е. ex gr. *protvae* Raus.; широкое развитие здесь получают субцилиндрические тонкостенные *Neoarchaediscus*. Появившиеся впервые в верхах предыдущей зоны "звездчатые" архедискусы – *Asteroarchaediscus ex gr. baschkiricus* (Krest. et Theod.) получают теперь широкое распространение. Впервые в этой зоне появляются единичные водоросли *Donezella lutugini* Masl., достигающие массового развития в башкирском веке. В отличие от нижележащей зоны здесь почти полностью исчезают крупные и толсто-

стенные раковины *Endothyranopsis ex gr. crassus* (Brady). Резко сокращается количество плектогир, гипперами, редко встречаются гломоспира и аммодискусы (из аммодискусов известны единичные *Ammodiscus multivolutus* Reitl.). Широко развиты в этой зоне пористые туберитины типа *Tuberitina collosa* Reitl., *T. bulbacea* G. et H., *T. gigantea* sp. nov. Появляются первые глобивалвулины *Globivalvulina ex gr. moderata* Reitl.

Таким образом, характерной чертой комплекса намюрских отложений является резкое обеднение родового и видового состава фораминифер. Одновременно с этим следует отметить большое многообразие эоштаффелл, неоархедискусов, астероархедискусов, пористых туберитин, первое появление глобивалвулин.

Зоне *Eostaffella protvae - Neoarchaediscus minimus* соответствует нижняя часть снежинской свиты, выраженная тонким "ахурным" переслаиванием темно-серых слегка битуминозных известняков и черных и масляно-черных кремней.

Эти отложения хорошо коррелируются с противинским и, вероятно, краснополянским горизонтами Русской платформы, известняками с^па₁-с^пе₁ Донбасса и усть-сарабаевским и сюранским горизонтами Урала. Они сопоставляются на основании наличия таких общих форм, как *Eostaffella ex gr. protvae* Raus., *Eostaffella postmosquensis* Kir., *Productus* (*Gigantopproductus*) *latissimus* Sow. Кроме того, отложения рассматриваемой зоны могут быть сопоставлены с тиекской свитой Северного Тянь-Шаня (р. Текес), охарактеризованной *Productus* (*Gigantopproductus*) *edelburgensis* Phill.; в хребтах Кураминском и Каржантау им соответствуют горизонты "а", "б" и "в" свиты Уя, представленной конгломератами, песчаниками и известняками с *Reticuloceras reticulatum* Phill. В Джалонской Фергане они могут коррелироваться с нижней частью газской свиты, сходной как по литологии, так и по комплексу фауны: это известняки с кремнями с *Eostaffella ex gr. protvae* Raus., *Neoarchaediscus minimus* (Grozd. et Leb.), *Spirifer bisulcatus* Sow.

На Джном Гиссаре описанным отложениям соответствует, вероятно, нижняя часть каратагской свиты, заключающая *Proschumardites cf. uraliensis* Libr. и *Homoceras* sp.: в Дго-Западном Дарвазе, хребтах Петра I и Заалайском этим отложениям соответствуют, по-видимому, свиты (снизу вверх) обимангитская, аспандоуская и уштарвская с *Lonsdaleia ex gr. Tenuicolumnata* Dobrol., *Bothrophyllospira* sp.

Зона *Donezella lutugini - Pseudostaffella antiqua - Neoarchaediscus postrugosus*

Зона представлена органогенно-обломочными, конгломератовидными известняками, известняковыми конгломератами и конгломератобрекчиями с фораминиферами, среди которых преобладают мелкие *Bradyina cribrostomata* Raus. et Reitl., *Br. concinna* Reitl., *Plectogyra bradyi* (Mikh.), *Eostaffella protvae* Raus., *Eost. paraprotvae* Raus., *Eost prisca* Raus., *Pseudostaffellá ex gr. antiqua* (Dutk.), *Ps. antiqua* var. *grandis* Schlyk., *Ps. compressa* (Raus.), *Ps. proozawai* Kir., первые и редкие *Profusulinella parva* (Lee et Chen.), *Pr. staffelaeformis* Kir., *Palaeotextularia crassa* sp. nov.,

многочисленные *Asteroarchaediscus ex gr. baschkiricus* (Krest. et Theod.), *Ast. rugosus* (Raus.), *Ast. cyclopus* sp. nov., *Ast. karakulicus* sp. nov., *Neoarchaediscus postrugosus* (Reitl.), *N. gregorii* (Dain.), *N. minimus* (Grozd. et Leb.), *Archaediscus subcylindricus* Bražhn. et Pot.

Сообщество фораминифер этой зоны по сравнению с нижележащей заметно обновляется, особенно характерным является развитие разнообразных эонтаффелл с приостренной и округлой периферической частью фауны - *Eostaffella postmosquensis* Kir., *E. pseudostruvei* Raus. et Bel., *E. ex gr. protvae* Raus., *E. paraprotvae* Raus.

Нижняя граница зоны проводится по первому появлению псевдоontaффелл группы *Pseudostaffella antiqua*, первых *Ozawainella*, *Profusulinella*, фиксируется эта граница также по полному исчезновению *Productus (Striatifera) striatus* Fisch. (хоть и редко, но встречающихся в нижележащей зоне), *Endothyranopsis crassus* (Brady), по появлению *Choristites ex gr. bisulcatiformis*. Из известковых водорослей массовое развитие получают *Donezella lutugini* Masl. В большом количестве встречаются тонкие субцилиндрические архедискусы: *Asteroarchaediscus rugosus* (Reitl.), *Neoarchaediscus postrugosus* (Reitl.), *Neoarch. gregorii* (Dain.), *Neoarch. minimus* (Grozd. et Leb.).

Зона *Donezella lutugini* - *Pseudostaffella antiqua* - *Neoarchaediscus postrugosus* соответствует ачинская подсвита бачаульдинской свиты. Отложения этой зоны хорошо сопоставляются по комплексу содержащихся фораминифер как с одновозрастными отложениями Русской платформы, Донбасса и Урала, так и отложениями смежных областей. Описанным отложениям на Русской платформе соответствуют северо-кельтменский горизонт, содержащий первых *Pseudostaffella* и прикамский горизонт, содержащий первых *Profusulinella*. В Донецком бассейне данной зоне соответствует стратиграфический интервал от известняка C_1^a - до известняка C_2^b , содержащих *Pseudostaffella ex gr. antiqua* (Dutk.), первых *Ozawainella* и первых *Profusulinella*. На Урале описанные отложения хорошо сопоставляются с акавакским горизонтом и горизонтом р. Белой, содержащими *Pseudostaffella antiqua* (Dutk.), *Choristites bisulcatiformis* Semich.

В Северном Тянь-Шане (р. Текес) описанным отложениям соответствуют свиты тицкая, учкашкинская и керегеташская с *Choristites bisulcatiformis* Semich. В хребтах Кураминском и Кархантау им соответствует горизонт "г" свиты Уя, содержащий *Gastrioceras cancellatum* Bisat.

В Джной Фергане (бассейны рек Клемыш и Каравшин) данной зоне соответствует близкая как по литологии, так и комплексам фауны верхняя часть газской свиты, представленная известняками с кремнями с *Pseudostaffella antiqua* (Dutk.), *Neoarchaediscus portrugosus* (Reitl.), *Choristites bisulcatiformis* Semich. На Джном склоне Гиссарского хребта с описанными отложениями сопоставляется верхняя часть каратагской свиты с *Pseudostaffella antiqua* (Dutk.), *Asteroarchaediscus ex gr. baschkiricus* (Krest. et Theod.).

Зона *Beresella erecta* - *Verella varsanofievae*

Зона представлена характерными узловатыми буровато-серыми фузулиновыми известняками с *Beresella erecta* Masl. et Kul., *Ungdarella uratica* Masl., *Tuberitina collosa* Reitl., *Haplophragmina kashirica* Reitl., *H. potensa* Reitl., nov., *Ammodiscus tadschikistanicus* sp. nov., *Pseudostaffella antiqua* var. *grandis* Schlyk., *Ps. composita* Grozd. et Leb., *Ps. gorskyi* (Dutk.), *Verella varsanofievae* Dalm., *V. spicata* Dalm., *V. grandicamerata* sp. nov., *Profusulinella pararhomboides* Raus. et Bel., *Pr. rhombiformis* Brazhn. et Pot., *Pr. ex gr. rhomboides* Lee et Chen., *Palaeotextularia eofragilis* Reitlinger, *P. crassa* sp. nov., *Globivalvulina scaphoidea* Reitl. Сообщество фораминифер этой зоны коренным образом отличается от предыдущего появлением и развитием первых верелл и веретенообразных профузулиелл. В этих отложениях впервые появляется род *Verella*, представленный видами: *Verella varsanofievae* Dalm., *V. spicata* Dalm., *V. grandicamerata* sp. nov. Для этой зоны характерно также широкое развитие рода *Profusulinella*. Впервые появляются еще очень близкие к профузулиеллам слабоскладчатые *Aljutovella* (?). Массовое развитие получают водоросли *Beresella erecta* Masl. et Kul. Биостратиграфической зоне *Beresella erecta* - *Verella grandicamerata* соответствуют арчинская и шингакская подсвиты бачаульдинской свиты. Описанные отложения хорошо сопоставляются с черемшанским горизонтом (с первыми *Ozawainella*). И, вероятно, нижней частью мелекесского горизонта (с первыми *Verella*) Русской платформы. Верхняя часть мелекесского горизонта с представителями *Eofusulina* и *Aljutovella* должна быть отнесена, вероятно, уже к нижнемосковскому подъярусу. В Донбассе описанным отложениям соответствуют известняки от $C_2^{b_2}$ до $C_2^{b_3}$, содержащие *Profusulinella rhombiformis* Man. и *Ozawainella pararhomboidalis* Man. На Урале им соответствует уклуканский горизонт с *Profusulinella parva* (Lee et Chen.), *Choristites uralicus* Leb. Эти отложения хорошо сопоставляются также с очень близкими по составу известняками, конгломератами и аллитами тукдангинской свиты с *Profusulinella staffellaeformis* Kir. Юной Ферганы.

На юном склоне Гиссарского хребта к рассматриваемой зоне относится нижняя часть сагдорской свиты, представленной порфирами, туфами, конгломератами и известняками с *Profusulinella prisca* (Deprat).

В Дго-Западном Дарвазе и хребтах Петра I и Заалайском этой зоне соответствуют верхние части джакской и возгинской свит, для которых характерен *Darwasophyllum irregularare* Pyschjanov.

Зона *Dvinella comata* - *Aljutovella priscoidea*-*Eofusulina triangula*

Зона представлена массивными темно-серыми до черных битуминозными полосчатыми известняками с прослойями и линзами кремней. Она содержит богатый и разнообразный комплекс водорослей и фораминифер: *Dvinella comata* Chvor., *Samarella setosa* Masl. et Kul., *Beresella erecta* Masl. et Kul., *Tuberitina collosa* Reitl., *T. gigantea* sp. nov., *Bradyina magna* Roth. et Skinner, *Haplophragmina kashirica* Reitl., *Eostaffella aff. exilis* Leb., *Seminovella*

carbonica Leb. et Grozd., *Ozawainella* cf. *parahomboidalis* Man., *Schubertella pausciseptata* Raus., *Pseudostaffella subquadrata* Grozd. et Leb., *Aljutovella znensis*(Raus.), *A. aljutovica* (Raus.), *A. priscoidea* (Raus.), *Profusulinella simplex* Saf., *Pr. elegans* sp. nov., *Pr. priscoidea* Raus., *Pr. prisca* (Depr.), *Pr. ovata* Raus., *Pr. convoluta* Lee et Chen., *Eofusulina ex gr. triangula* (Raus. et Bel.), *Eof. paratriangula* (Putr.), *Eof. binominata* Putr., *Eof. simplex* sp. nov., *Eof. crassa* sp. nov., *Eof. serrata* sp. nov., *Paraeofusulina trianguliformis* Putr., *P. subtilissima* Putr.,

P. arenata sp. nov., *P. angusta* sp. nov., *P. rasborica* Putr., многочисленные, но, как правило, плохой сохранности *Ammovertella* sp., *Glomospira* sp., *Tolipammia* sp., *Globivalvulina* sp. Основная роль в этой зоне принадлежит представителям *Aljutovella* и *Profusulinella*. Здесь получают также массовое развитие виды рода *Eofusulina* и впервые появляются представители довольно специализированной группы эофузулий подрода *Paraeofusulina*, известного в настоящее время только из среднекаменноугольных отложений Донецкого бассейна. Узкое вертикальное распространение рода *Paraeofusulina* и его видов делает возможным использование его в качестве руководящего для этой зоны. Не менее характерным является развитие водоросли *Dvinella* (*Dvinella*) *comata* Chvorova.

Зона *Dvinella* *semata* – *Aljutovella priscoidea*-*Eofusulina triangula* соответствует урмитанской и суйской подсвитам бачаульдинской свиты. Данная зона охарактеризована четким сообществом форамиинфер, очень близким к встречавшемуся в отложениях Русской платформы, Донбасса, Урала, а также смежных территорий. На Русской платформе ей соответствуют верейский и камирский горизонты, содержащие *Aljutovella aljutovica* (Raus.), *Eofusulina triangula* (Raus. et Bel.). Она хорошо коррелируется с известняками $C_2^{\text{Ma}} - C_2^{\text{Mb}}$. Донецкого бассейна, которые также содержат типичные раннемосковские фузулиниды *Aljutovella aljutovica* (Raus.), *Eofusulina paratriangula* Man. и др. На Урале им соответствуют отложения кировского горизонта с *Profusulinella prisca* (Deprat) и *Choristites priscus* Eichw.

В Джай Фергане отложения рассматриваемой зоны сопоставляются с фузулиновыми известняками пиркафской свиты, для которой характерны *Eofusulina triangula* (Raus. et Bel.), *Choristites priscus* Eichw.

На южном склоне Гиссарского хребта с ними можно сопоставить отложения верхней части сагдорской свиты, представленной сланцами, песчаниками, андезитовыми порфирами и известняками с *Eofusulina triangula* (Raus. et Bel.).

В Дго-Западном Дарвазе, хребтах Петра I и Заалайском с описанными отложениями можно сопоставить верхние части джакской и возгинской свит.

Таким образом, изучение состава комплексов форамиинфер показало наличие в отложениях карбона Зеравшано-Гиссарской горной области большого числа видов, общих с Джай Ферганой, Русской платформой, Донбассом и Уралом. Это позволяет произвести сопоставление разрезов названных областей и дает основание считать, что в ранне- и среднекаменноугольную эпохи между морскими бассейнами этих районов существовала тесная связь.

ГЛАВА У

ОПИСАНИЕ ФОРАМИНЕФЕР

ОТРЯД *ASTPORHIZIDA*

СЕМЕЙСТВО *HYPERAMMINIDAE ELMER ET FICKERT, 1899*

РОД *EARLANDIA PLUMMER, 1930*

Earlandia: Plummer, 1930; Быкова, 1955; Быкова и Рейтлингер, 1959;
Гроздилова и Лебедева, 1960; Богуш и Щерев, 1962; Пронина, 1963.

Hyperammina: Рейтлингер, 1950 (partim); Липина, 1955 (partim).

Типовой вид. *Earlandia perparwa* Plummer, 1930. Карбон Северной Америки.

Диагноз. Раковина свободная, с округлой начальной камерой и последующей трубчатой, прямой или слегка изогнутой. Стенка известковая, темная, тонкозернистая.

Сравнение. По форме раковины *Earlandia* сходна с *Hyperammina Brady*, отличается известковой стенкой.

Геологическое и географическое распространение. Девон и карбон СССР, карбон Северной Америки.

Earlandia vulgaris (Rauser et Reitlinger)

Табл. I, фиг. 1,2

Hyperammina vulgaris: Раузер-Черноусова, Беляев, Рейтлингер, 1940, стр. 55, табл. VIII, фиг. 9, 10; Чернышева, 1940, стр. 123, табл. I, фиг. 4; Бражникова, 1956, стр. 19, 20, табл. II, фиг. 4, 5.

Earlandia vulgaris: Гроздилова и Лебедева, 1960, стр. 38, табл. I, фиг. I.

Диагноз. Раковина свободная крупная, состоит из длинной трубчатой цилиндрической камеры. Стенка известковистая толстая.

Описание. Диаметр трубчатой камеры довольно постоянный и равен 0,28–0,40 мм, длина раковины 1,10–1,30 мм. Стенка темная толстая зернистая. Толщина стенки 0,05–0,07 мм. Апертура образована открытым концом трубчатой камеры.

Сравнение. Описанные нами экземпляры сходны с описанными Д.М. Раузер-Черноусовой и Е.К. Рейтлингер из визейского яруса Самарской луки. Несколько меньшая длина, по-видимому, объясняется отсутствием полных (необломанных) экземпляров.

Геологическое и географическое распространение. Девон и карбон Урала, Донбасса, Казахстана и Средней Азии.

Материал. 20 экземпляров хорошей сохранности в среднем визе (якарчинская свита) бассейнов рек Зидды и Джихикрут, 25 экземпляров из среднего и верхнего визе (якарчинская и сангальтская свиты) по левому берегу р. Зеравшан в районе селения Урмитан, более 30 экземпляров из средне-го-верхнего визе (якарчинская и сангальтская свиты) бассейна р. Кара-Куль.

Earlandia minor (Rauser)

Табл. I, фиг. 3

Hyperammina vulgaris var. *minor*: Раузер-Черноусова, 1948, стр. 239, табл. ХУП, фиг. 4; Лебедева, 1954, стр. 239, табл. I; Малахова, 1956, стр. 36, табл. I, фиг. I.

Earlandia minor: Богуш и Юферев, 1962, стр. 71, табл. I, фиг. 2; Пронина, 1963, стр. 124, табл. I, фиг. 2.

Диагноз. Раковина длинная крупная, с толстой известковой стенкой.

Описание. Раковина свободная крупная толстостенная прямая или слегка изогнутая. Длина экземпляров 1,10—1,70 мм, диаметр трубы 0,20—0,22 мм, толщина стенки 0,03—0,04 мм. Стенка темная известковая тонкозернистая, с отдельными более крупными зернами кальцита.

Сравнение. По своим основным признакам описываемые экземпляры сходны с *Earlandia vulgaris* var. *minor* Raus, 1948; от *Earlandia vulgaris* Rausser et Reitlinger отличаются меньшим диаметром трубы и более толстой стенкой.

Геологическое и географическое распространение. Нижний карбон Европейской части Советского Союза, западного и восточного склонов Урала, Кузбасса, Казахстана, Средней Азии.

Материал. Широко распространена в среднем и верхнем визе (якарчинская и сангальтская свиты) в бассейнах рек Зидды, Шинг, Каракуль, Джизикрут, Урмитан, более 50 экземпляров.

Семейство PARATHURAMMINIDAE E. BYKOVA, 1955

Род PARATHURAMMINA SULEIMANOV, 1945

Parathurammina: Сулейманов, 1945; Липина, 1950, 1955; Быкова, 1952, 1955; Гроздилова и Лебедева, 1954; Быкова и Рейтлингер, 1959; Юферев, 1961; Богуш и Юферев, 1962; Пронина, 1963; Чувашов, 1965.

Типовой вид. *Parathurammina dagmarae* Suleimanov.

Этрень. Ишимбаевский район, скважины участка Таратай.

Диагноз. Раковина однокамерная, субшаровидной или шаровидной формы. Поверхность раковины покрыта многочисленными сосочковидными возвышениями. Устья многочисленные, на концах возвышений иногда слабо выражены. Стенка темная, однослойная.

Сравнение. К роду *Irregularina* близка по развитию устьевых возвышений в виде горльшек, но отличается от него более правильной округлой формой раковины. От рода *Uralinella*, также имеющего устьевые возвышения в виде горльшек, отличается однокамерной раковиной.

Геологическое и географическое распространение. Представители рода *Parathurammina* известны от среднего девона до средней части визейского яруса включительно. Единичные паратураммы встречаются до башкирского яруса среднего карбона. Европейская часть СССР, Урал, Средняя Азия.

Parathurammina miklukho-maclayi Saltovskaja

Табл. I, фиг. 4-8.

Parathurammina miklukho-maclayi: Салтовская, 1972, стр. 9, табл. I, фиг. I-2.

Диагноз. Крупные (0,4-0,6 мм), массивные раковины округло-угловатой формы в сечении с характерной толстой стенкой одинаковой толщины во всех частях раковины. Стенка устьевых горлышек такой же толщины, что и вся раковина; устьев в центре сечении 6-8.

Описание. Раковины крупные. Диаметр внутренней полости колеблется в пределах 0,23-0,35 мм. Внешняя поверхность раковины покрыта устьевыми горлышками, отходящими под прямым углом, внутренняя - повторяет контуры раковины. Стенка толстая - 0,027-0,041 мм, однородная темная известковая мелкозернистая. Апертуры расположены на концах шиповидных выростов поверхности раковины.

Размеры изученных экземпляров (в мм)

голотип 15 измеренных экз.

Наружный диаметр	0,4II	0,260-0,4II
Внутренний диаметр	0,356	0,232-0,274
Толщина стенки	0,04I	0,027-0,04I
Длина устьевых возвышений	0,150	0,06-0,164
Форма " "		трубочковидная

Сравнение. Описываемые нами экземпляры *i. miklukho-maclayi* sp. nov. от всех известных в литературе отличаются общей массивностью раковины и большими размерами. По толщине стенки и массивности они наиболее близки к *Parathurammina cushmani* Suleimanovi, отличаются от него большими размерами, наличием устьевых возвышений и одинаковой толщиной стенки во всех частях раковины. От близкого к нему *Parathurammina clivosa* Pronina отличаются вдвое большими размерами, резкой шиповатостью, одинаковой толщиной стенки во всех частях раковины.

Геологическое и географическое распространение. Средне визе. Левый склон Гиссарского хребта, правый борт р. Зидда; северный склон Гиссарского хребта, правый борт р. Джихикрут.

Материал. 25 экземпляров хорошей сохранности из среднего визе (якарчинская свита) бассейна р. Зидда; 10 экземпляров из среднего визе (якарчинская свита) бассейна р. Джихикрут.

Parathurammina dagmarae Suleimanov

Табл. I, фиг. 9, IO.

Parathurammina dagmarae: Сулейманов, 1945, стр. 132, табл. 3; Гроз-дилова и Лебедева, 1954, стр. 23, табл. I, фиг. I, 2; 1960, стр. 39, табл. I, фиг. 4; Богуш и Юферев, 1962, стр. 76, табл. I, фиг. 7; Чувашов, 1965, стр. 18, 19, табл. I, фиг. I, 2.

Диагноз. Раковина однокамерная, шарообразная, покрыта многочисленными сосочками. Стенка тонкая, толщина её 0,013-0,041 мм.

Описание. Раковина маленькая, однокамерная, шарообразная, свободная, наружный диаметр 0,137-0,246 мм. Вся поверхность её покрыта многочисленными сосочками, расположенным неравномерно, наибольшее число их 25-27. Высота сосочеков 0,013-0,041 мм, ширина устьевых каналов 0,006-0,013 мм. Стенка темная тонкозернистая. Толщина стенки неравномерная и варьирует в пределах 0,013-0,041 мм.

Сравнение. Описываемые нами экземпляры имеют все характерные черты, свойственные *Parathurammina dagmarae* Sul., с тем лишь отличием, что экземпляры, входящие в нашу коллекцию, имеют неравномерную и несколько большую толщину стенки и несколько большее количество (27) устьев, что, по-видимому, объясняется различным положением плоскости среза.

Геологическое и географическое распространение. Среднее визе. Северный склон Туркестанского хребта.

Материал. 5 экземпляров хорошей сохранности из среднего визе (якарчинская свита) северный склон Туркестанского хребта.

Parathurammina suleimanovi Lipina

Табл. II, фиг. I-5.

Parathurammina suleimanovi: Липина, 1950, стр. 120, табл. I, фиг. I2-I4; 1955, стр. 21, табл. I, фиг. I5-I8; Гроздилова и Лебедева, 1954, стр. 26, 27, табл. I, фиг. 6-8; 1960, стр. 40, табл. I, фиг. 3; Богуш и Юферев, 1962, стр. 82, табл. I, фиг. I6.

Диагноз. Раковина неправильной формы, с толстой (0,041-0,082 мм) темной стенкой. Внутренняя полость сферическая. Апертуры расположены на концах шипов, внутри которых проходят каналы.

Описание. Раковина небольшая 0,164-0,246 мм, неправильных очертаний, что объясняется наличием угловатых выступов. Форма внутренней полости правильная сферическая, размеры варьируют от 0,054 до 0,091 мм (с редким отклонением до 0,104 мм). Стенка темная тонкозернистая, довольно толстая - 0,041-0,082 мм, с неровными контурами, неодинаковой толщины в разных частях раковины. Апертуры расположены на концах шипов, внутри которых проходят каналы. Количество устьев обычно 3-5, длина устьев 0,130-0,156 мм, диаметр устьевых каналов 0,006 мм.

Сравнение. Описываемые нами экземпляры относятся к группе толстостенных паратураммин и ближе всего к *Parathurammina suleimanovi* Lipina. С этим видом они сходны по размерам, толщине стенки, расположению и длине шипов.

Геологическое и географическое распространение. Форма широко распространена в отложениях франского, фаменского и турнейского ярусов Урала, Южного Тимана и Русской платформы, в среднем визе Зеравшано-Гиссарской горной области.

Материал. 12 экземпляров хорошей сохранности из среднего визе (якарчинская свита) бассейна р. Зиды, 15 экземпляров из среднего визе (якарчинская свита) бассейна р. Джихикрут.

Sogdianina : Салтовская, 1973.

Типовой вид. *Sogdianina angulata* sp. nov.; нижний карбон, визейский ярус, Зеравшанский хребет, гора Калаи-Гач.

Диагноз. Раковины однокамерные, прикрепленные, округло-многоугольных очертаний. Стенка трехслойная непористая, наружный и внутренний слои тонкие темные тонкозернистые; срединный слой толстый серый зернистый. Внутренняя полость в сглаженном виде повторяет очертания наружного слоя стенки раковины. Устья многочисленные тонкие. Устьевые горлышки резко выступают над поверхностью раковины.

Видовой состав. Род монотипичен.

Сравнение. Описываемый род по форме раковины округло-многоугольных очертаний с многочисленными устьевыми каналами и шипами, возвышающимися над поверхностью раковины, близок к роду *Parathirummina*, от которого отличается строением стенки, а также способностью к прикреплению. От описанных в литературе, прикрепленных паратураммин (Вдовенко, 1960), наши экземпляры отличаются формой раковины, строением стенки и способом прикрепления.

По внешнему виду (раковины округло-многоугольных очертаний), наличию устьевых каналов и способности прикрепляться одной из сторон, описанный род сходен с родом *Uralinella*, (Быкова, 1952), но отличается однокамерностью.

По строению стенки (трехслойная с двумя темными тонкими наружным и внутренним слоями и толстым серым срединным слоем), наличию устьевых каналов и шипов описываемый род сходен с родом *Ivdelina* (Малахова, 1963), от которого отличается формой раковины, отсутствием трубки и более простым способом прикрепления. Сближает род *Sogdianina* с родом *Tuberitina* способность к прикреплению, но они резко отличаются по строению стенки и наличию устьевых каналов.

Sogdianina angulata Saltovskaja

Табл. III, фиг. I-15

Sogdianina angulata : Салтовская, 1973, стр. 68, табл. I, фиг. I-9.

Описание. Раковины округло-многоугольных очертаний, однокамерные, прикрепленные. Внутренняя полость в сглаженном виде повторяет очертания наружного слоя стенки раковины. Стенка трехслойная непористая, наружный и внутренний слои тонкие темные тонкозернистые; срединный слой толстый серый зернистый. Устьевые каналы тонкие многочисленные, пронизывают всю стенку раковины, образуя на наружной поверхности раковины тонкие острые шипы. В сечении обычно наблюдается от 7 до 15 устьевых канальцев. Прикрепляются без ясно выраженного базального диска. В месте прикрепления раковины повторяют контуры предметов.

Размеры в мм	Изученные экземпляры	Голотип
Диаметр раковины	0,123-0,315	0,274
Диаметр внутренней полости	0,082-0,123	0,123
Диаметр устьев	0,013	0,013
Длина устьевых каналов	0,095-0,178	0,164
Число устьевых каналов	7-15	9
Высота устьевых горлышек	0,013-0,150	0,027

Изменчивость. Наиболее постоянным у данного вида является диаметр устьевых каналов. К варьирующим признакам относятся: толщина стенки и размеры внутренней полости раковины. У одних экземпляров варьирует толщина стенки раковины при почти неменяющемся диаметре внутренней полости раковины. У других — изменяется диаметр внутренней полости раковины при сравнительно постоянной (вдвое большей) толщине стенки.

Замечания. Образ жизни согдианин, вероятно, очень близкий к тому, который вели иудеи (Малахова, 1963). Это был, очевидно, неподвижный образ жизни в спокойных мелководных водоемах, о чем свидетельствуют большие скопления в них раковин согдианин. В плоскости сечения одного шлифа количество согдианин достигает 150 экземпляров. Кроме того, наблюдается правильное однорядное прикрепление раковин одна над другой до 5-7 экземпляров, чаще по 2-4 экземпляра.

Геологическое и географическое распространение. Нижний карбон, визейский ярус, северный склон Зеравшанского хребта.

Материал. Более 350 экземпляров хороший и удовлетворительной сохранности из 2 местонахождений: района-кишлака Шишкат и левобережья р. Зеравшан против селения Урмитан.

СЕМЕЙСТВО TUBERITINIDAE M.-MACLAY, 1958

Род TUBERITINA GALLOWAY and HARLTON, 1928

Tuberitina: Galloway and Harlton, 1928 (partim); Михайлов, 1939 (partim); Рейтлингер, 1950 (partim); Быкова, 1955 (partim); Быкова и Рейтлингер, 1959; Богуш и Дферев, 1962.

Типовой вид. Tuberitina bulbacea Galloway et Harlton. Карбон Северной Америки.

Диагноз. Раковина одиночная или сложноколониальная, прикрепляющаяся базальным диском, на котором возвышается одна вздутая камера или несколько камер, причем последующая прикрепляется к боковой поверхности предыдущей. Устье не наблюдалось. Стенка однослойная тонко-зернистая, отчетливо пористая, нередко грубопористая.

Сравнение. От родов Eotuberitina и Neotuberitina отличается более толстой и отчетливо пористой стенкой.

Геологическое и географическое распространение. Нижний карбон — пермь европейской части СССР, Урала, Кавказа, Казахстана, Средней Азии, Китая и Северной Америки.

Tuberitina bulbacea Galloway et Harlton

Табл. II, фиг. 6,7.

Tuberitina bulbacea: Galloway and Harlton, 1928, p. 346, pl. 45,
fig. 8,a-d, Рейтлингер, 1950, стр. 88, табл. XIX, фиг. 6,II.

Диагноз. Раковина состоит из одной колбообразной камеры или нескольких камер, расположенных одна над другой. Стенка тонкая, тонкопористая.

Описание. Общая высота камеры с шейкой достигает 0,28–0,39 мм. Диаметр шарообразной её части 0,17–0,28 мм. Стенка тонкая 0,01 мм, поры ясных не наблюдается.

Сравнение. От описанных ранее отличается лишь несколько иной формой камер и отсутствием крупных пор.

Геологическое и географическое распространение. Средний карбон Русской платформы, Урала, Средней Азии. Намюрский ярус нижнего и башкирский и московский ярусы среднего карбона Зеравшано-Гиссарской горной области.

Материал. 50 экземпляров из намюра и низов башкирского яруса среднего карбона (снежинская свита) бассейна р.Кара-Куль; 30 экземпляров из намюра и среднего карбона (снежинская и бачаульдинская свиты) бассейна р.Шинг.

Tuberitina collosa Reitlinger

Табл. II, фиг. 8-13.

Tuberitina collosa: Рейтлингер, 1950, стр. 89 табл. XIX, фиг. 7-9;
Богут и Шферев, 1962, стр. 97, табл. I, фиг. 34.

Диагноз. Раковина крупная, с толстой пористой и грубопористой стенкой.

Описание. Раковина состоит из одной-двух, чаще скопления нескольких камер полусферической формы. Первые одна-две камеры крупные (0,36 мм) с толстой стенкой, последующие – мелкие полусферической или колпачковидной формы с тонкой стенкой. Иногда одна крупная камера своим слегка вогнутым основанием плотно прилегает к выпуклой стороне сразу нескольких камер (двух-трех). Диаметр камер от 0,07 до 0,40 мм. Общая длина раковины доходит до 0,60 мм. Стенка толстая грубопористая. Толщина доходит до 0,03–0,04 мм. Поры крупные и равны 0,01 мм, промежутки между порами в полтора-два раза больше.

Сравнение. От типичной *Tuberitina collosa* Reitlinger ничем не отличается. Описанные нами экземпляры по скоплению камер близки к *Tuberitina collosa* var. *tschekabadica* Bog. et Juf., но отличаются более крупными размерами.

Геологическое и географическое распространение. Верхний девон Карагатай, средний карбон Русской платформы, Урала, Средней Азии.

Материал. 40 экземпляров хорошей сохранности из башкирского и московского ярусов (бачаульдинская свита), бассейны рек Кара-Куль, Шинг, Порут, Ривут.

Tuberitina gigantea sp. nov.

Табл. II, фиг. I4

Голотип. № 1074, хранится в музее Института геологии АН Таджикской ССР. Зеравшано-Гиссарская горная область (бассейн р. Ривут), средний карбон.

Диагноз. Раковина крупная массивная, состоящая из одной камеры с варьирующими по размерам дисками прикрепления. Стенка темная, сравнительно мелкозернистая, пористая или тонкопористая.

Описание. Раковина колбообразной формы состоит из одной камеры с выпуклым основанием, обращенным выпуклостью внутрь раковины. Высота раковины 0,68–0,75 мм, диаметр шарообразной части 0,45 мм, диаметр основания 0,20 мм. Стенка темная толстая пористая, толщина ее 0,03–0,04 мм, диаметр пор 0,01 мм.

Сравнение. От *Tuberitina collosa* Reitl. наши экземпляры отличаются более крупными размерами и однокамерностью.

Геологическое и географическое распространение. Башкирский и московский ярусы среднего карбона Зеравшано-Гиссарской горной области.

Материал. 5 экземпляров из башкирского и московского ярусов (бачаульдинская свита) бассейнов рек Порут и Ривут, 3 экземпляра из бачаульдинской свиты бассейна р. Кара-Куль.

Род *EOTUBERITINA* M-MACLAY, 1958

Tuberitina: Galloway and Harlton, 1928 (partim); Рейтлингер, 1950 (partim); Быкова, 1955 (partim); Быкова и Рейтлингер, 1959, (partim).

Eotuberitina: А.Миклухо-Маклай, 1958; Богуш и Йферев, 1962; Чувашов, 1965.

Типовой вид. *Tuberitina maljavkini* Reitlinger – *Eotuberitina reitlingerae* M. Maclay. Рейтлингер, 1950, стр. 88, табл. XIX, фиг. 2-3. Средний карбон Московской впадины.

Диагноз. Раковина маленькая, однокамерная, с диском прикрепления. Стенка темная, тонкозернистая, тонкопористая.

Сравнение. См. описание родов *Tuberitina* и *Neotuberitina*.

Геологическое и географическое распространение. Средний девон – средний карбон Русской платформы, Урала, Казахстана и Средней Азии.

Eotuberitina reitlingerae M.-Maclay

Табл. II, фиг. I4, I5

Tuberitina maljavkini: Михайлов, 1939, стр. 48, табл. I, фиг. I2; Рейтлингер, 1950, стр. 88, табл. XIX, фиг. 2, 3; Малахова, 1956, стр. 87, табл. I, фиг. I, 2.

Eotuberitina reitlingerae: Богуц и Дферев, 1962, стр. 94, табл. I, фиг. 32; Чувашов, 1965, стр. 33, 34, табл. IV, фиг. II-I4.

Диагноз. Раковина маленькая, однокамерная с базальным диском прикрепления. Стенка темная мелкозернистая тонкая непористая или тонкопористая.

Описание. Раковина небольшая полусферической или сферической формы с базальным диском, изогнутым в виде дуги или уплощенным. Размеры: высота 0,15–0,25 мм, диаметр базального диска 0,09–0,28 мм. Стенка темная мелкозернистая тонкопористая, толщина 0,01 мм.

Сравнение. По форме и размерам таджикские экземпляры ничем существенным не отличаются от описанных ранее.

Геологическое и географическое распространение. От среднего девона до среднего карбона. Русская платформа, Урал, Средняя Азия.

Материал. Более 100 экземпляров из среднего и верхнего визе (якарчинская и сангальтская свиты) бассейнов рек Зидды и Джикрут; 35 – из намюрского яруса нижнебашкирского подъяруса (снежинская свита) р. Кара-Куль 25 – из верхнебашкирского и нижнемосковского подъярусов (бачаульдинская свита) р. Шинг.

Eotuberitina grandis (Reitlinger)

Табл. II, фиг. I6

Tuberitina maljavkini Mikhailov var. *grandis*: Рейтлингер, 1950, стр. 88, табл. XIX, фиг. 4.

Диагноз. Раковина крупная шарообразная, с уплощенным базальным диском, с тонкой мелкопористой стенкой.

Описание. Раковина однокамерная, с уплощенным базальным диском. Диаметр раковины 0,40–0,60 мм. Стенка темная тонкозернистая тонкопористая, толщина 0,01–0,02 мм.

Сравнение. По размерам и форме раковины наши экземпляры очень близки к описанным Е.А.Рейтлингер (1950) под названием *Tuberitina maljavkini* Mikhailov var. *grandis* var. nov.. От *Eotuberitina maljavkini* (Mikh.), они отличаются крупными размерами и правильной сферической формой раковины.

Геологическое и географическое распространение. Средний карбон. Русская платформа, Зеравшано-Гисарская область.

Материал. 5 экземпляров из башкирского и московского ярусов среднего карбона (бачаульдинская свита) бассейна р. Ривут (северный склон Зеравшанского хребта).

О Т Р Я Д

AMMODISCIDA

СЕМЕЙСТВО

AMMODISCIDAE RHUMBLER, 1895

ПОДСЕМЕЙСТВО

AMMODISCINAE RHUMBLER, 1895

Род

AMMODISCUS REUSS, 1861

Opercina: Orbigny, 1839 (partim)

Ammodiscus: Reuss, 1861; Волошинова, Даин, Рейтлингер, 1959; Богуш и Юферев, 1962.

Типовой вид. *Opercina incerta* Orbigny. Район Канарских островов, современная форма.

Диагноз. Раковина спирально-плоскостная. Стенка агглютинированная или тонкозернистая.

Геологическое и географическое распространение. Распространен широко. Силур - ныне.

Ammodiscus tadschikistanicus sp.nov.

Табл. IV, фиг. I-3

Голотип. № 2524, хранится в музее Института геологии АН Тадж.ССР. Намюрский и башкирский ярусы бассейна р.Кара-Куль, Зеравшано-Гискарской горной области.

Диагноз. Раковина спирально-плоскостная дисковидная, состоит из очень маленькой начальной камеры и очень длинной трубчатой второй камеры. Умбрикусы сильно углубленные. Периферический край угловато-закругленный.

Описание. Раковина дисковидная спирально-плоскостная, с сильно углубленной пупочной областью, симметричная. Иногда пупочная область с одной стороны более вогнута, чем с другой. Поэтому обороты имеют несколько несимметричную форму. Размеры раковин: диаметр 0,42-0,045 мм, толщина 0,07-0,09 мм. Стенка темная тонкозернистая 0,01 мм. Оборотов 9-II. Сосчитать начальные обороты из-за их тесного навивания не всегда возможно. Все обороты спирали лежат в одной плоскости. Разворачивание спирали очень тесное, высота оборотов медленно и равномерно увеличивается с ростом раковины.

Сравнение. Наиболее близки описанные нами экземпляры к *Ammodiscus Brazhnikova et Potievskaja*, 1946. Отличаются от него большим числом оборотов, более толстой стенкой и сильно углубленным умбиликусом. Большими размерами они отличаются и от близкого к нему *Ammodiscus multivolutus Reitlinger*.

Геологическое и географическое распространение. Намюрский и башкирский ярусы Зеравшано-Гиссарской горной области.

Материал. 15 экземпляров из намюрского и башкирского ярусов (снежинская свита) бассейна р.Кара-Куль, правый борт сая Снежного.

Ammodiscus compactus Brazhnikova et Potievskaja

Табл. IV, фиг. 4, 5

Ammodiscus compactus Бражникова, 1949, стр. 6-8, табл. I, фиг. 2.

Диагноз. Раковина небольшая спирально-плоскостная, состоит из начальной очень маленькой камеры и второй трубчатой длинной камеры, симметрично завитой в одной плоскости. Умбиликусы сильно углубленные. Периферический край округло-угловатый.

Описание. Диаметр раковины 0,30 мм, толщина 0,07 мм. Высота оборотов значительно меньше толщины раковинки. Число оборотов 9-II. Все обороты лежат в одной плоскости. Навивание спирали тесное компактное. Диаметр трубчатой камеры медленно увеличивается с ростом раковинки. Стенка темная однослойная мелкозернистая, толщина 0,06 мм. Апертура образована открытym концом трубчатой камеры. Начальные обороты настолько тесно и узко навиты, что сосчитать их невозможно.

Сравнение. Характерными признаками данного вида является его тесное компактное навивание и большое число оборотов. От *Ammodiscus compactus*, описанного Н.Е.Бражниковой и Т.Д.Потиевской, отличается лишь большей толщиной раковинки и более углубленной пупочной областью.

Геологическое и географическое распространение. Широко распространена в отложениях намюра и среднего карбона Львовской мульды, в отложениях башкирского и московского ярусов Зеравшано-Гиссарской горной области.

Материал. 40 экземпляров из башкирского яруса (бачаульдинская свита) бассейна р.Кара-Куль, 30 экземпляров из московского яруса (бачаульдинская свита) бассейна р.Шинг.

Ammodiscus multivolutus Reitlinger

Табл. IV, фиг. 6

Ammodiscus multivolutus: Рейтлингер, 1949, стр. 155, 156, фиг. 2, а-с; Путря, 1956, стр. 368, табл. I, фиг. 2, 3.

Диагноз. Раковинка маленькая спирально-плоскостная, дисковидная, тонкая, состоит из очень маленькой начальной камеры и очень длинной трубчатой второй камеры, с широкими слабо углубленными умбиликусами.

Описание. Размер раковины не превышает 0,25 мм, чаще 0,20–0,22 мм, толщина 0,04–0,05 мм. Вторая камера образует 9–II оборотов, очень тесно навитых. Высота оборотов постепенно возрастает по мере роста раковины. Стенка темная, тонкозернистая, тонкая.

Сравнение. Описанные нами экземпляры не отличаются от типичных *Ammodiscus multivolutus*.

Геологическое и географическое распространение. Широко распространена в отложениях среднего карбона Урала и Донбасса. Встречается в отложениях намыва и среднего карбона Зеравшано-Гиссарской горной области.

Материал. 35 экземпляров из башкирского и московского ярусов (бачаульдинская свита) бассейна р.Кара-Куль.

СЕМЕЙСТВО TOURNAYELLIDAE DAIN, 1953
ПОДСЕМЕЙСТВО FORSCHIINAE DAIN, 1953
Род FORSCHIA MIKHAILOV, 1935

Forschia: Михайлов, 1935, 1939; Даин, 1953; Гроздилова и Лебедева, 1954, 1960.

Типовой вид: *Forschia mikhailovi* Dain. Северо-Западное крыло Подмосковской котловины. Визейский ярус, окский подъярус.

Описание. Раковина свободная спирально-плоскостная, зволютная. Состоит из округлой начальной камеры и второй псевдотрубчатой. Иногда трубка имеет слабые пережимы в периферической части. Стенка агглютинированная, известкового состава, нередко включающая в себя раковины примитивных фораминифер. Устье ситовидное с немногочисленными крупными отверстиями.

Геологическое и географическое распространение. Нижний карбон, визейский ярус. Урал, Тиман, Русская платформа и Средняя Азия.

Forschia mikhailovi Dain

Табл. IV, фиг. 8

Forschia subangulata: Михайлов, 1939, стр. 50, табл. II, фиг. 2.

Forschia mikhailovi: Даин, 1953, стр. 39, табл. У, фиг. I, 2; Гроздилова и Лебедева, 1954, стр. 37, табл. III, фиг. 8, 9; Гроздилова и Лебедева, 1960, стр. 50, табл. II, фиг. I.

Диагноз. Раковина трубчатая спирально-плоскостная эволютная. Стенка толстая грубозернистая, устье ситовидное.

Описание. Раковина довольно крупная дисковидная несимметрическая. В продольном сечении периферический край угловатый. Пупочные впадины глубокие. Размеры: диаметр 0,86 мм, ширина 0,34 мм. Отношение наибольшей ширины к диаметру равно 0,25-0,30. Количество оборотов от 3,5 до 5. Все обороты навиты в одной плоскости. Начальная камера маленькая, равна 0,02 мм. Высота спирали возрастает постепенно и более резко увеличивается в последнем обороте, достигая 0,17-0,20 мм. Стенка толстая (0,04-0,06 мм), грубозернистая с включением крупных зерен. Устье ситовидное (с двумя отверстиями).

Сравнение. По форме раковины, толщине стенки и другим признакам вполне сходны с описанными ранее *Forschia mikhailovi* Dain.

Геологическое и географическое распространение. Нижний карбон, визейский ярус Урала, Подмосковного бассейна, Поволжья и Средней Азии.

Материал. 20 экземпляров хорошей сохранности из среднего визе (якарчинская свита) бассейна р. Джикрут.

Forschia subangulata (Moeller)

Табл. IV, фиг. 7, 9

Spirillina subangulata: Меллер, 1880, стр. 38, 39, табл. У, фиг. 3.

Forschia subangulata: Михайлов, 1939, стр. 63, фиг. 5-7; Раузер-Черноусова, Беляев, Рейтлингер, 1940, стр. 218, 219.

Диагноз. Раковина крупная спирально-плоскостная эволютная, со слабыми непостоянными перекимами: обороты высокие, с быстро возрастающим диаметром, угловатые.

Описание. Диаметр 1,75 мм, ширина 0,61 мм. Число оборотов 4-5. В поперечном сечении имеют несколько неправильную форму. Стенка толстая грубозернистая, с включением более или менее крупных зерен. Толщина ее в последнем обороте равна 0,10 мм.

Сравнение. Описанные нами экземпляры имеют все характерные для *Forschia angulata* признаки: толстую грубозернистую сенку и угловатой формы обороты, отличаются лишь несколько большими размерами.

Геологическое и географическое распространение. Нижний карбон, визейский ярус Русской платформы, Урала, Донбасса (турне?), Средней Азии.

Материал. 15 экземпляров хорошей сохранности из среднего визе (якарчинская свита) бассейна р. Джикрут.

СЕМЕЙСТВО LITHULIDAE, REUSS, 1861

ПОДСЕМЕЙСТВО HAPLOPHRAGMELLINAE REITLINGER, 1950

Род HAPLOPHRAGMINA REITLINGER, 1950

Haplophragmina: Рейтлингер, 1950.

Типовой вид. *Haplophragmina kashirica* Reitlinger. Средний карбон. Русская платформа.

Диагноз. "Раковина в начальной стадии спирально-завитая, в поздней выпрямляется. Состоит из немногочисленных постепенно увеличивающихся камер. Стенка агглютинированная, с известковым цементом, обычно преобладающим. Апертура простая, в спиральной части и в начальных камерах прямолинейной части и ситовидная в одной или двух последних камерах прямолинейной части" (Рейтлингер, 1950, стр. 29).

Замечания. Представители данного рода по типу строения раковины и характеру стенки сходны с нижнекаменноугольными галлофрагмелами, но отличаются от них иным характером апертуры. У галлофрагмел ситовидная апертура наблюдается уже со спиральной части, тогда как у галлофрагмин ситовидная апертура развита только в одной-двух последних камерах прямолинейной части.

Геологическое и географическое распространение. Средний - верхний карбон. Русская платформа, Зеравшано-Гиссарская горная область.

Haplophragmina kashirica Reitlinger

Табл. IV, фиг. I2-I4.

Haplophragmina kashirica: Рейтлингер, 1950, стр. 29, табл. IV, фиг. 5-8.

Диагноз. Раковина в начальной стадии спирально-завитая, в поздней - выпрямляется. Стенка грубоагглютинированная. Апертура в спиральной части и в начальных камерах прямолинейной части простая, ситовидная в двух последних камерах.

Описание. Раковина состоит из нескольких камер, медленно расширяющихся по мере роста. В спиральной части 3-4 камеры, в прямолинейной части всего 3-4. Длина раковины 1,37-1,58 мм; ширина 0,27 мм в первом обороте прямолинейной части до 0,54-0,60 мм в последнем; высота камер от 0,17 до 0,32 мм. Стенка известковая грубозернистая, с агглютинированными частицами,

среди которых отмечается зерна кальцита и раковины примитивных фораминифер. Толщина стенки 0,06–0,08 мм. Апертура в спиральной части и в первых оборотах прямолинейной части простая, в последних двух оборотах ситовидная.

* Сравнение. Описанные нами экземпляры ничем существенным не отличаются от *Haplophragmina kashirica*, описанной Е.А.Рейтлингер в 1950 г.

Геологическое и географическое распространение. Средний карбон, московский ярус. Русская платформа, Зеравшано-Гиссарская горная область,

Материал. Зеравшано-Гиссарская горная область. 10 экземпляров хорошей сохранности из бассейна р.Шинг; 15 – посредственной сохранности из бассейна р.Ривут. Средний карбон, московский ярус (бачаульдинская свита).

Haplophragmina potensa Reitlinger

Табл. IV, фиг. 10

Haplophragmina potensa: Рейтлингер, 1950, стр. 29, табл. IV, фиг. 9, 10.

Диагноз. Раковина спирально-завитая в ранней стадии и развернутая прямолинейная в конечной. Камеры выпуклые и очень быстро расширяющиеся в прямолинейной части. Стенка агглютинированная. Устье в последних двух камерах прямолинейной части ситовидное.

Описание. Длина раковины 1,23–1,60 мм; ширина её от 0,34 до 0,46 мм. В спиральной части 4–5 камер, в прямолинейной – 2. Камеры в продольном сечении имеют округлую форму. Стенка известковая грубозернистая с агглютинированными частицами. Толщина стенки 0,06–0,10 мм. Апертура в спиральной части простая, в двух оборотах прямолинейной части ситовидная.

Сравнение. Экземпляры, описанные нами, очень близки к *Haplophragmina potensa* Е.Рейтлингер (1950), отличаясь лишь несколько меньшими общими размерами. От *Haplophragmina kashirica* они отличаются несколько иной формой раковин (шарообразной, круглой), более резким увеличением размера камер в прямолинейной части раковины.

Геологическое и географическое распространение. Средний карбон, московский ярус. Русская платформа, Зеравшано-Гиссарская горная область.

Материал. 5 экземпляров встречено совместно с *Haplophragmina kashirica* Reitlinger в бассейне р.Шинг и 15 – по долине р.Ривут. Средний карбон, московский ярус (бачаульдинская свита).

О Т Р Я Д ENDOTHYRIDAE
СЕМЕЙСТВО BRADYNIDAE REITLINGER, 1950
Род BRADYINA MOELLER, 1878

Bradyina: Меллер, 1880; Eichwald, 1860; Венюков, 1889; Раузер-Черноусова, Беляев, Рейтлингер, 1940; Рейтлингер, 1950; Малахова, 1952; Раузер-Черноусова, Беляев, Рейтлингер, 1936; Бражникова, 1947; Гроzdилова и Лебедева, 1960; Богуш, 1963; Потиевская, 1964.

Диагноз. Раковина спирально-свернутая, инволютная. Апerture сложная с добавочными апертурами по септальным швам. Стенка известковая, грубопористая, с включением агглютинированных частиц.

Геологическое и географическое распространение. Карбон - пермь Урала, Тимана, Русской платформы, Средней Азии; Pennsylvanian Северной Америки.

Bradyina cibrostomata Rauser et Reitlinger

Табл. IV, фиг. 15

Bradyina cibrostomata: Раузер-Черноусова, Беляев и Рейтлингер, 1940, стр. 51, табл. УШ, фиг. 4,5; табл. IX, фиг. 4-6; Рейтлингер, 1950, стр. 40, 41; Гроzdилова и Лебедева, 1960, стр. 76, 77, табл. УШ, фиг. 3; Потиевская, 1964, стр. 38, 39, табл. I, фиг. 8-II.

Диагноз. Раковина спирально-свернутая, инволютная, слегка скатая по оси навивания. Число оборотов 2-3. Стенка грубопористая.

Описание. Раковина крупная. Размеры: диаметр 1,78-2,65 мм, ширина 1,25-1,37 мм. Число оборотов 2-3. Начальная камера сферическая, размер 0,06 мм. Камеры быстро возрастают в высоту. Число камер в последнем обороте 6-7. Камеры слабо выпуклые, разделенные несколько углубленными септальными швами. Септы короткие. Стенка грубопористая. Диаметр пор примерно соответствует промежуткам между ними и равен 0,02-0,03 мм. Толщина стенки возрастает постепенно с ростом раковины.

Сравнение. Ничем существенным не отличается от типичной Bradyina cibrostomata Rauser et Reitlinger.

Геологическое и географическое распространение. Нижняя часть башкирского, намюрского и нижняя часть визейского ярусов Русской платформы. Верхняя часть намюрского и низы башкирского ярусов Зеравшано-Гиссарской горной области.

М а т е р и а л . 10 экземпляров хорошей сохранности из намора (снежинская свита) бассейна р.Кара-Куль, 15 - из намора (снежинская свита) бассейна р.Шинг, 23 - из низов башкирского яруса (снежинская свита) бассейна р.Шинг.

Bradyina sphaeroidea Putrya

Табл. У, фиг. 2

Bradyina sphaeroidea: Путря, 1956, стр. 372-373, табл. I, фиг. I2, I3.

Диагноз. Раковина субшаровидная симметричная, слегка скатая с боков. Стенка тонкая грубо-пористая.

Описание. Раковина близкая к симметричной, с широко закругленной периферией. Интерсептальные пространства узкие, отделенные от камер углубленными бороздками. Размеры: диаметр 2,20-2,40 мм, ширина 1,60-1,84 мм. Число оборотов 2,5-3. Спираль развертывается быстро. Стенка тонкая, грубо-пористая, 0,02-0,03 мм.

Сравнение. От описанной Ф.С.Путря *Bradyina sphaeroidea* наши экземпляры существенно не отличаются.

Геологическое и географическое распространение. Верхняя часть среднего карбона Восточного Донбасса; московский ярус Зеравшано-Гиссарской горной области.

Материал. 20 экземпляров из московского яруса (бачаульдинская свита) бассейнов рек Шинг и Кара-Куль, 15 - из московского яруса (бачаульдинская свита) бассейна р.Шинг.

Bradyina eonauutiliformis Reitlinger

Табл. У, фиг. I

Bradyina eonauutiliformis: Рейтлингер, 1950, стр. 41, табл. УШ, фиг. 4.

Диагноз. Раковина небольшая, спирально-чавитая. Стенка толстая, грубо-пористая.

Описание. Раковина с быстро развертывающейся спиралью. Камеры невыпуклые. Диаметр 1,3-1,45 мм. Число оборотов 2-2,5. Число камер в наружном обороте 6-7. Высота последнего оборота равна 0,34-0,37 мм. Начальная камера сферическая, крупная, 0,15-0,17 мм. Интерсептальные пространства сравнительно узкие, погружаются с третьей камеры. Стенка раковины темная, зернистая, грубо-пористая. Толщина стенки увеличивается со второго оборота. В последнем обороте она равна 0,11 мм. Апертура ситовидная.

Сравнение. Ничем существенным не отличается от *Bradyina eonauutiliformis*, описанной Е.А.Рейтлингер в 1950 г.

Геологическое и географическое распространение. Вереский, каширский и подольский горизонты Русской платформы; московский ярус Зеравшано-Гиссарской горной области.

Материал. 25 экземпляров из среднего карбона (бачаульдинская свита) бассейна р.Шинг, 40 - из среднего карбона (бачаульдинская свита) бассейнов рек Кара-Куль и Шингак.

СЕМЕЙСТВО ENDOHYRIDAE H.B. BRADY, 1884
ПОДСЕМЕЙСТВО PLECTOGIRINAE REITLINGER, 1959
Род PLECTOGYRA E. ZELLER, 1950

Endothyra: Brady, 1876 (partim); Меллер, 1878 (partim); Михайлов, 1939; Рейтлингер, 1950 (partim); Гроздилова и Лебедева, 1954 (partim); Линина, 1955 (partim).

Plectogyra: E. Zeller 1950; Волошинова и Рейтлингер, 1959; Богуш и Шферев, 1962; Пронина, 1963; Чувашов, 1965, Бражникова и др., 1967.

Типовой вид. *Plectogyra plectogyra* E. Zeller. Северная Америка, Миссисипская система (визе).

Диагноз. Раковина дисковидная или наутилоидная, инволютная или частично эволютная, завитая по плектогирийной спирали. У многих видов имеются дополнительные отложения в виде гребней и валиков. Размеры от мелких до крупных. Количество оборотов 3-5. Стенка темная, тонко- и грубозернистая. Устье базальное полулунное.

Геологическое и географическое распространение. Нижний и средний карбон Урала, Тимана, Русской платформы, Кузбасса, Казахстана, Средней Азии; нижний карбон Англии. Mississipian Северной Америки.

Plectogyra bradyi (Mikhailov)

Табл. У, фиг. 4

Endothyra bradyi: Михайлов, 1939, стр. 51, 52, табл. IV, фиг. 1, 2; Гроздилова и Лебедева, 1954, стр. 107, табл. III, фиг. 5, 6, 9.

Plectogyra bradyi: Гроздилова и Лебедева, 1960, стр. 65, 66, табл. V, фиг. 8; Богуш и Шферев, 1962, стр. 133, 134, табл. III, фиг. 14-16.

Диагноз. Раковина инволютная, сжатая по оси навивания, с дополнительным периферическим краем. Спиральные обороты в начальной стадии навиты со смещением оси, последующие лежат в одной плоскости. Базальные отложения в виде гребней. Стенка темная тонкозернистая.

Описание. Диаметр раковины 0,82 мм, наибольшая ширина 0,75 мм. Оборотов 3-4. Начальные обороты навиты со смещением оси, последующие лежат в одной плоскости. Камеры выпуклые, количество камер в последнем обороте 6-7. Септы длинные изогнутые. Стенка темная, известковая, тонкозернистая. Толщина стенки 0,01-0,02 мм. Устье щелевидное. Базальные отложения в виде квадратного гребня, развиты по основанию оборота.

Сравнение. Не отличается от описанных ранее *Plectogyra brady* (Mikhailov).

Геологическое и географическое распространение. Визейский и башкирский ярусы европейской части СССР, визе; средний карбон Зеравшано-Гиссарской горной области.

Материал. 50 экземпляров из среднего визе (якарчинская свита) бассейнов рек Зидды, Джикрут, Кара-Куль; 75 — из среднего карбона (бачаульдинская свита) бассейнов рек Кара-Куль, Шинг; 13 — из визе и среднего (якарчинская и бачаульдинская свита) карбона в бассейне Чукалик.

Plectogyra similis (Rauser et Reitlinger)

Табл. У, фиг 6

Endothyra similis: Раузер-Черноусова, Беляев и Рейтлингер, 1936, стр. 211, 212, табл. У, фиг. 5, 6; Гроздилова и Лебедева, 1954, стр. 103, табл. XIII, фиг. 2-4; Лебедева, 1954, стр. 268, 269, табл. IX, фиг. 5; Малах, 1954, стр. 58, фиг. 14-16; Гроздилова и Лебедева, 1960, стр. 60, табл. IV, фиг. 10, II; Богуш и Дферев, 1962, стр. 139, 140, табл. IV, фиг. 12; Пронина, 1963, стр. 137, табл. IV, фиг. 2, 3, 4.

Диагноз. Раковина спирально-свернутая, инволютная и лишь в последнем обороте частично эволютная, с широко окруженной периферией, склоняясь с боков. Навивание оборотов колеблющееся. Базальные отложения в виде валиков, развиты слабо.

Описание. Раковина небольшая, диаметр 0,60 мм, ширина 0,34 мм. Спиральные обороты в начальной стадии навиты тесно, в последних свободно. Начальная камера сферическая, с диаметром 0,05 мм. Число оборотов 2-3,5. Камеры слабовыпуклые, септальные швы углубленные. Септы сравнительно длинные. Стенка темная, известковая, тонкозернистая, толщина 0,02-0,03 мм. Базальные отложения в виде небольших валиков.

Сравнение. По типу строения камер и характеру стенки описываемые экземпляры тождественны голотипу.

Геологическое и географическое распространение. Широко распространенная форма. Верхняя часть турнейского яруса и весь визейский ярус Урала, Южного Тимана. Нижний турне — башкирский ярус Карагатау и Таласского Алатау. Визейский ярус Русской платформы и Донбасса. Визейский ярус Зеравшано-Гиссарской горной области.

Материал. 15 экземпляров из среднего визе (якарчинская свита) бассейнов рек Зидды, Джикрут.

Plectogyra omphalota (Rauser et Reitlinger)

Табл. У, фиг 3

Endothyra omphalota: Раузер-Черноусова, 1937, стр. 265, 266, рис. 200; Раузер-Черноусова, Беляев, Рейтлингер, 1940, стр. 42, 43, табл. УП, фиг. 7-9, табл. IX, фиг. 7, 8, рис. 13; Дуркина, 1959, стр. 177, табл. ХУП, фиг. I, 2, табл. ХУШ, фиг. I, 2; Розовская, 1963, стр. 46, табл. II, фиг. I-4, табл. III, фиг. I.

Plectogyra omphalota: Гроздилова и Лебедева, 1960, стр. 63, табл. У, фиг. 3.

Диагноз. Раковина крупная, спирально-свернутая, инволютная, сжатая с боков. Периферический край широко округленный, пупки неглубокие.

Описание. Размеры раковины: диаметр 0,95-0,98 мм, ширина 0,48-0,54 мм. Отношение $L:D = 0,56-0,50$. Число оборотов 3-4,5, спираль во внутренних оборотах тесная и чавита в резко смещенных плоскостях. Стенка тонкозернистая темная толстая, в предпоследнем обороте равна 0,06-0,07 мм. Септы длинные, изогнутые. Стенка раковины темная, известковая, тонкопористая. Толщина стенки наружного оборота равна 0,06-0,08 мм. Дополнительные отложения в виде гребней, отчетливые.

Сравнение. Ничем существенным не отличается от типичного экземпляра.

Геологическое и географическое распространение. Характерна для визейского яруса Урала, Поволжья, Подмосковного бассейна, Зеравша и Гиссарской горной области.

Материал. 40 экземпляров из среднего визе бассейна р. Зидды; 15 - р. Джихикрут и 60 - р. Кара-Куль.

Род *GLOBOENDOTHYRA REITLINGER*, 1958

Nonionina: Eichwald, 1860.

Endothyra: Brady, 1876; 1876; Меллер, 1878; Раузер-Черноусова, Беляев и Рейтлингер, 1936, 1940; Виссарионова, 1948; Шлыкова, 1951.

Plectogyra: E. Zeller, 1957.

Globoendothyra: Волошинова и Рейтлингер, 1959; Гроздилова и Лебедева, 1960; Богуш и Юферев, 1962; Розовская, 1963; Богуш и Юферев, 1965; Вдовенко, 1967.

Типовой вид. *Nonionina globulus* Eichwald, Тульская область (с. Слобода). Нижний карбон.

Диагноз. Раковина средних и крупных размеров дискоидальная, в ранней стадии клубообразная, в поздней - плоскосpirальная. Стенка многослойная, часто присутствует стекловатолучистый слой, зернистый слой дифференцирован. Септы наклонные. Дополнительные образования в виде гребней, хорошо развиты.

Геологическое и географическое распространение. Нижний карбон визейский ярус. Русская платформа, Урал, Кузбасс, Казахстан, Средняя Азия, Северная Америка и Англия.

Globoendothyra globulus (Eichwald)

Табл. У, фиг. 5

Nonionina globulus: Eichwald, 1860, стр. 350, табл. XXII, фиг. I7 а, в.

Endothyra globulus: Меллер, 1878, стр. I53-I57, табл. IV, фиг. 4 а-е и табл. III, фиг. I-4; Раузер-Черноусова, Беляев и Рейтлингер, 1940, стр. 40, 41, табл. VI, фиг. 3, 4; Виссарионова, 1948, стр. I83, табл. VI, фиг. 4; Гроздилова и Лебедева, 1954, стр. 94, 95, табл. XI, фиг. 8; Голубцов, 1957, стр. II5, табл. III, фиг. 7-9.

Globoendothyra globulus: Гроздилова и Лебедева, 1960, стр. 67, 68, табл. У, фиг. 6; Розовская, 1963, стр. 49, табл. IV, фиг. 6, табл. У, фиг. I, 2; табл. VI, фиг. I; Бдовенко, 1967, стр. 23, 24, табл. IX, фиг. I-3.

Диагноз. Раковина спирально-свернутая, асимметричная, скатая с боков, с широкоокругленной периферией.

Описание. Размеры: длина 0,57 мм, диаметр 0,75 мм. Начальная камера 0,06-0,07 мм. Число оборотов 4,5-6. Спираль в ранней стадии навита клубкообразно. Стенка многослойная и состоит из темного текстура и наружного светлого крупнозернистого слоя. Толщина стенки 0,05-0,06 мм. Септы длинные изогнутые. Дополнительные отложения хорошо развиты. Устье простое.

Сравнение. Наши экземпляры ничем существенным не отличаются от описанных ранее.

Геологическое и географическое распространение. Визейский ярус Русской платформы, Урала, Кузбасса, Казахстана, Зеравшано-Гиссарской горной области.

Материал. 50 экземпляров из среднего-верхнего визея (якарчинская и сангальтская свиты) бассейнов рек Зидды, Джизикрут, Кара-Куль, Шинг.

ПОДСЕМЕЙСТВО ENDOHYRANOPSINAЕ REITLINGER, 1959

Род ENDOHYRANOPSIS CUMMINGS, 1955

Involutina: Brady, 1869.

Endothyranopsis: Cummings, 1955; Волошинова и Рейтлингер, 1959; Гроздилова и Лебедева, 1960; Богуш и Йферев, 1962; Розовская, 1963; Бражникова и Ростовцева, 1967.

Типовой вид. *Involutina crassa* Brady. Нижний карбон Англии.

Лиагноз. Раковина спирально-свернутая, близкая к шарообразной инволютная, скатая с боков. Обороты раковины навиты симметрично. Оборотов 2-4. Стенка известковая, толстая, двухслойная. Дополнительные отложения массивные в виде псевдохомат, расположены по обеим сторонам устья.

Геологическое и географическое распространение. Широко распространена в отложениях визейского яруса Урала, Поволжья, Донбасса, Кузбасса, Средней Азии.

Endothyranopsis crassus (Brady)

Табл. У, фиг. 7

Endothyra crassa: Brady, 1876, p. 97, tabl. V. fig. 15-17; Меллер, 1878, стр. 146-150, табл. IV, фиг. 2а-2с и табл. ХII, фиг. Ia-Ib.

Endothyra crassa crassa: Раузер-Черноусова, 1948, стр. 167, табл. IV, фиг. 2; Гроздилова и Лебедева, 1960, стр. 9I, табл. XI, фиг. 2-5.

Endothyranopsis crassus: Cummings, 1955, стр. 3, фиг. 5, A-C; Гроздилова и Лебедева, 1960, стр. 72, 73, табл. УП, фиг. 3; Богуш и Дферев, 1962, стр. 152-153, табл. У, фиг. 6.

Диагноз. Раковина крупная, шарообразная, иногда овощная, близкая к симметричной, слегка скатая с боков. Периферический край широко округленный, пупок плоский.

Описание. Диаметр раковины 0,79 мм, ширина 0,57 мм. Отношение ширины к диаметру равно 0,70-0,82. Начальная камера сферическая. Количество оборотов 3-4. Обороты раковины навиты симметрично, высота оборотов увеличивается быстро, в последнем обороте хорошо видны поры. Устье щелевидное.

Сравнение. Ничем существенным не отличается от типичной *Endothyranopsis crassus* (Brady), кроме отчетливо пористой стенки в последних двух оборотах.

Геологическое и географическое распространение. Визейский ярус европейской части СССР, Кузбасса, визейский ярус Зеравшано-Гиссарской горной области.

Материал. 20 экземпляров из среднего визе (якарчинская свита) р. Зидды, 40 - из верхнего визе (сангальтская свита) бассейнов рек Кара-Куль и Джихикрут.

О Т Р Я Д FUSULINIDA

СЕМЕЙСТВО OZAWAINELLIDAE THOMPSON ET FOSTER, 1937

Р о д MEDIOCRISS ROSOVSKAJA, 1961

Eostaffella: Виссарионова, 1948, (partim); Гроздилова и Лебедева, 1954; Ганелина, 1956; Бражникова, 1956; Дуркина, 1959.

Endothyra: Лебедева, 1954.

Parastaffella: Лебедева, 1954.

Mellerella: Иго, 1957.

Mediocris: Богуш и Дферев, 1962; Розовская, 1963.

Типовой вид. *Eostaffella mediocris* Vissarionova, 1948.
Туймазы (Башкирия). Визейский ярус нижнего карбона.

Диагноз. Раковина чаще чечевицеобразной, овOIDной до субшарообразной формы, с округленной периферией большинства оборотов, инволютная. Навивание спирально-плоскостное. Стенка однослойная, редко слабо дифференцированная. Дополнительные отложения развиты неодинаково и заполняют боковые части раковины.

Геологическое и географическое распространение. Визейский ярус Урала, Тимана, Русской платформы, Донбасса, Средней Азии. Башкирский ярус Таласского Алатау.

Mediocris mediocris (Vissarionova)

Табл. У, фиг. 8,9

Eostaffella mediocris: Виссарионова, 1948, стр. 222, 223, табл. XIV, фиг. 7-9; Гроздилова и Лебедева, 1954, стр. 120, табл. XIII, фиг. 9, 10; Бражникова, 1956, табл. XУ, фиг. I2; Дуркина, 1959, стр. 193, табл. XIX, фиг. I7; табл. XX, фиг. I-3.

Parastaffella (?), № I; Лебедева, 1954, стр. 280, табл. XI, фиг. 6.

Millerella komatui: Igo, 1957, стр. I74, I75, табл. I, фиг. I2, табл. II, фиг. 4, 5.

Mediocris mediocris: Богуш и Шерев, 1962, стр. I58, табл. УI, фиг. 5; Розовская, 1963, стр. I03, I04, табл. XУIII, фиг. 26-33.

Диагноз. Раковина чечевицеобразная, умеренно скатая, бока плоские или слегка вдавленные. Отношение наибольшей ширины к диаметру равно 0,40-0,50. Диаметр раковины 0,50-0,75 мм.

Описание. Раковина с плоскими и вздутыми боками, узко- и тупозакругленным периферическим краем. Диаметр раковины 0,50-0,75 мм, ширина 0,15-0,17 мм. Отношение наибольшей ширины к диаметру равно 0,44. Оборотов 4-5. Начальная камера сферическая и равна 0,02 мм. Навивание спирально-плоскостное. Возрастание спирали постепенное. Высота камер резко увеличивается в последних двух оборотах. Высота последнего оборота равна 0,09 мм. Стенка тонкая, однослойная. Дополнительные базальные образования хорошо развиты и заполняют боковую часть раковины.

Сравнение. В нашей коллекции встречаются экземпляры, обладающие большой изменчивостью раковины во внешней форме. Встречаются довольно крупные экземпляры. В остальном ничем не отличаются от типичной *Mediocris mediocris* (Vissarionova).

Геологическое и географическое распространение. Широко распространена в нижнем карбоне Русской платформы, Урала, Центрального Карагату и Таласского Алатау, Зеравшано-Гиссарской горной области.

Материал. Около 100 экземпляров из визе (якарчинская и сангальтская свиты) р. Мижикрут и I5 - из низов башкирского яруса (снежнинская свита) р. Кара-Куль.

Род PSEUDOSTAFFELLA THOMPSON, 1942

Staffella: Дуткевич, 1935.

Pseudostaffella: Thompson, 1942; Гроздилова и Лебедева, 1950, 1954, 1960; Раузер-Черноусова и др., 1951; Путря, 1956; Богуш и Юферев, 1962; Богуш, 1963.

Типовой вид. *Pseudostaffella needhami* Thompson. Средний карбон, Новая Мексика.

Лиагноз. Раковина наутилоидная, шарообразная, симметричная, инволютная. Первые обороты могут быть плектогириоидные. Стенка дифференцированная, четырехслойная. Септы прямые, хоматы массивные бугорковидные или лентовидные. Устье единичное.

Сравнение. От рода *Ozawainella* отличается формой раковины. От других представителей семейства *Ozawainellinae* отличается формой раковины и сильно развитыми хоматами.

Геологическое и географическое распространение. Средний карбон, от башкирского до конца московского яруса Урала, Русской платформы, Тимана, Средней Азии.

Pseudostaffella subquadrata Grozdilova et Lebedeva

Табл. У, фиг. 10

Pseudostaffella subquadrata: Гроздилова и Лебедева, 1950, стр. 38, 39, табл. IV, фиг. 9, 10; Раузер-Черноусова и др., 1951, стр. 109-III; табл. VI, фиг. 10, II; Путря, 1956, стр. 405, 406, табл. VI, фиг. I; Гроздилова и Лебедева, 1960, стр. 129, 130, табл. XIV, фиг. 2, 3.

Лиагноз. Раковина сравнительно крупная, субквадратной формы с широко окруженной периферией, иногда с резким перегибом к бокам.

Описание. Размеры раковины: $L = 1,02-1,06$ мм, $D = 1,02-1,06$ мм. Начальная камера сферической формы с диаметром $0,01-0,04$ мм. $L:D = 0,90-1,1$. Количество оборотов 4,5-6. Навивание спирали свободное, сравнительно широкое. Диаметры оборотов в мм: I - 0,08-0,13; II - 0,13-0,28; III - 0,23-0,49; IV - 0,42-0,73; V - 0,63-0,94; VI - 0,84-1,02. Стенка трехслойная состоящая из тонкого текстура и двух четко выраженных текториумов. Диафанотека неясно выражена. Дополнительные отложения выражены в виде хомат, массивных и широких, субквадратной формы, которые занимают около половины просвета камер и тянутся от устья к пупкам. Устье во внутренних оборотах узкое, в наружных - несколько расширяется.

Сравнение. Описанные экземпляры существенно не отличаются от типичного экземпляра *Pseudostaffella subquadrata* Grozdilova et Lebedeva.

Геологическое и географическое распространение. Средний карбон Подмосковного бассейна, Урала, Поволжья, Донбасса и Средней Азии.

Материал. 20 экземпляров хорошей сохранности из верхнебашкирского и нижнемосковского подъярусов среднего карбона бассейна р.Кара-Куль. 30 - из верхнебашкирского и нижнемосковского подъярусов среднего карбона бассейна р.Шинг.

СЕМЕЙСТВО FUSULINIDAE MOELLER, 1878

Род PROFUSULINELLA RAUSER ET BELJAEV, 1936

Группа PROFUSULINELLA PARVA

Для этой группы, по Л.М.Раузер-Черноусовой, характерны: раковины мелкие, близкие к шарообразным. В первых одном-двух наружных оборотах слегка удлиняющиеся. Хоматы округлые или асимметричные.

Profusulinella staffellaeformis Kireeva

Табл. У, фиг. 13

Profusulinella staffellaeformis: Раузер-Черноусова и др., 1951,
стр. 159, табл. XIII, фиг. 8, 9.

Л и а г н о з . Раковинка небольшая, короткоовойдной, почти шарообразной формы.

С п и с а н и е . Раковина шарообразной формы, небольших размеров. Длина I,2-I,43 мм, диаметр 0,90-I,23 мм. L:D= 1,0-1,1. Число оборотов 4-5 $\frac{1}{2}$.

Начальная камера 0,04-0,05 мм. Спираль сравнительно свободная и равномерно развертывающаяся во всех оборотах. Диаметры раковин по оборотам у 2 измеренных экземпляров равны (в мм):

№ экз.	1587	1588
Начальная камера	0,04	0,05
I	0,12	0,13
II	0,27	0,28
III	0,41	0,42
IV	0,61	0,63
V	-	0,75

Стенка тонкая, трехслойная. Перегородки прямые. Хоматы небольшие, четкие, субквадратной формы, слегка выполаживающиеся к осевой части.

Сравнение. Описанные нами экземпляры от типичной *Profusulinella staffellaeformis* Kireeva отличаются лишь более равномерным и широким развертыванием спирали и более крупными общими размерами.

Геологическое и географическое распространение. Широко распространена в отложениях башкирского яруса и реже нижней части московского яруса Русской платформы, Урала, Зеравшано-Гиссарской горной области.

М а т е р и а л . 10 экземпляров удовлетворительной сохранности из башкирского яруса (бачаульдинская свита) р.Шинг и 5 - из низов московского яруса (бачаульдинская свита) бассейна р.Кара-Куль.

Группа *Profusulinella rhombooides*

Для этой группы, по Д.М.Раузер-Черноусовой, характерны: ромбOIDная форма раковины с угловатой или узкозакругленной срединной областью и с прямыми боками в нескольких наружных оборотах, особенно лентовидные массивные хоматы с первых оборотов.

Profusulinella pararhombooides Rauser et Beljaev, 1936

Табл. У, фиг. I2

Profusulinella pararhombooides: Раузер-Черноусова, Беляев и Рейтлин - пер, 1936, стр. I75, I76, табл. I, фиг. 5,6; Раузер-Черноусова, 1951, стр. I72, табл. ХУП, фиг. 3.

Диагноз. Раковина субромбической формы, сильно вздутая в средней части и быстро заостряющаяся на концах. Спираль навита свободно. Хоматы массивные, высокие, опускающиеся по бокам раковинки к полюсам.

Описание. Раковина крупная: L - I,85-2,19 мм; D - I,04-I,20 мм; L:D = 2,0-2,1. Число оборотов 4-5. Спираль свободная, развертывается равномерно. Все встреченные экземпляры имеют симметричное строение внутренних оборотов. Диаметры оборотов равны (в мм): начальная камера - 0,17; I - 0,28; II - 0,49; III - 0,82; IV - 1,16; V - 1,30. Начальная камера крупная, сферической формы, её диаметр равен 0,15-0,17 мм. Стенка тонкая, трехслойная, состоящая из текстура и 2 текториумов. Септы прямые или слабоскладчатые в осевых частях. Хоматы массивные, высокие.

Сравнение. Изученные экземпляры ничем существенным не отличаются от описанных Д.М.Раузер-Черноусовой.

Геологическое и географическое распространение. Низы среднего карбона (верейский и подверейский горизонты) Русской платформы, башкирский и нижняя часть московского яруса Зеравшано-Гиссарской горной области.

Материал. 26 экземпляров хорошей сохранности из башкирского яруса и нижней части московского ярусов (бачаульдинская свита) бассейна р.Кара-Куль.

Profusulinella elegans sp. nov.

Табл. V, фиг. II

Голотип. № 2669-4, хранится в музее Института геологии АН Тадж.ССР Зеравшано-Гиссарская горная область, бассейн р.Шинг, московский ярус среднего карбона.

Диагноз. Раковина субсферической формы, с закругленными осевыми концами, равномерно развертывающейся спиралью, симметричным строением внутренних оборотов. Септы складчатые и развиты только в осевой и боковых областях.

Описание. Раковина небольших размеров $L = 1,25-1,37$ мм; $D = 1,35-1,57$ мм; $L:D = 1,2-1,5$. Число оборотов обычно 5-6. Спираль умеренной ширины, развертывающаяся равномерно. Внутренние обороты имеют симметричное строение. Начальная камера сферической формы с диаметром 0,09-0,10 мм.

Изменение диаметров по оборотам у голотипа (в мм): начальная камера 0,09; I - 0,19; II - 0,31; III - 0,48; IV - 0,68; V - 1,13; VI - 1,37. Стенка неоднородная: во внутренних оборотах она состоит из широкой и светлой протеки и тонкого наружного текториума, в наружных оборотах в верхней части протеки под текстуром наблюдается более светлый широкий слой, являющийся, вероятно, зачаточной диафанотекой. Септы одной толщины со стенкой, складчатые в осевых частях. Апертура узкая и низкая. Хоматы отчетливые узкие, не слишком высокие, полого спускающиеся к осевым частям.

Сравнение. От всех описанных видов профузулиелл отличается своеобразной, очень характерной субсферической формой и симметричным строением внутренних оборотов.

Геологическое и географическое распространение. Московский ярус среднего карбона Зеравшано-Гиссарской горной области.

Материал. 25 экземпляров хорошей сохранности из московского яруса среднего карбона (бачаульдинская свита) бассейнов рек Кара-Куль и Шинг.

ПОДСЕМЕЙСТВО EOFUSULINAE RAUSER ET ROSOWSKAJA, 1956

Род EOFUSULINA RAUSER, 1951

Группа Eofusulina triangula

Для этой группы, по Д.М.Раузер-Черноусовой, характерны: довольно крупная раковина, сильно удлиненная с первого оборота, число оборотов не большое ($3-3\frac{1}{2}$); стенка очень тонкая, состоит из протеки, поры тонкие, простые, иногда отчетливые в наружных оборотах, начальная камера крупная, первый оборот часто неправильный, перегородки с высокой и узкой складчатостью, дополнительные отложения обычно имеются по оси, в срединной области отсутствуют, апертура единичная.

Eofusulina triangula (Rauser et Beljaev)

Табл. УП, фиг. I

Fusulina triangula: Раузер-Черноусова, Беляев и Рейтлингер, 1936, стр. 185, 186, табл. II, фиг. 8-10; Путря, 1937, стр. 70, 71, табл. II, фиг. I9-22; Бражникова, 1939, стр. 148, 149, табл. I, рис. I-3.

Eofusulina triangula: Сафонова, 1951, стр. 269, 270, табл. ХVIII, фиг. I, 2; Богуш, 1963, стр. 102, табл. IX, фиг. 7; Румянцева, 1962, табл. III, фиг. 2.

Диагноз. Раковина длинная, с небольшим числом оборотов — 3-3,5, во внутренних оборотах вытянуто-веретеновидная. Начальная камера крупная.

Описание. Раковина крупная сильно удлиненная, начиная с первого оборота; оборотов $3-3\frac{1}{2}$. Размеры (в мм): $L = 5,5-6,70$; $D = 1,30$; $L:D = 4,9$. Начальная камера крупная шаровидная, 0,24-0,29 мм в диаметре. Спираль высокая, постепенно возрастающая по оборотам:

Измерение диаметров раковин по оборотам, у измеренных 3 экземпляров (в мм):

№ экз.	267I	267I-a	267I-b
Начальная камера	0,24	0,27	0,28
I	0,34	0,41	0,49
II	0,72	0,84	1,05
III	1,23	1,37	1,70

Стенка тонкая, до 0,02 мм толщины в наружных оборотах, сильно перекристаллизованная во всех экземплярах, и её строение наблюдать не удалось. Септы интенсивные, складчатые по всей длине и высоте оборотов, арочки изогнуто-петлевидной и неправильной формы, занимают иногда до $3/4$ и даже всю высоту просвета камеры. Устье щелевидное, широкое и низкое в конце спирали не различимо. Хоматы отмечаются лишь в первом обороте в виде небольших бугорков.

Сравнение. От типичной *Eofusulina triangula* отличаются лишь несколько большей величиной раковин.

Геологическое и географическое распространение. Средний карбон Средней Азии, Донбасса, Русской платформы.

Материал. 70 экземпляров из среднего карбона (бачаульдинская свита) бассейнов рек Шинг и Кара-Куль.

*Eofusulina simplex** sp. nov.

Табл. УП, фиг. 5

Голотип. № 2517, хранится в музее Института геологии АН Тадж.ССР. Бассейн р.Кара-Куль, Зеравшано-Гиссарская горная область, средний карбон, московский ярус, нижнемосковский подъярус.

Диагноз. Раковина цилиндрическая, длинная, заостренная с первых оборотов, со слабо выпуклой срединной областью, осевые концы тупые.

Описание. Размеры раковин (в мм): $L = 5,74-6,20$; $D = 0,76-0,83$; $L:D = 6,0-6,6$. Начальная камера небольшая сферическая, равна $0,15-0,18$ мм. Число оборотов $3\frac{1}{2}$, навивание оборотов свободное и сравнительно тесное. Изменение диаметров раковины по оборотам в 3 измеренных экземплярах (в мм):

№ экз.	2517-1	2517-2	2517-3
Начальная камера	0,15	0,17	0,18
I	0,23	0,24	0,26
II	0,36	0,38	0,41
III	0,64	0,57	0,68
IV	0,82	0,84	0,87

Стенка тонкая, равна 0,01 мм, величина её почти не увеличивается по оборотам, строение не совсем ясно из-за перекристаллизации, однако местами отчетливо видна диафанотека. Складчатость сравнительно слабая, либо отсутствует совсем и развита в основном в осевых частях раковины, в виде полукруглых арочек. Осевые уплотнения сравнительно слабо развиты. Устье щелевидное широкое и низкое, хорошо развито и наблюдается во всех оборотах. Хоматы отмечаются только на начальной камере в виде едва заметных бугорков.

Сравнение. Экземпляры описанного нами вида по форме раковины и её размерам вполне сходны с описанными ранее *Eofusulina*, отличаются отсутствием складчатости и маленькой начальной камерой. По этим признакам они более близки к роду *Verella*, отличаются от него формой раковины и строением стенки.

Геологическое и географическое распространение. Средний карбон, московский ярус, нижнемосковский подъярус, Зеравшано-Гиссарская горная область.

Материал. 40 экземпляров хорошей сохранности из московского яруса (бачаульдинская свита) бассейнов рек Кара-Куль и Шинг.

* Simplex — простая.

*Eofusulina crassa** sp. nov.

Табл. УП, фиг. 3,4

Голотип. № 2669, хранится в музее Института геологии АН Тадж.ССР, Башкирский и московский ярусы среднего карбона. Зеравшано-Гиссарская горная область, бассейн р.Кара-Куль.

Диагноз. Раковина правильно веретенообразная. Навивание свободное широкое, начиная со второго оборота. Складчатость средняя. Осевые уплотнения прерывистые, устье щелевидное, низкое. Стенка отчетливая, трехслойная.

Описание. Размеры раковины: L - 6,30 мм; D - 1,19 мм; L:D = 5:1. Число оборотов $3\frac{1}{2}$ -4. Начальная камера сферическая, равна 0,19 мм. Изменение диаметров раковины по оборотам 3 измеренных экземпляров (в мм):

# экз.	2669-4	2669-4а	2669-4б
Начальная камера	0,19	0,22	0,23
I	0,34	0,30	0,31
II	0,60	0,45	0,46
III	1,14	0,74	0,75

Стенка тонкая, отчетливо трехслойная, состоящая из текстуры, протеки и внутреннего текториума. Толщина стенки во внутренних оборотах равна 0,01 мм, в наружных до 0,03 мм. Септы во внутренних оборотах прямые, в наружных от слабо до сильно складчатых, с третьего оборота появляются септы петлевидной формы, достигающие иногда 1/2 высоты просвета. В последнем обороте септы есть и редкие и приурочены в основном к осевой части раковины, но неправильной формы и иногда занимают весь просвет. Устье узкое щелевидное, расширяющееся по мере роста раковины. Хоматы отмечаются в виде небольших пятнышек лишь на начальной камере. Осевые уплотнения прерывистые и развиты не всегда с одинаковой интенсивностью.

Сравнение. От известных представителей наши экземпляры отличаются свободным и широким навиванием спирали, сравнительно небольшой начальной камерой, прерывистыми осевыми уплотнениями.

Геологическое и географическое распространение. Распространена в среднем карбоне, башкирском и московском ярусах Зеравшано-Гиссарской горной области.

Материал. 23 экземпляра хорошей сохранности в башкирском и московском ярусах (бачаульдинская свита) бассейна р.Кара-Куль, 17 - из башкирского яруса (бачаульдинская свита) бассейна р.Шинг.

*Eofusulina serrata*** sp. nov.

Табл. УП, фиг. 2

Голотип. № 2669-5, хранится в музее Института геологии АН Тадж.ССР. Башкирский, московский ярусы Зеравшано-Гиссарской горной области, бассейн р.Кара-Куль.

Диагноз. Раковина субцилиндрическая с прямыми или слегка приотременными осевыми концами. Начальная камера маленькая сферическая, навивание симметричное, тесное, сжатое.

* Crassa - толстая, грубая.

** Serrata - сжатая, тесная.

Описание. Размеры: L - 5,75-7 мм; D - 0,95-1,02 мм; L:D = 5-8. Число оборотов 4-5. Начальная камера маленькая сферическая, иногда слегка приплюснута. Диаметр её не превышает 0,09-0,10 мм. Навивание равно-мерное, тесное. Изменение диаметров раковин по оборотам 2 измеренных экземпляров (в мм):

№ экз.	2669-5	2669-5a
Начальная камера	0,09	0,10
I	0,16	0,19
II	0,27	0,30
III	0,61	0,64
IV	0,93	0,98

Стенка тонкая, во внутренних оборотах 0,005 мм, в наружных 0,01 мм. Складчатость отсутствует. Осевые уплотнения массивные, развиты равно как в наружных, так и внутренних оборотах, прерывистые. Хоматы отчетливые, длинные, низкие, особенно хорошо выраженные во 2-м и 3-м оборотах. Устье широкое, в $\frac{1}{2}$ раза больше размера начальной камеры. Размер его увеличивается по мере роста раковины.

Сравнение. *Eofusulina serrata* sp. nov., отличаются от описанных ранее тесным компактным навиванием спирали, незначительной складчатостью или отсутствием её, отчетливыми хоматами, маленькой начальной камерой.

Геологическое и географическое распространение. Верхнебашкирский и нижнемосковский подъярусы Зеравшано-Гиссарской горной области.

Материал. 15 экземпляров хорошей сохранности из верхнебашкирского подъяруса (бачаульдинская свита) бассейна р.Кара-Куль, 12 - из московского подъяруса (бачаульдинская свита) бассейна р.Шинг.

Род VERELLA DALMATSKAJA, 1952

Verella: Далматская, 1952; Румянцева, 1962.

Диагноз. Раковина от небольших размеров до крупных, веретено-новидной, субцилиндрической и уплощенно-цилиндрической формы, сильно вытянутая с первых оборотов, число оборотов 3-5, ось навивания с постоянным положением. Стенка тонкая, состоящая из текстуры и протеки. Наружный текториум выражен слабо и непостоянно. Начальная камера сферическая от маленькой до крупной. Перегородки от прямых до слабоволнистых. Хоматы от слабых до отчетливо выраженных. Аксиальные уплотнения от прерывистых до массивных.

Сравнение. Род близок по своему строению к роду *Eofusulina*, отличается отсутствием складчатости во внутренних оборотах и более заметными хоматами.

Геологическое и географическое распространение. Средний карбон Таджикистана, Центральных Кызылкумов и Русской платформы.

Verella varsanofievae Dalmatskaja

Табл. VI, фиг. I, 2

Verella varsanofievae: Далматская, 1952, стр. 192, табл. I, фиг. I, 2.

Диагноз. Раковина субцилиндрическая небольшая, сильно вытянутая со второго оборота. Начальная камера маленькая. Складчатость в начальных оборотах отсутствует. Аксиальные уплотнения слабые, прерывистые.

Описание. Размеры: $L = 3,7$ мм; $D = 0,84$ мм; $L:D = 4,4$. Начальная камера маленькая, сферической формы, размеры $0,95-0,13$ мм. Число оборотов 4. Изменение диаметров раковин по оборотам 2 измеренных экземпляров (в мм):

№ экз.	2670-3	2670-I
Начальная камера	0,95	0,10
I	0,23	0,27
II	0,43	0,45
III	0,54	0,57
IV	0,82	0,84

Стенка тонкая и состоит из хорошо видимого текстура и протеки, наружный текториум наблюдался лишь в начальных оборотах. Толщина стенки 0,02 мм. Пере городки во внутренних оборотах слабо волнистые. Хоматы не наблюдались. Аксиальные уплотнения развиты слабо по всей осевой линии, прерывистые.

Сравнение. По форме раковины, размерам, характеру септальной складчатости и другим признакам описанные нами экземпляры могут быть отождествлены с *Verella varsanofievae*, описанной впервые И.И.Далматской.

Геологическое и географическое распространение. Средний карбон, верхнебашкирский подъярус Зеравшано-Гиссарской горной области и Русской платформы.

Материал. 25 экземпляров хорошей сохранности из башкирских отложений (бачаульдинская свита) бассейнов рек Кара-Куль и Шинг.

Verella spicata Dalmatskaja

Табл. VI, фиг. 3, 4

Verella spicata: Далматская, 1952, стр. 194, табл. I, фиг. 3.

Диагноз. Раковина вздуто-угловатая, с сильно оттянутыми и заостренными осевыми концами, напоминает форму вытянутого треугольника. Начальная камера маленькая, сферическая.

Описание. Раковина длинная, с одной стороны несколько уплощенная, осевые концы сильно оттянуты и заострены. $L = 4,38-4,50$ мм; $D = 0,98-1,02$ мм; $L:D = 4-6$. Число оборотов 4. Начальная камера сферическая, маленькая, размером в 0,9 мм. Изменение диаметров раковин по оборотам в 2 измеренных экземплярах (в мм):

№ экз.	2669	2669-1
Начальная камера	0,08	0,10
I	0,24	0,27
II	0,45	0,47
III	0,72	0,75
IV	0,98	1,02

Стенка темная, состоящая из текстура и протеки. Толщина её в последнем обороте равна 0,01 мм. Складчатость слабо развита, в последних двух оборотах появляются округлые арочки, занимающие 1/2 оборота. Хоматы отчетливо наблюдаются в виде бугорков в первых оборотах. Аксимальные уплотнения хорошо развиты, но прерывисты. Устье низкое, щелевидное.

Сравнение. Изученные экземпляры очень близки к *Verella spicata* описанным Далматской, отличаются лишь несколько большими размерами.

Геологическое и географическое распространение. Башкирский ярус, средний карбон Зеравшано-Гиссарская горная область.

Материал. 20 экземпляров из башкирских отложений (бачаульдинская свита) бассейнов рек Кара-Куль и Шинг.

Verella grandicamerata sp. nov.

Табл. VI, фиг. 5

Голотип. № 2669-6, хранится в музее Института геологии АН Тадж.ССР. Зеравшано-Гиссарская горная область, бассейн р.Кара-Куль, средний карбон. Башкирский ярус, верхнебашкирский подъярус.

Диагноз. Раковина веретенообразная со слабовыпуклой срединной областью, слабоприостренными осевыми концами, свободным равномерным навиванием, сравнительно крупной начальной камерой. Складчатость беспорядочная, присутствует только в последнем обороте.

Описание. Раковина крупная веретенообразная во всех оборотах, со слабовыпуклой срединной областью и слабоприостренными осевыми концами. L - 4,38 мм; D - 0,89-0,92 мм; L:D = 8,45. Число оборотов $3\frac{1}{2}$. Начальная камера крупная, сферическая, иногда слегка сплюснутая по диаметру, равна 0,21-0,24 мм. Навивание свободное, с постоянным возрастанием высоты оборотов по мере роста раковины. Изменение диаметров раковин по оборотам у голотипа (в мм): начальная камера - 0,21; I - 0,31; II - 0,47; III - 0,72; IV - 0,84. Стенка тонкая, темная, в последнем обороте равна 0,01 мм. Складчатость беспорядочная и присутствует только в последнем обороте. Оевые уплотнения массивные, хорошо развиты по всем оборотам. Хоматы отчетливые, хорошо развиты, начиная с первого оборота, бугорковидные, удлиняются по мере роста раковины. Устье широкое низкое, полуулунной формы.

Сравнение. Описанные нами экземпляры близки к *Verella imperforata* З.С.Румянцевой. Отличаются от неё более вздутой формой раковины, более свободным навиванием, отсутствием складчатости во внутренних оборотах, более крупной начальной камерой.

Геологическое и географическое распространение. Средний карбон, башкирский ярус, верхнебашкирский подъярус. Зеравшано-Гиссарская горная область, бассейн р.Кара-Куль.

* *Grandicamerata* - крупнокамерная.

М а т е р и а л . 30 экземпляров хорошей сохранности из верхнебаш-кирских отложений (бачаульдинская свита) бассейнов рек Кара-Куль и Шинг.

Род *PARAEFUSULINA* PUTRYA, 1956

Paraeofusulina: Путря, 1956.

Диагноз (по Ф.С.Путря, 1956, стр. 450) "Раковина от средних до крупных размеров, сильно вытянутая по оси навивания, начиная с первого оборота. Стенка очень тонкая, во внутренних оборотах однородного тонкопористого строения, в наружных - слабо дифференцированная. Септы интенсивно и равномерно складчатые по всей длине оборотов, образуют дугообразные арочки. Дополнительные отложения выражены аксиальными уплотнениями в осевой области и псевдохоматами в начальных оборотах. Устье единичное".

Сравнение. Настоящий род близок к *Eofusulina*, отличается от него длинной узкой раковиной, иным характером складчатости септ, тесно навитой спиралью, равномерной складчатостью по всей длине оборотов в виде арочек, доходящих до 2/3 оборота, и строением стенки.

Геологическое и географическое распространение. Верхняя часть среднего карбона Восточного Донбасса, средний карбон, московский ярус Зеравшано-Гиссарской горной области.

*Paraeofusulina angusta** sp. nov.

Табл. III, фиг. I, 2

Голотип. № 400, хранится в музее Института геологии АН Тадж.ССР. Зеравшано-Гиссарская горная область, бассейн р.Кара-Куль. Средний карбон, московский ярус.

Диагноз. Раковина длинная узкая, сильно вытянутая по оси навивания с первого оборота, сигароподобная, с почти параллельными боковыми сторонами. Септы равномерно-складчатые по всей длине оборотов. Начальная камера крупная.

Описание. Раковина от средних до крупных размеров: $L = 7,5$ мм до 100-120 мм; $D = 0,60-0,65$ мм; $L:D = 10$. Начальная камера крупная сферическая или близкой к ней формы, 0,10-0,17 мм в диаметре. Стенка очень тонкая (0,005-0,006 мм), однородная. Септы равномерно складчатые по всей длине оборотов и образуют дугообразные арочки, доходящие до 2/3 высоты просвета камеры и расположенные примерно на равном расстоянии друг от друга. Спираль тесно навита.

Изменение диаметров раковины по оборотам у голотипа (в мм): начальная камера - 0,16; I - 0,20; II - 0,42; III - 0,67. Устье выделяется обычно в начальных оборотах и имеет щелевидную форму чуть больше диаметра начальной камеры. Хоматы не наблюдаются, псевдохоматы в первом обороте имеют вид маленьких бугорков. Аксиальные уплотнения сильно развиты и занимают осевую часть раковины от начальной камеры и до полюсов; более слабо развиты в срединной части и особенно сильно на концах раковины.

* *Angusta* - узкий, тесный.

Сравнение. Экземпляры описанного нами вида *Paraeofusulina Putrja* наиболее близки к *Paraeofusulina subtilissima* Putrja своей цилиндрической и сильно вытянутой формой раковины, характером навивания спирали, отличаются меньшим числом оборотов - $3\frac{1}{2}$, (что сближает её с родом *Eofusulina*), более тесно и равномерно навитой спиралью и более тонкой и однородной (бесструктурной) стенкой (в любом из оборотов она не превышает 0,005 мм), состоящей только из протеки.

Геологическое и географическое распространение. Средний карбон, московский ярус Зеравшано-Гиссарской горной области.

Материал. 15 экземпляров хорошей сохранности из среднего карбона, московского яруса (бачаульдинская свита) бассейна р.Кара-Куль.

Paraeofusulina subtilissima Putrja

Табл. III, фиг. 5,6

Paraeofusulina subtilissima: Путря, 1956, стр. 459, табл. XУ, фиг. 9.

Описание. Размеры: L = 7-10 мм; D = 0,69 мм; L:D = 10-II. Число оборотов $4\frac{1}{2}$. Начальная камера маленькая шаровидная 0,08-0,13 мм. Спираль тесно навита. Изменение диаметров раковины по оборотам (в мм): начальная камера - 0,13; I - 0,20; II - 0,34; III - 0,50; IV - 0,69. Стенка тонкая, не превышает 0,005 мм, протека местами дифференцирована с выделением диафанотеки и внутреннего текториума. Септы правильно и равномерно складчатые по всей длине оборотов. Арочки с прямыми боками и полукруглыми сводами, занимают до $\frac{3}{4}$ высоты просвета камеры. Аксиальные уплотнения хорошо развиты, заполняют осевую область раковины от начальной камеры и до её полюсов.

Сравнение. Изученные экземпляры ничем существенным не отличаются от описанного Ф.С.Путрой *Paraeofusulina subtilissima* из Донбасса.

Геологическое и географическое распространение. Восточный Донбасс, верхняя часть среднего карбона. Зеравшано-Гиссарская горная область, средний карбон, московский ярус.

Материал. 20 экземпляров хорошей сохранности из среднего карбона (бачаульдинская свита) бассейна р.Кара-Куль, 10 - из среднего карбона (бачаульдинская свита) бассейна р.Шинг.

*Paraeofusulina arcuata** sp. nov.

Табл. III, фиг. 3,4

Голотип. № 2723, хранится в музее Института геологии АН Тадж.ССР. Зеравшано-Гиссарская горная область, бассейн р.Шинг, правый берег р.Ак-Су. Средний карбон, московский ярус, нижнемосковский подъярус.

Диагноз. Раковина веретеновидная, со слегка изогнутой осью навивания, с округло-притупленными, реже оттянутыми концами и сравнительно крупной начальной камерой. Складчатость равномерная по всей длине оборотов в виде полукруглых арочек.

* Arcuata - дугообразная.

Описание. Встречаются экземпляры с резко вздутой срединной областью и сильно оттянутыми длинными концами, а также тупозакругленными. Размеры: $L = 4,11-4,35$ мм; $D = 0,50$ мм; $L:D = 8$. Спираль навита свободно равномерно. Число оборотов $3-3\frac{1}{2}$. Изменение диаметров раковины по оборотам у голотипа (в мм): начальная камера - 0,16; I - 0,21; II - 0,32; III - 0,47; IV - 0,58. Начальная камера шаровидной формы, довольно крупная и равна 0,16-0,18 мм. Стенка темная тонкая однородная, равна 0,005 мм. Септы интенсивно и равномерно складчатые по всей длине оборотов и образуют петлевидные арочки, занимающие примерно 2/3 высоты просвета камеры. Расположены на равном расстоянии друг от друга. Устье не наблюдалось. Хоматы в виде небольших точек наблюдаются только на начальной камере. В последующих оборотах они отсутствуют. Аксиальные уплотнения сильно развиты, начиная с первых оборотов, и массивные по всей длине раковины. У вздутых экземпляров они прерывистые.

Сравнение. Описанные нами экземпляры, особенно вздутооверетеновидные, наиболее близки к *Paraeofusulina trianguliformis* Putrja, но отличаются иной формой раковины, более тонкой и однородной стенкой и меньшим числом оборотов.

Геологическое и географическое распространение. Средний карбон, московский ярус, нижнемосковский подъярус, Зеравшано-Гиссарская горная область.

Материал. 18 экземпляров хорошей сохранности из московского яруса (бачаульдинская свита) из бассейнов рек Шинг, Ак-Су, 25 - р.Кара-Куль.

О Т Р Я Д TEXTULARIIDA
СЕМЕЙСТВО TEXTULARIIDAE ORBIGNY, 1846
Р о д PALEOTEXTULARIA SCHUBERT, 1920

Palaeotextularia: Schubert, 1920; Cooper, 1947; Гроздилова и Лебедева, 1954; Бражникова, 1956; Шлыкова, 1959; Богуш и Дферев, 1962.

Типовой вид. *Palaeotextularia schellwieni* Schubert.
Верхний карбон Карийских Альп.

Диагноз. Раковина небольшая клиновидная многокамерная, с двурядным расположением камер, с однослойной, иногда двуслойной стенкой и щелевидным устьем.

Сравнение. От рода *Cribrostomum* отличается однослойной стенкой и щелевидным устьем.

Геологическое и географическое распространение. Карбон - нижняя пермь СССР, верхний карбон Испании, средний и верхний карбон Северной Америки.

Palaeotextularia consobrina Lipina

Табл. IX, фиг. I

Palaeotextularia consobrina: Липина, 1948, стр. 201, 202, табл. I, фиг. 2-4; Малахова, 1956, стр. 47, табл. VI, фиг. 8; Богу и Шерев, 1962, стр. 187, табл. III, фиг. 17.

Диагноз. Раковина маленькая узкоклиновидная, со слабо выпуклыми камерами. Стенка однослоистая, грубозернистая.

Описание. Раковина небольшая равномерно расширяющаяся, с уплощенной апертурной поверхностью. В каждой стороне 5-6 камер. Длина раковины 0,60-0,75 мм, наибольшая ширина 0,47 мм, отношение длины к наибольшей ширине 1,5. Высота последней камеры 0,17 мм. Перегородки длинные, слегка изогнутые. Стенка темная, грубозернистая, с включениями крупных зерен кальцита. Толщина стенки в последних камерах равна 0,04-0,05 мм. Устье простое, щелевидное.

Сравнение. От типичной *Palaeotextularia consobrina* Lipina таджикские экземпляры отличаются лишь несколько большими размерами и более грубозернистой стенкой.

Геологическое и географическое распространение. Широко распространена в верхней части нижнего карбона Подмосковного бассейна, Зеравшано-Гиссарской горной области, среднем карбоне Таласского Алатау и Малого Карагатуя.

Материал. 20 экземпляров из визейского яруса (сангальтская свита) бассейна р. Зиды, 10 - из визе (бачаульдинская свита) бассейна р. Джихикрут.

*Palaeotextularia laticuneata** sp.nov.

Табл. IX, фиг. 5

Голотип. № 42-39, хранится в музее Института геологии АН Тадж.ССР. Верхняя часть нижнего карбона, Зеравшано-Гиссарская горная область, бассейн р. Джихикрут.

Диагноз. Раковина крупная, ширококлиновидная, перегородки длинные, слегка выпуклые. Стенка однослоистая, грубозернистая. Устье простое, щелевидное.

Описание. Раковина ширококлиновидная, резко расширяющаяся, с выпуклой апертурной поверхностью. Длина раковины 0,95 мм, наибольшая ширина 0,68 мм, отношение длины раковины к наибольшей ширине 1,4-1,5. С каждой стороны 5 оборотов. Высота последней камеры равна 0,23-0,25 мм. Перегородки длинные, слабо изогнутые, с уплощениями на концах. Стенка однослоистая темная грубозернистая, с включениями крупных зерен кальцита. Толщина стенки в последних камерах равна 0,05-0,06 мм. Устье простое.

Сравнение. По внутреннему строению и однослоистой стенке наши экземпляры близки к *Palaeotextularia consobrina* Lipina, отличаются более крупными размерами, резкой ширококлиновидной формой раковины.

* *Laticuneata* - ширококлиновидная

Геологическое и географическое распространение. Нижний карбон, визейский ярус, Зеравшано-Гиссарская горная область.

Материал. 10 экземпляров из верхнего визе (сангальтская свита) р.Джидикрут и 3 - из среднего визе (якарчинская свита) р.Зидди.

Palaeotextularia eofragilis Reitlinger

Табл. IX, фиг. 4

Textularia eofragilis: Рейтлингер, 1950, стр. 49, табл. IX, фиг. 17.

Диагноз. Раковина маленькая узкоклиновидная. Стенка двухслойная.

Описание. Длина раковины 0,75-0,82 мм, ширина 0,41-0,47 мм. Отношение длины к ширине равно 1,5. Число камер 6-7. Камеры медленно возрастающие, почти выпуклые. Септы заходят за среднюю линию и слабо изогнутые, на концах отмечается утолщения. Стенка двухслойная, состоящая из тонкого темного слоя и более толстого светлого стекловато-лучистого. Лучистый слой хорошо выражен лишь в последних камерах.

Сравнение. Ничем существенным наши экземпляры не отличаются от типичной *Palaeotextularia eofragilis Reitlinger*.

Геологическое и географическое распространение. Башкирский ярус Притиманья, башкирский и московский ярусы Зеравшано-Гиссарской области.

Материал. 7 экземпляров из башкирского яруса (снежинская свита) р.Порут, 5 - из московского яруса (бачаульдинская свита) бассейна р.Шингак.

Palaeotextularia crassa^{} sp. nov.*

Табл. IX, фиг. 7

Голотип. № 6017-а-4, хранится в музее Института геологии АН Тадж.ССР. Средний карбон, башкирский ярус. Зеравшано-Гиссарская горная область, бассейн р.Порут.

Диагноз. Раковина крупная, имеет вид округлого треугольника, широкая. Число камер небольшое, 3-4 в каждом ряду. Стенка толстая, двухслойная.

Описание. Раковина с закругленными сторонами. Длина раковины 1,09 мм, наибольшая ширина 1,09 мм. Число камер в каждом ряду по 3-4. Высота последней камеры 0,27 мм. Септы длинные, слегка изогнутые, заходят за срединную линию. Стенка толстая, двухслойная и равна 0,13 мм, наружный слой темный, агглютинированный, с крупными зернами кальцита, внутренний - стекловато-лучистый, более широкий, равен 0,09 мм. Устье простое.

Сравнение. От всех известных видов наши экземпляры отличаются короткой, но широкой и массивной раковиной, небольшим количеством камер, двухслойностью и толщиной стенки (0,13 мм).

**Crassa* - толстая, грубая

Геологическое и географическое распространение. Средний карбон, башкирский ярус Зеравшано-Гиссарской горной области.

Материал. 5 экземпляров из среднего карбона (бачаульдинская свита) бассейна р.Порут.

Род *Cribrostomum* Moeller, 1880

Cribrostomum: Moeller, 1880; Михайлов, 1939; Рейтлингер, 1950; Шлыко-ва, 1959; Гроздилова и Лебедева, 1960; Богуш и Дферев, 1962.

Типовой вид. *Cribrostomum textulariforme* Moeller. Нижний карбон Тульской области.

Диагноз. Раковина многокамерная, двурядная, устье на ранней стадии щелевидное, в поздней — ситовидное.

Сравнение. От рода *Palaotextularia* отличается ситовидным устьем в поздней части раковины.

Геологическое и географическое распространение. Карбон СССР и Англии; средний карбон Китая; верхний карбон — нижняя пермь Северной Америки.

Cribrostomum recurvrens Lipina

Табл. IX, фиг. 6

Cribrostomum recurvrens: Липина, 1948, стр. 207, 208, табл. X, фиг. II, I3, I6; Раузер-Черноусова, Беляев, Рейтлингер, 1936, стр. 207, табл. У, фиг. IO.

Диагноз. Раковинка тупоклиновидная, слабо расширяющаяся. Стенка темная, зернистая, однослоистая. Апертура в последних оборотах ситовидная.

Описание. Раковинка субцилиндрическая, слабо расширяющаяся. Камеры умеренно выпуклые. Длина 0,96 мм, ширина 0,68 мм. Число камер 4-5. Септы короткие, уплощенные на концах, слабо изогнутые. Стенка темная, однослоистая, зернистая, с включением мелких светлых зерен кальцита. Толщина стенки в последней камере равна 0,04-0,05 мм. Апертура в начальных септах щелевидная, в двух последних септах — ситовидная (крупноситовидная).

Сравнение. Наши экземпляры отличаются от типичного *Cribrostomum recurvrens* Lipina лишь крупноситовидной апертурой.

Геологическое и географическое распространение. Нижний карбон Подмосковного бассейна. Визейский ярус Зеравшано-Гиссарской горной области.

Материал. 15 экземпляров хорошей сохранности из визе (якарчинская и сангальтская свиты) бассейна р.Джихикрут, 5 — из визе (якарчинская и сангальтская свиты) р.Зидди, 3 — из визе (якарчинская и сангальтская свиты) р.Кара-Куль.

О Т Р Я Д АТАХОРФРАГМИДА
СЕМЕЙСТВО TETRATAXIIDAE GALLOWAY, 1933
Р о д Tetrataxis Ehrenberg, 1843

Tetrataxis: Ehrenberg, 1843; Меллер, 1880; Михайлов, 1939; Висса-рионова, 1948; Рейтлингер, 1950; Гроздилова и Лебедева, 1954; Балахматова и Рейтлингер, 1959; Богуш и Ефереев, 1962; Пронина, 1963; Богуш, 1963; Потиевская, 1964; Бражникова и др., 1967.

Типовой вид. *Tetrataxis conica* Ehrenberg, 1843. Нижний карбон Тульской области.

Диагноз. Раковина конусовидная, с вогнутым основанием, со спирально-винтовым навиванием. Состоит из уплощенных, частично налегающих одна на другую камер. В каждом из последних оборотов обычно 4 камеры. Устье простое у внутреннего края камер. Стенка однослоистая, темная или с дополнительным стекловато-лучистым слоем во внешней поверхности нижней части камер.

Сравнение. От сходного по строению *Valvulinella* отличается отсутствием дополнительных камер и обычно двухслойной стенкой.

Геологическое и географическое распространение. Карбон (с верхов турне?), реже пермь европейской части СССР, Средней Азии, Казахстана, Западной Европы, Китая, Японии и Северной Америки.

Tetrataxis conica Ehrenberg

Табл. IX, фиг. 8, 9

Tetrataxis conica: Меллер, 1880, стр. 107-109, табл. II, фиг. 3, а - f и табл. III, фиг. I, 2, а также фиг. 30 в тексте; Раузер-Черноусова, Беляев и Рейтлингер, 1936, стр. 217; Раузер-Черноусова и Фурсенко, 1937, стр. 284; Богуш и Ефереев, 1962, стр. 193, табл. III, фиг. 7; Пронина, 1963, стр. 150, табл. III, фиг. 9.

Диагноз. Раковина крупная, конической формы, стенка двухслойная.

Описание. Раковина коническая, с вершинным углом 70-85°. Бока прямые. Умбрикус узкий, расширяющийся постепенно. Вершина слегка заостренная. Спиральных оборотов 8-9. Высота раковины 0,68-0,74 мм, базальный диаметр от 0,92 до 1,20 мм. Стенка двухслойная, состоит из темного зернистого и светлого стекловато-лучистого слоев. Толщина стенки 0,03-0,05 мм.

Сравнение. Описанные нами экземпляры близки к описанным В.И.Меллером.

Геологическое и географическое распространение. Карбон Русской платформы и Средней Азии.

Материал. 30 экземпляров хорошей сохранности из среднего-верхнего визе (якарчинская и сангальтская свиты) рек Чукалик, Зидды, Джикрут.

СЕМЕЙСТВО BISERTAMMINIDAE N. TCHERNYSHEVA, 1941

Род GLOBIVALVULINA SCHUBERT, 1920

Valvulina: Brady, 1876 (partim).

Globivalvulina: Schubert, 1920; Кешмен, 1933; Рейтлингер, 1950; Балахнатова и Рейтлингер, 1959; Богуш и Юферев, 1962.

Типовой вид. *Valvulina bulloides* Brady. Верхний карбон, Айова (США).

Диагноз. Раковина — от почти шарообразной до наутилоидной, с двухрядным расположением камер, завита по низкой винтовой спирали или почти в одной плоскости. Оборотов $1\frac{1}{2}$ —2. Спираль развертывается быстро. Устье щелевидное. Стенка темная, тонкозернистая.

Сравнение. От рода *Bissariammina* отличается наличием устьевых (апертурных) перегородок.

Геологическое и географическое распространение. Средний карбон Зеравшано-Гиссарской горной области; нижний карбон — пермь европейской части СССР, Средней Азии, ГДР, Греции, Северной Америки.

Globivalvulina scaphoidea Reitlinger

Табл. IX, фиг. 10, II

Globivalvulina scaphoidea: Рейтлингер, 1949, стр. 159, табл. I, фиг. 5.

Диагноз. Раковинка сравнительно небольшая, слегка скатая с боков. Спираль выпрямляется по мере возрастания раковины. Последняя камера резко увеличена по сравнению с предыдущими.

Описание. Раковина скатая с боков. Спираль по мере возрастания выпрямляется, придавая поперечному сечению раковины овально-вытянутую форму. Камеры невыпуклые. Диаметр колеблется от 0,25 до 0,38 мм, высота последнего оборота равна 0,15 мм. Камеры обычно небольшие, по 9 в одном ряду. Как правило, 8 камер мелких, одна последняя очень крупная. Внутренние камеры насажены очень тесно. Стенка темная, тонкозернистая, толщиной 0,005—0,01 мм.

Сравнение. От типичной *Globivalvulina scaphoidea* Reitlinger, описанные экземпляры отличаются лишь несколько большим диаметром.

Геологическое и географическое распространение. Каяльский и московский ярусы среднего Урала и Прикамья, московский ярус среднего карбона Зеравшано-Гиссарской горной области.

Материал. 20 экземпляров из московского яруса (бачаульдинская свита) бассейна р.Кара-Куль, 15 - из московского яруса (бачаульдинская свита) рек Порут, Ривут.

FORAMINIFERA FAMILIAE INCERTAE
SEDIIS

СЕМЕЙСТВО ARCHAEDISCIDAE N. TCHERNYSHEVA, 1948

Род ARCHAEDISCUS BRADY, 1873

Archaediscus: Brady, 1873, 1876; Меллер, 1880; Михайлов, 1939; Чернышева, 1948 (partim); Раузер-Черноусова, 1948 (partim); Миклухо-Маклай, 1953; Гроздилова, 1953 (partim); Гроздилова и Лебедева, 1954 (partim); Бражникова, 1956 (partim); Ганелина, 1956; Даин, Гроздилова, Мятлюк и Рейтлингер, 1959; Богуш и Дферев, 1962; Богуш и др., 1965; Бражникова и др., 1967.

Типовой вид. *Archaediscus karreri* Brady, 1873. Нижний карбон Англии.

Диагноз. Раковина дисковидная или чечевицеобразная с гладкой поверхностью. Обороты объемлющие, навиты в разных плоскостях. В ранней части навивание клубкообразное, в более поздней - менее колеблющееся, иногда почти спирально-плоскостное. Стенка двухслойная.

Сравнение. См. описание всех родов того же семейства.

Геологическое и географическое распространение. Визе - башкирский ярус европейской части СССР, визе - московский ярус Средней Азии, карбон Азии и Шотландии.

Archaediscus krestovnikovi Rauser

Табл. X, фиг. I-3

Archaediscus krestovnikovi: Раузер-Черноусова, 1948, стр. 10, табл. II, фиг. 18-20; Чернышева, 1948, стр. 152, 153, табл. II, фиг. 2-6, II; Шлыкова, 1951, стр. 169, табл. У, фиг. 8, 9; Гроздилова, 1953, стр. 94, 95,

табл. II, фиг. I7-I9 и табл. III, фиг. I-4; Гроздилова и Лебедева, 1960, стр. 94, табл. XI, фиг. 3, 4; Богуш и Ефереев, 1962, стр. 202, 203, табл. IX, фиг. 7-10; Богуш и др., 1965, стр. 46, табл. II, фиг. I7.

Диагноз. Раковина дисковидная или чечевицеобразная, инволютная, уплощенная с клубкообразным навиванием трубчатой камеры в начальных оборотах и более или менее спирально-плоскостным в последующих.

Описание. Раковина маленькая, инволютная, отношение ширины к диаметру 0,21-0,40. Размеры (в мм): диаметр раковины 0,28-0,42, ширина раковины 0,07-0,17. Начальная камера сферическая, хорошо выражена, диаметр 0,01-0,02 мм. Навивание трубчатой камеры в ранних оборотах клубкообразное, в последующих более или менее спирально-плоскостное. Оборотов 3-5 $\frac{1}{2}$. Высота просвета последнего оборота 0,08-0,04 мм. Стенка двухслойная, стекловато-лучистый слой хорошо развит; с внутренней стороны стенки обычно отмечается тонкий темный слой. Толщина стенки в последнем обороте 0,01-0,02 мм.

Сравнение. Описанные экземпляры по строению раковины и размерам существенно не отличаются от типичного *Archaediscus krestovnikovi* Rauser.

Замечания. В нашей коллекции имеются экземпляры, различающиеся только по форме раковины, одни с более выпуклыми боками и заостренными периферическими краями, другие раковины несколько сжатые с боков, с почти параллельными боками и округлым периферическим краем. Однако существенных различий в строении раковин и размерах не наблюдается, поэтому мы склонны относить их к одному виду *Archaediscus krestovnikovi* Rauser.

Геологическое и географическое распространение. Визейский ярус Русской платформы, Урала, Южного Тимана, Северного Казахстана, Средней Азии, Зеравшано-Гиссарской области. Средний карбон Таласского Алатау.

Материал. 50 экземпляров хорошей сохранности из среднего визе (якарчинская свита) р. Зидлы; 30 экземпляров из среднего визе (якарчинская свита) бассейна р. Кара-Куль; 25 экземпляров из среднего визе (якарчинская свита) р. Джикрут.

Archaediscus karreri Brady

Табл. X, фиг. 4

Archaediscus karreri: Brady, 1873, стр. 286, табл. II, фиг. I-6; Brady, 1876, стр. 142, табл. XI, фиг. I-6; Раузер-Черноусова, 1948, стр. 230, табл. XV, фиг. I0, II; Чернышева, 1948, стр. 152, табл. II, фиг. I; Шлыкова, 1951, стр. 159-160, табл. III, фиг. I2, I3.

Диагноз. Раковина яйцевидной формы, с округленным периферическим краем и слегка выпуклыми боками, несимметричная, иногда одна боковая сторона почти плоская.

Описание. Отношение толщины раковины к диаметру колеблется от 0,60 до 0,70. Поверхность гладкая. Начальная камера шаровидная, диаметр 0,01-0,03 мм. Вторая камера навита в меняющихся плоскостях. В первых оборотах колебания оси навивания раковинки достигают значительных пределов, доходя до 70 и даже 90°, в последних стадиях роста плоскости симметрии оборотов

составляет небольшой угол $10-15^{\circ}$. Общее количество оборотов непостоянное и изменяется от 4 до 7. Высота просвета по мере роста раковины увеличивается, в последнем обороте высота просвета равна 0,09 мм. Стенка гладкая, состоит из наружного светлого стекловато-лучистого слоя и внутреннего темного тонкозернистого. Толщина стенки 0,01-0,02 мм.

Сравнение. Описанные экземпляры ничем существенным не отличаются от типичных *Archaediscus karreri*.

Замечания. Вид *Archaediscus karreri* Brady до недавнего времени понимался очень широко, к нему относились преимущественно крупные экземпляры архедискусов, с различным характером навивания второй трубчатой камеры. В 1940 г. Д.И.Раузер-Черноусова дополнила описание *Archaediscus karreri*, данное Н.В. Brady, и уточнила объем этого вида, дав сравнение с голотипом. Экземпляры *Archaediscus karreri* Brady, известные в СССР, имеют меньшие общие размеры по сравнению с описанными экземплярами из отложений карбона Англии, диаметр раковины которых, по указанию Н.В. Brady, достигает 1 мм. Изменчивость вида *Archaediscus karreri* Brady наблюдается в основном в размерах и толщине стенки.

Геологическое и географическое распространение. Широко распространенная форма в разрезах визейского и намюрского ярусов Русской платформы, Урала, Средней Азии и нижнего карбона Англии.

Материал. В коллекции имеется 25 экземпляров хорошей сохранности из среднего-верхнего визе (якарчинская и сангальтская свиты) бассейнов рек Джихикрут и Зидды, 15 - из намюра (снежинская свита) бассейна р.Кара-Куль.

Archaediscus gissaricus Saltovskaja

Табл. X, фиг. 5

Archaediscus gissaricus: Марченко и Салтовская, 1972, стр. 38, 39.
табл. 5, фиг. 7.

Диагноз. Раковина субцилиндрической формы. Боковые стороны раковины почти плоские, параллельные между собой, периферическая часть слабо закруглена. Наружная поверхность гладкая. Начальная камера очень крупная.

Описание. Раковина в продольном сечении имеет субцилиндрическую форму с плоскими параллельными боковыми поверхностями и тупым слегка округлым периферическим краем, наружная поверхность раковины гладкая. Размеры (в мм): диаметр раковины 0,14-0,187, ширина раковины 0,07-0,09, число оборотов 4-5. Начальная камера очень большая, диаметр 0,04-0,05 мм. Навивание начальных оборотов неправильно клубкообразное, ось навивания последнего повернута под небольшим углом по отношению к плоскости симметрии или лежит в одной плоскости. Просветы между оборотами небольшие, полуэллиптической формы с плоским основанием. Стенка светлая, стекловато-лучистая, толщина её в последнем обороте равна 0,01 мм.

Сравнение. Описанные нами экземпляры близки к *Archaediscus subcylindricus* Brazhnikova et Potievskaja по размерам начальной камеры, по навиванию оборотов. Отличает их несколько иная форма раковины (плоские параллельные боковые поверхности), сравнительно маленькие размеры её (диаметр 0,14-0,17) и строение стенки.

Геологическое и географическое распространение. Московский ярус среднего карбона, Зеравшано-Гиссарская горная область.

Материал. 15 экземпляров хорошей сохранности из среднего карбона (бачаульдинская свита) по левобережью р. Зеравшан, против селения Урмитан; 5 - из среднего карбона (бачаульдинская свита) р. Кара-Куль.

Archaediscus moelleri Rauser var. *gigas* Rauser

Табл. X, фиг. 6

Archaediscus moelleri var. *gigas*: Раузер-Черноусова, 1948, стр. 232, табл. XV, фиг. 16-18, табл. XVI, фиг. I; Шлыкова, 1951, стр. 166, 167, табл. У, фиг. 3, 4; Гроздилова, 1953, стр. 85, 86, табл. I, фиг. 19, 20.

Диагноз. Раковина крупная инволютная, вздуто-чечевицеобразная с узкоокруглой, слегка приостренной периферией и сильно выпуклыми боками.

Описание. Поверхность раковины гладкая. Отношение толщины к диаметру равно 0,77. Число оборотов 4-5. Диаметр раковины 0,68-0,75 мм, толщина равна 0,48-0,54 мм. Начальная камера крупная, яйцевидная, 0,05-0,07 мм. Плоскость навивания второго оборота второй камеры повернута по отношению к первому приблизительно на 45°. В последних трех-четырех оборотах плоскость навивания каждого последующего оборота повернута по отношению к предыдущему в одну и ту же сторону примерно на 15-25°. Высота просветов второй камеры в последних оборотах равна 0,05-0,07 мм. Стенка гладкая, двухслойная, наружный слой довольно толстый, стекловато-лучистый, равен в последних оборотах 0,01-0,02 мм и внутренний слой очень тонкий, темный.

Сравнение. Наши экземпляры по форме раковины и размерам наиболее близки к *Archaediscus moelleri* var. *gigas* Rauser, описанному Т.И.Шлыковой в 1951 г.

Геологическое и географическое распространение. Вивейский ярус Русской платформы, Средней Азии.

Материал. 5 экземпляров хорошей сохранности из визе (якарчинская и сангальтская свиты) на северном склоне Гиссарского хребта, в бассейне р. Джихикрут.

Archaediscus subcylindricus Brazhnikova et Potiesskaja

Табл. X, фиг. 7

Archaediscus subcylindricus: Бражникова и Потиевская, 1948, стр. 98, 99, табл. У, фиг. 14, 15; Гроздилова, 1953, стр. 83, 84, табл. I, фиг. 14; Бражникова, 1949, стр. 67, 68, табл. III, фиг. 2.

Диагноз. Раковина субцилиндрической формы, с плоскими параллельными боковыми поверхностями, с округлой широкой периферией. Поверхность раковины гладкая.

Описание. Наружная поверхность раковины неровная, слегка зазубренная. Стенка внутренних оборотов гладкая. Диаметр 0,49–0,55 мм, толщина 0,28 мм. Отношение толщины к диаметру – 0,57. Число оборотов $4\frac{1}{2}$. Начальная камера крупная и равна 0,05 мм. Навивание начальных оборотов клубкообразное. Последние обороты повернуты друг к другу примерно на $15-20^{\circ}$. Просветы между оборотами большие. Высота просвета последнего оборота равна 0,09 мм. Стенка раковины тонкая двухслойная, наружный слой стекловато-лучистый, внутренний еще более тонкий темный.

Сравнение. Описанные нами экземпляры по размерам, строению и форме раковины близки к *Archaediscus subcylindricus*, описанному Н.-Б.Бражниковой и П.-Д.Потиевской, отличаются лишь наружной зазубренной стенкой, что, возможно, объясняется вторичными изменениями или чрезмерной перекристаллизацией. Зазубренности во внутренних оборотах не наблюдалось, поэтому мы склонны отнести наш экземпляр к *Archaediscus subcylindricus*.

Геологическое и географическое распространение. Верхняя часть нижнего карбона и нижняя часть среднего карбона (башкирский ярус) Донбасса. Визейский ярус Зеравшано-Гиссарской области.

Материал. 3 экземпляра хорошей сохранности из верхнего визея (саингальская свита) в долине р.Кара-Куль.

Род *ASTEROARCHAEDISCUS* M.–MACLAY, 1955

Archaediscus: Крестовников и Теодорович, 1936; Чернышева, 1948 (partim), Гроздилова, 1953 (partim); Гроздилова и Лебедева, 1954 (partim); Бражникова, 1956.

Asteroarchaediscus: Миклухо-Маклай, 1955; Дацк, Гроздилова, Мятлик, Рейтлингер, 1959; Богуш и Іферев, 1962.

Типовой вид. *Archaediscus baschkiricus* Krestovnikov et Theodorovitch. Башкирский ярус западного склона южного Урала.

Диагноз. Раковина овальная или чечевицеобразная. Начальная камера эллипсоидальная или сферическая. Вторая камера трубчатая, тесно навитая, в начальных оборотах навита клубкообразно, с зазубренной наружной поверхностью, вследствие резких перегибов трубки образуется характерный "звездчатый контур".

Сравнение. От рода *Archaediscus* отличается зазубренной или неровной поверхностью трубчатой камеры, резкими её перегибами и очень тесным навиванием оборотов.

Геологическое и географическое распространение. Визейский и московский ярусы Урала, Русской платформы, Донбасса, Средней Азии и Казахстана.

Asteroarchaediscus baschkiricus (Krestovnikov et Theodorovitch)

Табл. X, фиг. 8,9

Archaediscus baschkiricus: Крестовников и Теодорович, 1936, стр. 87, рис. I-3; Чернышова, 1948, стр. 154, табл. II, фиг. 9; Гроздилова и Лебедева, 1954, стр. 58, табл. III, фиг. 7,8.

Asteroarchaediscus baschkiricus: Гроздилова и Лебедева, 1960, стр. 97, табл. XI, фиг. 9; Богун и Дферев, 1962, стр. 204, табл. IX, фиг. 12.

Диагноз. Раковина овальная вздутая, с закругленным периферическим краем. Навивание во всех оборотах очень тесное.

Описание. Форма раковины овальная или чечевицеобразная с закругленной или слегка приостренной периферией, с зазубренной наружной поверхностью. Отношение ширины к диаметру равно 0,50-0,65. Диаметр равен 0,34 мм, ширина 0,10-0,17 мм. Число оборотов 3-5. Начальная камера маленькая, сферическая. Навивание трубчатой камеры клубообразное, тесное, поверхность оборотов угловатая, в продольном сечении вырисовывается характерный "звездчатый контур". Стенка пористая, стекловато-лучистая, толщиной 0,01-0,02 мм, внутренний темный слой почти не заметен.

Сравнение. Изученные экземпляры существенно не отличаются от описанных ранее.

Геологическое и географическое распространение. Верхний визе, намор и башкирский ярус Зеравшано-Гиссарской горной области.

Материал. 35 экземпляров хорошей сохранности из верхнего визе и намора (сангальская и снежинская свиты) по правому берегу р.Кара-Куль, 50 - из верхнего визе, намора и башкирского яруса (сангальская и снежинская свиты) бассейна р.Шинг, около 70 - из верхнего визе и намора (сангальская и снежинская свиты) бассейнов рек Зиды и Джизикрут.

Asteroarchaediscus ovoides (Rauser)

Табл. X, фиг. 10,II

Archaediscus ovoides: Раузер-Черноусова, 1948, стр. 232,233, табл. XVI, фиг. 6,7; Гроздилова, 1953, стр. 105,106, табл. IV, фиг. 4,5.

Asteroarchaediscus ovoides: Богун и Дферев, 1962, стр. 205,206, табл. IX, фиг. 14.

Диагноз. Раковина вздуто-чечевицеобразная инволютная, с круто приостренной периферией и выпуклыми боками. Навивание второй трубчатой камеры клубообразное. Ранние обороты навиты тесно, в последнем полуобороте появляется просвет.

Описание. Раковина небольшая. Отношение ширины к диаметру равно 0,70-0,85. Раковина маленькая, диаметр её равен 0,26 мм, ширина 0,19 мм. Число оборотов $4\frac{1}{2}$. Высота просвета в последнем полуобороте достигает 0,03-0,04 мм. Стенка шероховатая, толщина её в последнем обороте 0,01 мм.

Сравнение. От описанных ранее *Asteroarchaediscus ovoides* наши экземпляры существенно не отличаются, от *Asteroarchaediscus baschkiricus* отличаются более вздутой формой раковины и наличием более высокого просвета в последнем полуобороте.

Геологическое и географическое распространение. Отложения намюрского и башкирского ярусов Средней Азии. Визейский ярус Подмосковного бассейна и Урала.

Материал. 10 экземпляров хорошей сохранности из намюра и низов среднего карбона (снежинская свита) по бассейну р.Шинг.

*Asteroarchaediscus karakulicus** sp. nov.

Табл. X, фиг. I6

Голотип. № 2524, хранится в музее Института геологии АН Тадж.ССР. Средний карбон нижнебашкирский подъярус (снежинская свита). Зеравшано-Гиссарская горная область, бассейн р.Кара-Куль.

Диагноз. Раковина почти плоско-спиральная, бока плоские, периферия узкозакругленная. Начальные обороты навиты в меняющихся плоскостях и образуют "звездчатый контур", последние 1-2 оборота навиты почти в одной плоскости.

Описание. Раковина сравнительно крупная. Диаметр раковины 0,51-0,54 мм, ширина 0,22 мм. Отношение ширины к диаметру 0,43-0,50. Оборотов 3-5. Обороты тесно навитые, в начальных оборотах навивание клубкообразное, в последних двух оборотах почти спирально-плоскостное. Поверхность оборотов неровная зазубренная. Стенка стекловато-лучистая, толщина её в последнем обороте равна 0,02 мм. Начальная камера сферическая очень маленькая.

Сравнение. По внешней форме наши экземпляры похожи на *Neoarchaediscus borealis* отличаются от него внутренним строением. По внутреннему строению близки к *Asteroarchaediscus rugosus* Н.Е.Бражниковой (1949), отличаются от него лишь более крупными размерами.

Геологическое и географическое распространение. Нижнебашкирский подъярус среднего карбона Зеравшано-Гиссарской горной области.

Материал. 20 экземпляров хорошей сохранности из нижнебашкирского подъяруса (снежинская свита) бассейна р.Кара-Куль, 3 - из нижнебашкирского подъяруса (снежинская свита) бассейна р.Шинг.

*Asteroarchaediscus cyclopus*** sp. nov.

Табл. X, фиг. I2

Голотип. № 2, хранится в музее Института геологии АН Тадж.ССР. Средний карбон, нижнебашкирский подъярус (снежинская свита) Зеравшано-Гиссарская горная область, бассейн р.Кара-Куль.

Диагноз. Раковина маленькая дисковидная, с округлой периферией с плоскими или слегка выпуклыми боками, навивание начальных оборотов тесное клубкообразное, последних двух - близкое к спирально-плоскостному. Начальная камера сферическая, очень крупная по отношению к общим небольшим размерам раковины.

* Karakulicus - по названию реки Кара-Куль.

** Cyclopus - одноглазый.

Описание. Диаметр раковины равен 0,17-0,19 мм, ширина 0,09 мм, отношение ширины к диаметру равно 0,52. Обороты тесно навитые. Высота последнего оборота равна 0,08 мм. Стенка стекловато-лучистая тонкопористая, толщина её в последнем обороте 0,009-0,01 мм. Начальная камера сферическая, сравнительно крупная по отношению к общим небольшим размерам всей раковины, диаметр последней равен 0,04-0,05 мм.

Сравнение. Описанные экземпляры наиболее близки к *Asteroarchaediscus rugosus* по мелким размерам, форме раковины, но отличаются от него крупной начальной камерой и более вздутой в боках формой раковины.

Геологическое и географическое распространение. Башкирский ярус среднего карбона Зеравшано-Гиссарской горной области.

Материал. 15 экземпляров хорошей сохранности из нижнебашкирского подъяруса (снежинская свита) бассейна р.Кара-Куль.

Род *NEOARCHAEDISCUS* M.-MACLAY, 1955

Archaediscus: Раузер-Черноусова, 1948 (partim); Грозилова, 1953 (partim); Грозилова и Лебедева, 1954 (partim).

Neoarchaediscus: Никлухо-Маклай, 1955; Даин, Грозилова, Матлик, Рейтлингер, 1959; Богуш и Ефрем, 1962.

Типовой вид. *Archaediscus incertus* Grozdilova et Lebedeva. Башкирский ярус западного склона Северного Урала.

Диагноз. Раковина дисковидная, реже - вытянуто-овальная. Начальные обороты клубкообразные, тесно навитые, с неровной зазубренной поверхностью, с характерным "звездчатым контуром", наружные - навиты более свободно, спирально-плоскостные или слабо колеблющиеся, иногда эволютные, с гладкой поверхностью.

Описание. Раковина - от дисковидной, с параллельными боками, до овальной, с выступающей центральной областью. Начальная камера сферическая. Последние обороты с четко наблюдаемыми, обычно высокими просветами. Стенка толстая, стекловато-лучистая, внутренний тонкозернистый слой почти не заметен.

Сравнение. По характеру навивания начальных оборотов близок к роду *Asteroarchaediscus*. Последние обороты рода *Neoarchaediscus* в отличие от рода *Asteroarchaediscus* высокие, с широкими просветами и гладкой поверхностью, спирально-плоскостные или слабо колеблющиеся.

Геологическое и географическое распространение. Визейский - башкирский ярус европейской части СССР, Средней Азии и Казахстана.

Neoarchaediscus postrugosus (Reitlinger)

Табл. X, фиг. I3

Archaediscus postrugosus: Рейтлингер, 1949, стр. 162, табл. I, фиг. 10 а; Гроздилова, 1953, стр. 108, табл. IV, фиг. 9, 10.

Neoarchaediscus postrugosus: Богуш и Шерев, 1962, стр. 207, табл. I3, фиг. I7.

Диагноз. Раковина небольшая, с плоскими или слегка вздутыми боками, с тупоокругленной периферией. Внутренние обороты навиты тесно, клубкообразно. Последний оборот эволютен с высоким просветом, в несколько раз превышающим толщину стенки и располагается параллельно по отношению к плоскости симметрии раковины.

Описание. Диаметр раковины 0,28–0,35 мм, ширина 0,11–0,13 мм, отношение ширины к диаметру 0,39–0,42. Оборотов 3–5. Начальная камера сферическая. Начальные обороты навиты тесно клубкообразно, образуют "звездчатый контур". Навивание двух последних оборотов близко к спирально-плоскостному, свободное. Последний оборот высокий, 0,04–0,06 мм. Поверхность внутренних оборотов неровная, последний оборот гладкий. Стенка стекловато-лучистая, во внутренних оборотах толстая, в последних 1–2 оборотах становится тонкой. Толщина стенки в последнем обороте 0,006–0,02 мм.

Сравнение. Описанные нами экземпляры ничем существенным не отличаются от типичного *Neoarchaediscus postrugosus* (Reitl.), описанного Е.А.Рейтлингером.

Геологическое и географическое распространение. Нижнебашкирский подъярус Центрального Карагаты и Таласского Алатау, Зеравшано-Гиссарской горной области. Широко распространен в отложениях башкирского яруса, реже в визайском и намюрском ярусах западного склона Урала.

Материал. 16 экземпляров посредственной сохранности нижне-башкирского подъяруса (снежинская свита) бассейна р.Кара-Куль.

Neoarchaediscus gregorii (Dain)

Табл. X, фиг. I4

Archaediscus gregorii: Дайн, 1953, стр. 106, табл. IV, фиг. I2–I4.

Neoarchaediscus gregorii: Гроздилова и Лебедева, 1960, стр. 98, 99, табл. XI, фиг. 10.

Диагноз. Раковина дисковидная, с тупозакругленным периферическим краем, с параллельными боковыми сторонами или слегка выпуклым. Внутренние обороты навиты клубкообразно и создают "звездчатый контур", наружные обороты имеют эволютное спирально-плоскостное навивание.

Описание. Раковина небольшая. Диаметр равен 0,34–0,38 мм, ширина 0,13–0,18 мм, отношение ширины к диаметру равно 0,38–0,50. Число оборотов 4–6. Начальная камера сферическая. Трубчатая камера в начальных оборотах навита тесно, клубкообразно и образует характерный "звездчатый контур".

Последние 2-2,5 оборота навиты несколько свободнее и лежат почти в одной плоскости. Просветы оборотов узкие, они кажутся ломаной линией, оконтуривающей стенку.

Сравнение. Описанные нами экземпляры наиболее близки по своему строению и размерам к *Neoarchaediscus gregorii* var. *gregorii* (Dain).

Геологическое и географическое распространение. Башкирский ярус Западного склона Урала и Донецкого бассейна, нижнебашкирский подъярус среднего карбона Зеравшано - Гиссарской горной области.

Материал. 20 экземпляров удовлетворительной сохранности из нижнебашкирского подъяруса среднего карбона (снежинская свита) бассейнов рек Шинг и Кара-Куль.

Neoarchaediscus minimus (Grozdilova et Lebedeva)

Табл. X, фиг. 15

Archaediscus minimus: Гроздилова, 1953, стр. III, табл. IV, фиг. 15.

Диагноз. Раковина небольшая, дисковидная, с закругленной периферией, с тонкими параллельными боковыми сторонами.

Описание. Диаметр раковины 0,19-0,31 мм, ширина 0,09-0,13 мм. Отношение ширины к диаметру изменяется от 0,20-0,30. Число оборотов 2-5, чаще 3. Начальная камера сферическая, диаметр её изменяется от 0,01 до 0,02 мм. Начальные обороты отклоняются от плоскости симметрии, последние 1-2 оборота спирально-плоскостные и эволютные. Просветы оборотов относительно большие с четким арочкообразным очертанием. Стенка стекловато-лучистая, тонкопористая. Толщина стенки примерно равна высоте просвета.

Сравнение. По форме раковины и строению наши экземпляры наиболее близки к *Neoarchaediscus minimus* Л.П.Гроздиловой и Н.С.Лебедевой, отличаются лишь несколько более крупными размерами.

Геологическое и географическое распространение. Средний карбон, Башкирский ярус западного склона Урала и Зеравшано-Гиссарской горной области.

Материал. 40 экземпляров из нижнебашкирского подъяруса (снежинская свита) бассейнов рек Шинг и Кара-Куль.

Род *PLANOARCHAEDISCUS* M.-MACLAY, 1955

Archaediscus: Раузер-Черноусова, 1948 (partim); Гроздилова, 1953 (partim).

Planoarchaediscus: Миклухо-Маклай, 1955; Даин, Гроздилова, Мятлюк, Рейтлингер, 1959; Богуш и Юферев, 1962; Богуш и Юферев, 1965; Бражникова и др., 1967.

Типовой вид. *Achaediscus spirillinoides* Rauser. Визе Казахстана, р.Белеута.

Диагноз. Раковина дисковидная, с параллельными боковыми сторонами и широко закругленным периферическим краем. Начальные обороты клубообразные, инволютные, наружные — спирально-плоскостные, эволютные. Стенка двухслойная: внутренний — темный, наружный — стекловато-лучистый.

Описание. Раковина плоская дисковидная, с почти параллельными боковыми сторонами и округлым периферическим краем. Начальная камера сферическая, количество оборотов 4–6. Навивание начальных двух-трех оборотов клубообразное, наружные два-три оборота лежат в одной плоскости. Стенка двухслойная: наружный слой светлый стекловато-лучистый, внутренний — темный тонкозернистый. Устье образовано открытым концом трубки.

Сравнение. От других представителей семейства *Archaeodiscidae* отличается строением стенки, а также формой раковины.

Геологическое и географическое распространение. Визе-башкирский ярус европейской части СССР, Казахстана и Средней Азии.

Planoarchaediscus spirillinoides (Rauser)

Табл. X, фиг. I7

Archaeodiscus spirillinoides: Раузер-Черноусова, 1948, стр. I2, табл. III, фиг. 7,8; Чернышёва, 1948, стр. I53, I54, табл. II, фиг. 7,8; Гроздилова, 1953, стр. II0, табл. IV, фиг. I6, I8; Бражникова, 1956, стр. 64, табл. XIII, фиг. I4, I5; Богуш и Юферев, 1962, стр. 208–210, табл. IX, фиг. I9–22.

Planoarchaediscus spirillinoides: Богуш и Юферев, 1962, стр. 209, табл. IX, фиг. I9–22; Богуш и Юферев, 1965, стр. 47, табл. II, фиг. I9.

Диагноз. Раковина небольшая, дисковидная, с параллельными боковыми сторонами и округлым периферическим краем.

Описание. Диаметр раковины 0,47 мм, ширина 0,10 мм, отношение ширины к диаметру 0,4. Число оборотов 4–6. Начальная камера сферическая. Внутренние обороты клубообразные. Наружные 2–3 оборота лежат в одной плоскости. Просветы оборотов высокие. Высота просвета равна 0,05–0,06 мм. Стенка состоит из двух слоев; внутреннего — темного, тонкозернистого и наружного — светлого, стекловато-лучистого. Стекловатый слой не-постоянный и наиболее хорошо развит на боках. Толщина стенки 0,005–0,01 мм. Устье образовано открытым концом трубки.

Сравнение. От типичного *Planoarchaediscus spirillinoides* (Rauser) описанные экземпляры отличаются лишь более крупными общими размерами раковины.

Геологическое и географическое распространение. Нижнее и среднее визе Зеравшано-Гиссарской горной области, Центрального и Малого Карагату и Таласского Алатау,

СЕМЕЙСТВО LASIODISCIDAE REITLINGER, 1956

Род HOWCHINIA CUSHMAN, 1927

Patellina: Howchin., 1888 (partim).

Howchinia: Cushman, 1927; Кеммен, 1933; Даин, Гроздилова, Мятлик, Рейтлингер, 1959; Богуш и Дферев, 1962; Бражникова и др., 1967.

Monotaxis: Виссарионова, 1948; Гроздилова и Лебедева, 1954; Бражникова, 1956.

Типовой вид. *Patellina bradyina* Howchin, 1888. Нижний карбон Англии.

Диагноз. Раковина трубчатая трохоидная, образованная спирально-коническими оборотами, оставляющими в центре углубленную пупочную полость, заполняющейся дополнительными стекловато-лучистыми отложениями. Стенка состоит из двух слоев: внутреннего — темного, тонкозернистого и наружного — стекловато-лучистого.

Сравнение. От рода *Monotaxinoidea* отличается трохоидным навиванием трубчатой камеры.

Геологическое и географическое распространение. Визе Русской платформы, Урала, Средней Азии и Англии; средний карбон западных отрогов Таласского Алатау.

Howchinia (Monotaxis) gibba (Moeller)

Табл. X, фиг. I8, I9

Tetrataxis conica var. *gibba*: Меллер, 1880, стр. 110, табл. 6, фиг. 3.

Monotaxis gibba: Виссарионова, 1948, стр. 193, табл. VIII, фиг. 9-II; Гроздилова и Лебедева, 1954, стр. 68, табл. IPI, фиг. 23, 24; Бражникова, 1956, стр. 56, 57, табл. II, фиг. 3; табл. XIII, фиг. 3.

Howchinia (Monotaxis) gibba: Богуш и Дферев, 1962, стр. 211, табл. IX, фиг. 24.

Диагноз. Раковина небольшая, коническая, широко округленная, с довольно большой пупочной полостью, с выпуклыми боками и двухслойной стенкой.

Описание. Раковина с закругленной вершиной и широким пупком.

Отношение высоты к базальному диаметру 0,90, чаще же равно единице. Размеры (в мм): высота раковины 0,33, базальный диаметр 0,35. Спиральных оборотов 7-8, у отдельных экземпляров до 9. Обороты низкие, медленно возрастающие. Стенка состоит из двух слоев: темного, тонкозернистого и пористого, стекловато-лучистого. Толщина стенки 0,01 мм.

Сравнение. Описываемые экземпляры ничем существенным не отличаются от *Howchinia (Monotaxis) gibba*, описанного А.Я.Виссарионовой.

Геологическое и географическое распространение. Визеийский ярус нижнего карбона Русской платформы, западного склона Урала, Средней Азии.

Материал. Форма широко распространена во всем визеийском ярусе Гиссарского хребта. 30 экземпляров в визеийском ярусе (якарчинская и сангальтская свиты) р.Зидды, 25 — в визе (якарчинская и сангальтская свиты) р.Джихикрут, 15 — в визе (якарчинская и сангальтская свиты) сая Чукалик.

ГЛАВА VI
ОПИСАНИЕ ВОДОРОСЛЕЙ
ТИП CHLOROPHYTA

Впервые в русской литературе о представителях сифониковых водорослей упоминается в работе В.Н.Махаева (1937). Он дает краткий диагноз рода *Beresella* и приводит название двух его видов, но не дает их подробного описания и иллюстраций.

Позднее И.В.Хворова (1949) описывает новый род *Dvinella* близкий с *Beresella* из северного крыла Московской синеклизы. Детальный критический разбор описанного рода приведен в монографии В.П.Маслова (1956).

В 1951 г. К.Б.Кордэ (1951) описывает *Dvinella* из Печорского края.

В 1956 г. выходит совместная работа В.П.Маслова и Е.Л.Кулик (1956), в которой обобщен весь имеющийся материал по этой группе ископаемых сифониковых. Вышеназванные исследователи на основе изучения большого количества материала выделяют новую трибу в составе семейства *Dasycladaceae* — *Bereselleae*. Они дополняют диагнозы родов *Beresella* Machaev, 1937 и *Dvinella* Chvorova, 1949 и выделяют подроды *Dvinella* Chvorova, 1949 и *Trinodella* Masl. et Kul., 1956 и род *Samarella* Masl. et Kul., 1956, которые различаются между собой по строению стенки (камалы прямые или ветвящиеся). В статье Е.Л.Кулик (1964) приводится подробная история изучения березеллид каменноугольных отложений СССР, рассматриваются вопросы морфологии и систематического положения трибы *Bereselleae*.

Типовой род: *Beresella* Machaev, 1937, стр. 476.

Диагноз. Слоевище известковое цилиндрическое, прямое или изогнутое, ветвящееся или нет. Обызвествленная часть слоевища — оболочка состоит из внутреннего слоя темного, пронизанного каналами, которые расположены обычно группами, образующими различной ширины мутогенные пояски, разделенные плотными беспоровыми пространствами — промежуточными поясками или каналами, расположенными равномерно, тесно. Каналы прямые или ветвящиеся. Наружный слой тонкий прозрачный кальцитовый, закрывает внешние отверстия каналов. Осевая (центральная) часть слоевища полая, четко обособленная, широкая или узкая. Органы размножения не встречены. Включает следующие рода: *Beresella* Machaev, *Dvinella* Chvorova, *Samarella* Maslov et Kulik, *Goksuella* Güvenc. Род *Dvinella* включает два подрода: *Dvinella* Chvorova и *Trinodella* Maslov et Kulik.

Замечания. В.П.Маслов и Е.П.Кулик (1956), выделив трибу, отнесли к ней лишь водоросли с прямым неветвящимся слоевищем.

Т.Гювенек (Güvenc, 1965) дополнил диагноз трибы *Bereselleae* и включил сюда водоросли с ветвящимся слоевищем (*Goksuella*).

Геологическое и географическое распространение. Каменноугольная система. Русская платформа, Урал, Средняя Азия, Япония, Турция.

Род *BERESELLA* MACHAEV, 1937

Beresella: Махаев, 1937, стр. 475; Маслов и Кулик, 1956, стр. 127; H. Johnson, 1963, стр. 16; Кулик, 1964, стр. 101-104; T. Güvenc, 1965, стр. 844-846; Салтовская, 1970, стр. 50-53.

Типовой вид: *Beresella erecta* Maslov et Kulik; средний карбон, московский ярус, Русская платформа.

Диагноз. Слоевище известковое цилиндрическое неветвящееся. Обызвествленная часть слоевища-оболочки пронизана прямыми неветвящимися каналами, собранными в мутовки и разделенными промежуточными поясками.

Видовой состав. Восемь видов из карбона Русской платформы, Урала, Средней Азии и Турции.

Сравнение. От представителей рода *Samarella* отличается наличием мутовок и промежуточных поясков между ними. От рода *Dvinella* отличается прямыми неветвящимися каналами. Представители рода *Goksuella* отличаются ветвлением слоевища.

Геологическое и географическое распространение. Нижний-верхний карбон. Русская платформа, Урал, Средняя Азия, Турция.

Beresella erecta Maslov et Kulik

Табл. XIV, фиг. 7

Beresella erecta: Маслов и Кулик, 1956, стр. 126, рис. Ia; Кулик, 1964, стр. 104, табл. VIII, фиг. 6, 7; Güvenc, 1965, табл. XXXII, фиг. 3, 4, в тексте фиг. 16; Салтовская, 1970, стр. 51, табл. I, фиг. I-3.

Голотип. № 3438/9, ГИН, Пензенская обл., скважина Юлово-Ишима, подольский горизонт.

Описание. Слоевище известковое, крупное, слабо изогнутое, неветвящееся, с узкой осевой частью (полостью) от 1,0 до 1,5 мм, с довольно толстой стенкой от 0,780 до 1 мм. Боковые ответвления простые, неветвящиеся. Мутовочные пояски неодинаковой ширины, от 0,560 до 1,02 мм, содержащие от 5 до 9 мутовок, чаще 7-8. Промежуточные пояски в 0,02-0,05 мм. Форма мутовочных поясков в осевом сечении чаще всего каплевидная. Диаметр каналов 0,02-0,03 мм с интервалами между ними от 0,01 до 0,02 мм.

В поперечном сечении слоевище округлое с диаметром осевой части 1-1,2 мм. В поперечном сечении хорошо видны беспоровые промежуточные пояски. Наружная оболочка прозрачная кальцитовая и имеет диаметр 0,01-0,002 мм.

Сравнение. От других представителей этого рода описанные на-ми экземпляры отличаются широкими промежуточными поясками, массивной стенкой слоевища и толщиной наружного слоя слоевища.

Геологическое и географическое распространение. Северный склон Гиссарского хребта, бассейн р.Шинг (правый борт р.Хазор-Чашма), бассейн р.Кара-Куль, северный склон Зеравшанского хребта, нижнемосковский подъярус, среднего карбона.

Материал. Форма широко распространена в известняках среднего карбона по северным склонам Гиссарского и Зеравшанского хребтов.

Beresella gissarika Saltovskaja

Табл. XIV, фиг. I

Beresella gissarika: Салтовская, 1970, стр. 52, табл. I, фиг. 4.

Голотип. № 838-5, хранится в музее Института геологии АН Тадж.ССР. Северный склон Гиссарского хребта. Левый борт р.Дарахти-Сурх (бассейн р.Шинг). Средний карбон, верхнемосковский подъярус.

Описание. Слоевище известковое крупное, цилиндрической формы, слабо изгибающееся, неветвящееся, с массивной стенкой и довольно широкой осевой частью, достигает крупных размеров. Наружный диаметр слоевища равен 0,45 мм. Слоевище пронизано многочисленными прямыми каналами, разделенными промежуточными поясками. Осевая часть достигает 0,23 мм. Мутовочные пояски неодинаковой ширины от 0,04 до 0,12 мм и содержат от 4 до 9 мутовок. Промежуточные пояски 0,01-0,03 мм с преобладающими значениями 0,02 мм. Диаметр каналов 0,01 мм с интервалами между ними 0,01 мм. Оболочка (стенка) слоевища состоит из тонкого прозрачного внешнего слоя толщиной 0,02 мм и внутреннего слоя толщиной в 0,08 мм.

Сравнение. От других представителей этого рода отличается общими крупными размерами, массивной стенкой слоевища, довольно широкой осевой частью, сравнительно широкими мутовочными поясами и узкими промежуточными поясами.

Геологическое и географическое распространение. Северный склон Гиссарского хребта, бассейн р.Шинг - левый борт р.Дарахти-Сурх и правый борт р.Хазор-Чашма, верхнемосковский подъярус среднего карбона.

Материал. Около 40 экземпляров хорошей сохранности по обоим бортам р.Шинг в известняках верхнемосковского подъяруса среднего карбона.

Beresella translucens Kulik

Табл. XIУ, фиг. 2-4

Beresella translucens: Кулик, 1956, стр. 103, табл. УШ, фиг. 4-5.

Голотип. № 3438-9, ГИН, Оренбургская обл. скважина Красной поляны, каширский горизонт.

Описание. Слоевище известковое прямое, небольших размеров, со сравнительно тонкой стенкой и широкой осевой частью. Наружный диаметр от 0,15 до 0,22 мм. Осевая часть (полость) от 0,134 до 0,168 мм, стенка довольно тонкая, от 0,01 до 0,04 мм. Мутовочные пояса неравномерной ширины и содержат от 4 до 10 мутовок. Промежуточные пояса довольно узкие 0,01-0,03 мм. Диаметр каналов 0,01 мм, интервалы между каналами 0,01 мм.

Сравнение. От других представителей этого рода отличается небольшими общими размерами, довольно широкой осевой частью и сравнительно тонкой стенкой слоевища.

Геологическое и географическое распространение. Северный склон Зеравшанского хребта (в районе Урмитана). Верхнебашкирский-нижнемосковский подъярусы среднего карбона.

Материал. 20 экземпляров хорошей сохранности из известняков нижнемосковского подъяруса по левому борту р.Зеравшан в районе селения Урмитан, 15 - из известняков верхнебашкирского подъяруса по правому борту р.Хазор-Чашма.

Род SAMARELLA MASLOV ET KULIK, 1956

Samarella: Маслов и Кулик, 1956, стр. 127; H. Johnson, 1963, стр. 16, 17; Кулик, 1964, стр. 104-105; T. Givenc, 1965, стр. 847, 848; Салтовская, 1970, стр. 53-56.

Типовой вид *Samarella setosa* Maslov et Kulik, 1956, средний карбон, Русская платформа.

Диагноз. Слоевище крупное цилиндрическое, слабо изгибающееся, неветвящееся, в поперечном сечении округлое. Боковые ответвления простые, неветвящиеся, многочисленные, расположенные тесно, но неравномерно.

Видовой состав. Два вида из среднего карбона Русской платформы, Средней Азии, Турции.

Сравнение. От рода *Bergselle* отличается тесным, но неравномерным расположением каналов. Род *Goksuella* отличается от представителей рода *Samarella* ветвлением слоевища, а также тем, что у представителей рода *Goksuella* каналы группируются в равномерные отрезки и имеют довольно широкие интервалы (промежуточные пояски) между ними. Каналы у представителей рода *Samarella* расположены перпендикулярно, тесно, но неравномерно, тогда как у представителей рода *Goksuella* каналы могут располагаться как перпендикулярно, так и под углом 30-35°.

Геологическое и географическое распространение. Средний карбон, московский ярус. Русская платформа, Средняя Азия.

Samarella setosa Maslov et Kulik

Табл. XIV, фиг. 5,6

Samarella setosa: Маслов и Кулик, 1956, стр. I27, рис. I г; Кулик, 1964, стр. I04, I05, табл. УIII, фиг. 9; Т. Гивенс, 1965, стр. 847, 848, табл. XXXII, фиг. 6, 7, 8; текст. фиг. 3; Салтовская, 1970, стр. 53-56, табл. I, фиг. I0, II.

Голотип. № 3438/I2, ГИН, Пензенская обл. скважина Длово-Иши-ма; подольский горизонт.

Описание. Слоевище крупное известковое цилиндрическое. Встречаются обломки слоевищ до 2,5-3 мм, наружный диаметр слоевища равен 0,479-0,767 мм. Осевая часть слоевища четко обособленная, равна 0,219-0,479 мм. Толщина обызвествленной части слоевища (оболочки) от 0,068-0,137 мм. Каналы в известковой оболочке, соответствующие боковым ответвлениям, простые неветвящиеся прямые тонкие и короткие, направленные перпендикулярно оси слоевища. Диаметр каналов от 0,01 до 0,02 мм. Расстояния между каналами колеблются от 0,01 до 0,06 мм. Часто встречаются экземпляры с наружным диаметром чехла 0,767 мм, с диаметром осевой части равной 0,479 мм и толщиной оболочки равной 0,137 мм.

Сравнение. От других представителей этого рода отличается большими размерами наружного диаметра (до 0,767 мм) слоевища.

Геологическое и географическое распространение. Средний карбон, московский ярус, Веравшано-Гиссарская горная область, бассейны рек Кара-Куль и Шинг.

Род DVINELLA Chvorova, 1949

Dvinella Хворова, 1949, стр. 750; Маслов и Кулик, 1956, стр. I27; Н. Джонсон, 1963, стр. I2; Кулик, 1964, стр. I05-I10; Т. Гивенс, 1965, стр. 846; Салтовская, 1970, стр. 56, 57.

Типовой вид. *Dvinella comata* Chvorova. Средний и верхний карбон. Русская платформа.

Диагноз. Слоевище известковое, в поперечном сечении округлое или чуть овальное, часто изгибающееся. Обызвествленная часть слоевища про-низана многочисленными ветвящимися каналами, образующими мутовочные пояски, разделенными промежуточными поясками. Каналы ветвятся в пределах стенки, образуя каналы первого и второго порядка. Род включает два подрода *Dvinella* (*Dvinella*) Chvorova и *Trinodella* Masl. et Kul.

Сравнение. От представителей родов *Beresella*, *Samarrella* и *Golksuella* отличается ветвлением каналов. Род *Golksuella* отличается, кроме того, ветвлением слоевища.

Геологическое и географическое распространение. Русская платформа. Приуралье, Средняя Азия. Средний и верхний карбон.

Dvinella (*Dvinella*) *comata* Chvorova

Табл. XIV, фиг. 8, 9

Dvinella comata: Хворова, 1949, стр. 750, рис. I, 2 и 3; Маслов и Кулик, 1956, стр. I26, рис. I б, 2 б; Кулик, 1964, стр. I05-I10, табл. УШ, фиг. II; Салтовская, 1970, стр. 56, 57, табл. I, фиг. I2-I4.

Описание. Слоевище известковое, прямое или искривленное, полое внутри, с каналами, однократно ветвящимися в пределах стенки. Осевая часть слоевища 0,12-0,13 мм. Толщина оболочки 0,11-0,13 мм. Мутовочные пояски шириной 0,05-0,10 мм, содержащие от 3 до 5 мутовок. Промежуточные и мутовочные пояски имеют (не всегда) вид усеченных конусов.

Каналы ветвятся, образуя каналы первого и второго порядка. Длина каналов первого порядка 0,02-0,03 мм, второго - 0,06-0,09 мм, диаметр каналов обоих порядков равен 0,01 мм.

Сравнение. От описанных В.П.Масловым и Е.Л.Куликом (1956) представители этого вида отличаются несколько более длинными каналами первого порядка и меньшим диаметром каналов первого и второго порядка.

Геологическое и географическое распространение. Зеравшано-Гиссарская горная область. Средний карбон, московский ярус.

Род KAMAENA ANTROPOV, 1967

Капсюла: Антропов, 1967, стр. I23.

Типовой вид: *K. delikata* Antropov, 1967, верхняя часть фаменского яруса девона и нижний карбон, восток Русской платформы.

Диагноз. Слоевище цилиндрическое, изгибающееся, дихотомически ветвящееся, в поперечном сечении округлое, подразделенное на сегменты различной длины поперечными перегородками, не доходящими до середины. Центральная (осевая) часть слоевища четко обособленная (рис. I7).

Боковые ответвления разномерно покрывали всю поверхность центральной части клетки. Каналы в известковой оболочке, соответствующие боковым ответвлениям, простые, неветвящиеся, прямые, тонкие и короткие, всегда направленные перпендикулярно оси слоевища.

Геологическое и географическое распространение. Фаменский ярус верхнего девона и нижний карбон востока Русской платформы, среднее визе нижнего карбона Зеравшано-Гиссарской горной области.

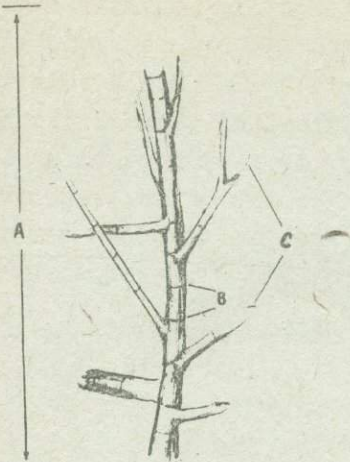


Рис. 17. Водоросль *Kamaena* Antropov. Реконструкция: А - слоевище; В - сегменты; С - ветви.

Kamaena delicata Antropov

Табл. ХУ, фиг. I-8, текст. рис. 17.

Kamaena delicata: Антропов, 1967,
стр. 123; табл. XXVIII, фиг. I-3.

Голотип. № 64-2, Казанский
геол. ин-т; заволжский горизонт, турнейский
ярус, Татарская АССР.

Описание. Слоевище цилиндрическое, дихотомически ветвящееся, в поперечном сечении округлое, подразделенное на отдельные сегменты различной длины перегородками, не доходящими до середины. Длина обломков слоевищ от 0,35 до 5 мм. Наружный диаметр от 0,04 до 0,20 мм. Диаметр осевой части слоевища от 0,02 до 0,08 мм. Угол ветвления слоевища от 20 до 90°. Длина сегментов от 0,03 до 0,16 мм. Диаметр каналов 0,01 мм. Расстояние между каналами равно диаметру каналов.

Центральная (осевая) часть слоевища четко обособленная, сравнительно широкая. Каналы в известковой оболочке, соответствующие боковым ответвлением, простые неветвящиеся прямые тонкие и короткие, всегда направленные перпендикулярно оси слоевища.

Изменчивость. Общая форма слоевища довольно изменчива. Изменчивы и размеры слоевище - наружный и внутренний диаметры.

Сравнение. Таджикские экземпляры вида *Kamaena delicata* Antropov отличаются от описанных И.А.Андроповым с Русской платформы несколько большей величиной наружного диаметра слоевищ (у *Kamaena delicata* 0,02 - 0,15 мм, а у описанных нами экземпляров 0,04-0,20 мм), а также вдвое большим диаметром боковых ответвлений.

К сожалению, в работе И.А.Андропова не приводится остальных замеров, как-то: длины обломков слоевищ, диаметра осевой части слоевища, длины сегментов, углов ветвления слоевищ и т.д.

Геологическое и географическое распространение. Нижний карбон, среднее визе, якарчинская свита. Зеравшано-Гиссарская горная область, бассейны рек Зидды, Джикрут, Кара-Куль, Шинг.

Материал. 30 шлифов, примерно с 50 экземплярами средней сохранности; 10 экземпляров хорошей сохранности.

ТИП RHODOPHYTA
СЕМЕЙСТВО INCERTAE SEDIS
Род UNGDARELLA MASLOV, 1950

Впервые водоросль *Ungdarella* была описана В.-П.Масловым в 1950 г. из отложений верхнего карбона Приуралья, со следующим родовым диагнозом: "Слоевище цилиндрическое, ветвящееся, нечленистое, слагается клеточными нитями, которые отлагают известь в виде светлого кальцита в толстых стенках клеток. Нити расположены параллельно центру цилиндра, но на краях подходят под острым углом к его поверхности. Наблюдаются гипоталий и периталий" (Маслов, 1950).

Типичный вид: *Ungdarella uralica* Maslov.

Ungdarella uralica Maslov

Табл. ХIII, фиг. 1-4

Голотип. Экземпляр, отмеченный в шлифе № 845/2.

Диагноз. Тот же, что и для рода.

Описание. Углы ветвления цилиндра колеблются от 40 до 75°. Величина диаметра цилиндров варьирует в пределах 4-7 мм. Ширина нитей равна 0,01 мм (чаще 0,02-0,03 мм). Поперечные сечения не дают правильных фигур - отверстия нитей сплюснуты или имеют неправильную форму. Стени нитей толстые 0,01, чаще 0,02 мм. Нити расположены параллельно центру цилиндра, но в краевых частях подходят под острым углом к внешней поверхности слоевища. В продольном сечении они имеют вид разреза ствола дерева с отходящими от него сучьями, в поперечном сечении различны, иногда нити от центра отходят почти радиально.

Сравнение. Изученные мной экземпляры не имеют существенных отличий от описанных В.-П.Масловым.

Геологическое и географическое распространение. Нижний-верхний карбон. Приуралье, Гиссарский, Зеравшанский, Туркестанский хребты.

В этот раздел обычно включают органические остатки растений, систематическое положение которых не совсем ясно, но которые сближаются с водорослями. Обусловлено это обычно либо недостаточным количеством ископаемого материала, либо плохой сохранностью его, либо недостаточной изученностью этого материала.

В нашем распоряжении оказался обильный материал, но при микроскопическом изучении его выяснилось, что он перекристаллизован и решить вопрос о систематической принадлежности этих остатков не представляется возможным. Эти органические остатки, несомненно, имеют водорослевую природу и при сравнении с описанными в литературе не имеют себе подобных. Поэтому мы выделяем их в новый род *Maclaella*.

Рассматриваемая водоросль обнаружена в Заравшано-Гиссарской горной области на южном склоне Гиссарского хребта в бассейне р. Зиды по ее правому борту примерно в 3-4 км от устья в терригенных отложениях нижнего карбона (Якарчинская свита). Вероятно, при жизни водоросли, пышно разрастаясь, образовывали густые заросли, поэтому в ископаемом состоянии они представлены в виде сильно перепутанных между собой ветвей слоевищ, часто в таком большом количестве, что могут рассматриваться как породообразующие. Водоросли хорошо выделяются из породы в виде крупных кустистых слоевищ, отчетливо разветвленных дихотомически, иногда можно непосредственно в обнажении в пласте известняка наблюдать ветвящиеся слоевища. Водоросль *Maclaella* сравнительно крупное растение, его кустистые слоевища, с многочисленными перепутанными между собой цилиндрическими ветвями, достигали до 1 м высоты, возможно, и более и до 5-7 см в диаметре (рис. 18).

Рис. 18. Водоросль *Maclaella* sp. nov.

Реконструкция: А - слоевище;
Б - ветви; С - оболочка;
Д - осевая часть слоевища.



Род MACLAELLA^{*} GEN. NOV.

Типовой вид. *Maclaella multiformis* sp. nov. Нижний карбон, якарчинская свита. Южный склон Гиссарского хребта, бассейн р. Зиды.

Диагноз. Растение крупное кустистое цилиндрическое, дихотомически разветвленное, с многочисленными ветвями от толсто- до тонкоцилиндрических и даже нитевидных. Ветвление происходит на разных расстояниях друг от друга. В слоевище отчетливо выделяется осевая часть (центральная) и оболочка (коровьей слой). Оболочка многослойная, состоящая из чередования концентрических слоев с радиально-лучистым строением. Органы размножения не наблюдались.

Сравнение. Очень своеобразное строение этих водорослей делает их совершенно несопоставимыми с какими-либо из ранее описанных.

Видовой состав. *Maclaella multiformis* sp. nov. Нижний карбон.

Геологическое и географическое распространение. Нижний карбон, визейский ярус. Южный склон Гиссарского хребта, бассейн р. Зиды.

Maclaella multiformis^{**} sp. nov.

Табл. XI, фиг. I-7, XII, фиг. I-7, XIII, фиг. I-4,
в тексте рис. 18

Голотип. № 38, хранится в музее Института геологии АН Тадж.ССР. Зеравшано-Гиссарская горная область, южный склон Гиссарского хребта, правый борт р. Зиды. Нижний карбон, якарчинская свита.

* В честь А.Д.Михалко-Маклая.

** *Multiformis* (лат.) — многообразная.

Диагноз. Слоевище крупное кустистое, дихотомически разветвленное, до 50-100 см высоты и до 5-7 см в диаметре, с многочисленными сильно перепутанными между собой ветвями.

Ветви от толстых до тонкоцилиндрических и даже нитевидных, с диаметром от 0,5 мм до 1 см. Ветвление происходит на разных расстояниях друг от друга. Определенной закономерности в ветвлении слоевища не наблюдается. Не отмечается и последовательного ветвления снизу вверх от более толстых веток к тонким веточкам.

В слоевище отчетливо выделяется осевая часть, с диаметром от 1-2 мм до 5 см и оболочка, сравнительно толстая от 0,5-2 до 3-5 мм. Оболочка состоит из нескольких слоев: тонких темных, чередующихся со светлыми толстыми радиально-лучистыми, таких слоев обычно 3-4, иногда до 7-8. Толщина оболочки, видимо, с возрастом сильно варьирует. Наиболее старые части слоевища имеют и наиболее толстую многослойную оболочку, у тонких веточек оболочка тонкая однослойная.

Органы размножения не наблюдались. Однако следует отметить, что на выделенных из породы экземплярах хорошо видны расположенные одиночно или группами своеобразные выросты, полости-воздутия почковидной формы, возможно, являющиеся гаметангиями (табл. XI, фиг. 3).

Замечания. Строение оболочки (корового) слоя за счет сильной перекристаллизации недостаточно отчетливо видно. Возможно, в дальнейшем при дополнительном изучении материала, удастся выяснить ее строение и таким образом определить систематическую принадлежность описываемой водоросли.

Геологическое и географическое распространение. Нижний карбон визейский ярус якарчинская свита. Южный склон Гиссарского хребта, бассейн р. Зидды, правый борт.

Материал. В коллекции имеется огромное количество обломков слоевищ как в породе, так и выделенных из породы, из одного местонахождения, из бассейна р. Зидды.

ПРИЛОЖЕНИЕ

ТАБЛИЦА I

Фиг. 1, 2—*Earlandia vulgaris* (Rauser et Reitlinger).
Осьевое сечение, $\times 75$. Зеравшано-Гиссарская горная область, визейский ярус.

Фиг. 3—*Earlandia vulgaris* var. *minor* (Rauser).
Осьевое сечение, $\times 65$. Зеравшано-Гиссарская горная область, визейский ярус.

Фиг. 4—8—*Parathyrammina miklukho-maclavi* Saltovskaja:
6—голотип, сечение раковины, $\times 100$. Южный склон Гиссарского хребта, бассейн
р. Зидды, визейский ярус, шл. 110а; 4, 5, 7, 8—сечения раковин, $\times 100$.

Фиг. 9, 10—*Parathyrammina dagmarae* Suleimanov.
Сечения раковин, $\times 100$. Северный склон Туркестанского хребта, визейский ярус.

Таблица I

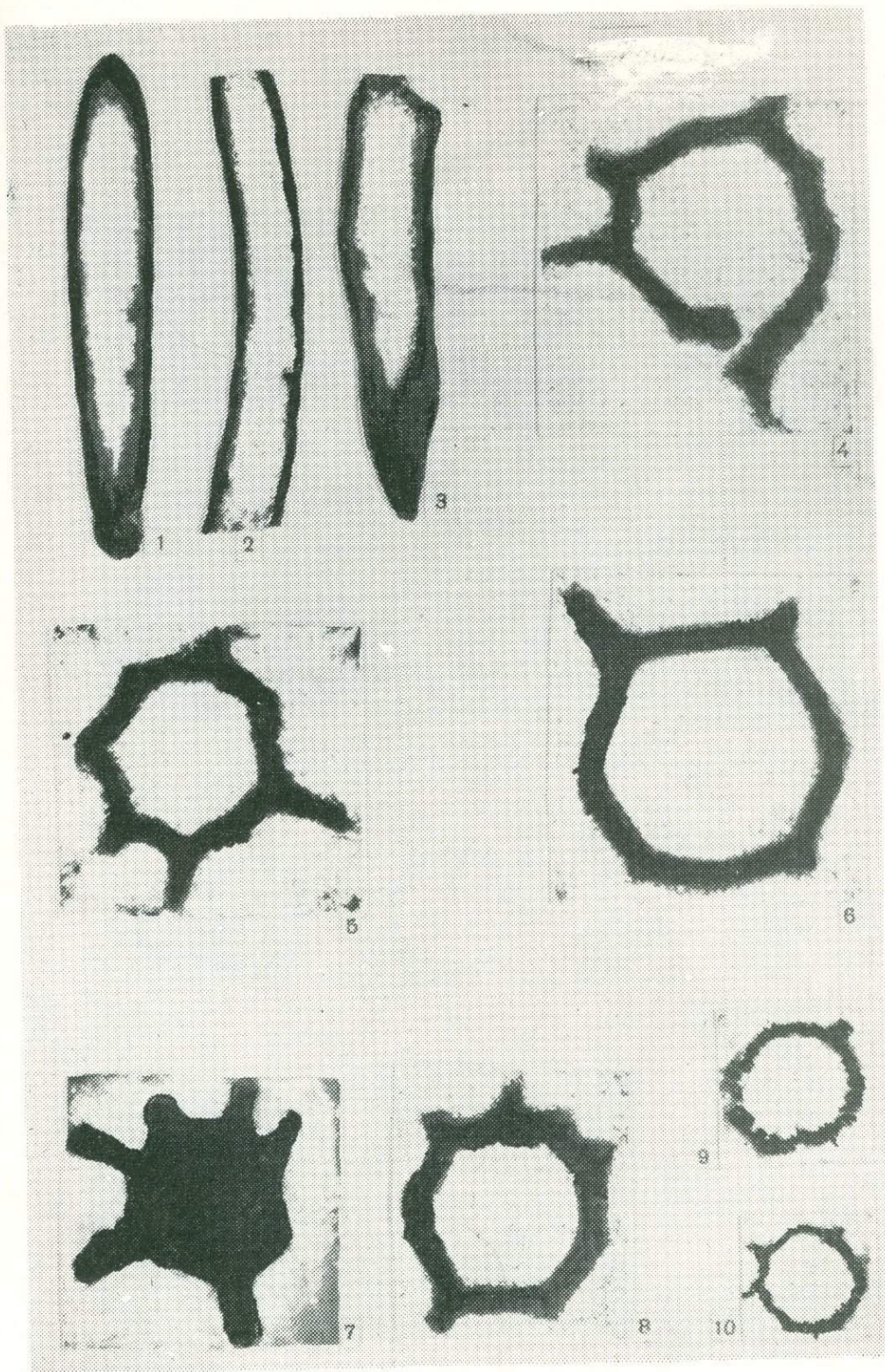


ТАБЛИЦА II

Фиг. 1—5—*Parathurammina suleimanovi* Lipina.

Сечение раковин, $\times 100$. Бассейн рек Зидды, Джизикрут. Визейский ярус.

Фиг. 6, 7—*Tuberitina bulbacea* Galloway et Carlton.

Сечение раковин, $\times 70$. Средний карбон. Зеравшано-Гиссарская горная область.

Фиг. 8—13—*Tuberitina collosa* Reitlinger.

Сечение раковин, $\times 35$. Средний карбон. Зеравшано-Гиссарской горной области.

Фиг. 14—*Tuberitina gigantea* sp. nov.

Голотип, сечение раковин, $\times 50$. Бассейн р. Кара-Куль, средний карбон.

Фиг. 14а, 15—*Eotuberitina reitlingerae* M. Maclay.

Сечения раковин, $\times 100$. Зеравшано-Гиссарская горная область, от среднего девона до среднего карбона.

Фиг. 16—*Eotuberitina grandis* (Reitlinger).

Сечение раковины, $\times 40$. Бассейн р. Ривут, средний карбон.

Таблица II

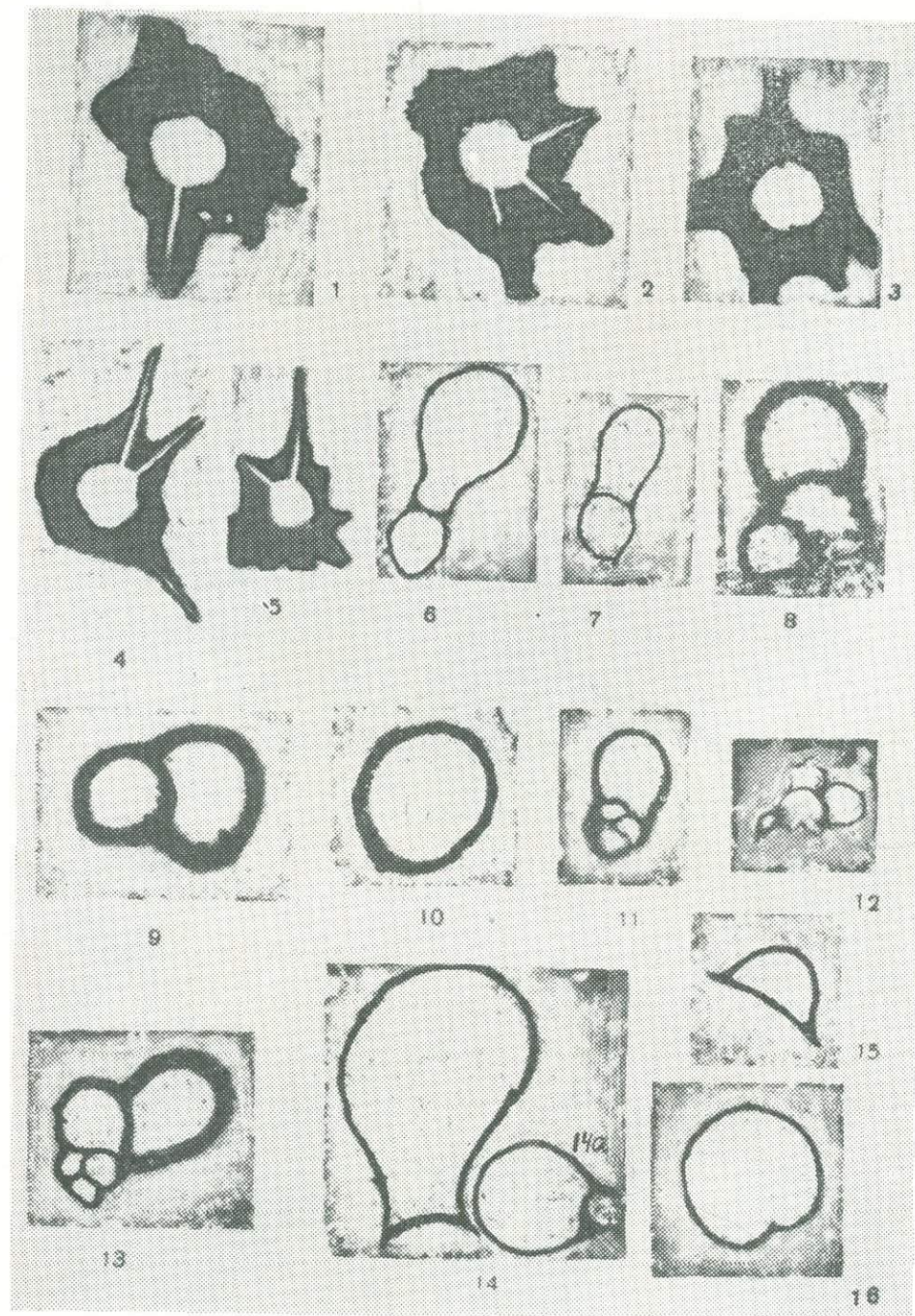


ТАБЛИЦА III

(Всех случаях увел. 90).

Фиг. 1—4—*Sogdianina angulata* *Saitovskaja*. Сечение прошло таким образом, что не затронуло внутренние полости раковин. Видны срезы шипов. Зеравшано-Гиссарская область; левобережье р. Зеравшан в районе селения Урмитан. Нижний карбон, визейский ярус.

Фиг. 5—*Sogdianina angulata* *Saitovskaja*

Фиг. 6—8—*Sogdianina angulata* *Saitovskaja*. 7 — голотип. Отчетливо видны устьевые каналы, угловатость раковины и трехслойность стенки.

Фиг. 9—11—*Sogdianina angulata* *Saitovskaja*. 9 — экземпляры с маленькой внутренней полостью и толстой стенкой; 10—12* *Uralijella bicamerata* Bykova. Зеравшано-Гиссарская область, левобережье р. Зеравшан в районе селения Урмитан. Средний девон.

Фиг. 13—15—*Sogdianina angulata* *Saitovskaja*. Характер прикрепления раковин.

* Изображение этого вида из среднедевонских отложений приводится для сравнения.

Таблица III

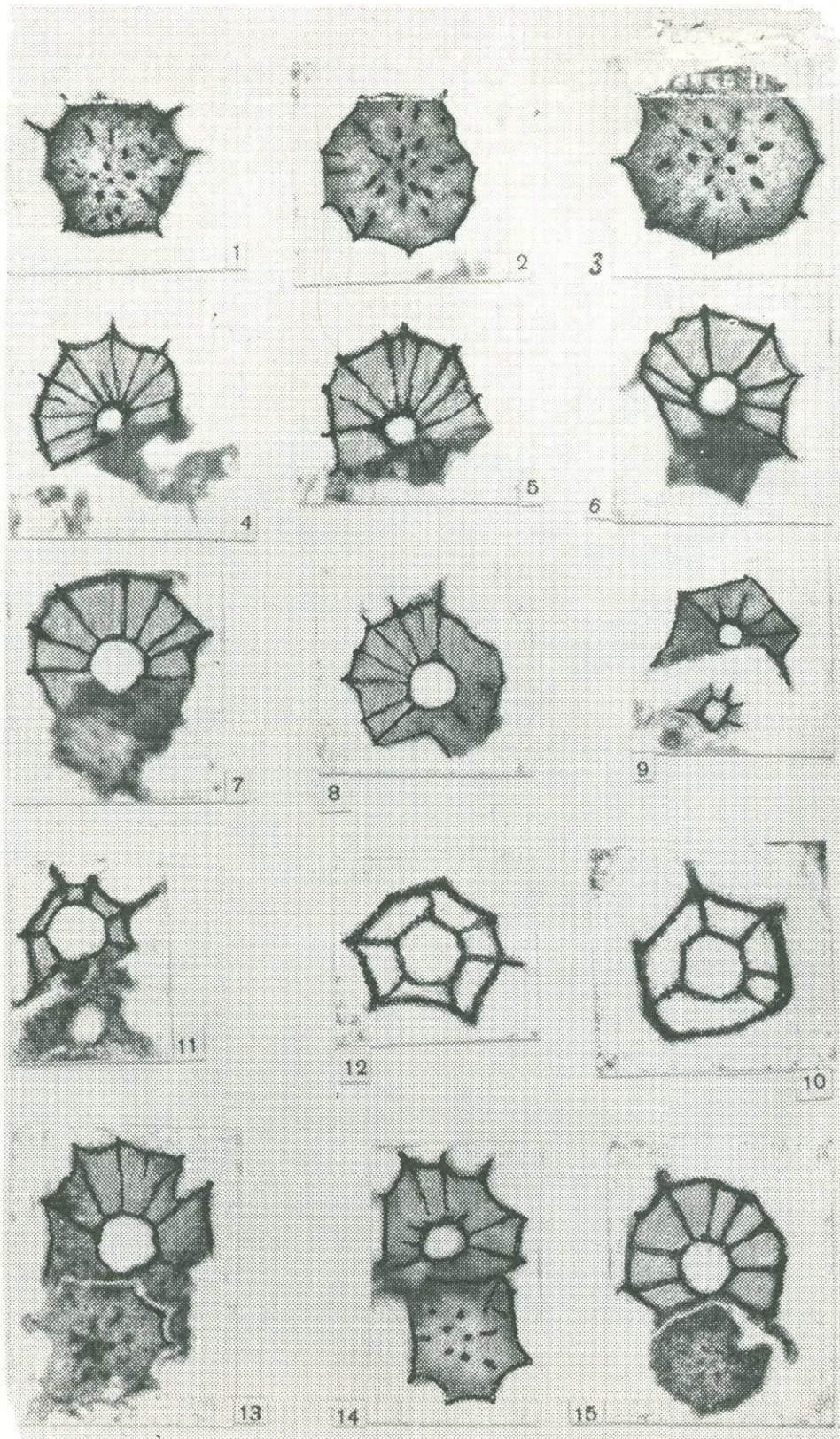


ТАБЛИЦА IV

- Фиг. 1—3—*Ammodiscus tadschikistanicus* sp. nov.:
1 — голотип, осевое скошенное сечение, $\times 75$, бассейн реки Кара-Куль, средний карбон, башкирский ярус, шл. 2524; 2 — осевое сечение, 3 — осевое скошенное сечение.
- Фиг. 4, 5—*Ammodiscus coprastus* Brazhnikova et Potievskaja.
Скошенное и поперечное сечения, $\times 60$. Башкирский и московский ярусы среднего карбона, Зеравшано-Гиссарская горная область.
- Фиг. 6—*Ammodiscus multivolutus* Reitlinger.
Осевое сечение, $\times 100$. Зеравшано-Гиссарская горная область, наимюр и средний карбон.
- Фиг. 7, 9—*Forschia subangulata* (Moeller).
Осевое сечение, $\times 45$. Зеравшано-Гиссарская горная область, визейский ярус.
- Фиг. 8—*Forschia mikhailovi* Dain.
Осевое сечение, $\times 65$. Зеравшано-Гиссарская горная область, визейский ярус.
- Фиг. 10—*Haplophragmina potensa* Reitlinger.
Продольное сечение, $\times 40$. Зеравшано-Гиссарская горная область, средний карбон.
- Фиг. 11—*Haplophragmina* sp.
Зеравшано-Гиссарская горная область, бассейн р. Ривут, средний карбон, каширский горизонт, $\times 35$.
- Фиг. 12—14—*Haplophragmina kashirica* Reitlinger.
Продольные сечения, $\times 40$. Зеравшано-Гиссарская горная область, долины рек Ривут и Шинг. Средний карбон, московский ярус.
- Фиг. 15—*Bradyina cribrostomata* Rauser et Reitlinger.
Поперечное сечение, $\times 30$. Зеравшано-Гиссарская горная область, верхняя часть наимурского и башкирского ярусов.

Таблица IV



ТАБЛИЦА V

Фиг. 1—*Bradyina eonauiliformis* Reitlinger.

Поперечное сечение, $\times 30$. Зеравшано-Гиссарская горная область. Средний карбон, московский ярус.

Фиг. 2—*Bradyina sphaeroidea* Putrja.

Продольное сечение, $\times 20$. Зеравшано-Гиссарская горная область. Средний карбон, московский ярус.

Фиг. 3—*Plectogyra omphalota* (Rauser et Reitlinger).

Осьвое скошенное сечение, $\times 50$. Зеравшано-Гиссарская горная область, визейский ярус.

Фиг. 4—*Plectogyra bradyi* (Mikhailov).

Скошенное поперечное сечение, $\times 100$. Зеравшано-Гиссарская горная область, визейский средний карбон.

Фиг. 5—*Globoendothyra globulus* (Eichwald).

Осьвое скошенное сечение, $\times 45$. Зеравшано-Гиссарская область, визейский ярус.

Фиг. 6—*Plectogyra similis* (Rauser et Reitlinger), $\times 70$.

Зеравшано-Гиссарская область, визейский ярус.

Фиг. 7—*Endrothyranopsis crassus* (Brady).

Осьвое сечение, $\times 45$. Зеравшано-Гиссарская область, визейский ярус.

Фиг. 8, 9—*Mediocris mediocris* (Vissarionova).

Осьвое сечение, $\times 70$. Зеравшано-Гиссарская область, нижний карбон.

Фиг. 10—*Pseudostaffella subquadrata* Grozdilova et Lebedeva.

Осьвое сечение, $\times 35$. Зеравшано-Гиссарская область, средний карбон.

Фиг. 11—*Profusulinella elegans* sp. nov.

Осьвое сечение, $\times 25$. Зеравшано-Гиссарская область, московский ярус среднего карбона.

Фиг. 12—*Profusulinella pararhomboides* Rauser et Beljaev.

Осьвое сечение, $\times 35$. Зеравшано-Гиссарская область, башкирский и нижняя часть московского ярусов.

Фиг. 13—*Profusulinella staffellaeformis* Kireeva.

Осьвое скошенное сечение, $\times 30$. Зеравшано-Гиссарская область, башкирский и нижняя часть московского яруса.

Фиг. 14—*Ozawainella* sp.

Осьвое сечение, $\times 40$. Зеравшано-Гиссарская область, от верейского до мячковского горизонтов, чаше каширский.

Таблица V

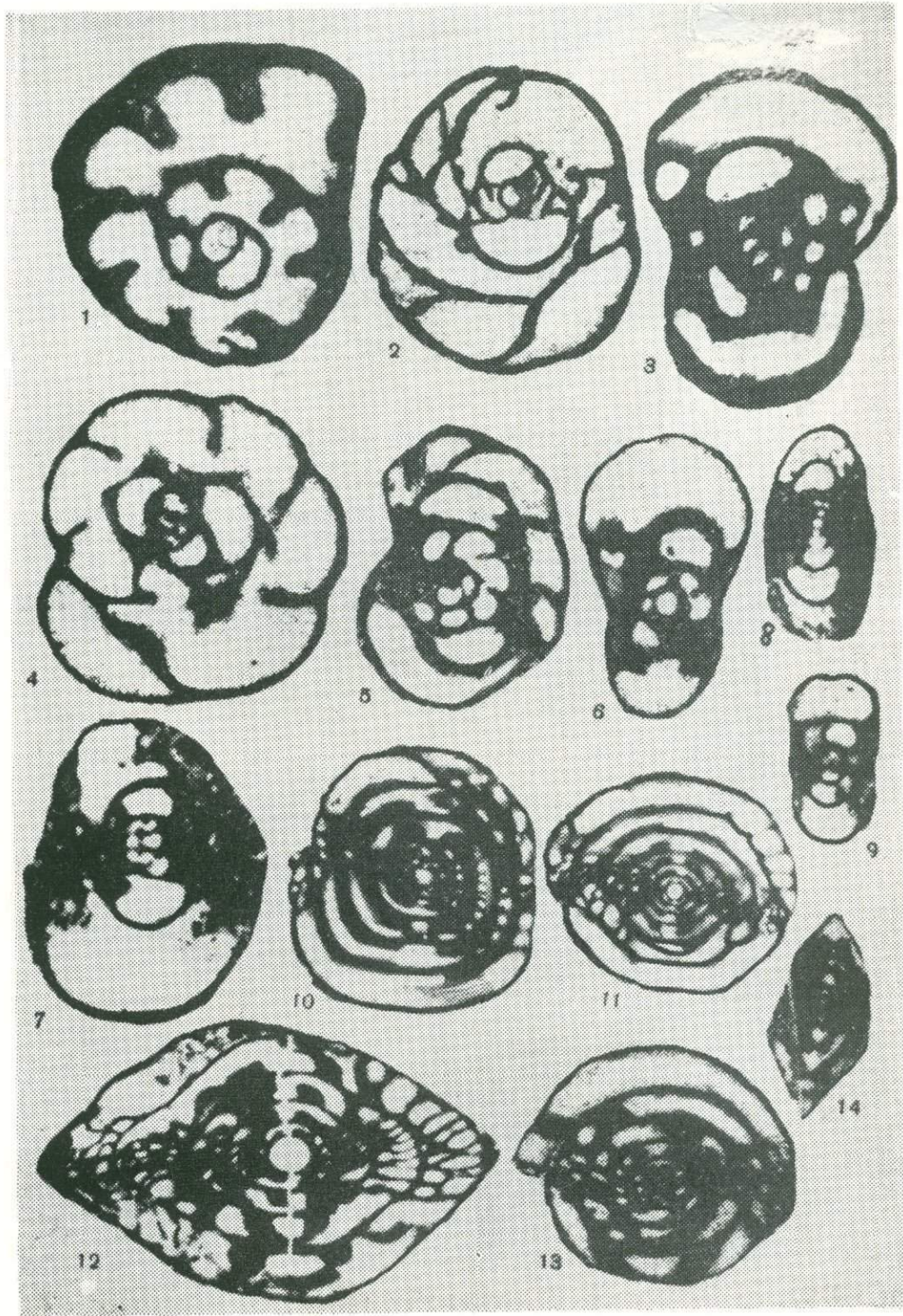


ТАБЛИЦА VI

Фиг. 1, 2—*Verella varsanofievae* Dalmatskaya:

1 — аксиальное сечение, $\times 20$. Бассейн р. Кара-Куль, нижнебашкирский подъярус, шл. 2517—30; 2 — аксиальное сечение, $\times 20$ шл. 2724.

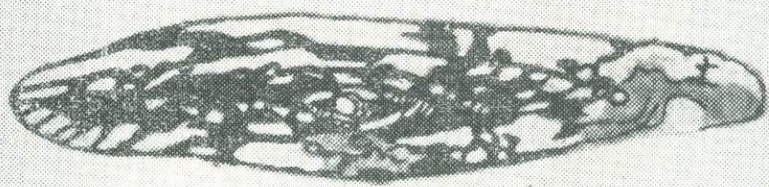
Фиг. 3, 4—*Verella spicata* Dalmatskaya:

3 — аксиальное сечение, $\times 20$. Бассейн р. Кара-Куль, башкирский ярус, шл. 2517—1;
4 — аксиальное сечение, $\times 20$, шл. 2517—2.

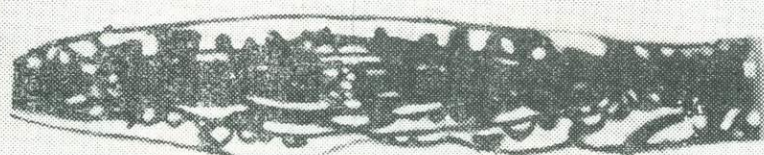
Фиг. 5—*Verella grandicamerata* sp. nov.

Голотип. Аксиальное сечение, $\times 20$. Бассейн р. Кара-Куль, башкирский ярус, шл. 2517—4.

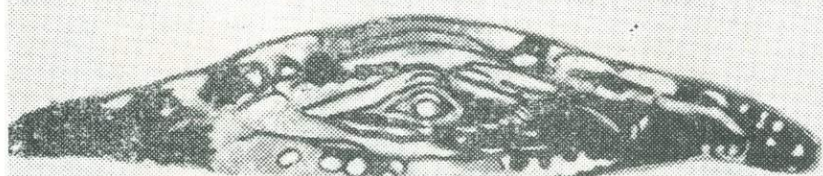
Таблица VI



1



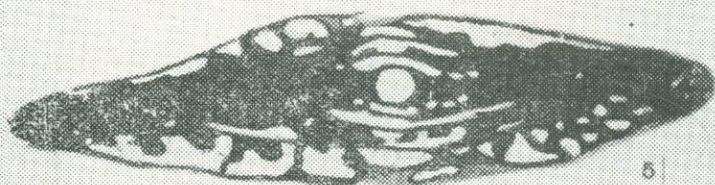
2



3



4



5

ТАБЛИЦА VII

Фиг. 1—*Eofusulina triangula* (Rauser et Beljaev).
Аксиальное сечение, $\times 20$. Бассейн р. Шинг, средний карбон, нижняя часть московского яруса, шл. 2517—5.

Фиг. 2—*Eofusulina serrata* sp. nov.
Голотип. Аксиальное сечение, $\times 20$. Бассейн р. Шинг. Башкирский ярус, шл. 2669—5

Фиг. 3, 4—*Eofusulina crassa* sp. nov.:
3 — аксиальное сечение, $\times 20$, 4 — голотип. Аксиальное сечение, $\times 20$. Бассейн р. Шинг, башкирский и московский ярусы, шл. 2669—4.

Фиг. 5—*Eofusulina simplex* sp. nov.
Голотип. Аксиальное сечение, $\times 20$. Бассейн р. Кара-Куль, московский ярус, нижнемосковский подъярус, шл. 2517.

Таблица VII

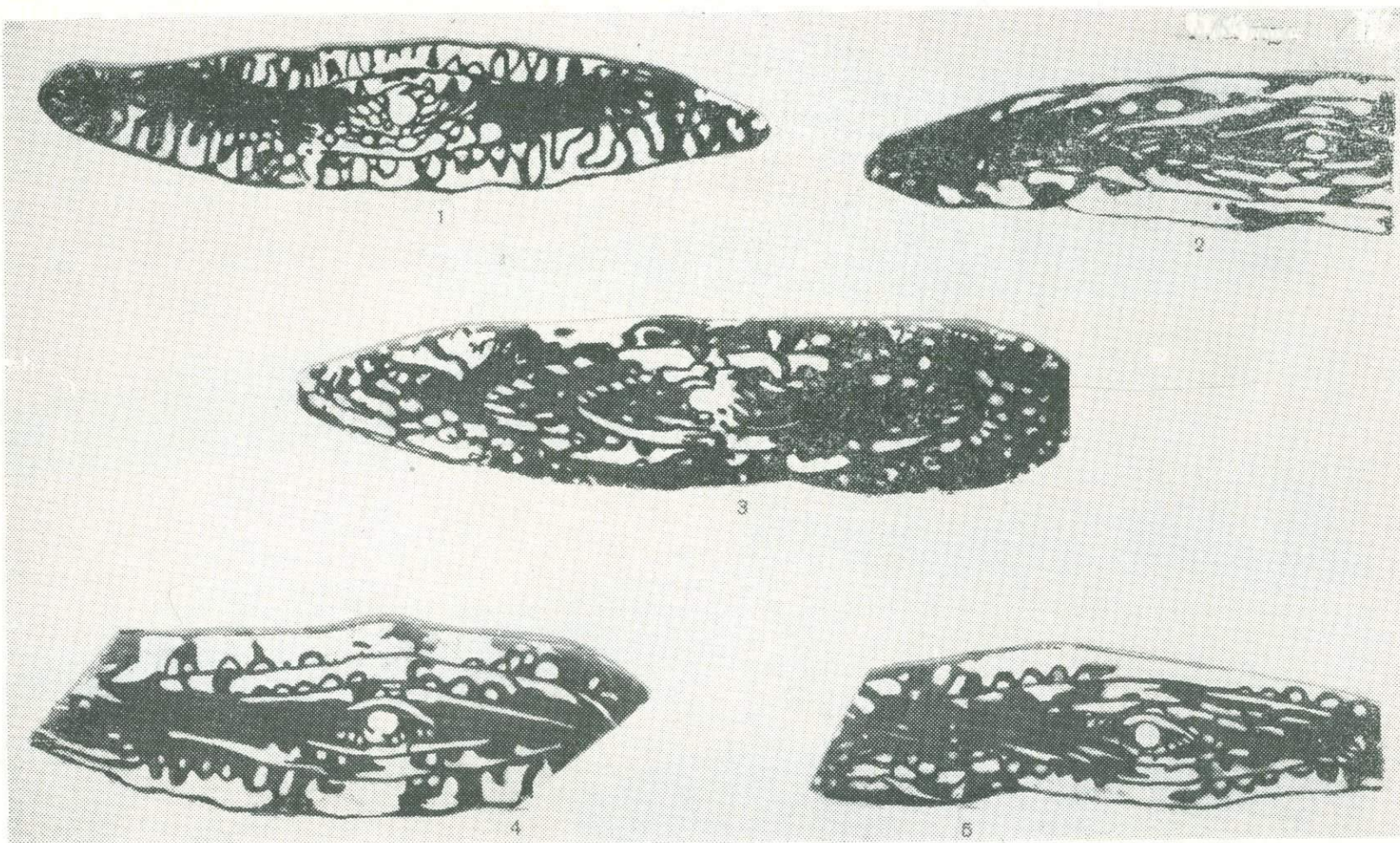


ТАБЛИЦА VIII

Фиг. 1, 2—*Paraeofusulina angusta* sp. nov.:

1 — голотин, аксиальное сечение, $\times 18$. Бассейн р. Кара-Куль, московский ярус, нижнемосковский подъярус, шл. № 400; 2 — аксиальное сечение, $\times 20$, шл. 401.

Фиг. 3, 4—*Paraeofusulina arcuata* sp. nov.:

3 — голотин, аксиальное сечение, $\times 20$. Бассейн р. Шинг, правый борт Ак-Су, московский ярус, нижнемосковский подъярус, шл. 2723; 4 — аксиальное сечение, $\times 20$, шл. 2723—1.

Фиг. 5, 6—*Paraeofusulina subtilissima* Putrja:

5 — аксиальное сечение, $\times 20$. 6 — аксиальное сечение, $\times 20$, шл. 2560—1. Бассейн р. Шинг, московский ярус, шл. 2560.

Таблица VIII

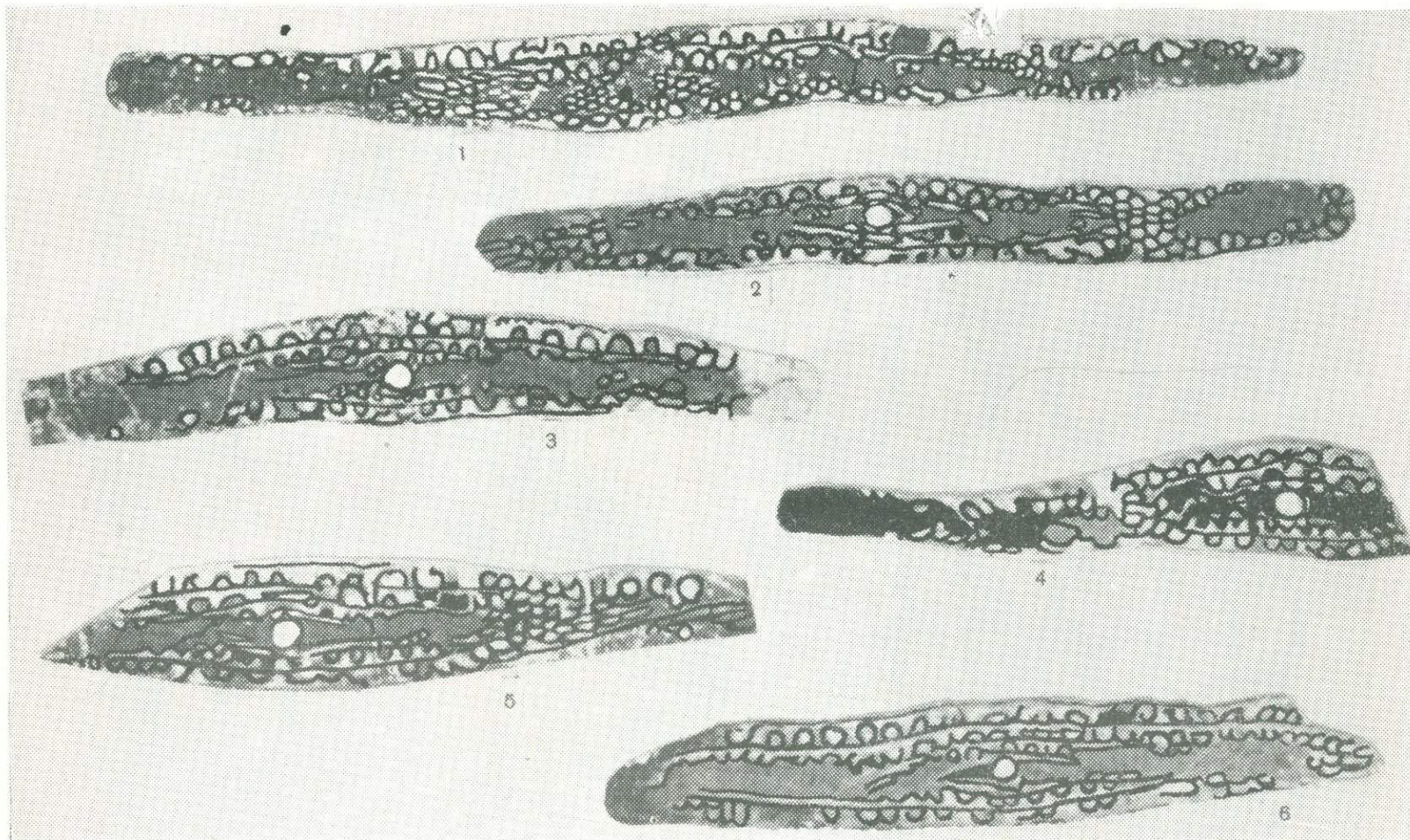


ТАБЛИЦА IX

Фиг. 1—*Palaeotextularia consobrina* Lipina.

Осевое сечение, $\times 75$. Зеравшано-Гиссарская область, нижний карбон.

Фиг. 2, 3—*Palaeotextularia spiroplectammina diversa* (N. Tchernysheva).

Осевое сечение, $\times 45$. Зеравшано-Гиссарская область, визейский ярус.

Фиг. 4—*Palaeotextularia eofragilis* Reitlinger.

Осевое сечение, $\times 50$. Зеравшано-Гиссарская область, башкирский и московский ярусы.

Фиг. 5—*Palaeotextularia laticuneata* sp. nov.

Осевое сечение, $\times 50$. Зеравшано-Гиссарская область, визейский ярус.

Фиг. 6—*Cribrostomata recurrens* Lipina.

Осевое сечение, $\times 65$. Зеравшано-Гиссарская область.

Фиг. 7—*Palaeotextularia crassa* sp. nov.

Осевое сечение, $\times 40$. Зеравшано-Гиссарская область, средний карбон, башкирский ярус, визейский ярус.

Фиг. 8, 9—*Tetrataxis conica* Ehrenberg.

Осевое сечение, $\times 60$. Зеравшано-Гиссарская область, карбон.

Фиг. 10, 11—*Globivalvulina scaphoidea* Reitlinger.

Поперечное сечение, $\times 40$. Зеравшано-Гиссарская область, кантирский горизонт.

Таблица IX

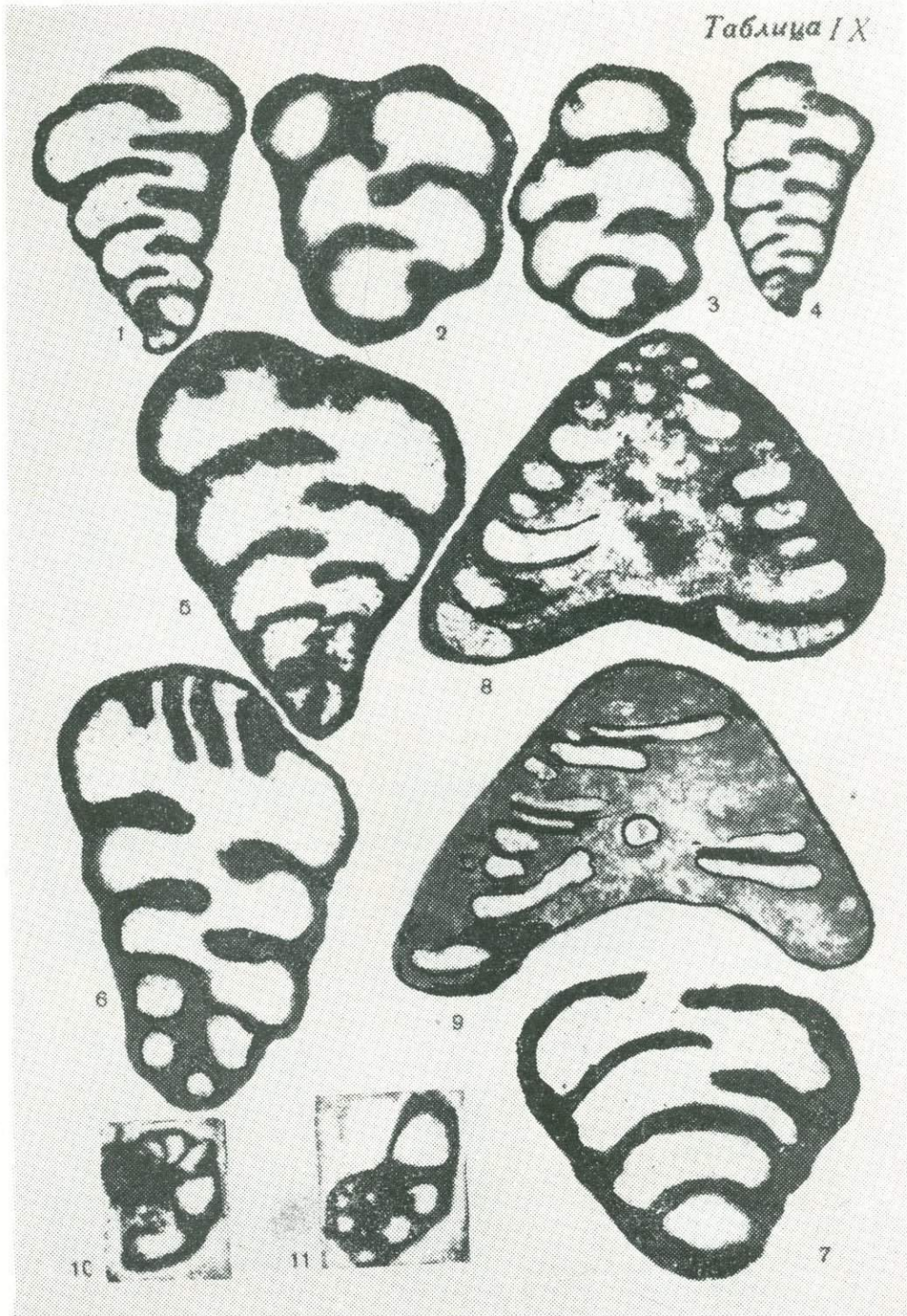


ТАБЛИЦА X

Фиг. 1—3—*Archaediscus krestovnikovi* Rauser.

Осевое сечение, $\times 100$. Зеравшано-Гиссарская область, визейский ярус.

Фиг. 4—*Archaediscus karteri* Brady.

Осевое сечение, $\times 100$. Зеравшано-Гиссарская область, визейский—намюрский ярусы.

Фиг. 5—*Archaediscus gissaricus* Saltovskaja.

Осевое сечение, $\times 100$. Зеравшано-Гиссарская область, московский ярус, верхняя часть каширского горизонта.

Фиг. 6—*Archaediscus moelleri* var. *gigas* Rauser.

Осевое сечение, $\times 120$. Зеравшано-Гиссарская область, визейский ярус.

Фиг. 7—*Archaediscus subcylindricus* Brazhnikova et Potievskaja.

Осевое сечение, $\times 50$. Зеравшано-Гиссарская область, верхняя часть нижнего и нижней части среднего карбона.

Фиг. 8, 9—*Asteroarchaediscus baschkiricus* (Krestovnikov et Theodorovitch).

Осевое сечение, $\times 60$. Зеравшано-Гиссарская область, верхний визе, намюр, башкирский ярус.

Фиг. 10, 11—*Asteroarchaediscus ovoides* (Rauser).

Осевое сечение, $\times 100$. Зеравшано-Гиссарская область, намюрский и башкирский ярусы.

Фиг. 12—*Asteroarchaediscus cyclopus* sp. nov.

Осевое сечение, $\times 110$. Зеравшано-Гиссарская область, башкирский ярус.

Фиг. 13—*Neoarchaediscus postrugosus* (Reitlinger).

Осевое сечение, $\times 50$. Зеравшано-Гиссарская область, нижнебашкирский подъярус.

Фиг. 14—*Neoarchaediscus gregorii* (Dain).

Осевое сечение, $\times 90$. Зеравшано-Гиссарская область, нижнебашкирский подъярус.

Фиг. 15—*Neoarchaediscus minimus*. Grozdilova et Lebedeva.

Осевое сечение, $\times 130$. Зеравшано-Гиссарская область, нижнебашкирский подъярус.

Фиг. 16—*Asteroarchaediscus karakulicus* sp. nov.

Осевое сечение, $\times 60$. Зеравшано-Гиссарская область, нижнебашкирский подъярус.

Фиг. 17—*Planoarchaediscus spirillinoides* (Rauser).

Осевое сечение, $\times 80$. Зеравшано-Гиссарская область, нижнее—среднее визе.

Фиг. 18, 19—*Howchinia (Monotaxis) gibba* (Moeller).

Осевое сечение, $\times 50$. Зеравшано-Гиссарская область, визейский ярус.

Таблица X

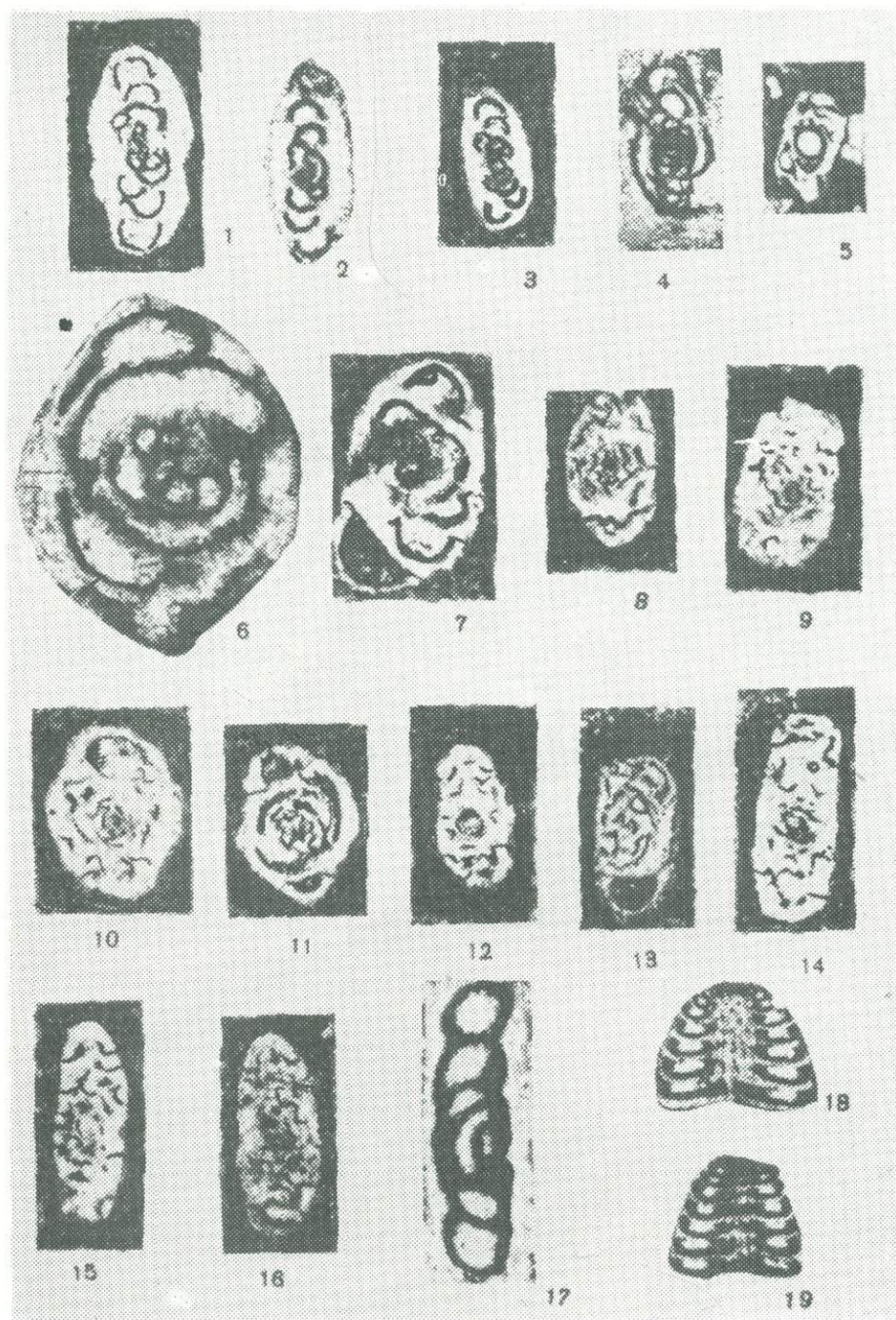


ТАБЛИЦА XI

Фиг. 1, 2—*Maclaella multiformis* sp. nov.

Обломки слоевиц, выделенные из породы. Натуральная величина. Зеравшано-Гиссарская область, бассейн р. Зидды. Нижний карбон, визейский ярус, якарчинская свита.

Фиг. 3—*Maclaella multiformis* sp. nov.

Полости—вздутия почковидной формы. Натуральная величина.

Фиг. 4, 5—*Maclaella multiformis* sp. nov.:

4 — обломок слоевица с намечающейся веточкой; 5 — обломок слоевица, на срезе которого видно: а) осевую часть слоевица, заполненную породой; в) оболочку. Натуральная величина. Зеравшано-Гиссарская область. Нижний карбон, якарчинская свита.

Фиг. 6, 7—*Maclaella multiformis* sp. nov.

Продольные и поперечные сечения ветвей водоросли. Натуральная величина. Пришлифовки.

Таблица XI

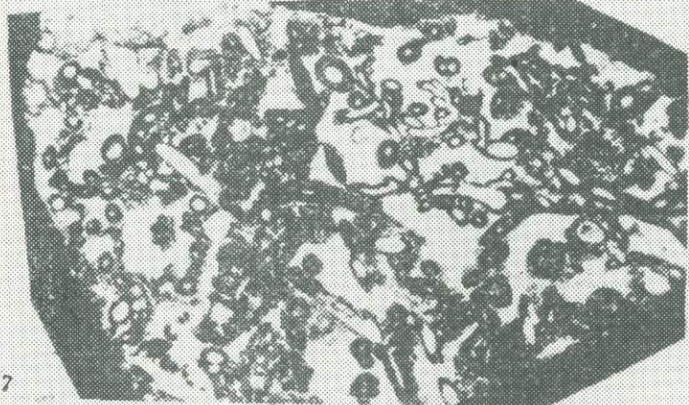
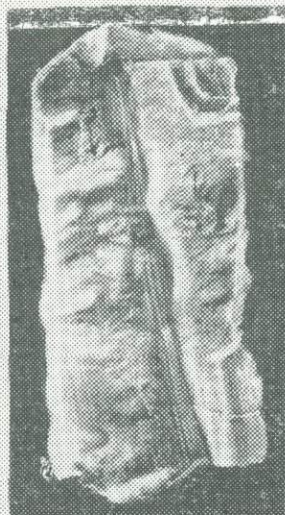


ТАБЛИЦА XII

Фиг. 1—5—*Maclaella multiformis* sp. nov.

Продольные сечения веточек. Натуральная величина. Пришлифовки. Зеравшано-Гисарская область, бассейн р. Зидды, нижний карбон.

Фиг. 6, 7—*Maclaella multiformis* sp. nov.

Поперечное сечение слоевищ. Шлифы, $\times 20$.

Таблица XIII

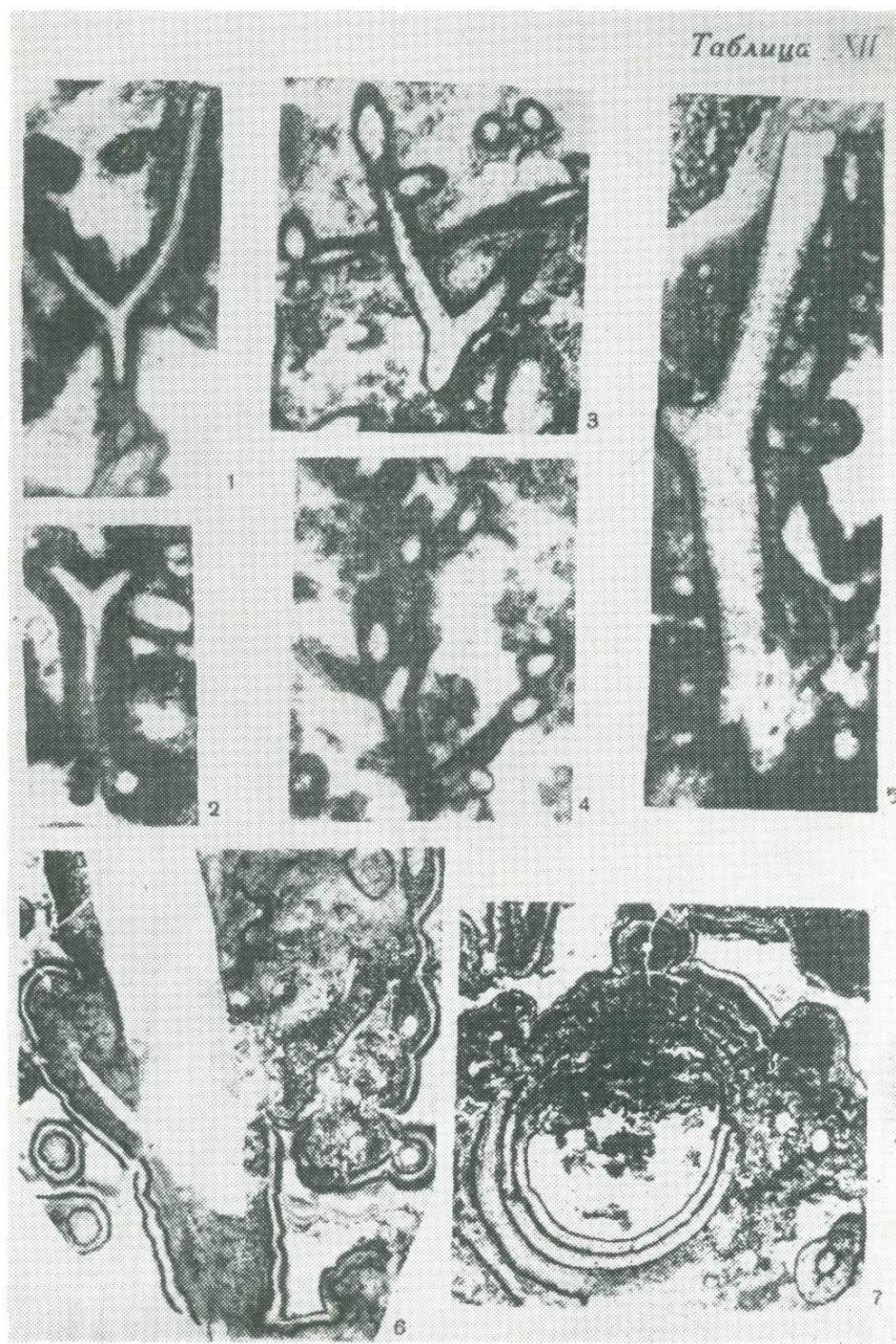


ТАБЛИЦА XIII

Фиг. 1—4—*Macellaella multiformis* sp. nov.

Гиродольные сечения веточек в породе. Натуральная величина. Зеравшано-Гиссарская область, бассейн р. Зидды. Нижний карбон.

Таблица XIII

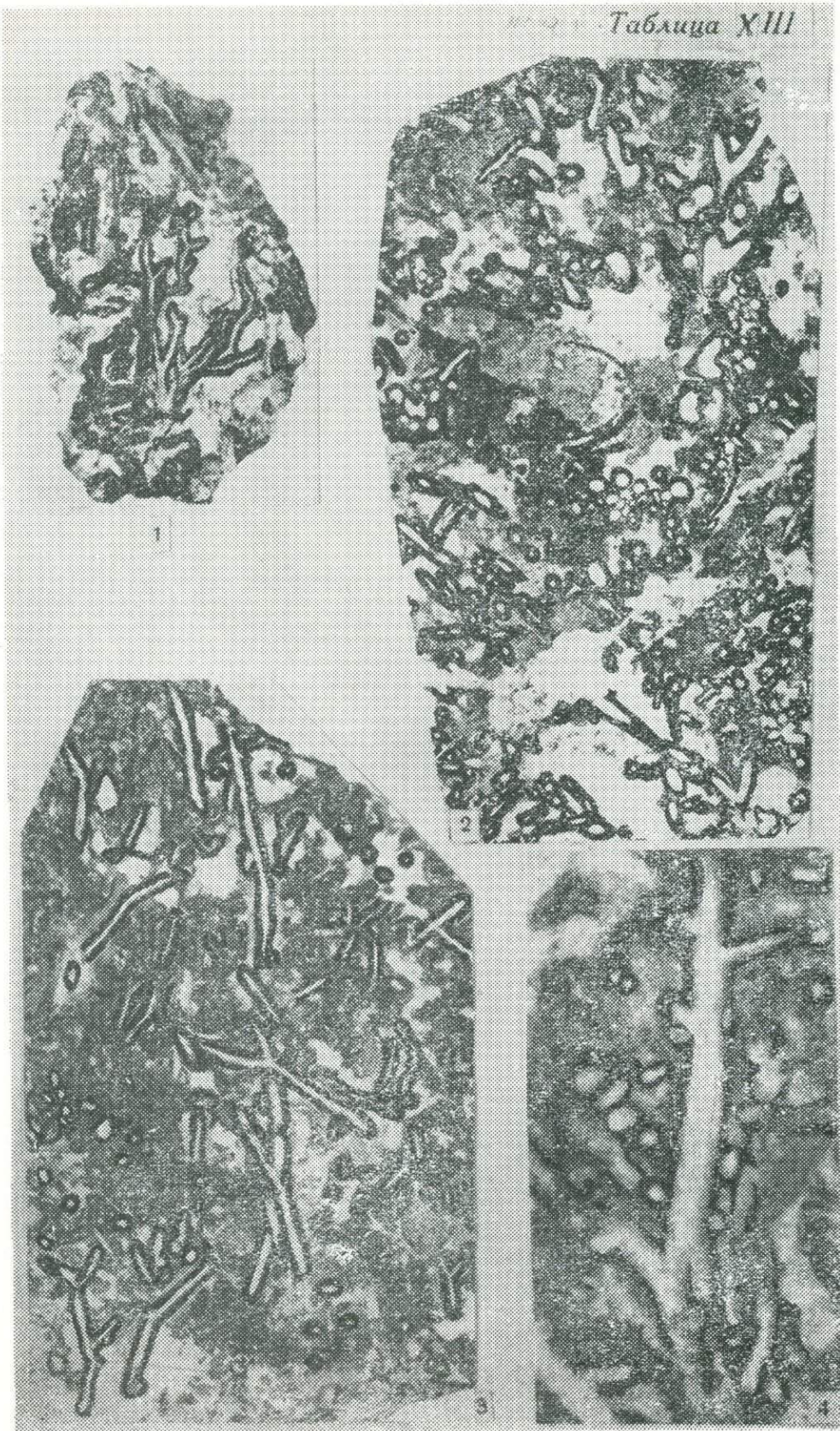


ТАБЛИЦА XIV

Фиг. 1—*Beresella gisarica* Saltovskaja.
Голотип, продольное сечение, $\times 45$, бассейн р. Шинг, средний карбон, верхнемосковский подъярус.

Фиг. 2—4—*Beresella translucens* Kulik.
Продольные сечения, $\times 45$, бассейн р. Зеравшан, средний карбон, верхнебашкирский—нижнемосковский подъярусы.

Фиг. 7—*Beresella erepta* Maslov et Kulik.
Продольное сечение, $\times 45$, бассейн р. Шинг, средний карбон.

Фиг. 5, 6—*Samarella setosa* Maslov et Kulik:
5 — поперечное сечение, $\times 45$. Зеравшано-Гиссарская область, бассейн р. Шинг, средний карбон, московский ярус; 6 — продольное сечение.

Фиг. 8, 9—*Dvinella comata* Chvorova.
Продольные сечения, $\times 40$, бассейн р. Зеравшан, средний карбон, московский ярус.

Таблица XIV

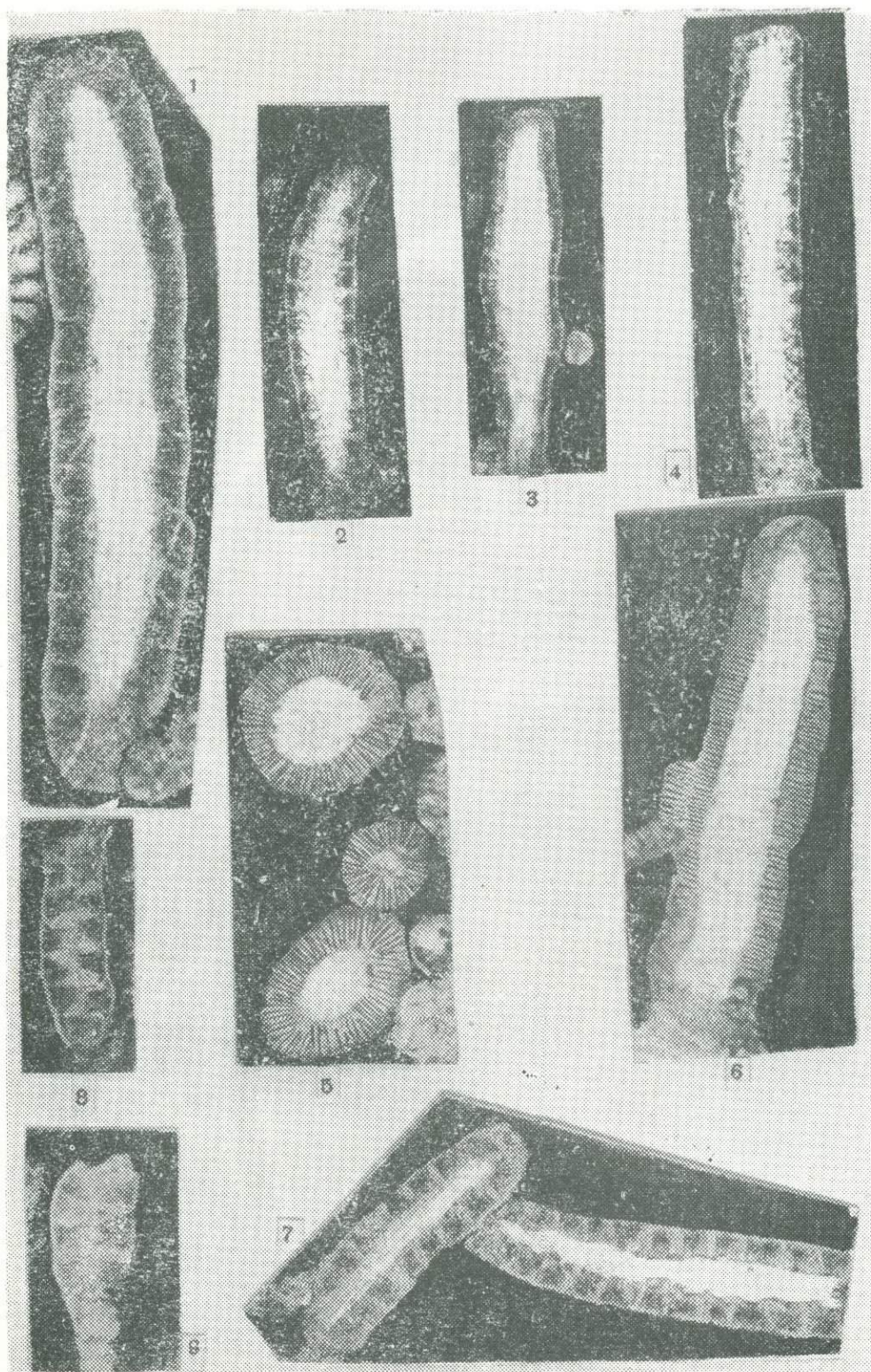


ТАБЛИЦА XV

Фиг. 1—5—*Kamaena delicata* Antropov.

Продольные сечения слоевиц. Зеравшано-Гиссарская область, бассейн р. Зиды, нижний карбон, среднее визе, якарчинская свита.

Фиг. 6—*Kamaena delicata* Antropov.

Хорошо видно ветвление слоевица под прямым углом и строение оболочки. Шлиф. $\times 100$.

Фиг. 7, 8—*Kamaena delicata* Antropov.

Увеличенные участки слоевиц с отчетливо видимыми перегородками. Шлифы, $\times 100$.

Таблица XV

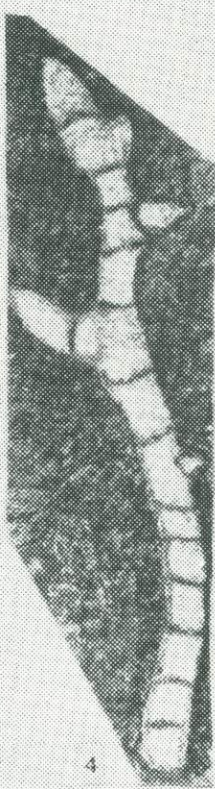
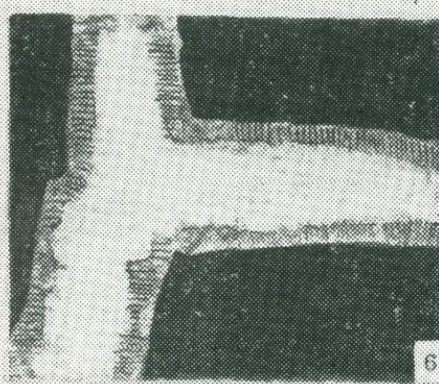
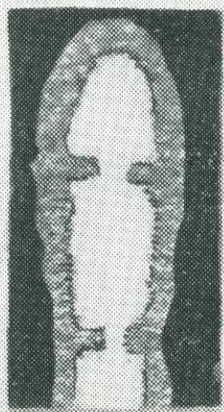
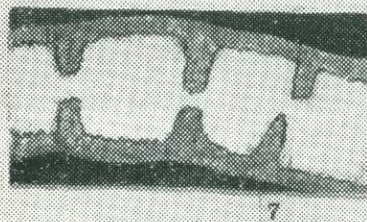
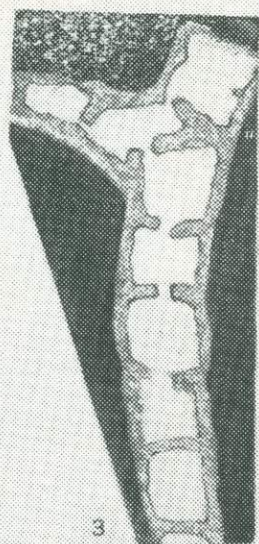
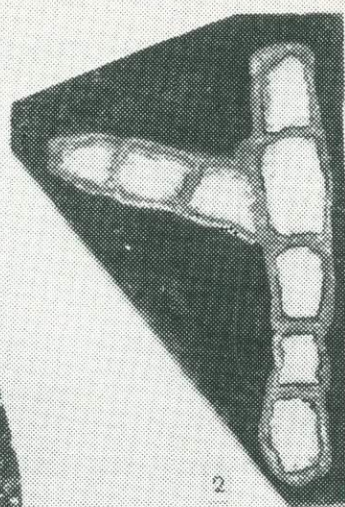
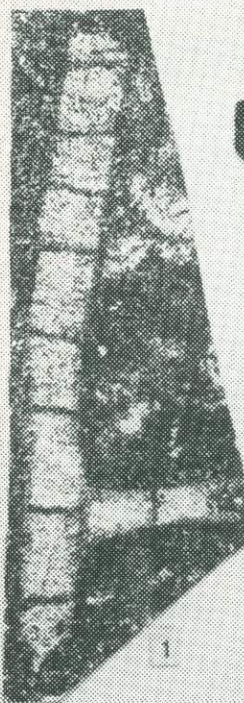


ТАБЛИЦА XVI

Фиг. 1—*Ungdarella uralica* Maslov.

Продольное и поперечное сечения, шлиф, $\times 30$. Зеравшано-Гиссарская горная область, нижний — средний карбон.

Фиг. 2—4—*Ungdarella uralica* Maslov.

Поперечные сечения, шлиф, $\times 30$. Зеравшано-Гиссарская область, нижний — средний карбон.

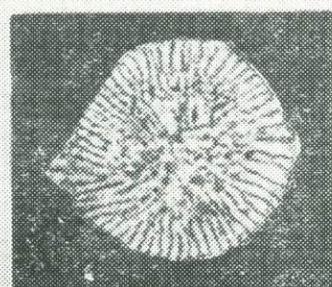
Таблица XVI



1



2



4

ТАБЛИЦА XVII

Фиг. 1, 2*—*Calcifolium okenze* Schwetzov et Birina.

Поперечные сечения через пластины, шлиф. Зеравшано-Гиссарская горная область, нижний карбон, верхнее визе.

Фиг. 3, 4*—*Koninckopora inflata* (de Koninck).

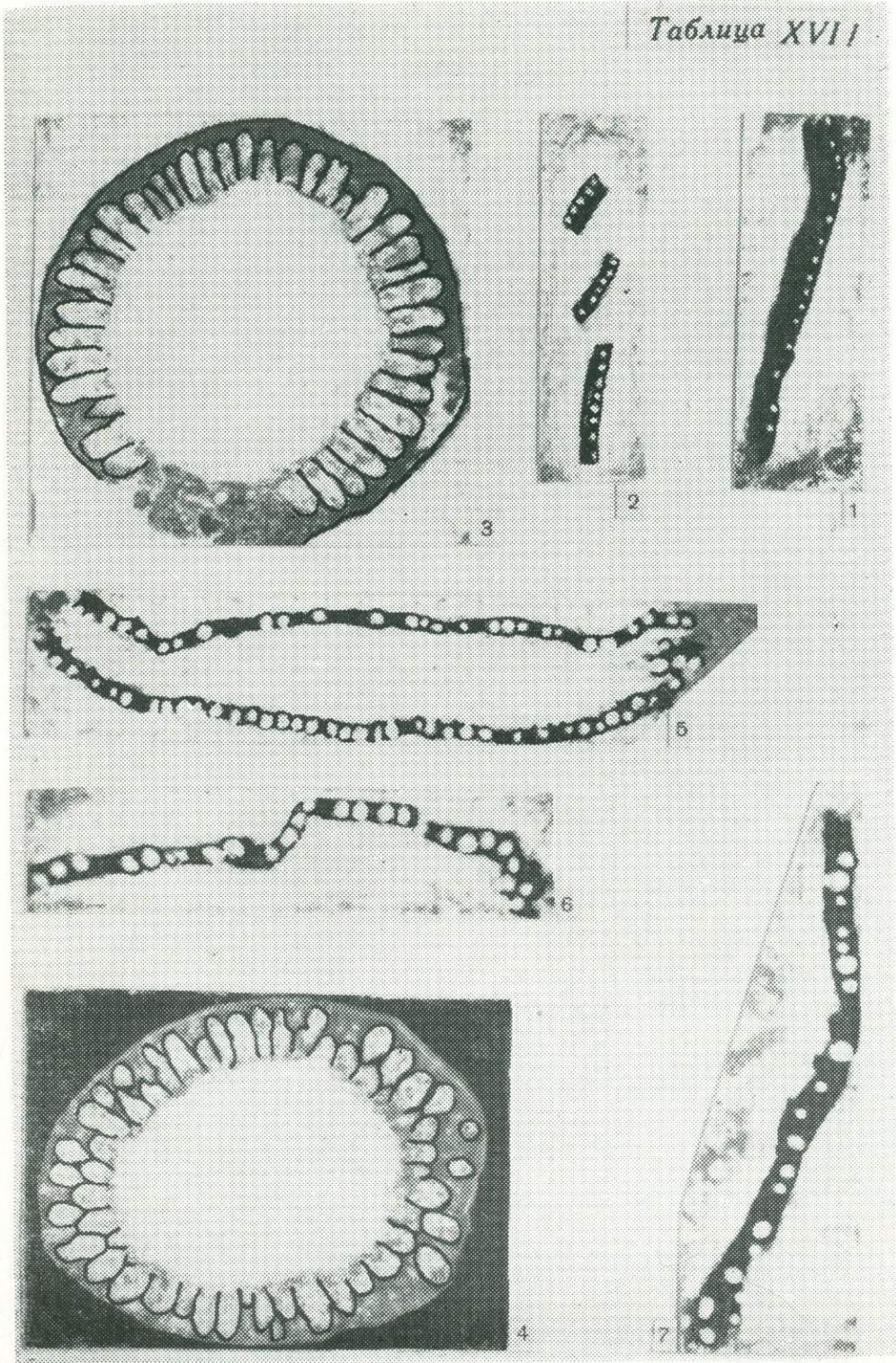
Поперечные сечения, шлифы, Зеравшано-Гиссарская горная область, нижний карбон, среднее визе.

Фиг. 5—7*—*Koninckopora tenera* sp. nov.:

5 — голотип, шлиф; 6, 7—тangenциальные сечения, шлифы. Зеравшано-Гиссарская горная область, нижний карбон, среднее визе.

* Формы, не описанные в данной работе.

Таблица XVII



ЛИТЕРАТУРА

Антропов И. А. Водоросли девона и нижнего карбона (турне) Центральной части востока Русской платформы. Исследование водоросли СССР. "Наука", М.-Л., 1967.

Балахматова В. Т. и Рейтлингер Е. А. Отряд Ataxophragmiida. В кн.: "Основы палеонтологии". Общая часть, простейшие. Изд-во АН СССР, М., 1959.

Богуш О. И. и Юферев О. В. Фораминиферы и стратиграфия каменноугольных отложений Караганы и Таласского Алатау. Изд-во АН СССР, М., 1962.

Богуш О. И. Фораминиферы и стратиграфия среднего и верхнего карбона восточной части Алайского хребта. Изд-во АН СССР, Сиб. отд. М., 1963.

Богуш О. И. Герасимов Е. К., Юферев О. В. Нижний карбон низовьев Лены. "Наука", М., 1965.

Бражникова Н. Е. Материалы к изучению фауны фораминифер западной окраины Донбасса. Киев, 1947.

Бражникова Н. Е., Потиевская П. Д. Наслідки вивчення форамініфер за матеріалами свердловин західної окраїни Донбасу. Зб. праць палеонтології та стратиграфії, Т. 2, вып. 2, Київ, 1948.

Бражникова Н. Е. Микрофауна наморського яруса Донецького басейна (район р. Кальміус). Фонди АН УССР. 1949.

Бражникова Н. Е. Презентація фауни форамініфер на межі нижнього та середнього карбону Донбасу. Геол. ж. АН УССР. Т. 2, вып. 3, 1951.

Бражникова Н. Е. Фораминиферы. Fauna и Flora каменно-угольных отложений Галицко-Волынской впадины. Тр. Ин-та геол. наук АН УССР. Сер. стратигр. и палеонтол. Вып. 10, 1956.

Бражникова Н. Е. Материалы до вивчення форамініфер Центрального району Донбаса. Геол. ж. АН УССР. Т. 6, вып. 1-2, 1939.

Бражникова Н. Е., Вакарчук Г. И., Вдовенко и др. Микрофаунистические маркирующие горизонты каменноугольных и пермских отложений Днепровско-Донецкой впадины. Изд-во "Наукова думка", Київ, 1967.

Бражникова Н. Е., Ростовцева Л. Ф. К изучению ранневизейских Endothygranopsinae Донецкого бассейна и других районов. В сб.: "Фауна нижневизейских отложений Большого Донбасса". Изд-во "Наукова думка", Київ, 1967.

Быкова Е. В. Фораминиферы и радиолярии девона Волго-Уральской области и Центрального девонского поля и их значение для стратиграфии. Тр. ВНИГРИ. Нов. сер. Вып. 87, М., 1955.

Быкова Е. В. Фораминиферы девона Русской платформы и Приуралья. Тр. ВНИГРИ. Нов. сер. Вып. 60. Сб. 5. М., 1952.

Быкова Е. В. и Рейтлингер Е. А. Отряд Astrotrizida. В кн.: "Основы палеонтологии". Общая часть, простейшие. Изд-во АН СССР, 1959.

Вдовенко М. В. Описание новых видов фораминифер из верхнетурнейских и нижневизейских отложений Донецкого бассейна. Вестн. Киевск. ун-та, сер. геол. и геофиз., вып. 2, № 3. Киев, 1960.

Вдовенко М. В. Некоторые представители Endothyridae, Tournayellidae и Lituolidae из нижневизейских отложений Большого Донбасса. В сб.: "Фауна нижневизейских отложений Большого Донбасса". Изд-во "Наукова думка", Київ, 1967.

Венюков П. Нижнекаменноугольные отложения реки Бордун. Зап. минер. о-ва. Сер. 2. Ч. 25. 1889.

Виноградов П. Д. и др. Новые данные по стратиграфии среднепалеозойских отложений Центрального Таджикистана. В сб.: "Геология Средней Азии". Изд-во ЛГУ, 1961.

Виссарионова А. Я. Примитивные фузулииды из нижнего карбона Европейской части СССР. Тр. Ин-та геол. АН СССР. Вып. 62. Геол. сер. (15), М., 1948.

Виссарионова А. Я. Группа Endothyra globulus Eichv. из визейского яруса нижнего карбона Европейской части Союза. Тр. Ин-та геол. АН СССР. Вып. 62. Геол. сер. (19). М., 1948.

Волоскинова Н. А., Даин Л. Г., Рейтлингер Е. А. Отряд Ammodiscida. В кн.: "Основы палеонтологии". Общая часть, простейшие. Изд-во АН СССР, М., 1959.

Волоскинова Н. А., Рейтлингер Е. А. Отряд Endothyrida. В кн.: "Основы палеонтологии". Общая часть, простейшие. Изд-во АН СССР, М., 1959.

Ганелина Р. А. Фораминиферы визейских отложений северо-западных районов Подмосковной котловины. Тр. ВНИГРИ. Нов. сер. Вып. 98. М., 1956.

Гродилова Л. П., Лебедева Н. С. Некоторые виды штаффел среднекаменноугольных отложений западного склона Урала. Тр. ВНИГРИ. Нов. сер. Вып. 50. М., 1950.

Гродилова Л. П. Архелисциды. Ископаемые фораминиферы СССР. Тр. ВНИГРИ. Нов. сер. Вып. 74. М., 1953.

Гродилова Л. П. Фораминиферы нижнего карбона и башкирского яруса среднего карбона Кузнецко-Вишерского края. Тр. ВНИГРИ. Нов. сер. Вып. 81, 1954.

Гродилова Л. П., Лебедева Н. С. Фораминиферы каменноугольных отложений западного склона Урала и Тимана. Тр. ВНИГРИ. Вып. 150. 1960.

Голубцов В. К. Стратиграфия и фораминиферы визейского яруса Пригятского прогиба. Тр. АН БССР. Палеонтол. и стратигр. БССР. Сб. 2. Минск, 1957.

Далматская И. И. Новый род фузулинид из нижней части среднекаменноугольных отложений Русской платформы. Тр. О-ва испыт. природы. Т. I. Отд. геол. Изд-во МОИП, 1951.

Дайн Л. Г. Турнейлиды. Ископаемые фораминиферы СССР. Тр. ВНИГРИ. Нов. сер. Вып. 74, 1953.

Дайн Л. Г., Гродилова Л. П., Мятлюк Е. В. и др. Семейства неясного систематического положения. В кн.: "Основы палеонтологии". Общая часть, простейшие. Изд-во АН СССР, М., 1959.

Дуткевич Г. А. К стратиграфии среднего карбона Урала. Тр. Нефт. геол. -развед. ин-та. Сер. А. Вып. 56, 1935.

Дуркина А. Б. Фораминиферы нижнекаменноугольных отложений Тимана-Печорской провинции. Тр. ВНИГРИ. Вып. 136. Микрофауна СССР. Сб. 10. М., 1959.

Крестовников В. И., Теодорович Г. И. Новый вид рода *Archaediscus* из карбона Южного Урала. Бюлл. о-ва испыт. прир. Нов. сер. Отд. геол. Т. 14(1), 1936.

Кэймен Е. Фораминимеры. ОНТИ, М., 1933.

Клуниников С. И. Геологические исследования в Магиан-Фарабском районе летом 1930 г. Изв. Всесоюзн. геол.-развед. объед. Т. 50. Вып. 68. М.-Л., 1931.

Клуниников С. И. Западная часть Зеравшанского и Гиссарского хребтов. Сб. геол. УзССР. Т. 2. ОНТИ, М., 1937.

Клюкина М. Л. К стратиграфии верхней части ашинской свиты Среднего Урала, по данным литологического изучения. Тр. Ин-та геол. УФАН СССР. Сб. по вопр. стратигр. Вып. 65. № 7. М., 1963.

Кордэ К. Б. Новые роды и виды известковых водорослей из каменноугольных отложений Северного Урала. Тр. Моск. о-ва испыт. прир. Отд. геол. Т. I. М., 1951.

Кордэ К. Б., Кулик Е. Л., Маслов В. П. и др. Тип *Chlorophyta* Семейство *Dasicladaceae*. В кн.: "Основы палеонтологии". Изд-во АН СССР, М., 1963.

Кордэ К. Б. К морфологии мутовчатых сифоней карбона Северного Урала. ДАН СССР. Т. 73. № 3, 1950.

Кулик Е. Л. Березеллиды карбона Русской платформы. "Палеонтол. ж.". № 2. М., 1964.

Кухтиков М. М., Салтовская В. Д., Черенков И. Н. Новые данные о каменноугольных отложениях и геологическом строении южного склона гор Чумкар-Тау (западная оконечность Туркестанского хребта). Зап. Тадж. отд. Всесоюзн. минер. о-ва. Вып. I. Душанбе, 1959.

Лебедева Н. С. Фораминиферы нижнего карбона Кузнецкого бассейна. Тр. ВНИГРИ. Нов. сер. Вып. 81. Микрофауна СССР. Сб. 7. М., 1954.

Липина О. А. Фораминиферы турнейского яруса и верхней части девона Волго-Уральской области и западного склона Среднего Урала. Тр. Ин-та геол. АН СССР. Вып. 163. Геол. сер. М., 1955.

Липина О. А. Фораминиферы чернышинской свиты турнейского яруса Подмосковного нижнего карбона. Тр. Ин-та геол. АН СССР. Вып. 62. Геол. сер. (19). М., 1948.

Липина О. А. Фораминиферы верхнего девона Русской платформы. Тр. Ин-та геол. АН СССР. Вып. 119. Геол. сер. (43). М., 1950.

Малахова Н. П. Фораминиферы кизеловского известняка западного склона Урала. Бюлл. Моск. о-ва испыт. прир. Отд. геол. Т. 29(1). М., 1954.

Малахова Н. П. Фораминиферы известняков Шартымки на Южном Урале. Тр. Горно-геол. ин-та УФАН СССР. Вып. 24. Сб. по вопр. стратигр. № 3, 1956; ее же. Фораминиферы верхнего турне западного склона Северного и Среднего Урала. Тр. Горно-геол. ин-та УФАН СССР. Вып. 24. Сб. по вопр. стратигр. № 3, 1956.

Малахова Н. П. Новый род фораминифер из нижнего девона Урала. "Палеонтол. ж.". № 2. М., 1963.

Малахова Н. П. Фораминифера верхнего турне западного склона Северного и Среднего Урала. Тр. Горн. геол. ин-та УФАН СССР. Вып. 28. № 4. М., 1957.

Маслов В. П. О левом ископаемом семействе багряных и двух новых родах сине-зеленых водорослей карбона. ДАН СССР. Т. 107. № 1. М., 1967.

Маслов В. П. Ископаемые известковые водоросли СССР. Изд-во АН СССР, М., 1956.

Маслов В. П. и Куллик Е. Л. Новая триба водорослей (*Beresellaceae*) из карбона СССР. ДАН СССР. Т. 106. № 1. М., 1956.

Маслов В. П. Значение багряных водорослей для стратиграфии СССР. ДАН СССР. № 70. № 1. М., 1950.

Маслов В. П. Новые данные об органах размножения древнейших багряных водорослей. Изв. АН СССР. Отд. геол. № 6. М., 1950.

Маслов В. П. Тип *Rhodophyta* Семейство *Ungdarellaceae*. В кн.: "Основы палеонтологии". М., 1963.

Меллер В. И. Спирально-свернутые фораминифера каменноугольного известняка России. Мат-лы для геол. России. Т. 8. СПб., 1878.

Меллер В. И. Фораминифера каменноугольного известняка России. Мат-лы геол. России. Т. 9, 1880.

Марковский А. П. Новые данные по стратиграфии и тектонике Зеравшано-Гиссарской горной системы. Изв. ГГРУ. Вып. 50. М., 1931.

Марковский А. П. Основные черты геологического строения средней части Центрального Таджикистана. Тр. ТПЭ. Вып. 4. М., 1934.

Марковский А. П. Зеравшано-Гиссарская горная область. Тр. ТПЭ 1935 года. М.-Л., 1937.

Марковский А. П. Бассейн р. Киттут (средняя часть Зеравшанского хребта). В кн.: "Геология УзССР". Т. 2. М.-Л., 1937.

Марковский А. П. Верховья р. Лайляк и Ак-Су (Туркестанский хребет). Тр. ТПЭ 1934 года. М.-Л., 1935.

Мартышев В. Р. Новые данные о распространении каменноугольных отложений в долине р. Зеравшан. Информ. сб. ВСЕГЕИ, № 5, 1958.

Мартышев В. Р. Стратиграфия среднепалеозойских отложений центральной части Зеравшано-Гиссарской горной области. Сб. мат-лов по геол. и полезн.иск. Средней Азии. Мат-лы ВСЕГЕИ, нов. сер. Вып. 10, 1956.

Марфенкова М. М., Салтовская В. Д. Новые каменноугольные архедисциды Казахстана и Средней Азии. В сб.: "Новые виды древних растений и беспозвоночных СССР". М., "Наука", 1972.

Махаев В. Н. Водоросли как руководящие ископаемые. ДАН СССР. Т. 15. № 8, 1937.

Михайлов А. В. К вопросу о филогении каменноугольных фораминифер. Изв. Ленингр. геол. гидро-геодез. треста. № 2-3 (7-8), 1935.

Михайлов А. В. К характеристике родов нижнекаменноугольных фораминифер территории СССР; его же. О палеозойских *Ammodiscidae*. "Ленингр. упр.". Сб. 3, 1939.

Микулухо-Маклай А. Д. К систематике семейства *Archaediscidae*. "Ежегодник Всесоюзн. палеонт. о-ва". Т. 14, 1953.

Микулухо-Маклай А. Д. К систематике палеозойских фораминифер. Вестн. ЛГУ. № 12, 1955.

Микулухо-Маклай А. Д. Новое семейство фораминифер - *Tiburitinidae*. "Вопросы микропалеонтол.", № 2, 1958.

Микулухо-Маклай А. Д. Верхний палеозой Средней Азии. Изд-во ЛГУ, 1963.

Микулухо-Маклай А. Д. Некоторые девонские водоросли Средней Азии и других областей СССР и их породообразующее палеогеографическое значение. ДАН СССР. Т. 138, № 3, 1961.

Микулухо-Маклай А. Д. Общий обзор палеозойских водорослей СССР и их хронологическое и палеогеографическое значение. Вестн. ЛГУ. № 2, 1951.

Овчинников С. К. Каменноугольные отложения Центрального Таджикистана. В кн.: "Геология СССР". Т. 24. Тадж. ССР. М., 1959.

Пейве А. В. и Смирнов А. Д. Новые данные по стратиграфии и тектонике западной части Зеравшано-Гиссарской горной области. В кн.: "Геол. и полезн.ископ. Зеравшано-Гиссарской горной системы (Таджикистан)". Госгеолтехиздат, М.-Л., 1940.

Путря Ф. С. К стратиграфии среднего карбона Юго-восточной части Большого Донбасса. Мат-лы по геол. и полезн.ископ. Азово-Черном. геол. упр. Сб. I, 1937.

Путря Ф. С. Стратиграфия и фораминифера среднекаменноугольных отложений Восточного Донбасса. Тр. ВНИГРИ. Нов. сер. Вып. 28. Микрофауна СССР. Сб. 8. М., 1956.

Пронина Т. В. Фораминифера березовской свиты карбона восточного склона южного Урала. Тр. Ин-та геол. УФАН СССР. Вып. 65, 1963.

Поярков Б. В. Девонские харофиты Тянь-Шаня. В кн.: "Ископаемые харофиты СССР". Труды, вып. 143. "Наука". М., 1966.

Потиевская П. Д. Некоторые фузулииды и мелкие фораминиферы башкирских отложений Большого Донбасса. Тр. Ин-та геол. АН УССР. Сер. стратигр. и палеонтол. Вып. 2. Изд-во "Наукова думка", Киев, 1964.

Поринякова Я. Ф. Новые данные о намюрских отложениях Алайского хребта (Шаланская свита). Сб. "Геология Средней Азии". Изд-во ЛГУ, 1961.

Пыхьяннов И. В. Комплексы кораллов *Rugosa* из каменноугольных и пермских отложений Северного Памира. Докл. I симпозиума по ископаемым кораллам. Т. 2. М., 1965.

Раузер-Черноусова Д. М. *Rugosofusulina* - новый род фузулиид. Сб. "Этюды по микропалеонтологии". Т. I. Вып. I. М., 1937.

Раузер-Черноусова Д. М. и др. Среднекаменноугольные фузулииды Русской платформы и сопредельных областей. Справочник определитель. Изд-во АН СССР, 1951.

Раузер-Черноусова Д. М., Беляев Г. М. и Рейтлингер Е. А. Верхнепалеозойские фораминиферы Печорского края. Тр. Полярн. комиссии АН СССР. Вып. 28. М.-Л., 1936.

Раузер-Черноусова Д. М., Беляев Г. М. и Рейтлингер Е. А. О фораминиферах каменноугольных отложений Самарской Луки. Тр. Нефт. геол. развед. ин-та Нов. сер. Вып. 7. М.-Л., 1940.

Раузер-Черноусова Д. М., Фурсенко А. В. Определитель фораминифер нефтеносных районов СССР. Ч. I. ОИТИ. НКТП. СССР, Главн. ред. горно-топливн. лит-ры. Л.-М., 1937.

Раузер-Черноусова Д. М. Род *Cribrospira* Moeller. Тр. Ин-та геол. АН СССР. Вып. 62. Сер. геол. № 19, 1948.

Рейтлингер Е. А. Мелкие фораминиферы нижней части среднего карбона Среднего Урала и Прикамья. Изв. АН СССР. Сер. геол., № 6, 1949.

Рейтлингер Е. А. Фораминиферы среднекаменноугольных отложений центральной части Русской платформы (исключая сен. *Fusulinidae*). Тр. Ин-та геол. АН СССР. Вып. 126. Сер. геол., № 47, 1957.

Решения совещания по разработке унифицированных стратиграфических схем для Средней Азии. Ташкент, 1959.

Розовская С. Е. Древнейшие представители фузулиид и их предки. Тр. Палеонтол. ин-та. Т. 97. Изд-во АН СССР, М., 1963.

Розовская С. Е. К систематике семейств *Endothyridae* и *Ozawainellidae*. "Палеонтол. ж.". № 3. М., 1961.

Розовская С. Е. К систематике семейства *Endothyridae*. Бюлл. Моск. об-ва испыт. природы. Отд. геол., № 3. М., 1961.

Румянцева З. С. Новые виды фузулиид среднего карбона Центральных Кызылкумов. Сб. стратигр. и палеонтол. Узбекистана и сопредельных районов. Изд-во АН УзССР, Ташкент, 1962.

Сафонова Т. П. Среднекаменноугольные фузулииды Русской платформы и сопредельных областей. Изд-во АН СССР, 1951.

Салтовская В. Д. Типы разрезов каменноугольных отложений Центрального Таджикистана. Тез. докл. науч. конф. молодых ученых АН Тадж.ССР. Душанбе, 1961 а.

Салтовская В. Д. К стратиграфии карбона Центрального Таджикистана. АН Тадж.ССР. Т. 4. № 3. 1961.

Салтовская В. Д. К вопросу о возрасте терригенных отложений Зиддинской долины (Южный склон Гиссарского хребта). АН Тадж.ССР. Т. 6. № 1, 1963 а.

Салтовская В. Д. Новые данные о каменноугольных отложениях Зеравшано-Гиссарской горной области. АН Тадж.ССР. Т. 6. № 9, 1963 б.

Салтовская В. Д. Стратиграфия среднекаменноугольных отложений Зеравшано-Гиссарской горной области. Тр. ин-та геол. АН Тадж.ССР. Т. 7. Геология, 1963.

Салтовская В. Д. Бачаульдинская свита среднего карбона Зеравшано-Гиссарской горной области. Изв. отд. физ.-техн. и хим. наук АН Тадж.ССР (16), 1965 а.

Салтовская В. Д. К стратиграфии терригенных толщ девона и карбона Зеравшано-Гиссарской горной области. В кн.: "Проблемы геол. Таджикистана". Душанбе, 1965.

Салтовская В. Д. К стратиграфии палеозойских отложений Зеравшанской долины. Докл. АН Тадж.ССР. Т. 9. № 10, 1966 а.

Салтовская В. Д. Стратиграфия каменноугольных отложений Зеравшано-Гиссарской горной области (Южный Тянь-Шань). Автореф. канд. дисс. Душанбе, 1966.

Салтовская В. Д. Стратиграфия каменноугольных отложений Зеравшано-Гиссарской горной области (Южный Тянь-Шань). Докл. АН Тадж.ССР. Т. 12. № 7, 1969.

Салтовская В. Д. Мутовчатые сифонеи из среднего карбона Зеравшано-Гиссарской горной области. Изв. АН Тадж.ССР. Отд. физ.-мат. и геол.-хим. наук, I(35), 1970.

Салтовская В. Д. Новая визейская паратураммина Средней Азии. В сб.: "Новые виды древних растений и беспозвоночных СССР". М., "Наука", 1972.

Салтовская В. Д. *Macella* - новая бурая водоросль из карбона Зеравшано-Гиссарской горной области. Тез. докл. на XУ сессии ВГО. Л., 1969.

Салтовская В. Д. Новый род фораминифер из нижнего карбона Центрального Таджикистана. Докл. АН Тадж.ССР т. 16, № 9, 1973.

Соловьев В. Н. Стратиграфия и фузулиниловые зоны средне-каменноугольных отложений Средней Азии. Тр. Геол. ин-та АН СССР. Вып. 76, 1963.

Сулейманов И. С. Новые виды мелких фораминифер из турнейского яруса Ишимбаевского нефтяного района. ДАН СССР. Т. 48. № 2, 1945.

Гарасенко А. Т. К вопросу о сопоставлении геологического развития Джено-Гиссарской и Кураминской зон в верхнем палеозое (Южный Тянь-Шань). Информ. сб. ВСЕГИ. № 46, 1961.

Хворова И. В. Новый род мутовчатых сифоний из среднего карбона Московской синеклизы. ДАН СССР. Т. 65. № 5, 1949.

Шлыкова Т. И. Фораминиферы визейского и намюрского ярусов нижнего карбона западного крыла Подмосковной котловины. Тр. ВНИГРИ. Нов. сер. Вып. 56, 1951.

Шлыкова Т. И. Отряд Textulariida. В кн.: "Основы палеонтологии". Общая часть. Простейшие. Изд-во АН СССР, 1959.

Чернышева Н. Е. К стратиграфии нижнего карбона Макаровского района Южного Урала по фауне фораминифер. Бюлл. Моск. о-ва испыт. природы. Нов. сер. Т. 18. № 5-6, 1940.

Чернышева Н. Е. Об *Archaediscus* и близких к нему формах из нижнего карбона СССР. Тр. Ин-та геол. АН СССР. Вып. 62. Геол. сер. (№ 19), 1948.

Чувашов В. И. Фораминиферы и водоросли из верхнедевонских отложений западного склона Среднего и Южного Урала. Тр. Геол. ин-та, УФАН СССР. Вып. 74, 1965.

Эйнор О. Л., Салтовская В. Д. К стратиграфии карбона Гиссарского хребта. Мат-лы геол., геофиз. и геохим. Украины, Казахстана, Забайкалья. Сб. № 1. Киев, 1963.

Преображенский О. В. О систематике паратураммин. "Вопр. микропалеонт.". Вып. 5. И., "Наука", 1961.

Braud H. B. A. monograph of carboniferous and permian Foraminifera (then genus *Fusulina* excepted.) - Monogr. Paleontol. Soc., 30. 1878.

Braud H. B. Rep. Reit. Assoc. Exeter. Meeting., 1869.

Braud H. B. Notes on a group of Russian *Fusulinae*. Ann. Mag. Hist. ser. 4., vol. 18, 1876.

Braud H. B. On *Archaeodiscus karreri*, a new type of carboniferous Foraminifera - Ann. Mag. Natur. Hist., ser. 4., 12, 1873.

Igo H. Fusulinidae of Fuknii, Southeastern part. of the Hida massif, Central Japan, Sci. Repts Tokyo kyoiku Daigaku, Sect. C. (Geology, Mineralogy and Geography), v. 5, N 47, 1957.

Galloway J. and Harlton B. Some Pennsylvanian Foraminifera of Oklahoma, with special reference at the genus *Orobias*. J. Paleontol., v. 2, N 4, 1928.

Güvenç T. Représentants des Bereselleae (Algae calcaires) dans le Carbonifère de Turquie et description D'un Nouveau Genre: *Goksuella* n.g. (extrait du Bulletin de la Société géologique de France 7^e ser., 1965.

Eichwald E. Lethaea Rossica or paleontology of the Russia. vol. 1, 1860.

Ehrenberg C. Mittelung über polythalamischen kleinen Theireia konstitutionenbe Theile des Bergalkes von Tula in Russland nach neuen Beobachtungen. - Ber. Verhandl. Reuss. Akad. Wissensh. Berlin, 1843.

Howchin W. Additions to the knowledge of the Carboniferous foraminifera Iorn. Koy Mick. Soc., 1888.

Jehnson J. H. Quartofy of the Colorado School of Mines, vol. 58, num. 3, 1963.

Cummings R. New genera of Foraminifera from the British lower carboniferous. - J. Washington Acad. Sci., 45, N 1, 1955.

Cushman J. The designation of some genotypes in the Foraminifera Contrib. Cushman Lab. Foram. Res. vol. 3., pt 4, 1927.

Cooper C. L. Upper Kinkad (Mississippian) microfauna from Johnson Country Illinois. - J. Paleontol., v. 21, N 2, 1947.

Orbigny A. Foraminifères. In Barker, Webb et Berthelot. Hist. nat. des îles Canaries, 2, pr. 2, Paris, 1839.

Plummer H. Calcareous Foraminifera in the Broenwood shale near Bridgeport, Texas. - Bull. Univ. Texas, N 3019, 1930.

Tompson M.H. The Fusulinid genus *Staffella* in America 1. Paleontol. v. 9, 1935.

Reuss A. Beiträge zur Kenntniss der tertiären Foraminiferen - fanno. - sitzber. Akad. Wissensh. Wien, math. - naturw. Kl. abt. 1, 1861.

Reichel M. Sur quelques Foraminifères nouveaux du permian méditerranéen. - Eclat. geol. Helveticæ, 38, N 2, 1946.

Schubert R. Paleontologische Daten zur Stammegeschichte der Protozoen. - Paleontol. Zeitschr., Bd. 3, 1920.

Zeller E. Stratigraphic significance of Mississippian Endothyroid foraminifera. Contrib. Univ. Kansas. Paleontol., Contrib. Protozoa, Art. 4, 1950.

Sellier E. Mississippian Endothyroid Foraminifera from the Cordilleran Geosyncline. J. Paleont., v. 31, N 4, 1957.

О Г Л А В Л Е Н И Е

	Стр.
ВВЕДЕНИЕ.....	3
ГЛАВА I . Краткий обзор стратиграфических исследований каменноугольных отложений Зеравшано-Гиссарской горной области.	5
ГЛАВА II . Описание основных разрезов каменноугольных отложений Зеравшано-Гиссарской горной области.	8
Северо-Гиссарский тип разрезов.....	9
Магианский тип разрезов.....	4
Вашанский тип разрезов.....	42
ГЛАВА III . Стратиграфия.	52
ГЛАВА IV . Анализ распространения фораминифер и микроводорослей и корреляция с одновозрастными отложениями других областей.	65
ГЛАВА V . Описание фораминифер.	73
Отряд <i>Astrorhizida</i>	—
Семейство <i>Hyperamminidae</i> Elmer et Fickert	—
Семейство <i>Parathuramminidae</i> E. Bykova	75
Семейство <i>Tuberitinidae</i> M. - Mackay	79
Отряд <i>Ammodiscida</i>	83
Семейство <i>Ammodiscidae</i> Rhumbler	83
Семейство <i>Tournayellidae</i> Dain	85
Семейство <i>Lithuolidae</i> Reuss	87
Отряд <i>Endothyrida</i>	89
Семейство <i>Bradyinidae</i> Reitlinger	89
Семейство <i>Endothyridae</i> H.B. Brady	91
Отряд <i>Fusulinida</i>	95
Семейство <i>Ozawainellidae</i> Thompson et Foster	—
Семейство <i>Fusulinidae</i> Moeller	96
Отряд <i>Textulariida</i>	109
Семейство <i>Textulariidae</i> Orbigny	—
Отряд <i>Ataxophragmida</i>	113
Семейство <i>Tetrataxiidae</i> Galloway	—
Семейство <i>Biseriamminidae</i> N. Tchernysheva	114
Foraminifera Familiae incertae sedis	115
Семейство <i>Archaediscidae</i> N. Tchernyshere	115
Семейство <i>Lasiodiscidae</i> Reitlinger	126
ГЛАВА VI . Описание водорослей.	127
Тип <i>Chlorophyta</i>	—
Семейство <i>Dasicladaceae</i> Stizenberger	128
Тип <i>Rhodophyta</i>	134
Семейство <i>Jncertae sedis</i>	—
Algae incertae sedis	135
ЛИТЕРАТУРА.....	138
ПРИЛОЖЕНИЯ.....	143

Печатается по постановлению
Редакционно-издательского совета
Академии наук Таджикской ССР

Валентина Дмитриевна Салтовская

Ответственный редактор Михаил Михеевич Кухтиков

СТРАТИГРАФИЯ КАМЕННОУГОЛЬНЫХ ОТЛОЖЕНИЙ
ЗЕРАВШАНО-ГИССАРСКОЙ ГОРНОЙ ОБЛАСТИ

Редактор издательства Л.А.Липаева
Художественный редактор А.К.Разыграева
Технический редактор З.С.Одегова
Корректор Л.Д.Полисская

КЛ 02953. Подписано к печати 29.XI.73 г. Формат 70x180 1/8.

Бумага писчая. Физ.л. II,5. Приведённых к формату
60x90-16, лл. Уч.-изд. 13,25л. + 0,75 уч.-изд. подпи-
си с клише. Тираж 400. Заказ 925. Цена 1 руб. 25 коп.,
переплет № 5 1 руб. 45 коп.

Издательство "Дониш", Душанбе, 29, ул. Айни, 121, корп. 2.
Типография издательства "Дониш", Душанбе, 29, ул. Айни, 121, к. 2.

978